

COMMITTENTE:



PROGETTAZIONE:



**DIRETTRICE FERROVIARIA MESSINA-CATANIA-PALERMO
NODO DI CATANIA**

U.O. INFRASTRUTTURE SUD

PROGETTO DEFINITIVO

**INTERRAMENTO LINEA PER IL PROLUNGAMENTO DELLA PISTA
DELL'AEROPORTO DI FONTANAROSSA E PER LA MESSA A STI DEL
TRATTO DI LINEA INTERESSATO.**

MACROFASE FUNZIONALE 1

LOTTO 2

Bretella CT-SR e Fascio A-P di prima fase e Collegamento Fascio A-P-Interporto - OPERE CIVILI
CVF e ponti stradali - NW01 Ponte NV08 su canale - Relazione di calcolo impalcato

SCALA:

-

COMMESSA LOTTO FASE ENTE TIPO DOC. OPERA/DISCIPLINA PROGR. REV.

RS3H 02 D 78 CL NW0108 001 A

Rev.	Descrizione	Redatto	Data	Verificato	Data	Approvato	Data	Autorizzato Data
A	Emissione esecutiva	L.Nani	Marzo 2020	G. Giustino <i>[Signature]</i>	Marzo 2020	S. Vanfiori <i>[Signature]</i>	Marzo 2020	D. Tiberti Marzo 2020 <i>[Signature]</i>

File: RS3H.0.2.D.78.CL.NW.01.0.8.001.A

n. Elab.:

Ordine degli Ingegneri Prov. di Napoli n. 1017/75
 Dott. Ing. Dario Tiberti

INDICE

1	PREMESSA	4
2	NORMATIVA DI RIFERIMENTO.....	5
3	MATERIALI.....	6
3.1	CALCESTRUZZO SOLETTA.....	6
3.2	CALCESTRUZZO PER TRAVI E TRASVERSI PREFABBRICATI – TEMPO T_{∞} (FASE FINALE IN ESERCIZIO).....	6
3.3	ACCIAIO PER C.A. (ARMATURA ORDINARIA).....	7
3.4	ACCIAIO PER ARMATURE DI PRECOMPRESSIONE.....	8
4	CARATTERIZZAZIONE SISMICA DEL SITO.....	9
4.1	VITA NOMINALE E CLASSE D'USO.....	9
4.2	PARAMETRI DI PERICOLOSITÀ SISMICA.....	9
5	DESCRIZIONE DELL'OPERA.....	13
5.1	ESECUZIONE DEL MANUFATTO.....	16
6	ANALISI DEI CARICHI.....	17
6.1	PESI STRUTTURALI G1.....	17
6.2	PERMANENTI PORTATI G2.....	18
6.3	RITIRO (E1) E VISCOSITÀ (E4).....	18
6.4	AZIONI VARIABILI (Q).....	21
6.4.1.1	Carico mobile stradale (Q1,1 – Q1,2).....	21
6.4.1.2	Entità dei carichi mobili – Schema di carico 1.....	21
6.4.1.3	Disposizione trasversale dei carichi mobili.....	22
6.4.1.4	Disposizione longitudinale dei carichi mobili.....	22
6.4.1.5	Carichi sui marciapiedi (Q5).....	23
6.4.1.6	Forza centrifuga (Q3).....	25
6.4.1.7	Frenatura (Q4).....	25
6.4.1.8	Urto del veicolo in svio sulla barriera sicurvità (Q6).....	26
6.5	AZIONI CLIMATICHE.....	26
6.5.1.1	Variazione termica uniforme (ϵ_3).....	26
6.5.1.2	Variazione termica differenziale (ϵ_3).....	26
6.6	AZIONE DEL VENTO (Q5).....	27
7	COMBINAZIONI DI CARICO.....	32

8	CRITERI DI VERIFICA	52
9	MODELLAZIONE NUMERICA	57
9.1	CODICE DI CALCOLO	60
9.2	TIPO DI ANALISI SVOLTA (PARAGRAFO 10.2 DEL DM 17-01-18).....	60
9.3	AFFIDABILITÀ DEI CODICI DI CALCOLO	61
9.4	GIUDIZIO MOTIVATO DI ACCETTABILITÀ DEI RISULTATI	61
9.5	CARICHI APPLICATI	62
9.6	SOLLECITAZIONI DI PROGETTO	66
9.7	REAZIONI MASSIME AGLI APPOGGI	77
9.8	VERIFICA DEFORMABILITÀ IMPALCATO.....	81
10	VERIFICA TRAVE IN C.A.P.	82
10.1	REPORT DI CALCOLO TRAVE 2	83
10.2	PREMESSA	83
10.3	NORMATIVE, CONVENZIONI ED IPOTESI DI BASE	83
10.4	DATI DI CALCOLO	84
10.4.1.1	Schemi statici	85
10.4.1.2	Armature di precompressione pretesate	86
10.4.1.3	Armatura lenta	87
10.4.1.4	Armatura lenta	88
10.4.1.5	Calcestruzzo delle travi prefabbricate	88
10.4.1.6	Calcestruzzo gettato in opera	90
10.4.1.7	Acciaio per c.a.p.	91
10.4.1.8	Acciaio per armatura lenta	92
10.4.1.9	Rilassamento dell'acciaio da precompressione.....	93
10.4.1.10	Ritiro del calcestruzzo	94
10.4.1.11	Viscosità del calcestruzzo	94
10.4.1.12	Sviluppo nel tempo delle cadute di tensione	94
10.5	STATI LIMITE DI ESERCIZIO	95
10.6	STATI LIMITE ULTIMI	96
10.7	VERIFICA DELLE SEZIONI.....	99
10.7.1.1	Prima fase: sola trave	99
10.7.1.2	Seconda fase: trave + getto in opera.....	103
10.7.1.3	Prima fase: sola trave	110
10.7.1.4	Seconda fase: trave + getto in opera.....	115
10.7.1.5	Prima fase: sola trave	122
10.7.1.6	Seconda fase: trave + getto in opera.....	126
10.7.1.7	Prima fase: sola trave	134

10.7.1.8	Seconda fase: trave + getto in opera.....	138
11	VERIFICA DEL TRAVERSO DI CAMPATA	146
12	VERIFICA DEL TRAVERSO DI TESTATA	152
13	VERIFICHE SOLETTA	158
13.1	CARICHI	158
13.2	COMBINAZIONI.....	159
13.3	MODELLO.....	159
13.4	SOLLECITAZIONI.....	160
13.5	VERIFICA DI RESISTENZA.....	166
13.5.1.1	Verifica a taglio V23.....	167
13.5.1.2	Verifica a taglio V13.....	168
13.5.1.3	Verifica a flessione - M22.....	169
13.5.1.4	Verifica a flessione - M11.....	172
13.6	VERIFICA SBALZO	176
14	VALUTAZIONE ESCURSIONE DEL GIUNTO	186

1 PREMESSA

Il presente documento si inserisce nell'ambito della redazione degli elaborati tecnici di progetto definitivo delle opere d'arte e delle opere interferite relative al Nodo di Catania ed in particolare al progetto definitivo di Interramento linea dal km 231+631, tra le stazioni di Catania Acquicella e Bicocca, al km 237+139, tra le stazioni di Bicocca e Lentini Diramazione, per il prolungamento della pista dell'aeroporto Vincenzo Bellini di Catania-Fontanarossa.

In particolare, ha per oggetto le verifiche secondo il metodo semiprobabilistico agli Stati Limite (S.L.) delle sovrastrutture dell'impalcato da ponte di prima categoria del cavalcavia stradale NW01.

Le analisi strutturali e le verifiche di sicurezza sono state effettuate in accordo con le disposizioni vigenti in Italia e con riferimento alla nuova classificazione sismica del territorio nazionale, secondo il DM 17 gennaio 2018.

L'opera in oggetto è progettata per una vita nominale VN pari a 50 anni. Gli si attribuisce inoltre una classe d'uso III ai sensi del DM 17 gennaio 2018 da cui scaturisce un coefficiente d'uso CU=1.5.

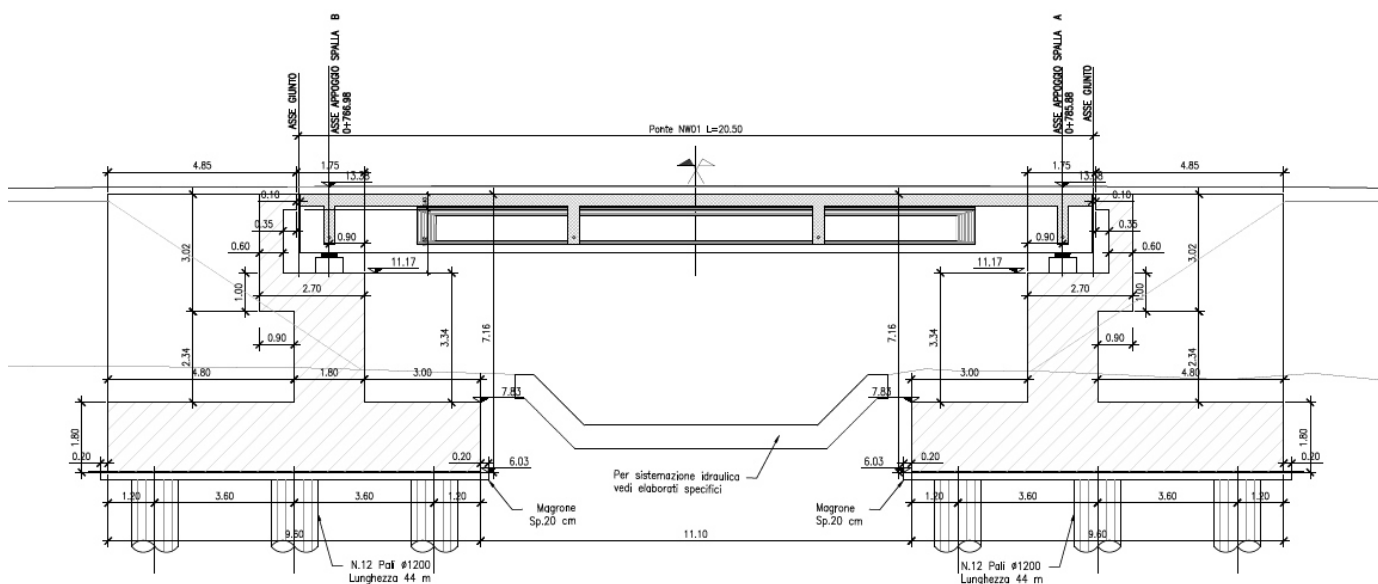


Figura 1 – Viadotto NW01

2 NORMATIVA DI RIFERIMENTO

Le analisi strutturali e le verifiche di sicurezza sono state effettuate in accordo con le prescrizioni contenute nelle seguenti normative ed è conforme alle normative vigenti nonché alle istruzioni dell'Ente FF.SS:

[N.1]. Norme Tecniche per le Costruzioni - D.M. 17-01-18 (NTC-2018);

[N.2]. Circolare n. 7 del 21 gennaio 2019 - Istruzioni per l'Applicazione dell'aggiornamento delle Norme Tecniche per le Costruzioni di cui al Decreto Ministeriale 17 gennaio 2018;

[N.3]. Regolamento (UE) N. 1299/2014 della Commissione del 18 novembre 2014 relativo alle specifiche tecniche di interoperabilità per il sottosistema «infrastruttura» del sistema ferroviario dell'Unione europea, modificato dal Regolamento di esecuzione (UE) N° 2019/776 della Commissione del 16 maggio 2019 Eurocodici EN 1991-2: 2003/AC:2010 – Eurocodice 1 – Parte 2

[N.4]. RFI DTC SI MA IFS 001 C del 21-12-18 - Manuale di Progettazione delle Opere Civili

[N.5]. CNR-DT207/2008 Istruzioni per la valutazione delle azioni e degli effetti del vento sulle costruzioni.

3 MATERIALI

Si riportano di seguito i materiali previsti per la realizzazione delle strutture, suddivisi per elemento costruttivo.

3.1 Calcestruzzo soletta

Classe	C32/40		
$R_{ck} =$	40	MPa	resistenza caratteristica cubica
$f_{ck} =$	32	MPa	resistenza caratteristica cilindrica
$f_{cm} =$	40	MPa	valor medio resistenza cilindrica
$\alpha_{cc} =$	0,85		coeff. rid. Per carichi di lunga durata
$\gamma_M =$	1,5	-	coefficiente parziale di sicurezza SLU
$f_{cd} =$	18,13	MPa	resistenza di progetto
$f_{ctm} =$	3,02	MPa	resistenza media a trazione semplice
$f_{ctm} =$	3,63	MPa	resistenza media a trazione per flessione
$f_{ctk} =$	2,12	MPa	valore caratteristico resistenza a trazione
$E_{cm} =$	33346	MPa	Modulo elastico di progetto
$\nu =$	0,2		Coefficiente di Poisson
$G_c =$	13894	MPa	Modulo elastico Tangenziale di progetto
$c =$	40	mm	Copriferro minimo
XC4			Classe di esposizione
$\sigma_c < 0.60 \times f_{ck} =$	19.2	MPa	Tensione massima di compressione in esercizio per combinazioni RARE
$\sigma_c < 0.45 \times f_{ck} =$	14.4	MPa	Tensione massima di compressione in esercizio per combinazioni QUASI PERMANENTI
$\sigma_t = f_{ctm} / 1.2 =$	2.52	MPa	Tensione limite di fessurazione

3.2 Calcestruzzo per travi e trasversi prefabbricati – tempo t_{∞} (fase finale in esercizio)

Classe	C45/55		
$R_{ck} =$	55	MPa	resistenza caratteristica cubica
$f_{ck} =$	45	MPa	resistenza caratteristica cilindrica
$f_{cm} =$	53	MPa	valor medio resistenza cilindrica
$\alpha_{cc} =$	0,85		coeff. rid. per carichi di lunga durata
$\gamma_M =$	1,5	-	coefficiente parziale di sicurezza SLU

$f_{cd} =$	25,50	MPa	resistenza di progetto
$f_{ctm} =$	3,79	MPa	resistenza media a trazione semplice
$f_{cfm} =$	4,55	MPa	resistenza media a trazione per flessione
$f_{ctk} =$	2,65	MPa	valore caratteristico resistenza a trazione
$E_{cm} =$	36283	MPa	Modulo elastico di progetto
$\nu =$	0.2		Coefficiente di Poisson
$G_c =$	15118	MPa	Modulo elastico Tangenziale di progetto
$c =$	35	mm	Copriferro minimo armatura ordinaria
XC3			Classe di esposizione
$\sigma_c < 0.55 \times f_{ck} =$	27	MPa	Tensione massima di compressione in esercizio per combinazioni RARE
$\sigma_c < 0.40 \times f_{ck} =$	20,25	MPa	Tensione massima di compressione in esercizio per combinazioni QUASI PERMANENTI
$\sigma_t < 0.35 \times f_{ctk} =$	0.9275	MPa	Tensione massima di trazione per combinazioni RARE (RFI DTC SI PS MA IFS 001 A – par. 2.6.2.2.2)
$\sigma_t < 0.045 \times f_{ck} =$	2.025	MPa	Tensione principale di trazione nella fibra baricentrica per combinazioni RARE (RFI DTC SI PS MA IFS 001 A – par. 2.6.2.2.2)

3.3 Acciaio per c.a. (armatura ordinaria)

B450C

$f_{yk} \geq$	450	MPa	tensione caratteristica di snervamento
$f_{tk} \geq$	540	MPa	tensione caratteristica di rottura
$(f_t/f_y)_k \geq$	1,15		
$(f_t/f_y)_k <$	1,35		
$\gamma_s =$	1,15	-	coefficiente parziale di sicurezza SLU
$f_{yd} =$	391,3	MPa	tensione caratteristica di snervamento
$E_s =$	200000	MPa	Modulo elastico di progetto
$\epsilon_{yd} =$	0,196%		deformazione di progetto a snervamento
$\epsilon_{uk} = (A_{gt})_k$	7,50%		deformazione caratteristica ultima
$\sigma_s < 0.80 \times f_{yk} =$	360	MPa	Tensione massima di trazione

3.4 Acciaio per armature di precompressione

$f_{ptk} \geq$	1860 MPa	tensione caratteristica di rottura
$f_{p(1)k} \geq$	1670 MPa	tensione caratteristica allo 1% di deformazione
$\gamma_s =$	1,15 -	coefficiente parziale di sicurezza SLU
$E_s =$	195000 MPa	Modulo elastico di progetto
$\sigma_s < 0.90 \times f_{p(1)k} =$	1503 MPa	Tensione massima trefolo in fase iniziale
$\sigma_s < 0.80 \times f_{ptk} =$	1488 MPa	Tensione massima trefolo in fase iniziale
$\sigma_s < 0.80 \times f_{ptk} =$	1488 MPa	Tensione massima trefolo in fase finale con cadute di tensione

Per il calcestruzzo si adotta il diagramma parabola rettangolo definito da un arco di parabola con la seguente equazione:

$$\sigma_c = f_{cd} \cdot \left[2 \cdot \left(\frac{\varepsilon_c}{\varepsilon_0} \right) - \left(\frac{\varepsilon_c}{\varepsilon_0} \right)^2 \right]; \quad \text{per: } \varepsilon_c \leq \varepsilon_{c2}$$

$$\sigma_c = 0.85 \cdot f_{cd}; \quad \text{per: } \varepsilon_{c2} \leq \varepsilon_c \leq \varepsilon_{cu2}$$

in cui ε_{c2} e ε_{cu2} assumono i seguenti valori:

deformazione in corrispondenza del valore massimo della tensione $\varepsilon_{c2} = 2.0\%$

deformazione unitaria a rottura $\varepsilon_{cu2} = 3.5\%$

Per l'acciaio B450C Si adotta il diagramma elastico perfettamente plastico considerando, in favore di sicurezza, un limite della deformazione unitaria ultima " ε_{ud} " pari a: deformazione unitaria ultima $\varepsilon_{ud} = 0.9 \times \varepsilon_{uk} = 6.75\%$.

Per l'acciaio armonico si adotta il diagramma elasto-plastico incrudente considerando, in favore di sicurezza, un limite della deformazione unitaria ultima " ε_{ud} " pari a:

deformazione unitaria ultima $\varepsilon_{ud} = 1.0\%$.

La tensione limite del primo tratto è assunta pari a $(0.9 \times f_{ptk}) / \gamma_s = f_{p(1)k} / \gamma_s$ mentre la tensione limite di rottura è assunta pari a f_{ptk} / γ_s .

4 CARATTERIZZAZIONE SISMICA DEL SITO

Nel seguente paragrafo è riportata la valutazione dei parametri di pericolosità sismica utili alla determinazione delle azioni sismiche di progetto dell'opera cui si riferisce il presente documento, in accordo a quanto specificato a riguardo dal D.M. 17 gennaio 2018 e relativa circolare applicativa.

4.1 Vita nominale e classe d'uso

Per la valutazione dei parametri di pericolosità sismica è necessario definire, oltre alla localizzazione geografica del sito, la Vita nominale dell'opera strutturale (VN), intesa come il numero di anni nel quale la struttura, purché soggetta alla manutenzione ordinaria, deve potere essere usata per lo scopo al quale è destinata, e la Classe d'Uso a cui è associato un coefficiente d'uso (CU)

Per l'opera in oggetto si considera una vita nominale: $V_N = 50$ anni. Riguardo invece la Classe d'Uso, all'opera in oggetto corrisponde una Classe III a cui è associato un coefficiente d'uso pari a (NTC – Tabella 2.4.II): $C_u = 1.5$.

I parametri di pericolosità sismica vengono quindi valutate in relazione ad un periodo di riferimento V_R che si ricava per ciascun tipo di costruzione, moltiplicando la vita nominale V_n per il coefficiente d'uso C_u , ovvero:

$$V_R = V_N \cdot C_U$$

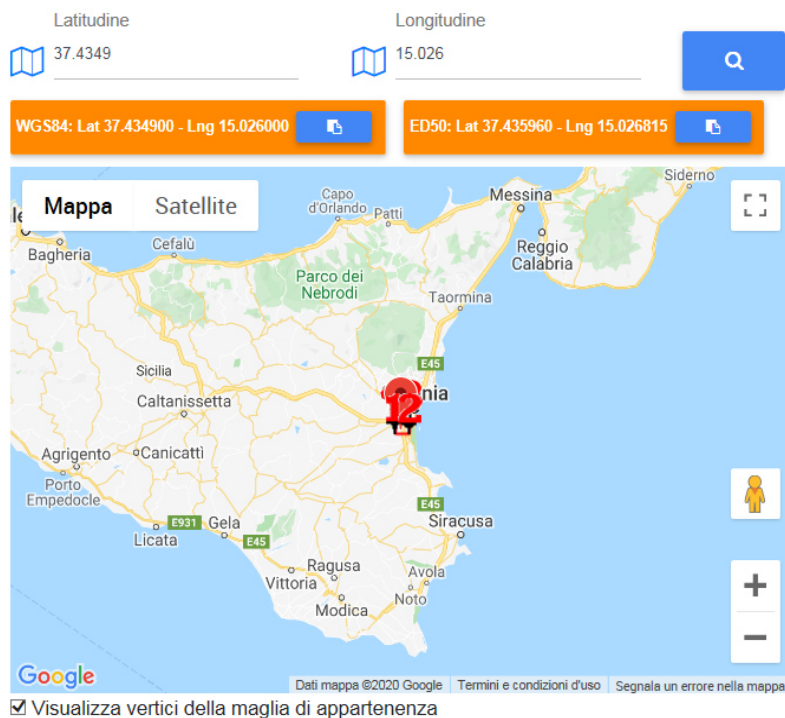
Pertanto, per l'opera in oggetto, il periodo di riferimento è pari a $V_R = 50 \times 1.5 = 75$ anni

4.2 Parametri di pericolosità sismica

La valutazione dei parametri di pericolosità sismica, che ai sensi del D.M. 17-01-2018, costituiscono il dato base per la determinazione delle azioni sismiche di progetto su una costruzione (forme spettrali e/o forze inerziali) dipendono, come già in parte anticipato in precedenza, dalla localizzazione geografica del sito, dalle caratteristiche della costruzione (Periodo di riferimento per valutazione azione sismica / V_R) oltre che dallo Stato Limite di riferimento/Periodo di ritorno dell'azione sismica.

- Categoria sottosuolo **D**

I valori delle caratteristiche sismiche (a_g, F_0, T^*_c) per gli stati limite di normativa sono dunque:



Stati limite

Classe Edificio	
III. Affollamento significativo...	
Vita Normale	50
Interpolazione	Media ponderata

CU = 1.5

Stato Limite	Tr [anni]	a_g [g]	F_0	T_c^* [s]
Operatività (SLO)	45	0.066	2.504	0.266
Danno (SLD)	75	0.083	2.507	0.282
Salvaguardia vita (SLV)	712	0.271	2.348	0.431
Prevenzione collasso (SLC)	1462	0.386	2.356	0.493

Periodo di riferimento per l'azione sismica: 75

Cat. Sottosuolo	D
Cat. Topografica	T1

	SLO	SLD	SLV	SLC
SS Amplificazione stratigrafica	1,80	1,80	1,45	1,04
CC Coeff. funz categoria	2,42	2,35	1,90	1,78
ST Amplificazione topografica	1,00	1,00	1,00	1,00

- a_g → accelerazione orizzontale massima del terreno, espressa come frazione dell'accelerazione di gravità;
- F_0 → valore massimo del fattore di amplificazione dello spettro in accelerazione orizzontale;
- T_c^* → periodo di inizio del tratto a velocità costante dello spettro in accelerazione orizzontale;
- S → coefficiente che comprende l'effetto dell'amplificazione stratigrafica (S_S) e dell'amplificazione topografica (S_T).

Spettri di progetto

Di seguito si forniscono gli spettri di risposta elastici per lo SLV

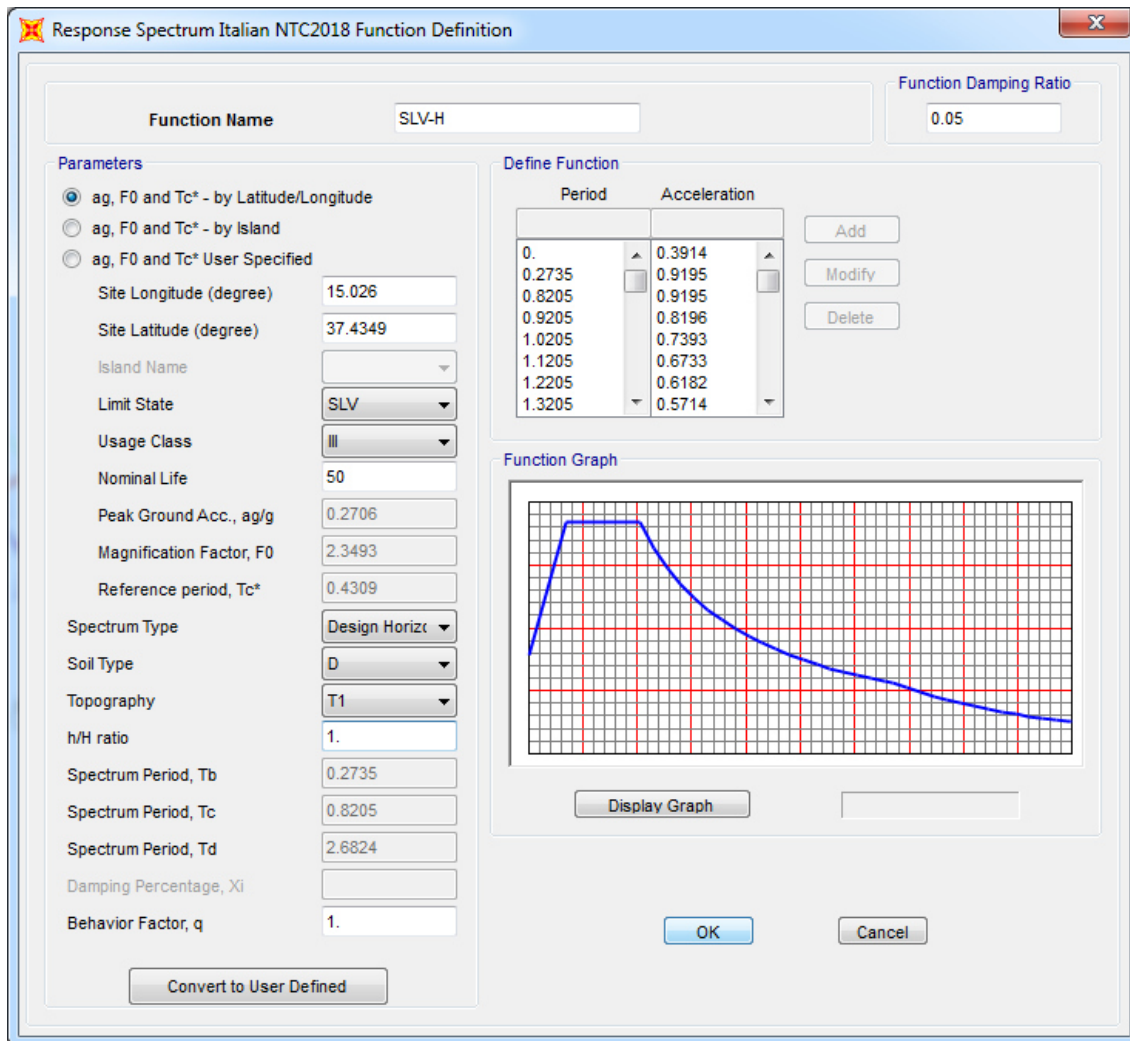
Lat 37.434882 Long 15.025984

Categoria di sottosuolo tipo D

Classe d'uso : III

Vita nominale VN = 50 anni

$q = 1$



Response Spectrum Italian NTC2018 Function Definition

Function Name: Function Damping Ratio:

Parameters

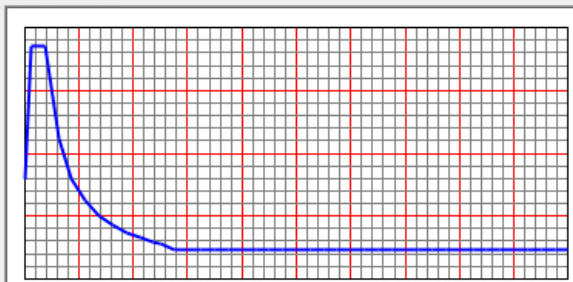
ag, F0 and Tc* - by Latitude/Longitude
 ag, F0 and Tc* - by Island
 ag, F0 and Tc* User Specified

Site Longitude (degree):
 Site Latitude (degree):
 Island Name:
 Limit State:
 Usage Class:
 Nominal Life:
 Peak Ground Acc., ag/g:
 Magnification Factor, F0:
 Reference period, Tc*:
 Spectrum Type:
 Soil Type:
 Topography:
 h/H ratio:
 Spectrum Period, Tb:
 Spectrum Period, Tc:
 Spectrum Period, Td:
 Damping Percentage, Xi:
 Behavior Factor, q:

Define Function

Period	Acceleration
0.	0.19
0.05	0.4464
0.15	0.4464
0.25	0.2679
0.35	0.1913
0.45	0.1488
0.55	0.1218
0.65	0.103

Function Graph



5 DESCRIZIONE DELL'OPERA

L' impalcato oggetto della presente relazione, è realizzato con un sistema di travi prefabbricate in cemento armato precompresso. Lo schema statico è quello di una trave semplicemente appoggiata alle estremità di luce netta pari a circa 18.90 m (asse appoggio - asse appoggio). L'impalcato calcolato è caratterizzato da una larghezza complessiva pari a 12.70 m (di cui 9.00 m relativi alla carreggiata stradale).

La struttura dell'impalcato si compone con 6 travi prefabbricate a T in c.a.p., aventi un interasse di 1.75 m e lunghezza pari a 20.40 m. Le travi principali sono solidarizzate da 4 traversi (2 sull'asse-appoggi e 2 in campata) post-tesi e gettati in opera.

Le travi hanno un'altezza costante pari a 1.20 m, una larghezza dell'ala superiore di 1.74 m e dell'ala inferiore di 0.70 m. Lo spessore minimo della parte inferiore della trave è di 0.20 m mentre quello delle anime è di 0.16 m. La soletta di completamento in cemento armato ha uno spessore variabile tra 0.30÷0.40 m mentre sullo sbalzo è pari a 0.44 m al netto delle padalle.

La precompressione è data da 34 trefoli con sezione da 0,6" (1,39cmq), alcuni opportunamente inguainati, tesati alla tensione iniziale di 1400 MPa.

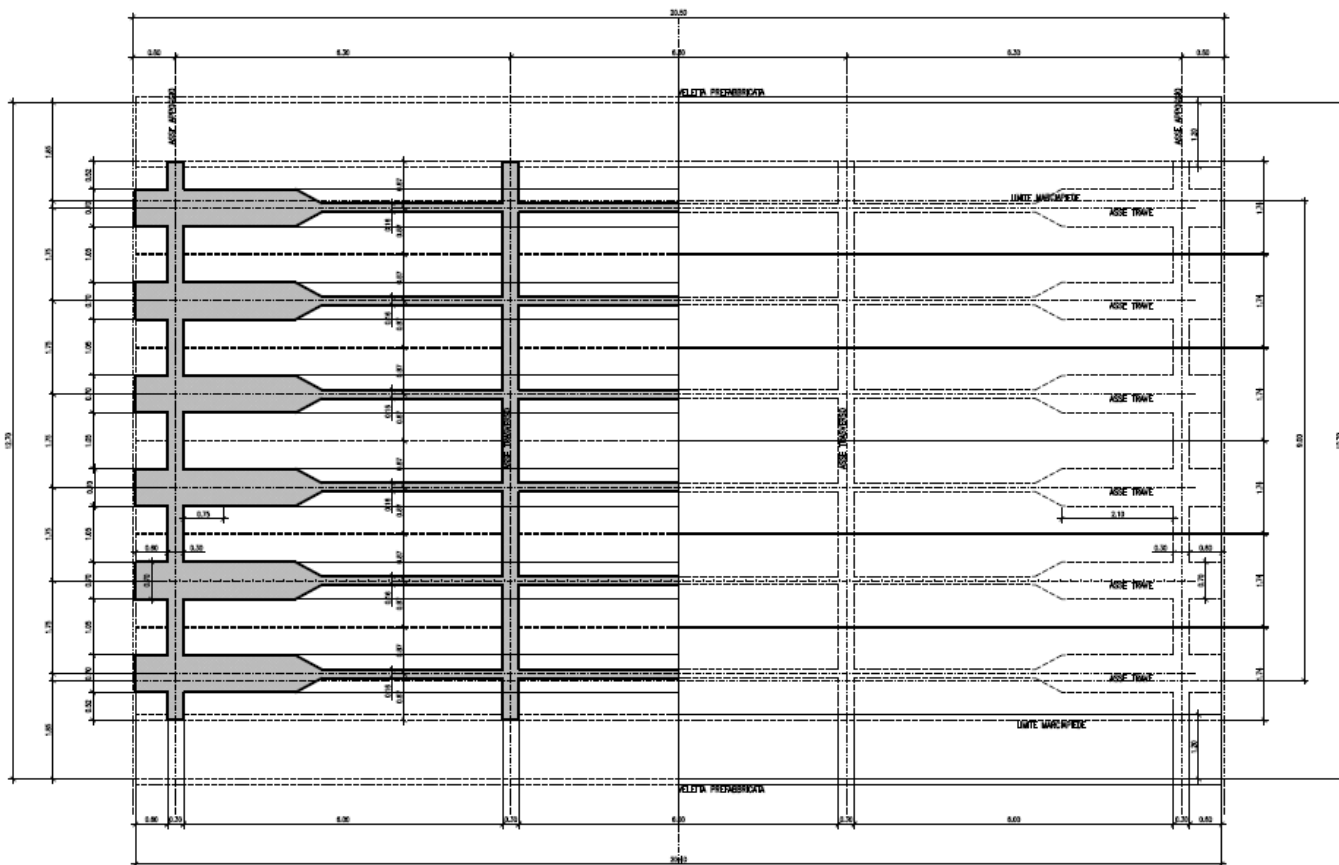


Figura 2 – Pianta dell'impalcato

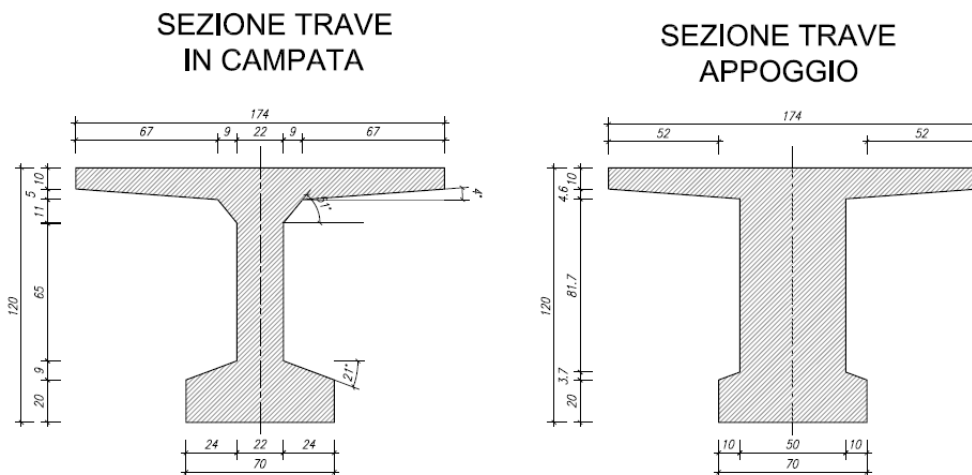


Figura 5 – Sezione della trave in c.a.p.

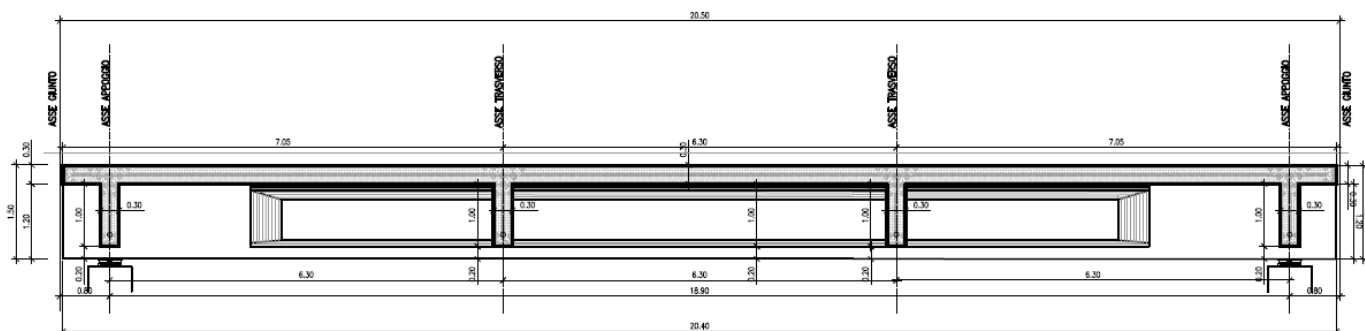


Figura 6 – Sezione longitudinale della trave in c.a.p.

Lo schema di vincolo dell'impalcato prevede sei apparecchi di appoggio per ognuna delle estremità, con schema globale di tipo fisso — unidirezionale long. ; multidirezionale - multidirezionale

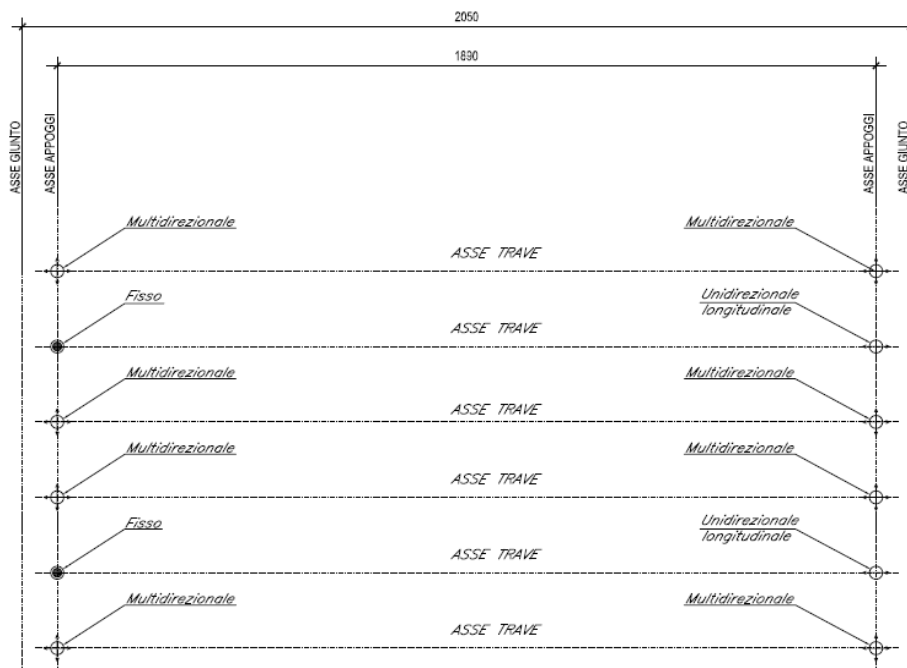


Figura 7 – Schema degli apparecchi di appoggio

5.1 Esecuzione del manufatto

Le travi vengono realizzati in stabilimento mediante il getto del calcestruzzo in casseforme metalliche, vibrato ad alta frequenza per la compattazione e trattato con ciclo termico. La precompressione delle travi è realizzata mediante la pretensione di trefoli, a tiro multiplo, sulle piste di confezionamento prevedendo la posa in opera di guaine per la quota parte dei trefoli che verranno in seguito tagliati: si provvederà inoltre a sfilare da apposite cassette i tratti di armatura non aderente, con successiva iniezione dei condotti e sigillatura delle cassette.

I traversi vengono armati e gettati in opera.

La soletta in cemento armato è prevista gettata in opera utilizzando alle estremità delle predalle in c.a. aventi spessore di 5 cm. Una volta disposte le predalle si provvede alla posa dell'armatura trasversale integrativa e dell'armatura longitudinale di ripartizione e quindi si esegue il getto a spessore definitivo.

6 ANALISI DEI CARICHI

6.1 Pesì strutturali G1

Il carico delle strutture in c.a. e c.a.p. viene valutato considerando un peso di volume pari a 25 kN/mc.

Fase 1 – Travi prefabbricate

- P.P. travi in campata $25 \cdot 0.586 = 14.65 \text{ kN/m}$
- P.P. travi in testata $25 \cdot 0.7964 = 19.91 \text{ kN/m}$
- P.P. trasversi $25 \cdot 0.30 = 7.50 \text{ kN/m}$

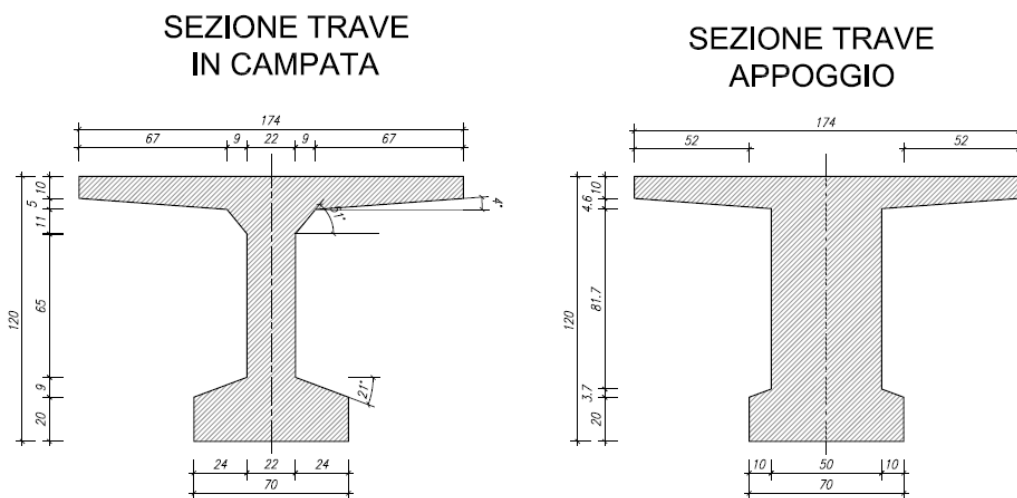


Figura 8 – Sezioni trave in c.a.p.

Il peso delle travi e dei trasversi è calcolato automaticamente dal programma di calcolo.

Il peso della soletta è applicato come carico distribuito sugli elementi “frame” del modello agli elementi finiti dell’impalcato.

- Soletta sp. var. 30-40 cm $25 \cdot 0.35 = 8.75 \text{ kN/m}^2$
- Soletta sp. cost. 44 cm $25 \cdot 0.44 = 11.0 \text{ kN/m}^2$

su Travi interne = $8.75 \cdot 1.75 = 15.313 \text{ KN/m}$

su Travi di bordo = $8.75 \cdot 1 + 11 \cdot 1.85 = 29.1 \text{ KN/m}$

Fase 2 – Travi con soletta collaborante

6.2 Permanenti portati G2

Sono stati considerati i seguenti contributi da applicare alle travi di competenza.

-	Pavimentazione 9 cm	$20 \cdot 0.10 = 2.0 \text{ kN/m}^2$
-	Barriera	2.0 kN/m
-	Veletta	$25 \cdot 0.1864 = 4.7 \text{ kN/m}$
-	Parapetto	1.0 kN/m
-	Impianti	1.0 kN/m

6.3 Ritiro (ϵ_1) e Viscosità (ϵ_4)

Il calcolo delle deformazioni da ritiro e viscosità nelle travi e nella soletta è stato eseguito secondo quanto specificato nel Decreto Ministeriale 17 gennaio 2018 e nella UNI EN 192-1-1.

I valori di seguito calcolati sono assegnati rispettivamente alla trave e alla soletta ai fini del calcolo sia delle perdite legate al ritiro che agli effetti del ritiro differenziale trave-soletta

Trave a T (sezione corrente)

Calcolo ritiro secondo Eurocodice 2 UNI EN 1992-1-1

Calcolo dell'azione prodotta da ritiro

	Rck	55	
	f _{ck}	45.65 N/mm ²	
resistenza a compressione media	f _{cm}	53.65 N/mm ²	
modulo elastico secante	E _{cm}	36416.11 N/mm ²	
coefficiente di dilatazione termica	α	0.00001	
classe del cemento	cls tipo	R	
età del cls all'inizio del ritiro	t _s	10 gg	
età del cls al momento del carico	t ₀	10 gg	
età del cls	t	25550 gg	
larghezza inferiore sezione	B1	70 cm	
larghezza superiore sezione	B2	174 cm	
altezza sezione	H	120 cm	
sezione trasversale dell'elemento	A _c	469500 mm ²	
perimetro a contatto con l'atmosfera	u	4800 mm	
dimensione convenz. elemento di cls	h ₀ =2A _c /u	196 mm	
umidità relativa percentuale	RH	75 %	

Calcolo del modulo elastico

coeff. del tipo di cemento	α	1	
tempo t ₀ corretto in funz del tipo di cem	t ₀	15.042 gg	> 0.5
coeff. della resistenza del cls	β _c (f _{cm})	2.29	
coeff. della viscosità nel tempo	β _c (t ₀)	0.550	
coeff. della resistenza del cls	α ₁	0.742	
coeff. della resistenza del cls	α ₂	0.918	
coeff. della resistenza del cls	α ₃	0.808	
coeff. che tiene conto dell'umidità relativa	β _H	539	
coeff. della variabilità viscosità nel tempo	β _c (t, t ₀)	0.994	
coeff. che tiene conto dell'umidità	φ _{RH}	1.293	
coeff. nominale della viscosità	φ ₀	1.630	
coeff. di viscosità	φ(t, t ₀)	1.62	

Modulo elastico al tempo t	E _{cm} (t, t ₀)	13900.3 N/mm ²	
----------------------------	--------------------------------------	---------------------------	--

Calcolo della deformazione di ritiro

parametro fusione di h ₀	k _n	0.856	PROSPETTO 3.3
coeff. variabilità deformazione nel tempo	β _{cs} (t, t _s)	0.996	
def. di ritiro per essiccamento	ε _{cs} (t)	0.000317	
deformazione di base	ε _{cs,0}	0.000371	
coeff. per il tipo di cemento	α _{ds1}	6	
coeff. per il tipo di cemento	α _{ds2}	0.11	
	β _{RH}	0.896094	
	β _{as} (t)	1	
	ε _{ca,∞}	8.91E-05	
deformazione dovuta al ritiro autogeno	ε _{ca}	8.91E-05	
deformazione di ritiro	ε _s (t, t ₀)	0.000406	
Variazione termica uniforme	ΔT _{ritiro}	-15.5 °C	

Soletta

Calcolo ritiro secondo Eurocodice 2 UNI EN 1992-1-1

Calcolo dell'azione prodotta da ritiro

	Rck	40	
	f_{ck}	33.20 N/mm ²	
resistenza a compressione media	f_{cm}	41.20 N/mm ²	
modulo elastico secante	E_{cm}	33642.78 N/mm ²	
coefficiente di dilatazione termica	α	0.00001	
classe del cemento	cls tipo	R	
età del cls all'inizio del ritiro	t_s	10 gg	
età del cls al momento del carico	t_0	10 gg	
età del cls	t	25550 gg	
larghezza sezione	B	1270 cm	
altezza sezione	H	30 cm	
sezione trasversale dell'elemento	A_c	3810000 mm ²	
perimetro a contatto con l'atmosfera	u	13300 mm	
dimensione convenz. elemento di cls	$h_0=2A_c/u$	573 mm	
umidità relativa percentuale	RH	75 %	

Calcolo del modulo elastico

coeff. del tipo di cemento	α	1	
tempo t_0 corretto in funz del tipo di cem	t_0	15.042 gg	> 0.5
coeff. della resistenza del cls	$\beta_c(f_{cm})$	2.62	
coeff. della viscosità nel tempo	$\beta_c(t_0)$	0.550	
coeff. della resistenza del cls	α_1	0.892	
coeff. della resistenza del cls	α_2	0.968	
coeff. della resistenza del cls	α_3	0.922	

coeff. che tiene conto dell'umidità relativa	β_H	1219	
coeff. della variabilità viscosità nel tempo	$\beta_c(t, t_0)$	0.986	

coeff. che tiene conto dell'umidità	φ_{RH}	1.260	
coeff. nominale della viscosità	φ_0	1.812	
coeff. di viscosità	$\varphi(t, t_0)$	1.79	

Modulo elastico al tempo t	$E_{cm}(t, t_0)$	12071.4 N/mm ²	
----------------------------	------------------	---------------------------	--

Calcolo della deformazione di ritiro

parametro fusione di h_0	k_h	0.7	PROSPETTO 3.3
coeff. variabilità deformazione nel tempo	$\beta_{cs}(t, t_s)$	0.979	
def. di ritiro per essiccamento	$\varepsilon_{cd}(t)$	0.000292	
deformazione di base	$\varepsilon_{cd,0}$	0.000426	
coeff. per il tipo di cemento	α_{ds1}	6	
coeff. per il tipo di cemento	α_{ds2}	0.11	
	β_{RH}	0.896094	
	$\beta_{as}(t)$	1	
	$\varepsilon_{ca,00}$	0.000058	
deformazione dovuta al ritiro autogeno	ε_{ca}	5.8E-05	
deformazione di ritiro	$\varepsilon_s(t, t_0)$	0.00035	
Variazione termica uniforme	ΔT_{ritiro}	-12.6 °C	

6.4 Azioni variabili (Q)

6.4.1.1 Carico mobile stradale (Q1,1 – Q1,2)

In accordo con la normativa vigente le azioni variabili da traffico, comprensive degli effetti dinamici, sono definite dallo schema di carico 1 ovvero lo schema costituito da carichi concentrati su due assi in tandem, applicati su impronte di pneumatico di forma quadrata e lato 0.40m, e da carichi uniformemente distribuiti. Si considera un solo carico tandem (non segmentabile) per corsia disposto in asse alla stessa.

6.4.1.2 Entità dei carichi mobili – Schema di carico 1

In accordo con la normativa vigente i carichi mobili associati allo schema di carico in esame sono:

- **Corsia 1** ⇒ colonna di carico costituita da un carico tandem “ $2 \times Q_{1k}$ ” da **600 kN** totali su due assi aventi le caratteristiche indicate nella figura sottostante e da uno o più tratti di carico superficiale uniformemente distribuito “ $q_{1,k}$ ” da **9.0 kPa** disposti, ai fini del calcolo delle strutture principali, in asse alla corsia nel modo più sfavorevole;
- **Corsia 2** ⇒ colonna di carico costituita da un carico tandem “ $2 \times Q_{2k}$ ” da **400 kN** totali su due assi aventi le caratteristiche indicate nella figura sottostante e da uno o più tratti di carico superficiale uniformemente distribuito “ $q_{2,k}$ ” da **2.5 kPa** disposti, ai fini del calcolo delle strutture principali, in asse alla corsia nel modo più sfavorevole;
- **Corsia 3** ⇒ colonna di carico costituita da un carico tandem “ $2 \times Q_{3k}$ ” da **200 kN** totali su due assi aventi le caratteristiche indicate nella figura sottostante e da uno o più tratti di carico superficiale uniformemente distribuito “ $q_{3,k}$ ” da **2.5 kPa** disposti, ai fini del calcolo delle strutture principali, in asse alla corsia nel modo più sfavorevole;
- **Corsia 4** ⇒ area rimanente della carreggiata caricata solo con uno o più tratti di carico superficiale uniformemente distribuito “ $q_{4,k}$ ” da **2.5 kPa** disposto, ai fini del calcolo delle strutture principali, in asse all’area caricata nel modo più sfavorevole.

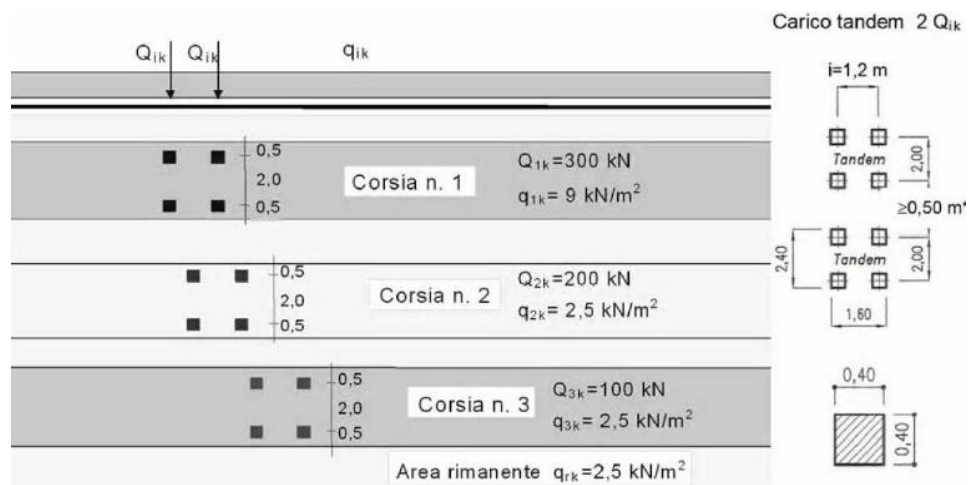


Figura 9 – Corsie: Corsia n°1, corsia n°2 e corsia n°3 – Colonne di carico

Esclusivamente per le verifiche locali, si utilizza lo Schema 2, costituito da un singolo asse applicato su specifiche impronte di pneumatico di forma rettangolare, di larghezza 0,60 m e di altezza 0,35 m. Nel caso sia più gravoso, si considera il peso di una singola ruota da 200 kN.

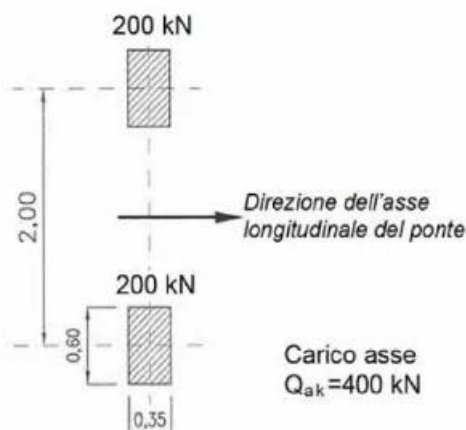


Figura 10: Schema di carico 2 per verifiche locali

Si considerano i carichi verticali associati agli schemi di carico 1 già amplificati con coefficiente dinamico pari a 1.

6.4.1.3 Disposizione trasversale dei carichi mobili

Il numero massimo delle colonne di carichi mobili considerato nel calcolo del ponte è quello massimo compatibile con la larghezza della carreggiata w secondo le indicazioni della tabella 5.1.I del DM 2008 di seguito riportata.

Tab. 5.1.I - Numero e larghezza delle corsie

Larghezza della superficie carrabile " w "	Numero di corsie convenzionali	Larghezza di una corsia convenzionale [m]	Larghezza della zona rimanente [m]
$w < 5,40$ m	$n_1 = 1$	3,00	$(w - 3,00)$
$5,4 \leq w < 6,0$ m	$n_1 = 2$	$w/2$	0
$6,0$ m $\leq w$	$n_1 = \text{Int}(w/3)$	3,00	$w - (3,00 \times n_1)$

La larghezza della carreggiata è pari a 9 metri, la larghezza di una corsia convenzionale è pari a 3.0 m pertanto il numero massimo delle corsie convenzionali è pari a 3 e la larghezza della zona rimanente è pari a zero.

6.4.1.4 Disposizione longitudinale dei carichi mobili

Per il calcolo delle sollecitazioni massime sull'impalcato si considerano i carichi accidentali viaggianti secondo il criterio delle linee d'influenza.

6.4.1.5 Carichi sui marciapiedi (Q5)

I marciapiedi non aperti al pubblico sono utilizzati solo dal personale autorizzato. I carichi accidentali sono schematizzati da un carico uniformemente ripartito del valore di 5 kN/m² con valore di combinazione pari a 2.5 kN/m² (§ 5.1.3.3.3 NTC08).

Si riportano di seguito le configurazioni di carico effettuate

Configurazioni di carico

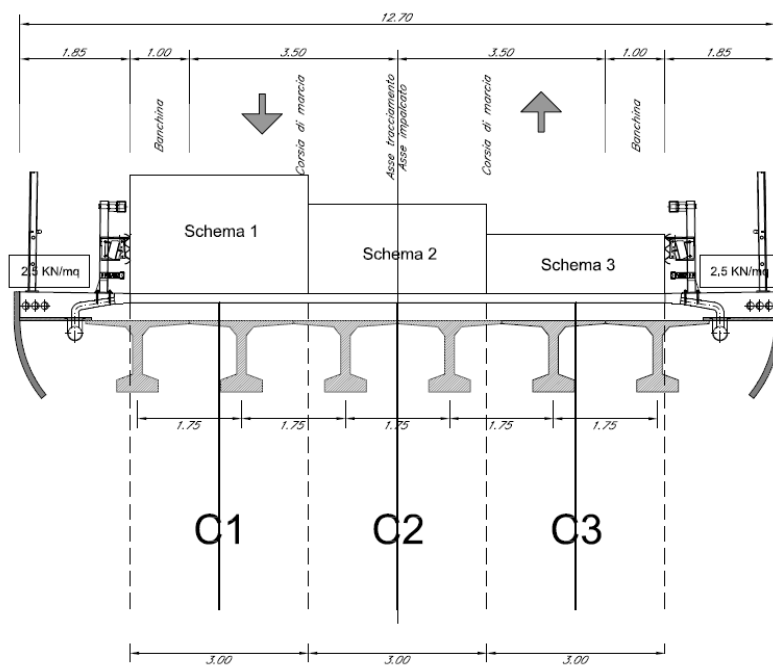


Figura 11 - (Configurazione 0)

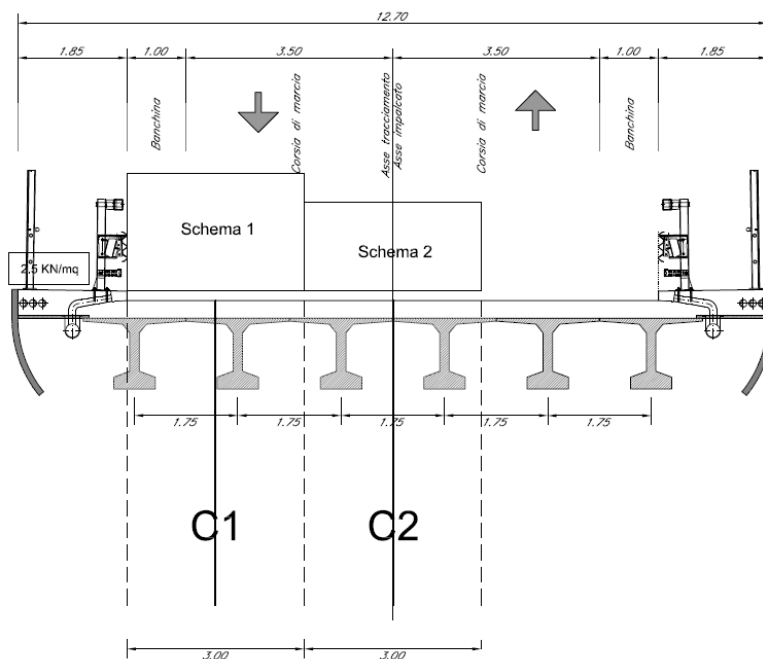


Figura 12 - (Configurazione a)

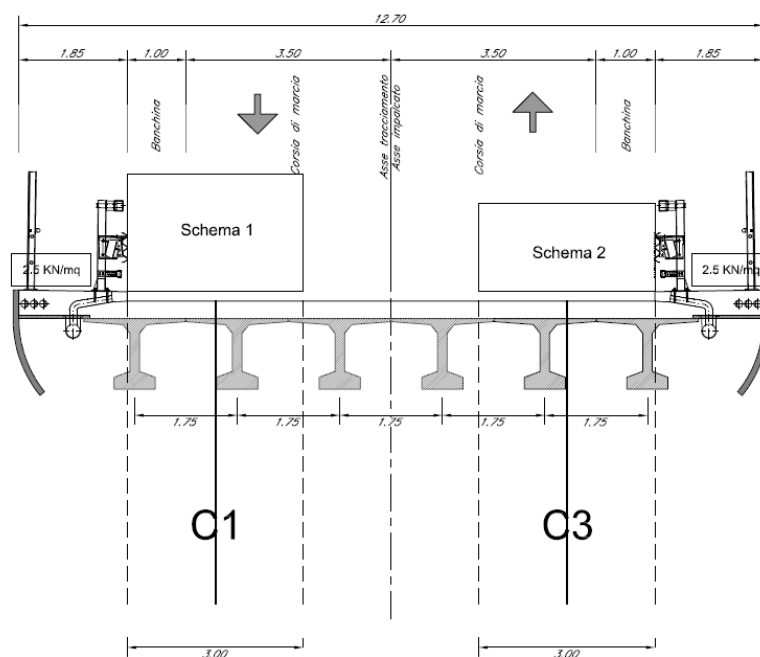


Figura 13 - (Configurazione b)

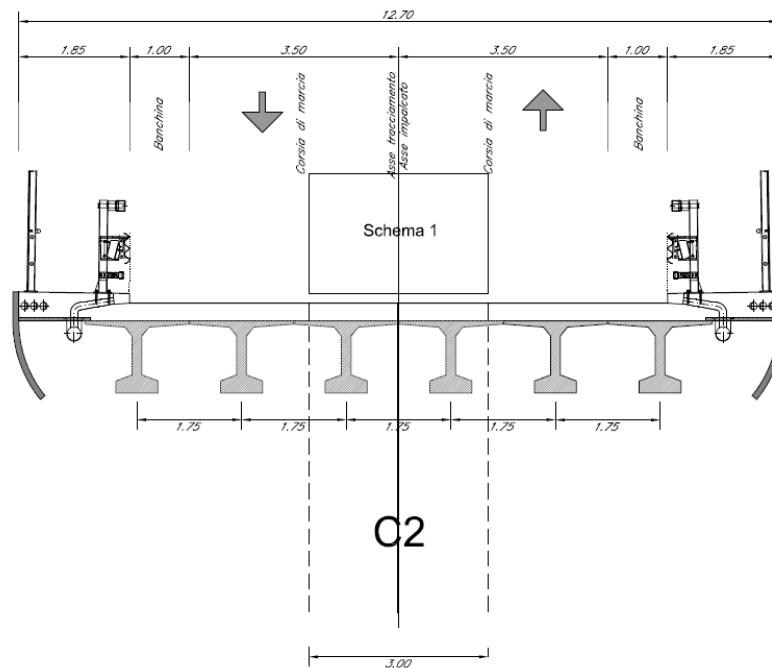


Figura 14 - (Configurazione c)

6.4.1.6 Forza centrifuga (Q3)

Non si considera la forza centrifuga poiché l'impalcato è in rettilifo.

6.4.1.7 Frenatura (Q4)

In accordo al DM 2018 la forza di frenatura o accelerazione per i ponti di prima categoria con riferimento alla corsia convenzionale n.1 si ha:

$$180kN \leq q_3 = 0.6 \cdot (2Q_{1k}) + 0.10q_{1k} \cdot w_1 \cdot L \leq 900kN$$

Per la struttura in esame risulta:

$$q_{3-1} = 0.6 \cdot 2Q_{1k} + (0.10) q_{1k} \cdot w_1 \cdot L = 0.6 \cdot 2 \cdot 300 + (0.1) \cdot 9.00 \cdot 3 \cdot 20.5 = 415.35 \text{ kN} = 20.26 \text{ KN/m}$$

con

$$Q_{1k} = 300 \text{ kN};$$

$$w_1 = 3.0 \text{ m};$$

$$q_{1k} = 9.0 \text{ kN/m}^2;$$

$$L = 20.5 \text{ m}.$$

L'azione di frenatura è applicata a livello della pavimentazione lungo l'asse della corsia ed è assunta uniformemente distribuita sulla lunghezza caricata.

6.4.1.8 Urto del veicolo in svio sulla barriera sicurvia (Q6)

Sulla base delle prescrizioni normative (§ 5.1.3.10 e § 3.6.3.3.2 – NTC18), l'urto di un veicolo stradale sulle barriere sicurvia è stato modellato come un sistema di forze orizzontale applicate in corrispondenza delle barriere ad un'altezza pari alla minore tra:

h_1 =altezza della barriera (pari a 1.5 m) -0.10 m =1.40 m;

h_2 =1.0 m;

quindi h =1.0 m.

La forza orizzontale è pari a 100 kN.

Momento flettente riportato al baricentro delle travi = $100 * 1.96 = 196 \text{ KNm} = 196/18.90 = 10.37 \text{ KNm/m}$

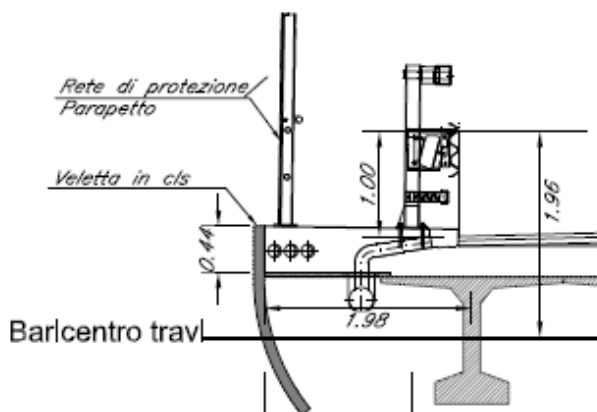


Figura 15 - schema per calcolo urto sulla barriera

6.5 Azioni climatiche

6.5.1.1 Variazione termica uniforme (ϵ_3)

La variazione termica uniforme è valutata secondo il § 5.2.2.5.2 delle NTC18. Si prevede una variazione termica pari a $\pm 15 \text{ }^\circ\text{C}$. Per l'escursione giunti e appoggi si incrementa la variazione termica del 50%.

6.5.1.2 Variazione termica differenziale (ϵ_3)

È stata considerata un gradiente di temperatura tra intradosso ed estradosso dell'impalcato pari a $\pm 5 \text{ }^\circ\text{C}$

6.6 Azione del Vento (Q5)

L'azione del vento è valutata in accordo alla normativa vigente NTC2018.

La risposta dinamica alle azioni del vento, le azioni e gli effetti dinamici e aeroelastici dovuti al distacco dei vortici e altri fenomeni aeroelastici non caratterizzano l'opera in esame e sono pertanto ritenuti trascurabili in relazione alla tipologia strutturale in esame di impalcato “*standard*” con un peso ragguardevole, sagoma “*tozza*” e staticamente ben vincolata.

L'azione del vento è assimilata ad un carico orizzontale statico, diretto ortogonalmente al piano longitudinale del ponte ad un carico verticale statico e ad un momento intorno all'asse dell'impalcato.

Di seguito si riporta il foglio di calcolo utilizzato per calcolare l'azione del vento

4) Sicilia e provincia di Reggio Calabria

Zona	$v_{b,0}$ [m/s]	a_0 [m]	k_a [1/s]
4	28	500	0.02

a_s (altitudine sul livello del mare [m])	7
---	---

$v_b = v_{b,0}$ per $a_s \leq a_0$
$v_b = v_{b,0} + k_a (a_s - a_0)$ per $a_0 < a_s \leq 1500$ m

v_b (velocità di riferimento [m/s])	28
---------------------------------------	----

p (pressione del vento [N/mq]) = $q_b \cdot c_e \cdot c_p \cdot c_d$
q_b (pressione cinetica di riferimento [N/mq])
c_e (coefficiente di esposizione)
c_p (coefficiente di forma)
c_d (coefficiente dinamico)



Figura 3.3.1 – Mappa delle zone in cui è suddiviso il territorio italiano

Pressione cinetica di riferimento

$$q_b = 1/2 \cdot \rho \cdot v_b^2 \quad (\rho = 1,25 \text{ kg/m}^3)$$

q_b [N/mq]	490.00
--------------	--------

Coefficiente di forma

E' il coefficiente di forma (o coefficiente aerodinamico), funzione della tipologia e della geometria della costruzione e del suo orientamento rispetto alla direzione del vento. Il suo valore può essere ricavato da dati suffragati da opportuna documentazione o da prove sperimentali in galleria del vento.

Coefficiente dinamico

Esso può essere assunto autelativamente pari ad 1 nelle costruzioni di tipologia ricorrente, quali gli edifici di forma regolare non eccedenti 80 m di altezza ed i capannoni industriali, oppure può essere determinato mediante analisi specifiche o facendo riferimento a dati di comprovata affidabilità.

Coefficiente di esposizione

Classe di rugosità del terreno

B) Aree urbane (non di classe A), suburbane, industriali e boschive

Categoria di esposizione

Z altezza edif. [m]	Zona	Classe di rugosità	a_s [m]
8	4	B	7

$c_e(z) = k_r^2 \cdot c_t \cdot \ln(z/z_0) [7 + c_t \cdot \ln(z/z_0)]$ per $z \geq z_{min}$
$c_e(z) = c_e(z_{min})$ per $z < z_{min}$

Cat. Esposiz.	k_r	z_0 [m]	z_{min} [m]	c_t
III	0.2	0.1	5	1

c_e	2.00
-------	------

La pressione del vento a meno del coefficiente di forma vale: 977.58 N/mq (0.9775 kN/mq)

Coefficiente di forma impalcato

CNR DT 207/2008 PAR. G.10.3 - G11

larghezza impalcato	d=	12.70	m
altezza impalcato	h=	1.700	m
altezza carichi mobili esposta al vento	hf =	3.0	m
altezza totale esposta al vento	htot = b=	4.70	m
	d/b=	2.70	

se $d/b \geq 2$ OK

$$c_{fx} = \frac{1.85}{d/h_{tot}} - 0.10 = 0.58 \quad 2 \leq d/b \leq 5 \quad \text{OK}$$

$$c_{fx} = \frac{1.35}{d/h_{tot}} = 0.50 \quad d/b > 5 \quad \text{NON OK}$$

se $d/b < 2$ NON OK

Nel caso di azione del vento sugli elementi di sezione rettangolare:

$c_{fx} = 2$	$0.1 \leq d/b \leq 0.2$	NON OK
$c_{fx} = 0.73 \cdot \log_{10}(d/b) + 3.15 = 3.47$	$0.2 \leq d/b \leq 0.7$	NON OK
$c_{fx} = -1.64 \cdot \log_{10}(d/b) + 2.15 = 1.44$	$0.7 \leq d/b \leq 5$	OK
$c_{fx} = -0.33 \cdot \log_{10}(d/b) + 1.23 = 1.09$	$5 \leq d/b \leq 10$	NON OK
$c_{fx} = 0.9$	$10 \leq d/b \leq 50$	NON OK

dove d e b sono le dimensioni del rettangolo nella direzione parallela e ortogonale alla direzione del vento

$$c_{fy} = \pm \left(0.7 + 0.1 \cdot \frac{d}{h_{tot}} \right) = 0.97 \quad 0 \leq d/b \leq 5 \quad \text{OK}$$

$$c_{fy} = 2 \quad d/b > 5 \quad \text{NON OK}$$

$$cmz = 0.2$$

$c_{fx} =$	0.58
$c_{fy} =$	0.97
$cmz =$	0.20

pressione vento orizzontale $q_{px} =$	567.0	N/mq	\Rightarrow	0.57	KN/mq
pressione vento verticale $q_{py} =$	948.2	N/mq	\Rightarrow	0.95	KN/mq
momento intorno all'asse $mz =$	195.5	N/mq	\Rightarrow	0.20	KN/mq

Si considera pertanto:

- una pressione orizzontale del vento di **0.57** kN/m², agente sull'impalcato, sui mezzi (piano verticale h=3m sopra pavimentazione);
- una pressione verticale del vento di **0.95** kN/m², agente sull'impalcato
- un momento intorno all'asse del ponte indotto da una pressione orizzontale del vento di **0.20** kN/m²

Il caso di ponte carico, per cui l'altezza della superficie di impatto del vento è pari all'altezza dell'impalcato più tre metri, è evidentemente il più gravoso per gli effetti sulle travi che per le reazioni agli appoggi.

Vento orizzontale

Vento sull'impalcato (travi + soletta)

$$F_{y,w} = 0.57 \cdot 1.70 = 0.97 \text{ kN/m}$$

Vento sui mezzi

$$F_{y,w} = 0.57 \cdot 3.00 = 1.71 \text{ kN/m}$$

Il carico orizzontale complessivo, distribuito sulle sei travi, è:

$$f_{y,w} = (0.97 + 1.71) / 6 = 0.280 \text{ kN/m}$$

Vento verticale

$$F_{z,w} = 0.95 \text{ kN/m}^2$$

Momento rispetto al baricentro

Vento sull'impalcato (travi + soletta)

$$F_{y,w} = 0.20 \cdot 1.70 = 0.34 \text{ kN/m}$$

Eccentricità rispetto al baricentro delle travi = 0.22 m

Vento sui mezzi

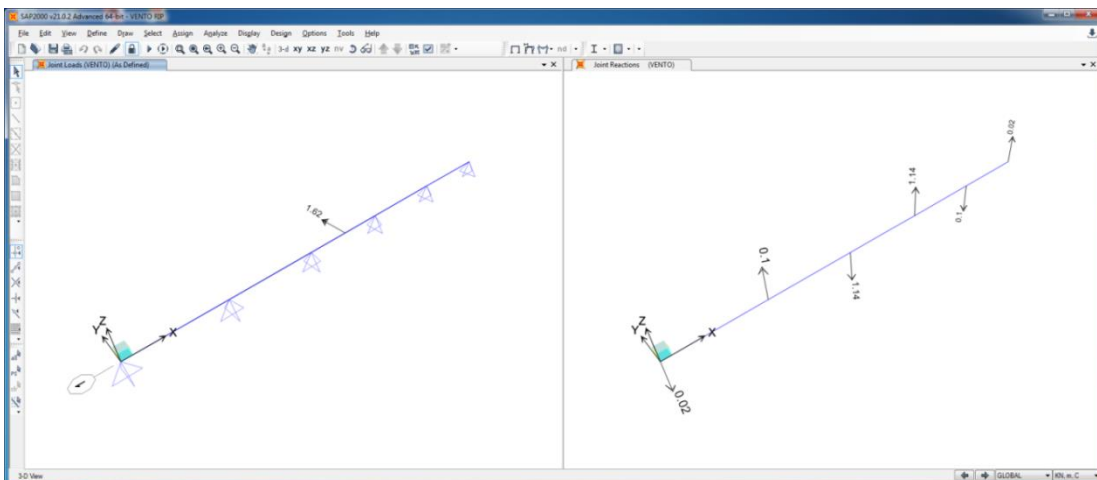
$$F_{y,w} = 0.20 \cdot 3.00 = 0.60 \text{ kN/m}$$

Eccentricità rispetto al baricentro delle travi = 2.57 m

Il momento complessivo rispetto al baricentro delle travi è:

$$m_{x,w} = 0.34 \cdot 0.22 + 0.60 \cdot 2.57 = 1.617 \text{ kNm/m}$$

Il momento viene assegnato alle sei travi sotto forma di carichi verticali:



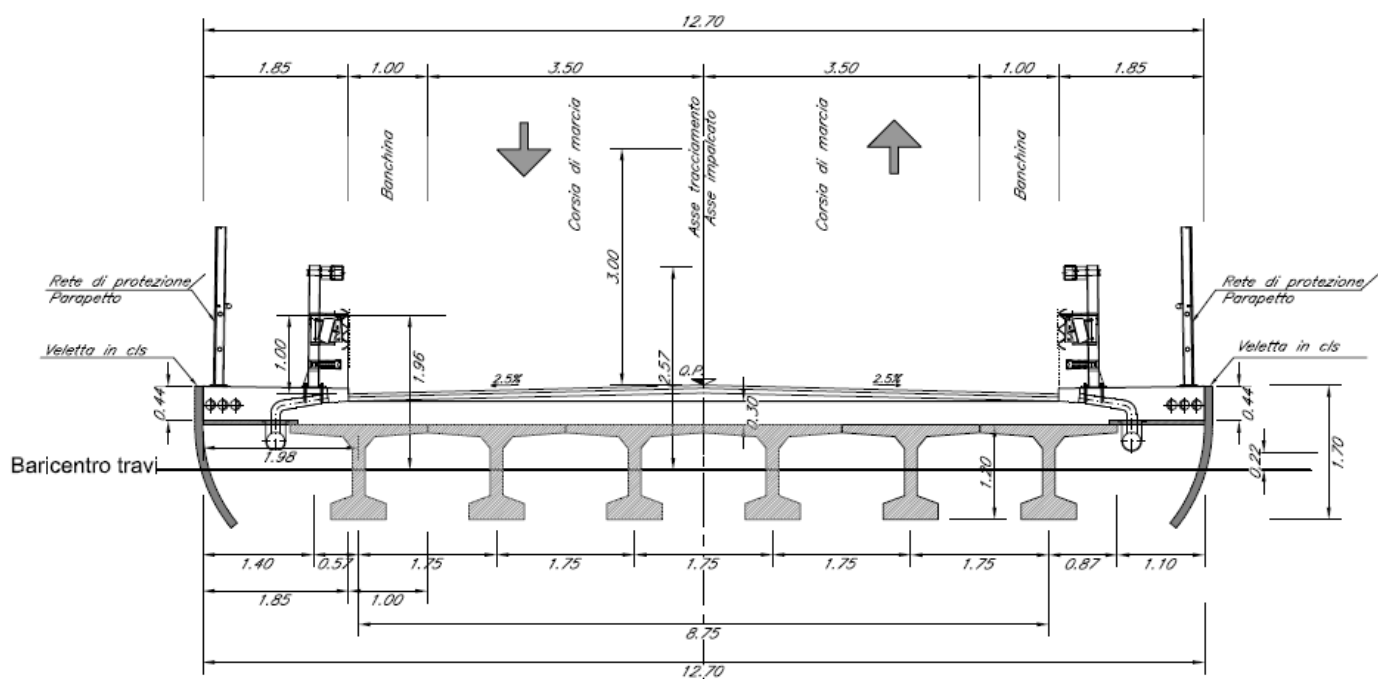


Figura 16 - schema per calcolo azione del vento

7 Combinazioni di carico

Le azioni considerate sono le seguenti:

Le azioni considerate sono le seguenti:

- g1: peso proprio degli elementi strutturali;
- g2: carichi permanenti portati;
- ε3: variazioni termiche uniformi e differenziali;
- q1: carichi mobili;
- q3: azione longitudinale di frenamento;
- q4: azione centrifuga;
- q5: azione trasversale del vento;
- q6: azioni sismiche;

Ai fini della determinazione dei valori caratteristici delle azioni dovute al traffico, in osservanza ai punti 5.1.3.12 e 5.2.3 del D.M. 14 gennaio 2018, si dovranno considerare, generalmente, le combinazioni riportate in Tab. 5.1.IV, combinate considerando gli stati limite di esercizio, gli stati limite ultimi e le condizioni sismiche.

Tabella 5.1.IV – Valori caratteristici delle azioni dovute al traffico

Gruppo di azioni	Carichi sulla carreggiata					Carichi su marciapiedi e piste ciclabili
	Carichi verticali			Carichi orizzontali		Carichi verticali
	Modello principale (Schemi di carico 1, 2, 3, 4, 6)	Veicoli speciali	Folla (Schema di carico 5)	Frenatura q ₃	Forza centrifuga q ₄	Carico uniformemente distribuito
1	Valore caratteristico					Schema di carico 5 con valore di combinazione 2,5 kN/m ²
2 a	Valore frequente			Valore caratteristico		
2 b	Valore frequente				Valore caratteristico	
3 ^(*)						Schema di carico 5 con valore caratteristico 5,0 kN/m ²
4 ^(**)			Schema di carico 5 con valore caratteristico 5,0 kN/m ²			Schema di carico 5 con valore caratteristico 5,0 kN/m ²
5 ^(***)	Da definirsi per il singolo progetto	Valore caratteristico o nominale				

^(*) Ponti di 3^a categoria
^(**) Da considerare solo se richiesto dal particolare progetto (ad es. ponti in zona urbana)
^(***) Da considerare solo se si considerano veicoli speciali

La Tab. 5.1.V fornisce i valori dei coefficienti parziali delle azioni da assumere nell'analisi per la determinazione degli effetti delle azioni nelle verifiche agli stati limite ultimi, il significato dei simboli è il seguente:

γ_{G1} coefficiente parziale del peso proprio della struttura, del terreno e dell'acqua, quando pertinente;

γ_{G2} coefficiente parziale dei pesi propri degli elementi non strutturali;

γ_Q coefficiente parziale delle azioni variabili da traffico;

γ_{Qi} coefficiente parziale delle azioni variabili.

Il coefficiente parziale della precompressione si assume pari a $\gamma_P = 1$.

I valori dei coefficienti ψ_{0j} , ψ_{1j} e ψ_{2j} per le diverse categorie di azioni sono riportati nella Tab. 5.1.VI.

Tabella 5.1.VI - Coefficienti ψ per le azioni variabili per ponti stradali e pedonali

Azioni	Gruppo di azioni (Tabella 5.1.IV)	Coefficiente ψ_0 di combinazione	Coefficiente ψ_1 (valori frequenti)	Coefficiente ψ_2 (valori quasi permanenti)
Azioni da traffico (Tabella 5.1.IV)	Schema 1 (Carichi tandem)	0,75	0,75	0,0
	Schemi 1, 5 e 6 (Carichi distribuiti)	0,40	0,40	0,0
	Schemi 3 e 4 (carichi concentrati)	0,40	0,40	0,0
	Schema 2	0,0	0,75	0,0
	2	0,0	0,0	0,0
	3	0,0	0,0	0,0
	4 (folla)	----	0,75	0,0
	5	0,0	0,0	0,0
Vento q_5	Vento a ponte scarico SLU e SLE	0,6	0,2	0,0
	Esecuzione	0,8	----	0,0
	Vento a ponte carico	0,6		
Neve q_3	SLU e SLE	0,0	0,0	0,0
	esecuzione	0,8	0,6	0,5
Temperatura	T_k	0,6	0,6	0,5

Tabella 5.1.V - Coefficienti parziali di sicurezza per le combinazioni di carico agli SLU

		Coefficiente	EQU ⁽¹⁾	A1 STR	A2 GEO
Carichi permanenti	favorevoli	γ_{G1}	0,90	1,00	1,00
	sfavorevoli		1,10	1,35	1,00
Carichi permanenti non strutturali ⁽²⁾	favorevoli	γ_{G2}	0,00	0,00	0,00
	sfavorevoli		1,50	1,50	1,30
Carichi variabili da traffico	favorevoli	γ_Q	0,00	0,00	0,00
	sfavorevoli		1,35	1,35	1,15
Carichi variabili	favorevoli	γ_{Qi}	0,00	0,00	0,00
	sfavorevoli		1,50	1,50	1,30
Distorsioni e presollecitazioni di progetto	favorevoli	γ_{e1}	0,90	1,00	1,00
	sfavorevoli		1,00 ⁽³⁾	1,00 ⁽⁴⁾	1,00
Ritiro e viscosità, Variazioni termiche, Cedimenti vincolari	favorevoli	$\gamma_{e2}, \gamma_{e3}, \gamma_{e4}$	0,00	0,00	0,00
	sfavorevoli		1,20	1,20	1,00

⁽¹⁾ Equilibrio che non coinvolga i parametri di deformabilità e resistenza del terreno; altrimenti si applicano i valori di GEO.
⁽²⁾ Nel caso in cui i carichi permanenti non strutturali (ad es. carichi permanenti portati) siano compiutamente definiti si potranno adottare gli stessi coefficienti validi per le azioni permanenti.
⁽³⁾ 1,30 per instabilità in strutture con precompressione esterna
⁽⁴⁾ 1,20 per effetti locali

SLU: $\gamma_{G1} \cdot G_1 + \gamma_{G2} \cdot G_2 + \gamma_P \cdot P + \gamma_{Q1} \cdot Q_{k1} + \gamma_{Q2} \cdot \Psi_{02} \cdot Q_{k2} + \gamma_{Q3} \cdot \Psi_{03} \cdot Q_{k3} + \dots$

SLE RARA: $G_1 + G_2 + P + Q_{k1} + \Psi_{02} \cdot Q_{k2} + \Psi_{03} \cdot Q_{k3} + \dots$

SLE QUASI PERMANENTE: $G_1 + G_2 + P + \Psi_{21} \cdot Q_{k1} + \Psi_{22} \cdot Q_{k2} + \Psi_{23} \cdot Q_{k3} + \dots$

SLE FREQUENTE: $G_1 + G_2 + P + \Psi_{11} \cdot Q_{k1} + \Psi_{22} \cdot Q_{k2} + \Psi_{23} \cdot Q_{k3} + \dots$

In accordo con il paragrafo 7.3.5. del D.M. 17.01.2018, gli effetti sulla struttura (sollecitazioni, deformazioni, spostamenti, ecc.) sono combinati secondo le seguenti espressioni:

- Sisma in direzione longitudinale "X" $\Rightarrow 1.0 \times E_X + 0.3 \times E_Y + 0.3 \times E_Z;$

- Sisma in direzione trasversale "Y" $\Rightarrow 0.3 \times E_X + 1.0 \times E_Y + 0.3 \times E_Z;$

- Sisma in direzione verticale "Z" $\Rightarrow 0.3 \times E_X + 0.3 \times E_Y + 1.0 \times E_Z.$

Per ciascuna delle precedenti relazioni, gli effetti del sisma sono stati combinati facendo variare opportunamente il segno delle singole sollecitazioni al fine di massimizzare gli sforzi nella struttura.

In accordo con il D.M. 17/01/2018 paragrafo 3.2.4, i carichi sismici vanno combinati con le altre azioni secondo la seguente espressione:

$$G_1 + G_2 + E + \sum_j \Psi_{2j} \cdot Q_{kj}$$

dove:

$G_1 \Rightarrow$ peso proprio degli elementi strutturali e non strutturali;

$G_2 \Rightarrow$ carichi permanenti portati;

$E \Rightarrow$ azioni derivanti dai terremoti;

$Q_{kj} \Rightarrow$ azioni variabili sulla struttura.

Gli effetti dell'azione sismica saranno valutati tenendo conto delle masse associate ai seguenti carichi gravitazionali:

$$G_1 + G_2 + \sum_j \Psi_{2j} \cdot Q_{kj}$$

Nel caso in esame per i carichi dovuti al transito dei mezzi si assumerà $\Psi_{2j} = 0.0$.

Viadotto NW01
Relazione di calcolo impalcato

COMMESSA	LOTTO	CODIFICA	DOCUMENTO	REV.	FOGLIO
RS3H	02	D 78	CL NW0108 001	A	36 di 186

Combination Definitions

ComboName	ComboType	CaseName	ScaleFactor				
SLU-01	Linear Add	G1	1.35				
SLU-01		G2	1.5				
SLU-01		C1-SCHEMA-1	1.35				
SLU-01		C2-SCHEMA-2	1.35				
SLU-01		C3-SCHEMA-3	1.35				
SLU-01		C1-FRE	1.35				
SLU-01		C2-FRE	1.35				
SLU-01		C3-FRE	1.35				
SLU-01		Q5	1.35				
SLU-01		Qw	0.9				
SLU-01		TEMP+	0.9				
SLU-01		Ritiro	1.2				
SLU-02	Linear Add	G1	1.35				
SLU-02		G2	1.5				
SLU-02		C1-SCHEMA-1	1.35				
SLU-02		C2-SCHEMA-2	1.35				
SLU-02		C3-SCHEMA-3	1.35				
SLU-02		C1-FRE	1.35				
SLU-02		C2-FRE	1.35				
SLU-02		C3-FRE	1.35				
SLU-02		Q5	1.35				
SLU-02		Qw	0.9				
SLU-02		TEMP-	0.9				
SLU-02		Ritiro	1.2				
SLU-03	Linear Add	G1	1.35	SLU-05	Linear Add	G1	1.35
SLU-03		G2	1.5	SLU-05		G2	1.5
SLU-03		C1-SCHEMA-1	1.0125	SLU-05		C1-SCHEMA-1	1.0125
SLU-03		C2-SCHEMA-2	1.0125	SLU-05		C2-SCHEMA-2	1.0125
SLU-03		C3-SCHEMA-3	1.0125	SLU-05		C3-SCHEMA-3	1.0125
SLU-03		C1-FRE	1.0125	SLU-05		C1-FRE	1.0125
SLU-03		C2-FRE	1.0125	SLU-05		C2-FRE	1.0125
SLU-03		C3-FRE	1.0125	SLU-05		C3-FRE	1.0125
SLU-03		Q5	0	SLU-05		Q5	0
SLU-03		Qw	1.5	SLU-05		Qw	0.9
SLU-03		TEMP+	0.9	SLU-05		TEMP+	1.5
SLU-03		Ritiro	1.2	SLU-05		Ritiro	1.2
SLU-04	Linear Add	G1	1.35	SLU-06	Linear Add	G1	1.35
SLU-04		G2	1.5	SLU-06		G2	1.5
SLU-04		C1-SCHEMA-1	1.0125	SLU-06		C1-SCHEMA-1	1.0125
SLU-04		C2-SCHEMA-2	1.0125	SLU-06		C2-SCHEMA-2	1.0125
SLU-04		C3-SCHEMA-3	1.0125	SLU-06		C3-SCHEMA-3	1.0125
SLU-04		C1-FRE	1.0125	SLU-06		C1-FRE	1.0125
SLU-04		C2-FRE	1.0125	SLU-06		C2-FRE	1.0125
SLU-04		C3-FRE	1.0125	SLU-06		C3-FRE	1.0125
SLU-04		Q5	0	SLU-06		Q5	0
SLU-04		Qw	1.5	SLU-06		Qw	0.9
SLU-04		TEMP-	0.9	SLU-06		TEMP-	1.5
SLU-04		Ritiro	1.2	SLU-06		Ritiro	1.2

Viadotto NW01
Relazione di calcolo impalcato

COMMESSA	LOTTO	CODIFICA	DOCUMENTO	REV.	FOGLIO
RS3H	02	D 78	CL NW0108 001	A	37 di 186

				SLU-09	Linear Add	G1	1.35
				SLU-09		G2	1.5
				SLU-09		C1-SCHEMA-1	1.0125
				SLU-09		C2-SCHEMA-2	1.0125
				SLU-09		C3-SCHEMA-3	1.0125
				SLU-09		C1-FRE	-1.0125
				SLU-09		C2-FRE	-1.0125
				SLU-09		C3-FRE	-1.0125
				SLU-09		Q5	0
				SLU-09		Qw	1.5
				SLU-09		TEMP+	0.9
				SLU-09		Ritiro	1.2
				SLU-10	Linear Add	G1	1.35
				SLU-10		G2	1.5
				SLU-10		C1-SCHEMA-1	1.0125
				SLU-10		C2-SCHEMA-2	1.0125
				SLU-10		C3-SCHEMA-3	1.0125
				SLU-10		C1-FRE	-1.0125
				SLU-10		C2-FRE	-1.0125
				SLU-10		C3-FRE	-1.0125
				SLU-10		Q5	0
				SLU-10		Qw	1.5
				SLU-10		TEMP-	0.9
				SLU-10		Ritiro	1.2
SLU-07	Linear Add	G1	1.35	SLU-11	Linear Add	G1	1.35
SLU-07		G2	1.5	SLU-11		G2	1.5
SLU-07		C1-SCHEMA-1	1.35	SLU-11		C1-SCHEMA-1	1.0125
SLU-07		C2-SCHEMA-2	1.35	SLU-11		C2-SCHEMA-2	1.0125
SLU-07		C3-SCHEMA-3	1.35	SLU-11		C3-SCHEMA-3	1.0125
SLU-07		C1-FRE	-1.35	SLU-11		C1-FRE	-1.0125
SLU-07		C2-FRE	-1.35	SLU-11		C2-FRE	-1.0125
SLU-07		C3-FRE	-1.35	SLU-11		C3-FRE	-1.0125
SLU-07		Q5	1.35	SLU-11		Q5	0
SLU-07		Qw	0.9	SLU-11		Qw	0.9
SLU-07		TEMP+	0.9	SLU-11		TEMP+	1.5
SLU-07		Ritiro	1.2	SLU-11		Ritiro	1.2
SLU-08	Linear Add	G1	1.35	SLU-12	Linear Add	G1	1.35
SLU-08		G2	1.5	SLU-12		G2	1.5
SLU-08		C1-SCHEMA-1	1.35	SLU-12		C1-SCHEMA-1	1.0125
SLU-08		C2-SCHEMA-2	1.35	SLU-12		C2-SCHEMA-2	1.0125
SLU-08		C3-SCHEMA-3	1.35	SLU-12		C3-SCHEMA-3	1.0125
SLU-08		C1-FRE	-1.35	SLU-12		C1-FRE	-1.0125
SLU-08		C2-FRE	-1.35	SLU-12		C2-FRE	-1.0125
SLU-08		C3-FRE	-1.35	SLU-12		C3-FRE	-1.0125
SLU-08		Q5	1.35	SLU-12		Q5	0
SLU-08		Qw	0.9	SLU-12		Qw	0.9
SLU-08		TEMP-	0.9	SLU-12		TEMP-	1.5
SLU-08		Ritiro	1.2	SLU-12		Ritiro	1.2

SLU-01a	Linear Add	G1	1.35				
SLU-01a		G2	1.5				
SLU-01a		C1-SCHEMA-1	1.35				
SLU-01a		C2-SCHEMA-2	1.35				
SLU-01a		C1-FRE	1.35	SLU-05a	Linear Add	G1	1.35
SLU-01a		C2-FRE	1.35	SLU-05a		G2	1.5
SLU-01a		Q5_s	1.35	SLU-05a		C1-SCHEMA-1	1.0125
SLU-01a		Qw	0.9	SLU-05a		C2-SCHEMA-2	1.0125
SLU-01a		TEMP+	0.9	SLU-05a		C1-FRE	1.0125
SLU-01a		Ritiro	1.2	SLU-05a		C2-FRE	1.0125
SLU-01a				SLU-05a		Q5_s	0
SLU-02a	Linear Add	G1	1.35	SLU-05a		Qw	0.9
SLU-02a		G2	1.5	SLU-05a		TEMP+	1.5
SLU-02a		C1-SCHEMA-1	1.35	SLU-05a		Ritiro	1.2
SLU-02a		C2-SCHEMA-2	1.35	SLU-06a	Linear Add	G1	1.35
SLU-02a		C1-FRE	1.35	SLU-06a		G2	1.5
SLU-02a		C2-FRE	1.35	SLU-06a		C1-SCHEMA-1	1.0125
SLU-02a		Q5_s	1.35	SLU-06a		C2-SCHEMA-2	1.0125
SLU-02a		Qw	0.9	SLU-06a		C1-FRE	1.0125
SLU-02a		TEMP-	0.9	SLU-06a		C2-FRE	1.0125
SLU-02a		Ritiro	1.2	SLU-06a		Q5_s	0
SLU-02a				SLU-06a		Qw	0.9
SLU-03a	Linear Add	G1	1.35	SLU-06a		TEMP-	1.5
SLU-03a		G2	1.5	SLU-06a		Ritiro	1.2
SLU-03a		C1-SCHEMA-1	1.0125	SLU-07a	Linear Add	G1	1.35
SLU-03a		C2-SCHEMA-2	1.0125	SLU-07a		G2	1.5
SLU-03a		C1-FRE	1.0125	SLU-07a		C1-SCHEMA-1	1.35
SLU-03a		C2-FRE	1.0125	SLU-07a		C2-SCHEMA-2	1.35
SLU-03a		Q5_s	0	SLU-07a		C1-FRE	-1.35
SLU-03a		Qw	1.5	SLU-07a		C2-FRE	-1.35
SLU-03a		TEMP+	0.9	SLU-07a		Q5_s	1.35
SLU-03a		Ritiro	1.2	SLU-07a		Qw	0.9
SLU-03a				SLU-07a		TEMP+	0.9
SLU-04a	Linear Add	G1	1.35	SLU-07a		Ritiro	1.2
SLU-04a		G2	1.5	SLU-08a	Linear Add	G1	1.35
SLU-04a		C1-SCHEMA-1	1.0125	SLU-08a		G2	1.5
SLU-04a		C2-SCHEMA-2	1.0125	SLU-08a		C1-SCHEMA-1	1.35
SLU-04a		C1-FRE	1.0125	SLU-08a		C2-SCHEMA-2	1.35
SLU-04a		C2-FRE	1.0125	SLU-08a		C1-FRE	-1.35
SLU-04a		Q5_s	0	SLU-08a		C2-FRE	-1.35
SLU-04a		Qw	1.5	SLU-08a		Q5_s	1.35
SLU-04a		TEMP-	0.9	SLU-08a		Qw	0.9
SLU-04a		Ritiro	1.2	SLU-08a		TEMP-	0.9
SLU-04a				SLU-08a		Ritiro	1.2

Viadotto NW01
Relazione di calcolo impalcato

COMMESSA	LOTTO	CODIFICA	DOCUMENTO	REV.	FOGLIO
RS3H	02	D 78	CL NW0108 001	A	39 di 186

				SLU-01b	Linear Add	G1	1.35
				SLU-01b		G2	1.5
SLU-09a	Linear Add	G1	1.35	SLU-01b		C1-SCHEMA-1	1.35
SLU-09a		G2	1.5	SLU-01b		C3-SCHEMA-2	1.35
SLU-09a		C1-SCHEMA-1	1.0125	SLU-01b		C1-FRE	1.35
SLU-09a		C2-SCHEMA-2	1.0125	SLU-01b		C3-FRE	1.35
SLU-09a		C1-FRE	-1.0125	SLU-01b		Q5_s	1.35
SLU-09a		C2-FRE	-1.0125	SLU-01b		Qw	0.9
SLU-09a		Q5_s	0	SLU-01b		TEMP+	0.9
SLU-09a		Qw	1.5	SLU-01b		Ritiro	1.2
SLU-09a		TEMP+	0.9	SLU-02b	Linear Add	G1	1.35
SLU-09a		Ritiro	1.2	SLU-02b		G2	1.5
SLU-10a	Linear Add	G1	1.35	SLU-02b		C1-SCHEMA-1	1.35
SLU-10a		G2	1.5	SLU-02b		C3-SCHEMA-2	1.35
SLU-10a		C1-SCHEMA-1	1.0125	SLU-02b		C1-FRE	1.35
SLU-10a		C2-SCHEMA-2	1.0125	SLU-02b		C3-FRE	1.35
SLU-10a		C1-FRE	-1.0125	SLU-02b		Q5_s	1.35
SLU-10a		C2-FRE	-1.0125	SLU-02b		Qw	0.9
SLU-10a		Q5_s	0	SLU-02b		TEMP-	0.9
SLU-10a		Qw	1.5	SLU-02b		Ritiro	1.2
SLU-10a		TEMP-	0.9	SLU-02b		G1	1.35
SLU-10a		Ritiro	1.2	SLU-03b	Linear Add	G2	1.5
SLU-11a	Linear Add	G1	1.35	SLU-03b		C1-SCHEMA-1	1.0125
SLU-11a		G2	1.5	SLU-03b		C3-SCHEMA-2	1.0125
SLU-11a		C1-SCHEMA-1	1.0125	SLU-03b		C1-FRE	1.0125
SLU-11a		C2-SCHEMA-2	1.0125	SLU-03b		C3-FRE	1.0125
SLU-11a		C1-FRE	-1.0125	SLU-03b		Q5_s	0
SLU-11a		C2-FRE	-1.0125	SLU-03b		Qw	1.5
SLU-11a		Q5_s	0	SLU-03b		TEMP+	0.9
SLU-11a		Qw	0.9	SLU-03b		Ritiro	1.2
SLU-11a		TEMP+	1.5	SLU-03b		G1	1.35
SLU-11a		Ritiro	1.2	SLU-04b	Linear Add	G2	1.5
SLU-12a	Linear Add	G1	1.35	SLU-04b		C1-SCHEMA-1	1.0125
SLU-12a		G2	1.5	SLU-04b		C3-SCHEMA-2	1.0125
SLU-12a		C1-SCHEMA-1	1.0125	SLU-04b		C1-FRE	1.0125
SLU-12a		C2-SCHEMA-2	1.0125	SLU-04b		C3-FRE	1.0125
SLU-12a		C1-FRE	-1.0125	SLU-04b		Q5_s	0
SLU-12a		C2-FRE	-1.0125	SLU-04b		Qw	1.5
SLU-12a		Q5_s	0	SLU-04b		TEMP-	0.9
SLU-12a		Qw	0.9	SLU-04b		Ritiro	1.2
SLU-12a		TEMP-	1.5	SLU-04b			
SLU-12a		Ritiro	1.2	SLU-04b			

				SLU-09b	Linear Add	G1	1.35
SLU-05b	Linear Add	G1	1.35	SLU-09b		G2	1.5
SLU-05b		G2	1.5	SLU-09b		C1-SCHEMA-1	1.0125
SLU-05b		C1-SCHEMA-1	1.0125	SLU-09b		C3-SCHEMA-2	1.0125
SLU-05b		C3-SCHEMA-2	1.0125	SLU-09b		C1-FRE	-1.0125
SLU-05b		C1-FRE	1.0125	SLU-09b		C3-FRE	-1.0125
SLU-05b		C3-FRE	1.0125	SLU-09b		Q5_s	0
SLU-05b		Q5_s	0	SLU-09b		Qw	1.5
SLU-05b		Qw	0.9	SLU-09b		TEMP+	0.9
SLU-05b		TEMP+	1.5	SLU-09b		Ritiro	1.2
SLU-05b		Ritiro	1.2	SLU-10b	Linear Add	G1	1.35
SLU-06b	Linear Add	G1	1.35	SLU-10b		G2	1.5
SLU-06b		G2	1.5	SLU-10b		C1-SCHEMA-1	1.0125
SLU-06b		C1-SCHEMA-1	1.0125	SLU-10b		C3-SCHEMA-2	1.0125
SLU-06b		C3-SCHEMA-2	1.0125	SLU-10b		C1-FRE	-1.0125
SLU-06b		C1-FRE	1.0125	SLU-10b		C3-FRE	-1.0125
SLU-06b		C3-FRE	1.0125	SLU-10b		Q5_s	0
SLU-06b		Q5_s	0	SLU-10b		Qw	1.5
SLU-06b		Qw	0.9	SLU-10b		TEMP-	0.9
SLU-06b		TEMP-	1.5	SLU-10b		Ritiro	1.2
SLU-06b		Ritiro	1.2	SLU-11b	Linear Add	G1	1.35
SLU-07b	Linear Add	G1	1.35	SLU-11b		G2	1.5
SLU-07b		G2	1.5	SLU-11b		C1-SCHEMA-1	1.0125
SLU-07b		C1-SCHEMA-1	1.35	SLU-11b		C3-SCHEMA-2	1.0125
SLU-07b		C3-SCHEMA-2	1.35	SLU-11b		C1-FRE	-1.0125
SLU-07b		C1-FRE	-1.35	SLU-11b		C3-FRE	-1.0125
SLU-07b		C3-FRE	-1.35	SLU-11b		Q5_s	0
SLU-07b		Q5_s	1.35	SLU-11b		Qw	0.9
SLU-07b		Qw	0.9	SLU-11b		TEMP+	1.5
SLU-07b		TEMP+	0.9	SLU-11b		Ritiro	1.2
SLU-07b		Ritiro	1.2	SLU-12b	Linear Add	G1	1.35
SLU-08b	Linear Add	G1	1.35	SLU-12b		G2	1.5
SLU-08b		G2	1.5	SLU-12b		C1-SCHEMA-1	1.0125
SLU-08b		C1-SCHEMA-1	1.35	SLU-12b		C3-SCHEMA-2	1.0125
SLU-08b		C3-SCHEMA-2	1.35	SLU-12b		C1-FRE	-1.0125
SLU-08b		C1-FRE	-1.35	SLU-12b		C3-FRE	-1.0125
SLU-08b		C3-FRE	-1.35	SLU-12b		Q5_s	0
SLU-08b		Q5_s	1.35	SLU-12b		Qw	0.9
SLU-08b		Qw	0.9	SLU-12b		TEMP-	1.5
SLU-08b		TEMP-	0.9	SLU-12b		Ritiro	1.2
SLU-08b		Ritiro	1.2				

SLU-01c	Linear Add	G1	1.35	SLU-07c	Linear Add	G1	1.35
SLU-01c		G2	1.5	SLU-07c		G2	1.5
SLU-01c		C2-SCHEMA-1	1.35	SLU-07c		C2-SCHEMA-1	1.35
SLU-01c		C2-FRE	1.35	SLU-07c		C2-FRE	-1.35
SLU-01c		Qw	0.9	SLU-07c		Qw	0.9
SLU-01c		TEMP+	0.9	SLU-07c		TEMP+	0.9
SLU-01c		Ritiro	1.2	SLU-07c		Ritiro	1.2
SLU-02c	Linear Add	G1	1.35	SLU-08c	Linear Add	G1	1.35
SLU-02c		G2	1.5	SLU-08c		G2	1.5
SLU-02c		C2-SCHEMA-1	1.35	SLU-08c		C2-SCHEMA-1	1.35
SLU-02c		C2-FRE	1.35	SLU-08c		C2-FRE	-1.35
SLU-02c		Qw	0.9	SLU-08c		Qw	0.9
SLU-02c		TEMP-	0.9	SLU-08c		TEMP-	0.9
SLU-02c		Ritiro	1.2	SLU-08c		Ritiro	1.2
SLU-03c	Linear Add	G1	1.35	SLU-09c	Linear Add	G1	1.35
SLU-03c		G2	1.5	SLU-09c		G2	1.5
SLU-03c		C2-SCHEMA-1	1.0125	SLU-09c		C2-SCHEMA-1	1.0125
SLU-03c		C2-FRE	1.0125	SLU-09c		C2-FRE	-1.0125
SLU-03c		Qw	1.5	SLU-09c		Qw	1.5
SLU-03c		TEMP+	0.9	SLU-09c		TEMP+	0.9
SLU-03c		Ritiro	1.2	SLU-09c		Ritiro	1.2
SLU-04c	Linear Add	G1	1.35	SLU-10c	Linear Add	G1	1.35
SLU-04c		G2	1.5	SLU-10c		G2	1.5
SLU-04c		C2-SCHEMA-1	1.0125	SLU-10c		C2-SCHEMA-1	1.0125
SLU-04c		C2-FRE	1.0125	SLU-10c		C2-FRE	-1.0125
SLU-04c		Qw	1.5	SLU-10c		Qw	1.5
SLU-04c		TEMP-	0.9	SLU-10c		TEMP-	0.9
SLU-04c		Ritiro	1.2	SLU-10c		Ritiro	1.2
SLU-05c	Linear Add	G1	1.35	SLU-11c	Linear Add	G1	1.35
SLU-05c		G2	1.5	SLU-11c		G2	1.5
SLU-05c		C2-SCHEMA-1	1.0125	SLU-11c		C2-SCHEMA-1	1.0125
SLU-05c		C2-FRE	1.0125	SLU-11c		C2-FRE	-1.0125
SLU-05c		Qw	0.9	SLU-11c		Qw	0.9
SLU-05c		TEMP+	1.5	SLU-11c		TEMP+	1.5
SLU-05c		Ritiro	1.2	SLU-11c		Ritiro	1.2
SLU-06c	Linear Add	G1	1.35	SLU-12c	Linear Add	G1	1.35
SLU-06c		G2	1.5	SLU-12c		G2	1.5
SLU-06c		C2-SCHEMA-1	1.0125	SLU-12c		C2-SCHEMA-1	1.0125
SLU-06c		C2-FRE	1.0125	SLU-12c		C2-FRE	-1.0125
SLU-06c		Qw	0.9	SLU-12c		Qw	0.9
SLU-06c		TEMP-	1.5	SLU-12c		TEMP-	1.5
SLU-06c		Ritiro	1.2	SLU-12c		Ritiro	1.2

SLUSIS-01	Linear Add	G1	1
SLUSIS-01		G2	1
SLUSIS-01		SISMA_X	1
SLUSIS-01		SISMA_Y	0.3
SLUSIS-01		SISMA_Z	0.3
SLUSIS-01		TEMP+	0.5
SLUSIS-02	Linear Add	G1	1
SLUSIS-02		G2	1
SLUSIS-02		SISMA_X	1
SLUSIS-02		SISMA_Y	0.3
SLUSIS-02		SISMA_Z	0.3
SLUSIS-02		TEMP-	0.5
SLUSIS-03	Linear Add	G1	1
SLUSIS-03		G2	1
SLUSIS-03		SISMA_X	0.3
SLUSIS-03		SISMA_Y	1
SLUSIS-03		SISMA_Z	0.3
SLUSIS-03		TEMP+	0.5
SLUSIS-04	Linear Add	G1	1
SLUSIS-04		G2	1
SLUSIS-04		SISMA_X	0.3
SLUSIS-04		SISMA_Y	1
SLUSIS-04		SISMA_Z	0.3
SLUSIS-04		TEMP-	0.5
SLUSIS-05	Linear Add	G1	1
SLUSIS-05		G2	1
SLUSIS-05		SISMA_X	0.3
SLUSIS-05		SISMA_Y	0.3
SLUSIS-05		SISMA_Z	1
SLUSIS-05		TEMP+	0.5
SLUSIS-06	Linear Add	G1	1
SLUSIS-06		G2	1
SLUSIS-06		SISMA_X	0.3
SLUSIS-06		SISMA_Y	0.3
SLUSIS-06		SISMA_Z	1
SLUSIS-06		TEMP-	0.5
SLU-URTO	Linear Add	G1	1.35
SLU-URTO		G2	1.5
SLU-URTO		C3-SCHEMA ISOLATO	1.35
SLU-URTO		URTO	1.5

Viadotto NW01
Relazione di calcolo impalcato

COMMESSA	LOTTO	CODIFICA	DOCUMENTO	REV.	FOGLIO
RS3H	02	D 78	CL NW0108 001	A	43 di 186

SLERA-01	Linear Add	G1	1	SLERA-05	Linear Add	G1	1
SLERA-01		G2	1	SLERA-05		G2	1
SLERA-01		C1-SCHEMA-1	1	SLERA-05		C1-SCHEMA-1	0.75
SLERA-01		C2-SCHEMA-2	1	SLERA-05		C2-SCHEMA-2	0.75
SLERA-01		C3-SCHEMA-3	1	SLERA-05		C3-SCHEMA-3	0.75
SLERA-01		C1-FRE	1	SLERA-05		C1-FRE	0.75
SLERA-01		C2-FRE	1	SLERA-05		C2-FRE	0.75
SLERA-01		C3-FRE	1	SLERA-05		C3-FRE	0.75
SLERA-01		Q5	1	SLERA-05		Q5	0.75
SLERA-01		Qw	0.6	SLERA-05		Qw	0.6
SLERA-01		TEMP+	0.6	SLERA-05		TEMP+	1
SLERA-01		Ritiro	0.6	SLERA-05		Ritiro	1
SLERA-02	Linear Add	G1	1	SLERA-06	Linear Add	G1	1
SLERA-02		G2	1	SLERA-06		G2	1
SLERA-02		C1-SCHEMA-1	1	SLERA-06		C1-SCHEMA-1	0.75
SLERA-02		C2-SCHEMA-2	1	SLERA-06		C2-SCHEMA-2	0.75
SLERA-02		C3-SCHEMA-3	1	SLERA-06		C3-SCHEMA-3	0.75
SLERA-02		C1-FRE	1	SLERA-06		C1-FRE	0.75
SLERA-02		C2-FRE	1	SLERA-06		C2-FRE	0.75
SLERA-02		C3-FRE	1	SLERA-06		C3-FRE	0.75
SLERA-02		Q5	1	SLERA-06		Q5	0.75
SLERA-02		Qw	0.6	SLERA-06		Qw	0.6
SLERA-02		TEMP-	0.6	SLERA-06		TEMP-	1
SLERA-02		Ritiro	0.6	SLERA-06		Ritiro	1
SLERA-03	Linear Add	G1	1	SLERA-07	Linear Add	G1	1
SLERA-03		G2	1	SLERA-07		G2	1
SLERA-03		C1-SCHEMA-1	0.75	SLERA-07		C1-SCHEMA-1	1
SLERA-03		C2-SCHEMA-2	0.75	SLERA-07		C2-SCHEMA-2	1
SLERA-03		C3-SCHEMA-3	0.75	SLERA-07		C3-SCHEMA-3	1
SLERA-03		C1-FRE	0.75	SLERA-07		C1-FRE	-1
SLERA-03		C2-FRE	0.75	SLERA-07		C2-FRE	-1
SLERA-03		C3-FRE	0.75	SLERA-07		C3-FRE	-1
SLERA-03		Q5	0.75	SLERA-07		Q5	1
SLERA-03		Qw	1	SLERA-07		Qw	0.6
SLERA-03		TEMP+	0.6	SLERA-07		TEMP+	0.6
SLERA-03		Ritiro	0.6	SLERA-07		Ritiro	0.6
SLERA-04	Linear Add	G1	1	SLERA-08	Linear Add	G1	1
SLERA-04		G2	1	SLERA-08		G2	1
SLERA-04		C1-SCHEMA-1	0.75	SLERA-08		C1-SCHEMA-1	1
SLERA-04		C2-SCHEMA-2	0.75	SLERA-08		C2-SCHEMA-2	1
SLERA-04		C3-SCHEMA-3	0.75	SLERA-08		C3-SCHEMA-3	1
SLERA-04		C1-FRE	0.75	SLERA-08		C1-FRE	-1
SLERA-04		C2-FRE	0.75	SLERA-08		C2-FRE	-1
SLERA-04		C3-FRE	0.75	SLERA-08		C3-FRE	-1
SLERA-04		Q5	0.75	SLERA-08		Q5	1
SLERA-04		Qw	1	SLERA-08		Qw	0.6
SLERA-04		TEMP-	0.6	SLERA-08		TEMP-	0.6
SLERA-04		Ritiro	0.6	SLERA-08		Ritiro	0.6

Viadotto NW01
Relazione di calcolo impalcato

COMMESSA	LOTTO	CODIFICA	DOCUMENTO	REV.	FOGLIO
RS3H	02	D 78	CL NW0108 001	A	44 di 186

SLERA-09a	Linear Add	G1	1	SLERA-01b	Linear Add	G1	1
SLERA-09a		G2	1	SLERA-01b		G2	1
SLERA-09a		C1-SCHEMA-1	0.75	SLERA-01b		C1-SCHEMA-1	1
SLERA-09a		C2-SCHEMA-2	0.75	SLERA-01b		C3-SCHEMA-2	1
SLERA-09a		C1-FRE	-0.75	SLERA-01b		C1-FRE	1
SLERA-09a		C2-FRE	-0.75	SLERA-01b		C3-FRE	1
SLERA-09a		Q5_s	0.75	SLERA-01b		Q5_s	1
SLERA-09a		Qw	1	SLERA-01b		Qw	0.6
SLERA-09a		TEMP+	0.6	SLERA-01b		TEMP+	0.6
SLERA-09a		Ritiro	0.6	SLERA-01b		Ritiro	0.6
SLERA-10a	Linear Add	G1	1	SLERA-02b	Linear Add	G1	1
SLERA-10a		G2	1	SLERA-02b		G2	1
SLERA-10a		C1-SCHEMA-1	0.75	SLERA-02b		C1-SCHEMA-1	1
SLERA-10a		C2-SCHEMA-2	0.75	SLERA-02b		C3-SCHEMA-2	1
SLERA-10a		C1-FRE	-0.75	SLERA-02b		C1-FRE	1
SLERA-10a		C2-FRE	-0.75	SLERA-02b		C3-FRE	1
SLERA-10a		Q5_s	0.75	SLERA-02b		Q5_s	1
SLERA-10a		Qw	1	SLERA-02b		Qw	0.6
SLERA-10a		TEMP-	0.6	SLERA-02b		TEMP-	0.6
SLERA-10a		Ritiro	0.6	SLERA-02b		Ritiro	0.6
SLERA-11a	Linear Add	G1	1	SLERA-03b	Linear Add	G1	1
SLERA-11a		G2	1	SLERA-03b		G2	1
SLERA-11a		C1-SCHEMA-1	0.75	SLERA-03b		C1-SCHEMA-1	0.75
SLERA-11a		C2-SCHEMA-2	0.75	SLERA-03b		C3-SCHEMA-2	0.75
SLERA-11a		C1-FRE	-0.75	SLERA-03b		C1-FRE	0.75
SLERA-11a		C2-FRE	-0.75	SLERA-03b		C3-FRE	0.75
SLERA-11a		Q5_s	0.75	SLERA-03b		Q5_s	0.75
SLERA-11a		Qw	0.6	SLERA-03b		Qw	1
SLERA-11a		TEMP+	1	SLERA-03b		TEMP+	0.6
SLERA-11a		Ritiro	1	SLERA-03b		Ritiro	0.6
SLERA-12a	Linear Add	G1	1	SLERA-04b	Linear Add	G1	1
SLERA-12a		G2	1	SLERA-04b		G2	1
SLERA-12a		C1-SCHEMA-1	0.75	SLERA-04b		C1-SCHEMA-1	0.75
SLERA-12a		C2-SCHEMA-2	0.75	SLERA-04b		C3-SCHEMA-2	0.75
SLERA-12a		C1-FRE	-0.75	SLERA-04b		C1-FRE	0.75
SLERA-12a		C2-FRE	-0.75	SLERA-04b		C3-FRE	0.75
SLERA-12a		Q5_s	0.75	SLERA-04b		Q5_s	0.75
SLERA-12a		Qw	0.6	SLERA-04b		Qw	1
SLERA-12a		TEMP-	1	SLERA-04b		TEMP-	0.6
SLERA-12a		Ritiro	1	SLERA-04b		Ritiro	0.6

Viadotto NW01
Relazione di calcolo impalcato

COMMESSA	LOTTO	CODIFICA	DOCUMENTO	REV.	FOGLIO
RS3H	02	D 78	CL NW0108 001	A	45 di 186

SLERA-05b	Linear Add	G1	1	SLERA-09b	Linear Add	G1	1
SLERA-05b		G2	1	SLERA-09b		G2	1
SLERA-05b		C1-SCHEMA-1	0.75	SLERA-09b		C1-SCHEMA-1	0.75
SLERA-05b		C3-SCHEMA-2	0.75	SLERA-09b		C3-SCHEMA-2	0.75
SLERA-05b		C1-FRE	0.75	SLERA-09b		C1-FRE	-0.75
SLERA-05b		C3-FRE	0.75	SLERA-09b		C3-FRE	-0.75
SLERA-05b		Q5_s	0.75	SLERA-09b		Q5_s	0.75
SLERA-05b		Qw	0.6	SLERA-09b		Qw	1
SLERA-05b		TEMP+	1	SLERA-09b		TEMP+	0.6
SLERA-05b		Ritiro	1	SLERA-09b		Ritiro	0.6
SLERA-06b	Linear Add	G1	1	SLERA-10b	Linear Add	G1	1
SLERA-06b		G2	1	SLERA-10b		G2	1
SLERA-06b		C1-SCHEMA-1	0.75	SLERA-10b		C1-SCHEMA-1	0.75
SLERA-06b		C3-SCHEMA-2	0.75	SLERA-10b		C3-SCHEMA-2	0.75
SLERA-06b		C1-FRE	0.75	SLERA-10b		C1-FRE	-0.75
SLERA-06b		C3-FRE	0.75	SLERA-10b		C3-FRE	-0.75
SLERA-06b		Q5_s	0.75	SLERA-10b		Q5_s	0.75
SLERA-06b		Qw	0.6	SLERA-10b		Qw	1
SLERA-06b		TEMP-	1	SLERA-10b		TEMP-	0.6
SLERA-06b		Ritiro	1	SLERA-10b		Ritiro	0.6
SLERA-07b	Linear Add	G1	1	SLERA-11b	Linear Add	G1	1
SLERA-07b		G2	1	SLERA-11b		G2	1
SLERA-07b		C1-SCHEMA-1	1	SLERA-11b		C1-SCHEMA-1	0.75
SLERA-07b		C3-SCHEMA-2	1	SLERA-11b		C3-SCHEMA-2	0.75
SLERA-07b		C1-FRE	-1	SLERA-11b		C1-FRE	-0.75
SLERA-07b		C3-FRE	-1	SLERA-11b		C3-FRE	-0.75
SLERA-07b		Q5_s	1	SLERA-11b		Q5_s	0.75
SLERA-07b		Qw	0.6	SLERA-11b		Qw	0.6
SLERA-07b		TEMP+	0.6	SLERA-11b		TEMP+	1
SLERA-07b		Ritiro	0.6	SLERA-11b		Ritiro	1
SLERA-08b	Linear Add	G1	1	SLERA-12b	Linear Add	G1	1
SLERA-08b		G2	1	SLERA-12b		G2	1
SLERA-08b		C1-SCHEMA-1	1	SLERA-12b		C1-SCHEMA-1	0.75
SLERA-08b		C3-SCHEMA-2	1	SLERA-12b		C3-SCHEMA-2	0.75
SLERA-08b		C1-FRE	-1	SLERA-12b		C1-FRE	-0.75
SLERA-08b		C3-FRE	-1	SLERA-12b		C3-FRE	-0.75
SLERA-08b		Q5_s	1	SLERA-12b		Q5_s	0.75
SLERA-08b		Qw	0.6	SLERA-12b		Qw	0.6
SLERA-08b		TEMP-	0.6	SLERA-12b		TEMP-	1
SLERA-08b		Ritiro	0.6	SLERA-12b		Ritiro	1

SLERA-01c	Linear Add	G1	1	SLERA-07c	Linear Add	G1	1
SLERA-01c		G2	1	SLERA-07c		G2	1
SLERA-01c		C2-SCHEMA-1	1	SLERA-07c		C2-SCHEMA-1	1
SLERA-01c		C2-FRE	1	SLERA-07c		C2-FRE	-1
SLERA-01c		Qw	0.6	SLERA-07c		Qw	0.6
SLERA-01c		TEMP+	0.6	SLERA-07c		TEMP+	0.6
SLERA-01c		Ritiro	0.6	SLERA-07c		Ritiro	0.6
SLERA-02c	Linear Add	G1	1	SLERA-08c	Linear Add	G1	1
SLERA-02c		G2	1	SLERA-08c		G2	1
SLERA-02c		C2-SCHEMA-1	1	SLERA-08c		C2-SCHEMA-1	1
SLERA-02c		C2-FRE	1	SLERA-08c		C2-FRE	-1
SLERA-02c		Qw	0.6	SLERA-08c		Qw	0.6
SLERA-02c		TEMP-	0.6	SLERA-08c		TEMP-	0.6
SLERA-02c		Ritiro	0.6	SLERA-08c		Ritiro	0.6
SLERA-03c	Linear Add	G1	1	SLERA-09c	Linear Add	G1	1
SLERA-03c		G2	1	SLERA-09c		G2	1
SLERA-03c		C2-SCHEMA-1	0.75	SLERA-09c		C2-SCHEMA-1	0.75
SLERA-03c		C2-FRE	0.75	SLERA-09c		C2-FRE	-0.75
SLERA-03c		Qw	1	SLERA-09c		Qw	1
SLERA-03c		TEMP+	0.6	SLERA-09c		TEMP+	0.6
SLERA-03c		Ritiro	0.6	SLERA-09c		Ritiro	0.6
SLERA-04c	Linear Add	G1	1	SLERA-10c	Linear Add	G1	1
SLERA-04c		G2	1	SLERA-10c		G2	1
SLERA-04c		C2-SCHEMA-1	0.75	SLERA-10c		C2-SCHEMA-1	0.75
SLERA-04c		C2-FRE	0.75	SLERA-10c		C2-FRE	-0.75
SLERA-04c		Qw	1	SLERA-10c		Qw	1
SLERA-04c		TEMP-	0.6	SLERA-10c		TEMP-	0.6
SLERA-04c		Ritiro	0.6	SLERA-10c		Ritiro	0.6
SLERA-05c	Linear Add	G1	1	SLERA-11c	Linear Add	G1	1
SLERA-05c		G2	1	SLERA-11c		G2	1
SLERA-05c		C2-SCHEMA-1	0.75	SLERA-11c		C2-SCHEMA-1	0.75
SLERA-05c		C2-FRE	0.75	SLERA-11c		C2-FRE	-0.75
SLERA-05c		Qw	0.6	SLERA-11c		Qw	0.6
SLERA-05c		TEMP+	1	SLERA-11c		TEMP+	1
SLERA-05c		Ritiro	1	SLERA-11c		Ritiro	1
SLERA-06c	Linear Add	G1	1	SLERA-12c	Linear Add	G1	1
SLERA-06c		G2	1	SLERA-12c		G2	1
SLERA-06c		C2-SCHEMA-1	0.75	SLERA-12c		C2-SCHEMA-1	0.75
SLERA-06c		C2-FRE	0.75	SLERA-12c		C2-FRE	-0.75
SLERA-06c		Qw	0.6	SLERA-12c		Qw	0.6
SLERA-06c		TEMP-	1	SLERA-12c		TEMP-	1
SLERA-06c		Ritiro	1	SLERA-12c		Ritiro	1

SLEFRE-01	Linear Add	G1	1	SLEFRE-05	Linear Add	G1	1
SLEFRE-01		G2	1	SLEFRE-05		G2	1
SLEFRE-01		C1-SCHEMA-1	0.75	SLEFRE-05		C1-SCHEMA-1	0
SLEFRE-01		C2-SCHEMA-2	0.75	SLEFRE-05		C2-SCHEMA-2	0
SLEFRE-01		C3-SCHEMA-3	0.75	SLEFRE-05		C3-SCHEMA-3	0
SLEFRE-01		C1-FRE	0.75	SLEFRE-05		C1-FRE	0
SLEFRE-01		C2-FRE	0.75	SLEFRE-05		C2-FRE	0
SLEFRE-01		C3-FRE	0.75	SLEFRE-05		C3-FRE	0
SLEFRE-01		Q5	0.75	SLEFRE-05		Q5	0
SLEFRE-01		Qw	0	SLEFRE-05		Qw	0
SLEFRE-01		TEMP+	0.5	SLEFRE-05		TEMP+	0.6
SLEFRE-01		Ritiro	0.5	SLEFRE-05		Ritiro	0.6
SLEFRE-02	Linear Add	G1	1	SLEFRE-06	Linear Add	G1	1
SLEFRE-02		G2	1	SLEFRE-06		G2	1
SLEFRE-02		C1-SCHEMA-1	0.75	SLEFRE-06		C1-SCHEMA-1	0
SLEFRE-02		C2-SCHEMA-2	0.75	SLEFRE-06		C2-SCHEMA-2	0
SLEFRE-02		C3-SCHEMA-3	0.75	SLEFRE-06		C3-SCHEMA-3	0
SLEFRE-02		C1-FRE	0.75	SLEFRE-06		C1-FRE	0
SLEFRE-02		C2-FRE	0.75	SLEFRE-06		C2-FRE	0
SLEFRE-02		C3-FRE	0.75	SLEFRE-06		C3-FRE	0
SLEFRE-02		Q5	0.75	SLEFRE-06		Q5	0
SLEFRE-02		Qw	0	SLEFRE-06		Qw	0
SLEFRE-02		TEMP-	0.5	SLEFRE-06		TEMP-	0.6
SLEFRE-02		Ritiro	0.5	SLEFRE-06		Ritiro	0.6
SLEFRE-03	Linear Add	G1	1	SLEFRE-07	Linear Add	G1	1
SLEFRE-03		G2	1	SLEFRE-07		G2	1
SLEFRE-03		C1-SCHEMA-1	0	SLEFRE-07		C1-SCHEMA-1	0.75
SLEFRE-03		C2-SCHEMA-2	0	SLEFRE-07		C2-SCHEMA-2	0.75
SLEFRE-03		C3-SCHEMA-3	0	SLEFRE-07		C3-SCHEMA-3	0.75
SLEFRE-03		C1-FRE	0	SLEFRE-07		C1-FRE	-0.75
SLEFRE-03		C2-FRE	0	SLEFRE-07		C2-FRE	-0.75
SLEFRE-03		C3-FRE	0	SLEFRE-07		C3-FRE	-0.75
SLEFRE-03		Q5	0	SLEFRE-07		Q5	0.75
SLEFRE-03		Qw	0.6	SLEFRE-07		Qw	0
SLEFRE-03		TEMP+	0.5	SLEFRE-07		TEMP+	0.5
SLEFRE-03		Ritiro	0.5	SLEFRE-07		Ritiro	0.5
SLEFRE-04	Linear Add	G1	1	SLEFRE-08	Linear Add	G1	1
SLEFRE-04		G2	1	SLEFRE-08		G2	1
SLEFRE-04		C1-SCHEMA-1	0	SLEFRE-08		C1-SCHEMA-1	0.75
SLEFRE-04		C2-SCHEMA-2	0	SLEFRE-08		C2-SCHEMA-2	0.75
SLEFRE-04		C3-SCHEMA-3	0	SLEFRE-08		C3-SCHEMA-3	0.75
SLEFRE-04		C1-FRE	0	SLEFRE-08		C1-FRE	-0.75
SLEFRE-04		C2-FRE	0	SLEFRE-08		C2-FRE	-0.75
SLEFRE-04		C3-FRE	0	SLEFRE-08		C3-FRE	-0.75
SLEFRE-04		Q5	0	SLEFRE-08		Q5	0.75
SLEFRE-04		Qw	0.6	SLEFRE-08		Qw	0
SLEFRE-04		TEMP-	0.5	SLEFRE-08		TEMP-	0.5
SLEFRE-04		Ritiro	0.5	SLEFRE-08		Ritiro	0.5

Viadotto NW01
Relazione di calcolo impalcato

COMMESSA	LOTTO	CODIFICA	DOCUMENTO	REV.	FOGLIO
RS3H	02	D 78	CL NW0108 001	A	48 di 186

SLEFRE-01a	Linear Add	G1	1	SLEFRE-05a	Linear Add	G1	1
SLEFRE-01a		G2	1	SLEFRE-05a		G2	1
SLEFRE-01a		C1-SCHEMA-1	0.75	SLEFRE-05a		C1-SCHEMA-1	0
SLEFRE-01a		C2-SCHEMA-2	0.75	SLEFRE-05a		C2-SCHEMA-2	0
SLEFRE-01a		C1-FRE	0.75	SLEFRE-05a		C1-FRE	0
SLEFRE-01a		C2-FRE	0.75	SLEFRE-05a		C2-FRE	0
SLEFRE-01a		Q5_s	0.75	SLEFRE-05a		Q5_s	0
SLEFRE-01a		Qw	0	SLEFRE-05a		Qw	0
SLEFRE-01a		TEMP+	0.5	SLEFRE-05a		TEMP+	0.6
SLEFRE-01a		Ritiro	0.5	SLEFRE-05a		Ritiro	0.6
SLEFRE-02a	Linear Add	G1	1	SLEFRE-06a	Linear Add	G1	1
SLEFRE-02a		G2	1	SLEFRE-06a		G2	1
SLEFRE-02a		C1-SCHEMA-1	0.75	SLEFRE-06a		C1-SCHEMA-1	0
SLEFRE-02a		C2-SCHEMA-2	0.75	SLEFRE-06a		C2-SCHEMA-2	0
SLEFRE-02a		C1-FRE	0.75	SLEFRE-06a		C1-FRE	0
SLEFRE-02a		C2-FRE	0.75	SLEFRE-06a		C2-FRE	0
SLEFRE-02a		Q5_s	0.75	SLEFRE-06a		Q5_s	0
SLEFRE-02a		Qw	0	SLEFRE-06a		Qw	0
SLEFRE-02a		TEMP-	0.5	SLEFRE-06a		TEMP-	0.6
SLEFRE-02a		Ritiro	0.5	SLEFRE-06a		Ritiro	0.6
SLEFRE-03a	Linear Add	G1	1	SLEFRE-07a	Linear Add	G1	1
SLEFRE-03a		G2	1	SLEFRE-07a		G2	1
SLEFRE-03a		C1-SCHEMA-1	0	SLEFRE-07a		C1-SCHEMA-1	0.75
SLEFRE-03a		C2-SCHEMA-2	0	SLEFRE-07a		C2-SCHEMA-2	0.75
SLEFRE-03a		C1-FRE	0	SLEFRE-07a		C1-FRE	-0.75
SLEFRE-03a		C2-FRE	0	SLEFRE-07a		C2-FRE	-0.75
SLEFRE-03a		Q5_s	0	SLEFRE-07a		Q5_s	0.75
SLEFRE-03a		Qw	0.6	SLEFRE-07a		Qw	0
SLEFRE-03a		TEMP+	0.5	SLEFRE-07a		TEMP+	0.5
SLEFRE-03a		Ritiro	0.5	SLEFRE-07a		Ritiro	0.5
SLEFRE-04a	Linear Add	G1	1	SLEFRE-08a	Linear Add	G1	1
SLEFRE-04a		G2	1	SLEFRE-08a		G2	1
SLEFRE-04a		C1-SCHEMA-1	0	SLEFRE-08a		C1-SCHEMA-1	0.75
SLEFRE-04a		C2-SCHEMA-2	0	SLEFRE-08a		C2-SCHEMA-2	0.75
SLEFRE-04a		C1-FRE	0	SLEFRE-08a		C1-FRE	-0.75
SLEFRE-04a		C2-FRE	0	SLEFRE-08a		C2-FRE	-0.75
SLEFRE-04a		Q5_s	0	SLEFRE-08a		Q5_s	0.75
SLEFRE-04a		Qw	0.6	SLEFRE-08a		Qw	0
SLEFRE-04a		TEMP-	0.5	SLEFRE-08a		TEMP-	0.5
SLEFRE-04a		Ritiro	0.5	SLEFRE-08a		Ritiro	0.5

SLEQP-01	Linear Add	G1	1				
SLEQP-01		G2	1				
SLEQP-01		C1-SCHEMA-1	0				
SLEQP-01		C2-SCHEMA-2	0				
SLEQP-01		C3-SCHEMA-3	0				
SLEQP-01		C1-FRE	0				
SLEQP-01		C2-FRE	0				
SLEQP-01		C3-FRE	0				
SLEQP-01		Q5	0				
SLEQP-01		Qw	0				
SLEQP-01		TEMP+	0.5	SLEQP-01b	Linear Add	G1	1
SLEQP-01		Ritiro	0.5	SLEQP-01b		G2	1
SLEQP-02	Linear Add	G1	1	SLEQP-01b		C1-SCHEMA-1	0
SLEQP-02		G2	1	SLEQP-01b		C3-SCHEMA-2	0
SLEQP-02		C1-SCHEMA-1	0	SLEQP-01b		C1-FRE	0
SLEQP-02		C2-SCHEMA-2	0	SLEQP-01b		C3-FRE	0
SLEQP-02		C3-SCHEMA-3	0	SLEQP-01b		Q5_s	0
SLEQP-02		C1-FRE	0	SLEQP-01b		Qw	0
SLEQP-02		C2-FRE	0	SLEQP-01b		TEMP+	0.5
SLEQP-02		C3-FRE	0	SLEQP-01b		Ritiro	0.5
SLEQP-02		Q5	0	SLEQP-02b	Linear Add	G1	1
SLEQP-02		Qw	0	SLEQP-02b		G2	1
SLEQP-02		TEMP-	0.5	SLEQP-02b		C1-SCHEMA-1	0
SLEQP-02		Ritiro	0.5	SLEQP-02b		C3-SCHEMA-2	0
SLEQP-01a	Linear Add	G1	1	SLEQP-02b		C1-FRE	0
SLEQP-01a		G2	1	SLEQP-02b		C3-FRE	0
SLEQP-01a		C1-SCHEMA-1	0	SLEQP-02b		Q5_s	0
SLEQP-01a		C2-SCHEMA-2	0	SLEQP-02b		Qw	0
SLEQP-01a		C1-FRE	0	SLEQP-02b		TEMP-	0.5
SLEQP-01a		C2-FRE	0	SLEQP-02b		Ritiro	0.5
SLEQP-01a		Q5_s	0	SLEQP-01c	Linear Add	G1	1
SLEQP-01a		Qw	0	SLEQP-01c		G2	1
SLEQP-01a		TEMP+	0.5	SLEQP-01c		C2-SCHEMA-1	0
SLEQP-01a		Ritiro	0.5	SLEQP-01c		C2-FRE	0
SLEQP-02a	Linear Add	G1	1	SLEQP-01c		Qw	0
SLEQP-02a		G2	1	SLEQP-01c		TEMP+	0.5
SLEQP-02a		C1-SCHEMA-1	0	SLEQP-01c		Ritiro	0.5
SLEQP-02a		C2-SCHEMA-2	0	SLEQP-02c	Linear Add	G1	1
SLEQP-02a		C1-FRE	0	SLEQP-02c		G2	1
SLEQP-02a		C2-FRE	0	SLEQP-02c		C2-SCHEMA-1	0
SLEQP-02a		Q5_s	0	SLEQP-02c		C2-FRE	0
SLEQP-02a		Qw	0	SLEQP-02c		Qw	0
SLEQP-02a		TEMP-	0.5	SLEQP-02c		TEMP-	0.5
SLEQP-02a		Ritiro	0.5	SLEQP-02c		Ritiro	0.5

Viadotto NW01
Relazione di calcolo impalcato

COMMESSA	LOTTO	CODIFICA	DOCUMENTO	REV.	FOGLIO
RS3H	02	D 78	CL NW0108 001	A	50 di 186

SLEFRE-01b	Linear Add	G1	1				
SLEFRE-01b		G2	1	SLEFRE-05b	Linear Add	G1	1
SLEFRE-01b		C1-SCHEMA-1	0.75	SLEFRE-05b		G2	1
SLEFRE-01b		C3-SCHEMA-2	0.75	SLEFRE-05b		C1-SCHEMA-1	0
SLEFRE-01b		C1-FRE	0.75	SLEFRE-05b		C3-SCHEMA-2	0
SLEFRE-01b		C3-FRE	0.75	SLEFRE-05b		C1-FRE	0
SLEFRE-01b		Q5_s	0.75	SLEFRE-05b		C3-FRE	0
SLEFRE-01b		Qw	0	SLEFRE-05b		Q5_s	0
SLEFRE-01b		TEMP+	0.5	SLEFRE-05b		Qw	0
SLEFRE-01b		Ritiro	0.5	SLEFRE-05b		TEMP+	0.6
SLEFRE-02b	Linear Add	G1	1	SLEFRE-05b		Ritiro	0.6
SLEFRE-02b		G2	1	SLEFRE-06b	Linear Add	G1	1
SLEFRE-02b		C1-SCHEMA-1	0.75	SLEFRE-06b		G2	1
SLEFRE-02b		C3-SCHEMA-2	0.75	SLEFRE-06b		C1-SCHEMA-1	0
SLEFRE-02b		C1-FRE	0.75	SLEFRE-06b		C3-SCHEMA-2	0
SLEFRE-02b		C3-FRE	0.75	SLEFRE-06b		C1-FRE	0
SLEFRE-02b		Q5_s	0.75	SLEFRE-06b		C3-FRE	0
SLEFRE-02b		Qw	0	SLEFRE-06b		Q5_s	0
SLEFRE-02b		TEMP-	0.5	SLEFRE-06b		Qw	0
SLEFRE-02b		Ritiro	0.5	SLEFRE-06b		TEMP-	0.6
SLEFRE-03b	Linear Add	G1	1	SLEFRE-06b		Ritiro	0.6
SLEFRE-03b		G2	1	SLEFRE-07b	Linear Add	G1	1
SLEFRE-03b		C1-SCHEMA-1	0	SLEFRE-07b		G2	1
SLEFRE-03b		C3-SCHEMA-2	0	SLEFRE-07b		C1-SCHEMA-1	0.75
SLEFRE-03b		C1-FRE	0	SLEFRE-07b		C3-SCHEMA-2	0.75
SLEFRE-03b		C3-FRE	0	SLEFRE-07b		C1-FRE	-0.75
SLEFRE-03b		Q5_s	0	SLEFRE-07b		C3-FRE	-0.75
SLEFRE-03b		Qw	0.6	SLEFRE-07b		Q5_s	0.75
SLEFRE-03b		TEMP+	0.5	SLEFRE-07b		Qw	0
SLEFRE-03b		Ritiro	0.5	SLEFRE-07b		TEMP+	0.5
SLEFRE-04b	Linear Add	G1	1	SLEFRE-07b		Ritiro	0.5
SLEFRE-04b		G2	1	SLEFRE-08b	Linear Add	G1	1
SLEFRE-04b		C1-SCHEMA-1	0	SLEFRE-08b		G2	1
SLEFRE-04b		C3-SCHEMA-2	0	SLEFRE-08b		C1-SCHEMA-1	0.75
SLEFRE-04b		C1-FRE	0	SLEFRE-08b		C3-SCHEMA-2	0.75
SLEFRE-04b		C3-FRE	0	SLEFRE-08b		C1-FRE	-0.75
SLEFRE-04b		Q5_s	0	SLEFRE-08b		C3-FRE	-0.75
SLEFRE-04b		Qw	0.6	SLEFRE-08b		Q5_s	0.75
SLEFRE-04b		TEMP-	0.5	SLEFRE-08b		Qw	0
SLEFRE-04b		Ritiro	0.5	SLEFRE-08b		TEMP-	0.5
SLEFRE-04b				SLEFRE-08b		Ritiro	0.5

Viadotto NW01
Relazione di calcolo impalcato

COMMESSA	LOTTO	CODIFICA	DOCUMENTO	REV.	FOGLIO
RS3H	02	D 78	CL NW0108 001	A	51 di 186

SLEFRE-01c	Linear Add	G1	1
SLEFRE-01c		G2	1
SLEFRE-01c		C2-SCHEMA-1	0.75
SLEFRE-01c		C2-FRE	0.75
SLEFRE-01c		Qw	0
SLEFRE-01c		TEMP+	0.5
SLEFRE-01c		Ritiro	0.5
SLEFRE-02c	Linear Add	G1	1
SLEFRE-02c		G2	1
SLEFRE-02c		C2-SCHEMA-1	0.75
SLEFRE-02c		C2-FRE	0.75
SLEFRE-02c		Qw	0
SLEFRE-02c		TEMP-	0.5
SLEFRE-02c		Ritiro	0.5
SLEFRE-03c	Linear Add	G1	1
SLEFRE-03c		G2	1
SLEFRE-03c		C2-SCHEMA-1	0
SLEFRE-03c		C2-FRE	0
SLEFRE-03c		Qw	0.6
SLEFRE-03c		TEMP+	0.5
SLEFRE-03c		Ritiro	0.5
SLEFRE-04c	Linear Add	G1	1
SLEFRE-04c		G2	1
SLEFRE-04c		C2-SCHEMA-1	0
SLEFRE-04c		C2-FRE	0
SLEFRE-04c		Qw	0.6
SLEFRE-04c		TEMP-	0.5
SLEFRE-04c		Ritiro	0.5
SLEFRE-05c	Linear Add	G1	1
SLEFRE-05c		G2	1
SLEFRE-05c		C2-SCHEMA-1	0
SLEFRE-05c		C2-FRE	0
SLEFRE-05c		Qw	0
SLEFRE-05c		TEMP+	0.6
SLEFRE-05c		Ritiro	0.6
SLEFRE-06c	Linear Add	G1	1
SLEFRE-06c		G2	1
SLEFRE-06c		C2-SCHEMA-1	0
SLEFRE-06c		C2-FRE	0
SLEFRE-06c		Qw	0
SLEFRE-06c		TEMP-	0.6
SLEFRE-06c		Ritiro	0.6
SLEFRE-07c	Linear Add	G1	1
SLEFRE-07c		G2	1
SLEFRE-07c		C2-SCHEMA-1	0.75
SLEFRE-07c		C2-FRE	-0.75
SLEFRE-07c		Qw	0
SLEFRE-07c		TEMP+	0.5
SLEFRE-07c		Ritiro	0.5
SLEFRE-08c	Linear Add	G1	1
SLEFRE-08c		G2	1
SLEFRE-08c		C2-SCHEMA-1	0.75
SLEFRE-08c		C2-FRE	-0.75
SLEFRE-08c		Qw	0
SLEFRE-08c		TEMP-	0.5
SLEFRE-08c		Ritiro	0.5

8 CRITERI DI VERIFICA

Si riportano di seguito i criteri di verifica per il dimensionamento degli elementi strutturali che compongono la spalla.

ELEMENTI IN C.A.

Verifiche allo sl_u

Verifiche a pressoflessione

Le verifiche a pressoflessione vengono condotte confrontando le resistenze ultime e le sollecitazioni massime agenti, valutando il corrispondente fattore di sicurezza (CS) come rapporto tra la sollecitazione resistente e la massima agente.

Le verifiche flessionali allo SLU sono state eseguite adottando le seguenti ipotesi:

- Conservazione delle sezioni piane;
- Perfetta aderenza tra acciaio e calcestruzzo;
- Resistenza a trazione del calcestruzzo nulla;
- Rottura del calcestruzzo determinata dal raggiungimento della sua capacità deformativa ultima a compressione;
- Rottura dell'armatura tesa determinata dal raggiungimento della sua capacità deformativa ultima;

Le tensioni nel calcestruzzo e nell'armatura sono state dedotte a partire dalle deformazioni utilizzando i rispettivi diagrammi tensione-deformazione.

Per quanto attiene la legge σ - ϵ del calcestruzzo si è utilizzata una curva parabola-rettangolo, considerando solo la porzione compressa e con $\epsilon_{c2}=0,2\%$ ed $\epsilon_{cu}=0,35\%$.

Per quanto riguarda l'acciaio si è assunto un diagramma bilineare elastico-perfettamente elastico finito con $\epsilon_{cu}=1,0\%$.

Verifiche a taglio

La verifica allo stato limite ultimo per azioni di taglio è condotta secondo quanto prescritto dalla norma UNI EN 1992-1-1:2005, per elementi con armatura a taglio verticali.

Si fa, pertanto, riferimento ai seguenti valori della resistenza di calcolo:

- $V_{Rd,c} = \max \left\{ C_{Rd,c} \cdot k \cdot (100 \cdot \rho_1 \cdot f_{ck})^{1/3} + k_1 \cdot \sigma_{cp} \right\} \cdot b_w \cdot d; (v_{min} + k_1 \cdot \sigma_{cp}) \cdot b_w \cdot d$, resistenza di calcolo dell'elemento privo di armatura a taglio
- $V_{Rd,s} = \frac{A_{sw}}{s} \cdot z \cdot f_{ywd} \cdot \cot \theta$, valore di progetto dello sforzo di taglio che può essere sopportato dall'armatura a taglio alla tensione di snervamento
- $V_{Rd,max} = \frac{\alpha_{cw} \cdot b_w \cdot z \cdot v_1 \cdot f_{cd}}{\cot \theta + \tan \theta}$, valore di progetto del massimo sforzo di taglio che può essere sopportato dall'elemento, limitato dalla rottura delle bielle compresse.

Nelle espressioni precedenti, i simboli hanno i seguenti significati:

- $k = 1 + \sqrt{\frac{200}{d}} \leq 2,0$ con d in mm
- $\rho_1 = \frac{A_{sl}}{b_w \cdot d} \leq 0,02$
- A_{sl} è l'area dell'armatura tesa
- b_w è la larghezza minima della sezione in zona tesa
- $\sigma_{cp} = \frac{N_{Ed}}{A_c} < 0,2 \cdot f_{cd}$
- N_{Ed} è la forza assiale nella sezione dovuta ai carichi
- A_c è l'area della sezione di calcestruzzo

- $C_{Rd,c} = \frac{0,18}{\gamma_c}$
- $k_1 = 0,15$
- $v_{min} = 0,035 \cdot k^{3/2} \cdot f_{ck}^{1/2}$
- $v = 0,5$ per calcestruzzi fino a C70/85
- $1 \leq \cot\theta \leq 2,5$
- A_{sw} è l'area della sezione trasversale dell'armatura a taglio
- s è il passo delle staffe
- f_{ywd} è la tensione di snervamento di progetto dell'armatura a taglio
- $v_1 = v$ è il coefficiente di riduzione della resistenza del calcestruzzo fessurato per taglio
- α_{cw} è un coefficiente che tiene conto dell'interazione tra la tensione nel corrente compresso e qualsiasi tensione di compressione assiale.

Verifiche allo sle

OPERE EXTRA LINEA (ad esempio fabbricati, scotolari di approccio ai ponti e cvf stradali, ponti ed opere minori della viabilità non interferenti con la linea ferroviaria):

Verifiche tensionali par. 4.1.2.2.5NTC2018

4.1.2.2.5 Stato limite di limitazione delle tensioni

Valutate le azioni interne nelle varie parti della struttura, dovute alle combinazioni caratteristica e quasi permanente delle azioni, si calcolano le massime tensioni sia nel calcestruzzo sia nelle armature; si deve verificare che tali tensioni siano inferiori ai massimi valori consentiti di seguito riportati.

4.1.2.2.5.1 Tensione massima di compressione del calcestruzzo nelle condizioni di esercizio

La massima tensione di compressione del calcestruzzo $\sigma_{c,max}$, deve rispettare la limitazione seguente:

$$\sigma_{c,max} \leq 0,60 f_{ck} \text{ per combinazione caratteristica} \quad [4.1.15]$$

$$\sigma_{c,max} \leq 0,45 f_{ck} \text{ per combinazione quasi permanente.} \quad [4.1.16]$$

Nel caso di elementi piani (solette, pareti, ...) gettati in opera con calcestruzzi ordinari e con spessori di calcestruzzo minori di 50 mm i valori limite sopra prescritti vanno ridotti del 20%.

4.1.2.2.5.2 Tensione massima dell'acciaio in condizioni di esercizio

La tensione massima, $\sigma_{s,max}$, per effetto delle azioni dovute alla combinazione caratteristica deve rispettare la limitazione seguente:

$$\sigma_{s,max} \leq 0,8 f_{yk} \quad [4.1.17]$$

Verifiche a fessurazione par. 4.1.2.2.4 NTC2018

4.1.2.2.4 Stato limite di fessurazione

In ordine di severità decrescente, per la combinazione di azioni prescelta, si distinguono i seguenti stati limite:

- stato limite di decompressione, nel quale la tensione normale è ovunque di compressione ed al più uguale a 0;
- stato limite di formazione delle fessure, nel quale la tensione normale di trazione nella fibra più sollecitata è:

$$\sigma_t = \frac{f_{ctm}}{1,2} \quad [4.1.13]$$

dove f_{ctm} è definito nel § 11.2.10.2;

- stato limite di apertura delle fessure, nel quale il valore limite di apertura della fessura calcolato al livello considerato è pari ad uno dei seguenti valori nominali:

$$w_1 = 0,2 \text{ mm} \qquad w_2 = 0,3 \text{ mm} \qquad w_3 = 0,4 \text{ mm}$$

Lo stato limite di fessurazione deve essere fissato in funzione delle condizioni ambientali e della sensibilità delle armature alla corrosione, come descritto nel seguito.

4.1.2.2.4.1 Combinazioni di azioni

Si prendono in considerazione le seguenti combinazioni:

- combinazioni quasi permanenti;
- combinazioni frequenti.

4.1.2.2.4.2 Condizioni ambientali

Ai fini della protezione contro la corrosione delle armature metalliche e della protezione contro il degrado del calcestruzzo, le condizioni ambientali possono essere suddivise in ordinarie, aggressive e molto aggressive in relazione a quanto indicato nella Tab. 4.1.III con riferimento alle classi di esposizione definite nelle *Linee Guida per il calcestruzzo strutturale* emesse dal Servizio Tecnico Centrale del Consiglio Superiore dei Lavori Pubblici nonché nella UNI EN 206:2016.

Tab. 4.1.III – Descrizione delle condizioni ambientali

Condizioni ambientali	Classe di esposizione
Ordinarie	X0, XC1, XC2, XC3, XF1
Aggressive	XC4, XD1, XS1, XA1, XA2, XF2, XF3
Molto aggressive	XD2, XDB, XS2, XS3, XA3, XF4

4.1.2.2.4.3 Sensibilità delle armature alla corrosione

Le armature si distinguono in due gruppi:

- armature sensibili;
- armature poco sensibili.

Appartengono al primo gruppo gli acciai da precompresso.

Appartengono al secondo gruppo gli acciai ordinari.

Per gli acciai zincati e per quelli inossidabili, si può tener conto della loro minor sensibilità alla corrosione sulla base di documenti di comprovata validità.

4.1.2.2.4.4 Scelta degli stati limite di fessurazione

Nella Tab. 4.1.IV sono indicati i criteri di scelta dello stato limite di fessurazione con riferimento alle esigenze sopra riportate.

Tab. 4.1.IV - Criteri di scelta dello stato limite di fessurazione

Gruppi di Esigenze	Condizioni ambientali	Combinazione di azioni	Armatura			
			Sensibile Stato limite	w_k	Poco sensibile Stato limite	w_k
A	Ordinarie	frequente	apertura fessure	$\leq w_2$	apertura fessure	$\leq w_3$
		quasi permanente	apertura fessure	$\leq w_1$	apertura fessure	$\leq w_2$
B	Aggressive	frequente	apertura fessure	$\leq w_1$	apertura fessure	$\leq w_2$
		quasi permanente	decompressione	-	apertura fessure	$\leq w_1$
C	Molto aggressive	frequente	formazione fessure	-	apertura fessure	$\leq w_1$
		quasi permanente	decompressione	-	apertura fessure	$\leq w_1$

w_1, w_2, w_3 sono definiti al § 4.1.2.2.4, il valore w_k è definito al § 4.1.2.2.4.5.

4.1.2.2.4.5 Verifica dello stato limite di fessurazione

Stato limite di decompressione e di formazione delle fessure

Le tensioni sono calcolate in base alle caratteristiche geometriche e meccaniche della sezione omogeneizzata non fessurata.

Stato limite di apertura delle fessure

Il valore caratteristico di apertura delle fessure (w_k) non deve superare i valori nominali w_1, w_2, w_3 secondo quanto riportato nella Tab. 4.1.IV.

L'ampiezza caratteristica delle fessure w_k è calcolata come 1,7 volte il prodotto della deformazione media delle barre d'armatura ϵ_{sm} per la distanza media tra le fessure Δ_{sm} :

$$w_k = 1,7 \epsilon_{sm} \Delta_{sm} \quad [4.1.14]$$

Per il calcolo di ϵ_{sm} e Δ_{sm} vanno utilizzati criteri consolidati riportati in documenti di comprovata validità.

La verifica dell'ampiezza di fessurazione può anche essere condotta senza calcolo diretto, limitando la tensione di trazione nell'armatura, valutata nella sezione parzializzata per la combinazione di carico pertinente, ad un massimo correlato al diametro delle barre ed alla loro spaziatura.

9 MODELLAZIONE NUMERICA

Il calcolo dell'impalcato è stato svolto utilizzando il programma di calcolo SAP2000 vers. 21, schematizzandolo con un modello tridimensionale.

Sono stati implementati due modelli rappresentanti della Fase 1 e della Fase 2.

Fase 1: L'impalcato viene analizzato considerando solo le aste longitudinali che rappresentano le travi precomprese. Si considerano solo il peso delle travi precomprese ed il getto della soletta come carico permanente. La sezione reagente è solo quella della trave precompressa.

Fase 2: L'impalcato viene analizzato assimilandolo ad una griglia piana, le cui aste trasversali sono costituite dai traversi di testa ed intermedi e da un opportuno numero di strisce di soletta mentre le aste longitudinali rappresentano le travi precomprese. Si considerano tutti gli altri carichi permanenti portati, mobili, termico, vento e sisma. La sezione reagente è quella della trave precompressa + la soletta collaborante.

Nelle figure di seguito riportano i modelli tridimensionali implementati.

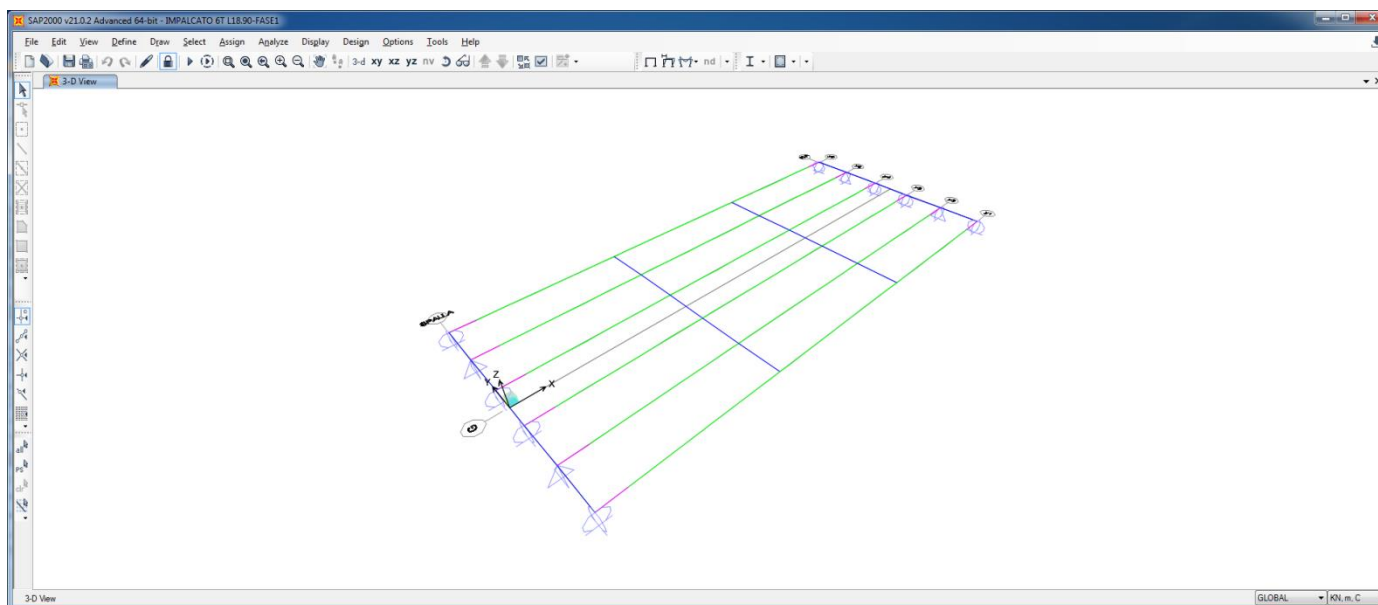
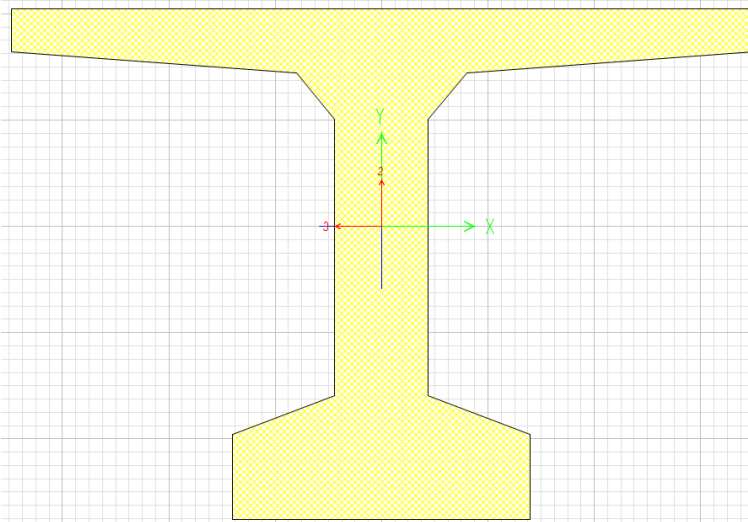
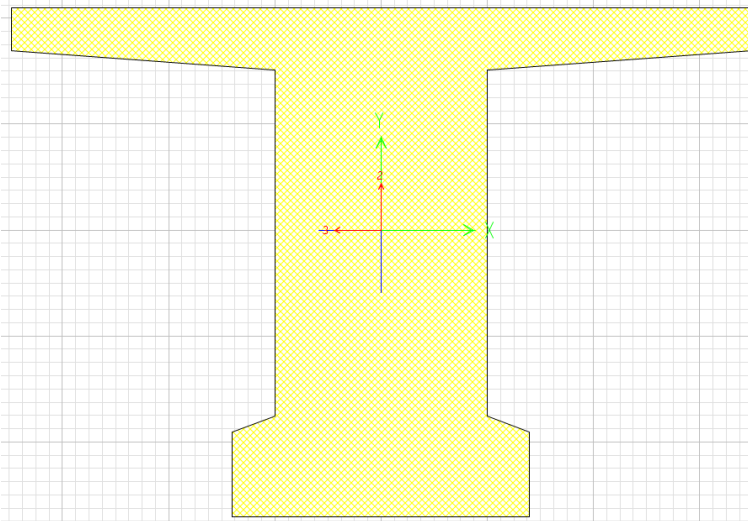


Figura 17: Modello impalcato L=18.90 m - FASE 1



Properties	
Xcg	2.000E-04
Ycg	0
A	0.586
J	9.574E-03
I33	0.112
I22	0.0585
I23	-1.542E-05
AS2	0.2747
AS3	0.4311
S33(+face)	0.2191
S33(-face)	0.1625
S22(+face)	0.0673
S22(-face)	0.0673
Z33	0.2348
Z22	0.1321
r33	0.4372
r22	0.316
d33pna	0.1082
d22pna	5.569E-05

Figura 18: Sezione trave in campata - FASE 1



Properties	
Xcg	1.000E-04
Ycg	0
A	0.7964
J	0.0405
I33	0.1224
I22	0.0659
I23	-1.082E-05
AS2	0.5488
AS3	0.5672
S33(+face)	0.2336
S33(-face)	0.181
S22(+face)	0.0757
S22(-face)	0.0757
Z33	0.2776
Z22	0.1706
r33	0.3921
r22	0.2876
d33pna	0.0328
d22pna	3.656E-05

Figura 19: Sezione trave testata- FASE 1

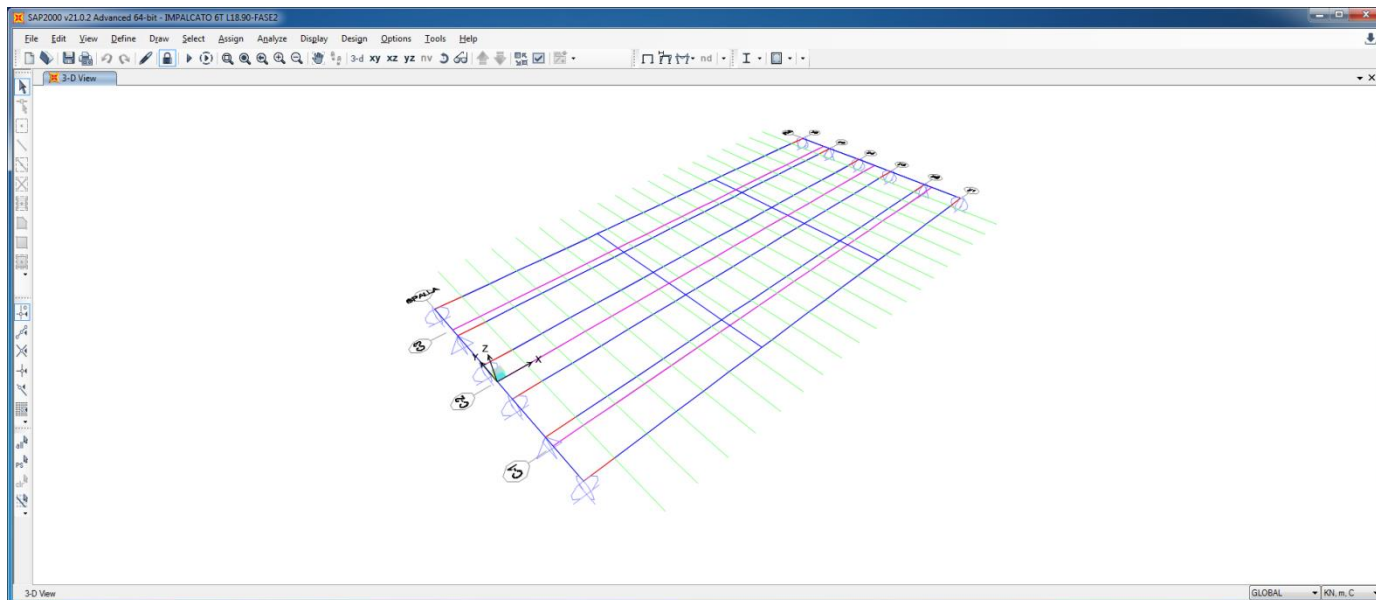


Figura 20: Modello impalcato L=18.90 m - FASE 2

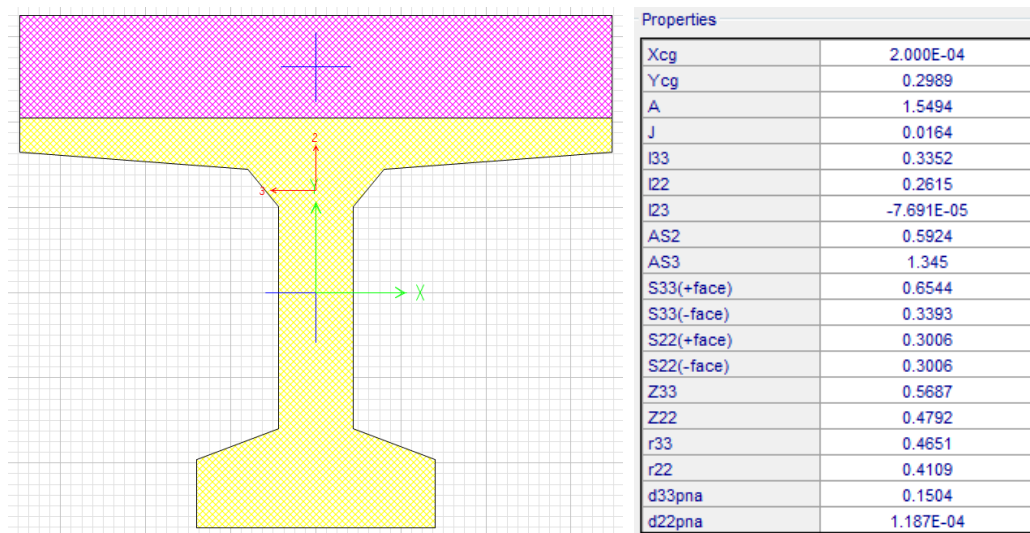


Figura 21: Sezione trave in campata - FASE 2

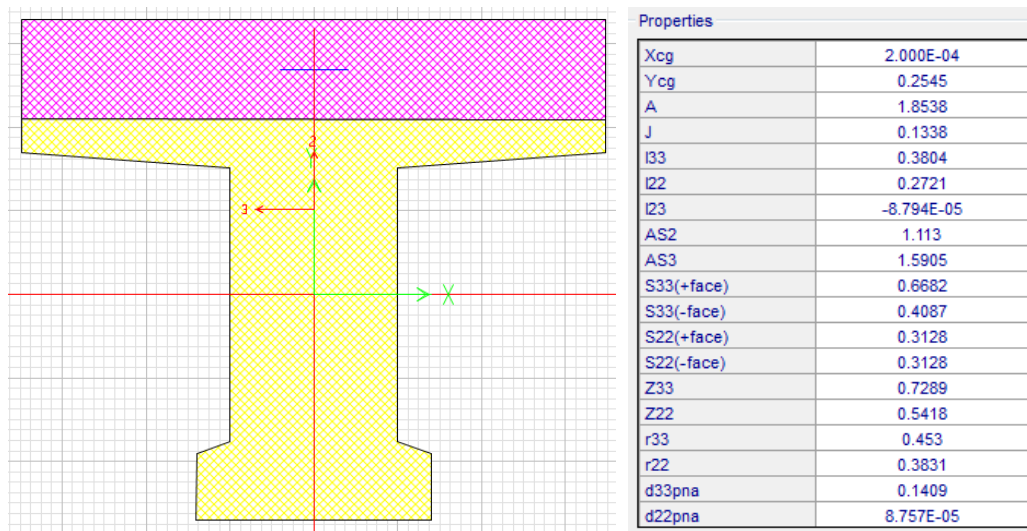


Figura 22: Sezione trave testata- FASE 2

9.1 Codice di calcolo

L'analisi della struttura scatolare è stata condotta con un programma agli elementi finiti:

Titolo SAP2000

Versione 21.0.2 advanced

Distributore CSI Italia

9.2 Tipo di analisi svolta (paragrafo 10.2 del DM 17-01-18)

L'analisi strutturale è condotta con l'ausilio di un codice di calcolo automatico SAP 2000 v21.0.2.

Gli elementi costituenti la struttura dell'impalcato sono stati modellati utilizzando elementi *frame* e sono stati definiti avvalendo l'ipotesi di materiale elastico lineare isotropo in un campo di piccoli spostamenti e deformazioni.

Il calcolo statico della struttura e la verifica delle strutture è stato eseguito secondo *i metodi della scienza e della tecnica delle costruzioni*.

L'analisi strutturale sotto le azioni sismiche è condotta con il metodo dell'analisi dinamica lineare con spettro secondo le disposizioni del capitolo 7 del DM 2018.

La verifica delle sezioni degli elementi strutturali è eseguita con il metodo degli Stati Limite. Le combinazioni di carico adottate sono esaustive relativamente agli scenari di carico più gravosi cui l'opera sarà soggetta.

Il codice di calcolo SAP è fornito dalla C.S.I. Italia e correttamente licenziato nella versione 21.0.2.

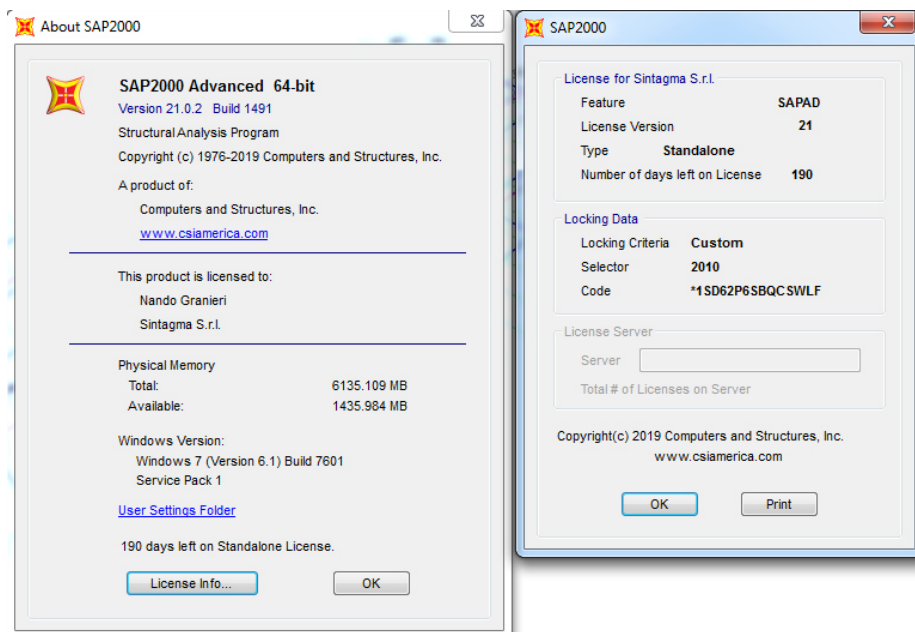
 <p>ITAFERR GRUPPO FERROVIE DELLO STATO ITALIANE</p>	<p>DIRETTRICE FERROVIARIA MESSINA – CATANIA – PALERMO NODO DI CATANIA INTERRAMENTO LINEA PER IL PROLUNGAMENTO DELLA PISTA DELL' AEROPORTO DI FONTANAROSSA E PER LA MESSA A STI DEL TRATTO DI LINEA INTERESSATO.</p> <p>MACROFASE FUNZIONALE 1 LOTTO 02</p>												
<p><i>Viadotto NW01</i> <i>Relazione di calcolo impalcato</i></p>	<table border="1"> <thead> <tr> <th>COMMESSA</th> <th>LOTTO</th> <th>CODIFICA</th> <th>DOCUMENTO</th> <th>REV.</th> <th>FOGLIO</th> </tr> </thead> <tbody> <tr> <td>RS3H</td> <td>02</td> <td>D 78</td> <td>CL NW0108 001</td> <td>A</td> <td>61 di 186</td> </tr> </tbody> </table>	COMMESSA	LOTTO	CODIFICA	DOCUMENTO	REV.	FOGLIO	RS3H	02	D 78	CL NW0108 001	A	61 di 186
COMMESSA	LOTTO	CODIFICA	DOCUMENTO	REV.	FOGLIO								
RS3H	02	D 78	CL NW0108 001	A	61 di 186								

9.3 Affidabilità dei codici di calcolo

Un attento esame preliminare della documentazione a corredo del software ha consentito di valutarne l'affidabilità. La documentazione fornita dal produttore del software contiene un'esauriente descrizione delle basi teoriche, degli algoritmi impiegati e l'individuazione dei campi d'impiego.

Come detto, per la risoluzione del modello di calcolo si è fatto uso del programma di calcolo SAP2000 NL

Di seguito si riporta una schermata con tutte le informazioni del programma, del produttore e della licenza d'uso:



Il produttore fornisce idonea documentazione utile al corretto uso del programma. Sul sito del produttore è inoltre possibile scaricare la necessaria documentazione utile alla validazione del programma.

9.4 Giudizio motivato di accettabilità dei risultati

I risultati delle elaborazioni sono stati sottoposti a controlli dal sottoscritto utente del software. Tale valutazione ha compreso il confronto con i risultati di semplici calcoli eseguiti con metodi tradizionali. Inoltre sulla base di considerazioni riguardanti gli stati tensionali e deformativi determinati si è valutata la validità delle scelte operate in sede di schematizzazione e di modellazione della struttura e delle azioni.

9.5 Carichi applicati

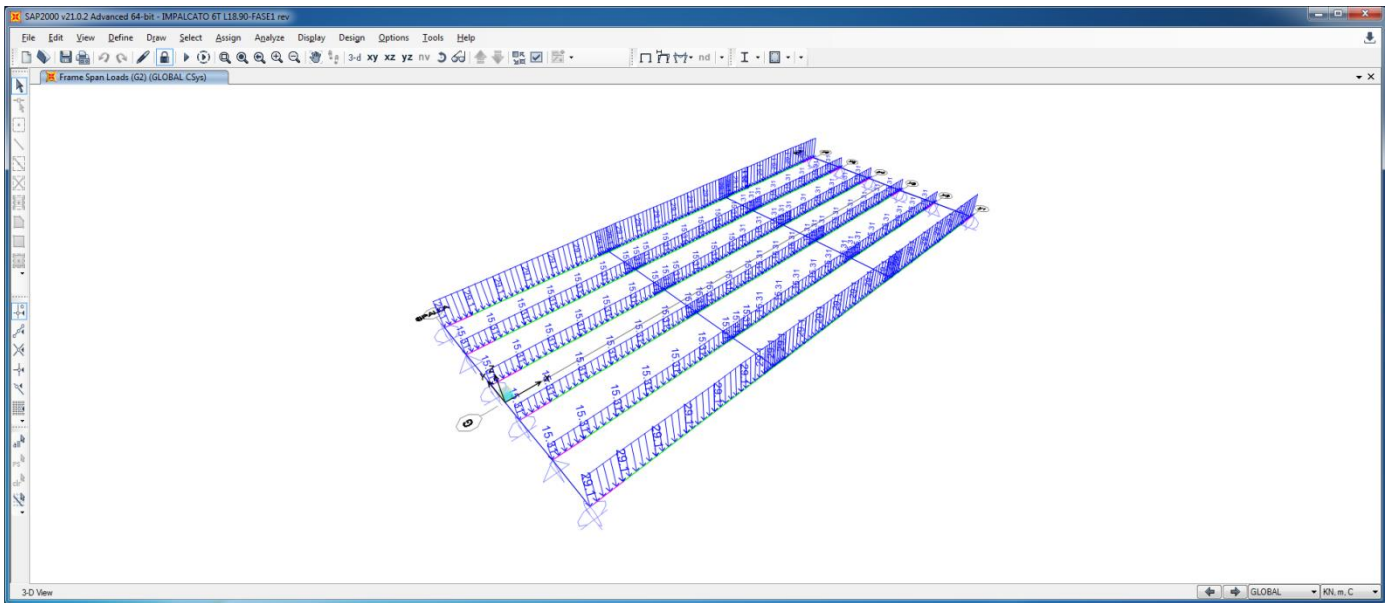


Figura 23: Permanente - FASE 1

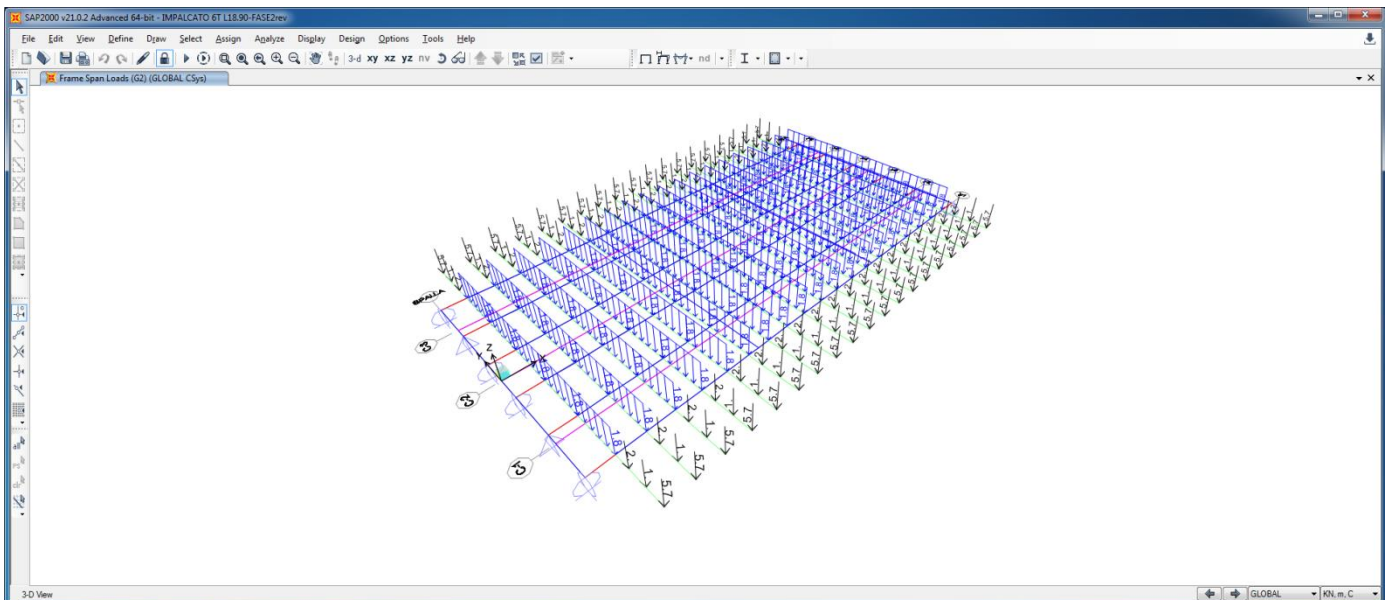


Figura 24: Permanente - FASE 2

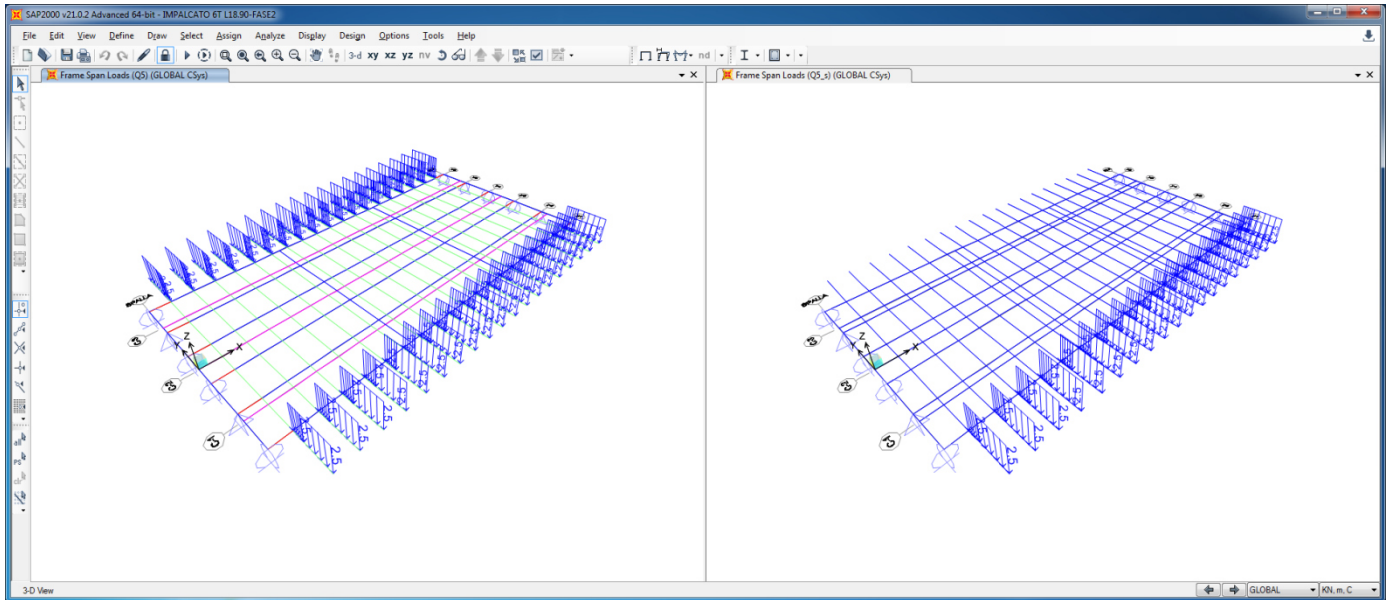


Figura 25: Carico marciapiede - FASE 2

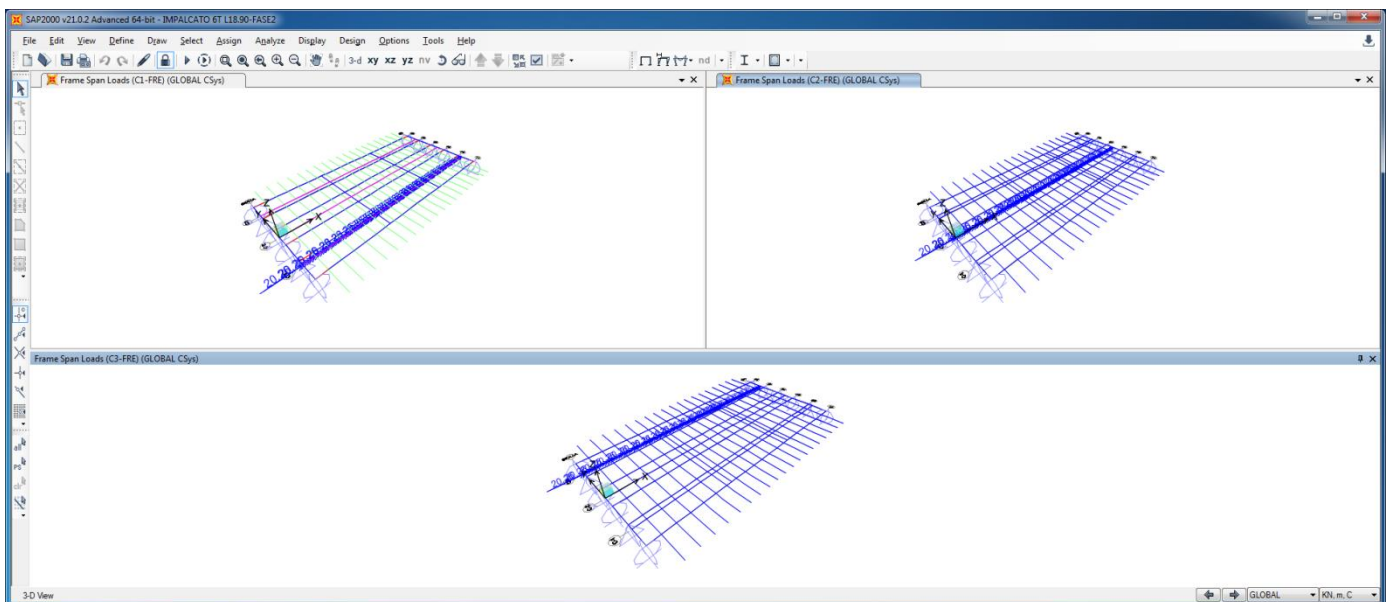


Figura 26: Frenatura - FASE 2

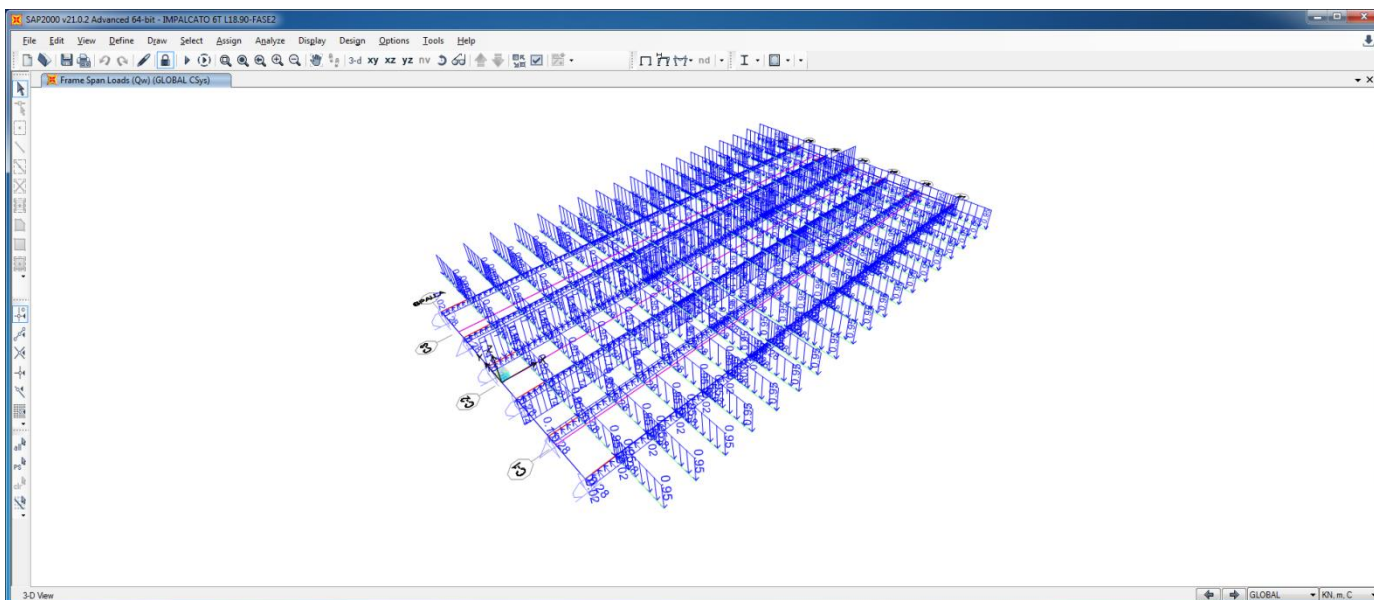


Figura 27: Vento - FASE 2

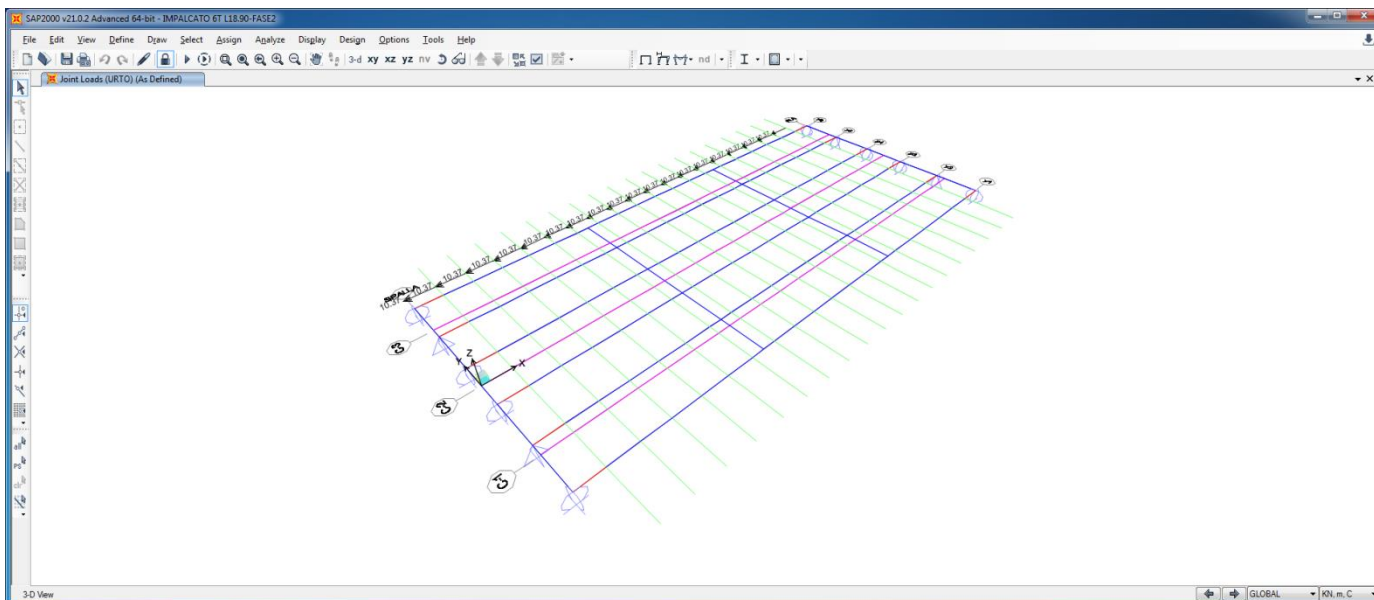


Figura 28: Urto - FASE 2

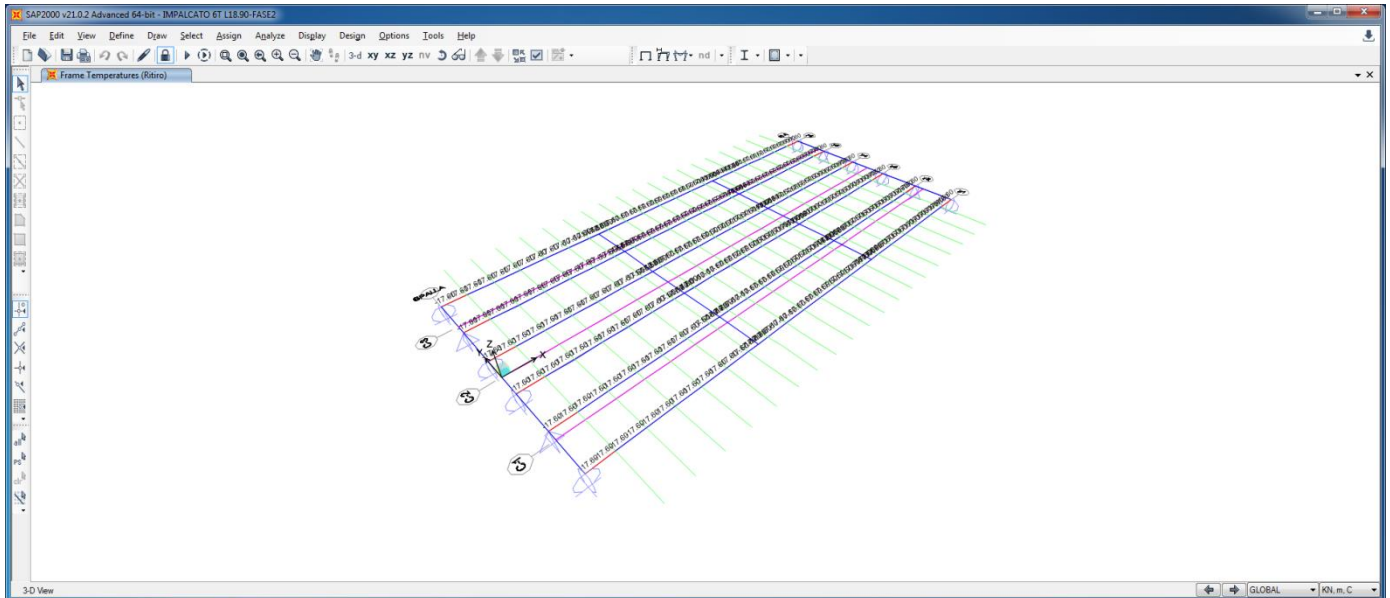


Figura 29: Ritiro Travi - FASE 2

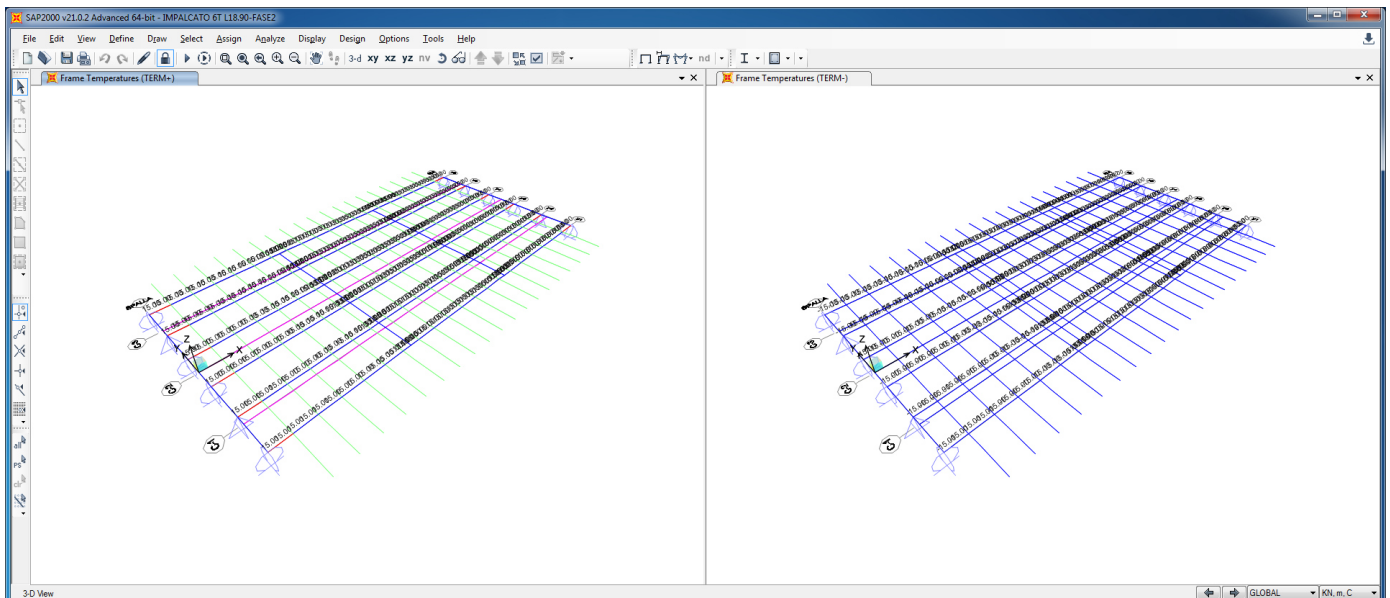


Figura 30: Temico uniforme - FASE 2

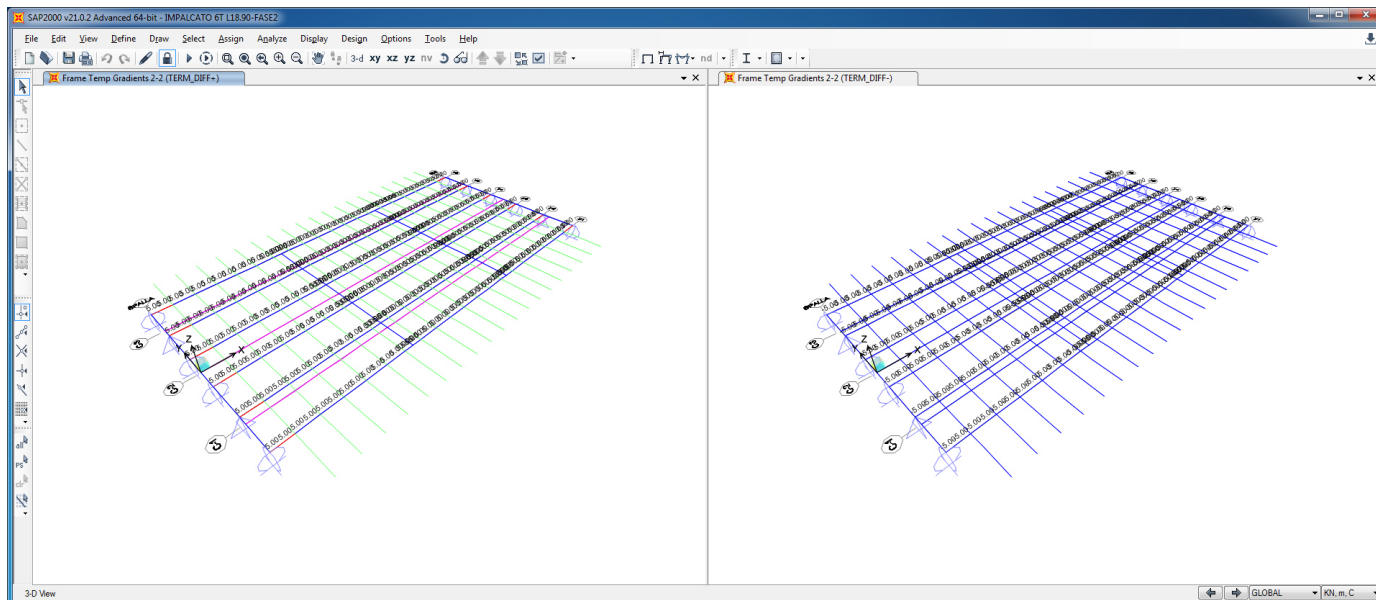


Figura 31: Temico differenziale - FASE 2

9.6 Sollecitazioni di progetto

Di seguito si riportano i diagrammi di sollecitazione massimi ottenuti dal modello di calcolo.

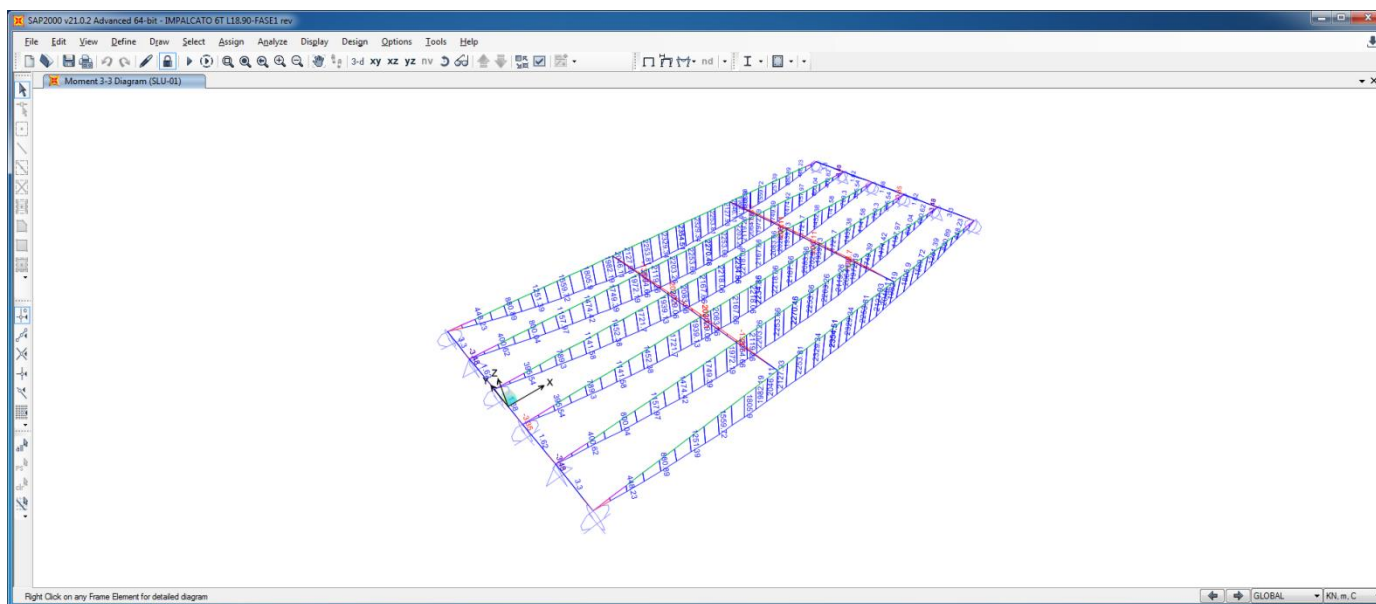


Figura 32: Momento flettente M33 Combo SLU- FASE 1

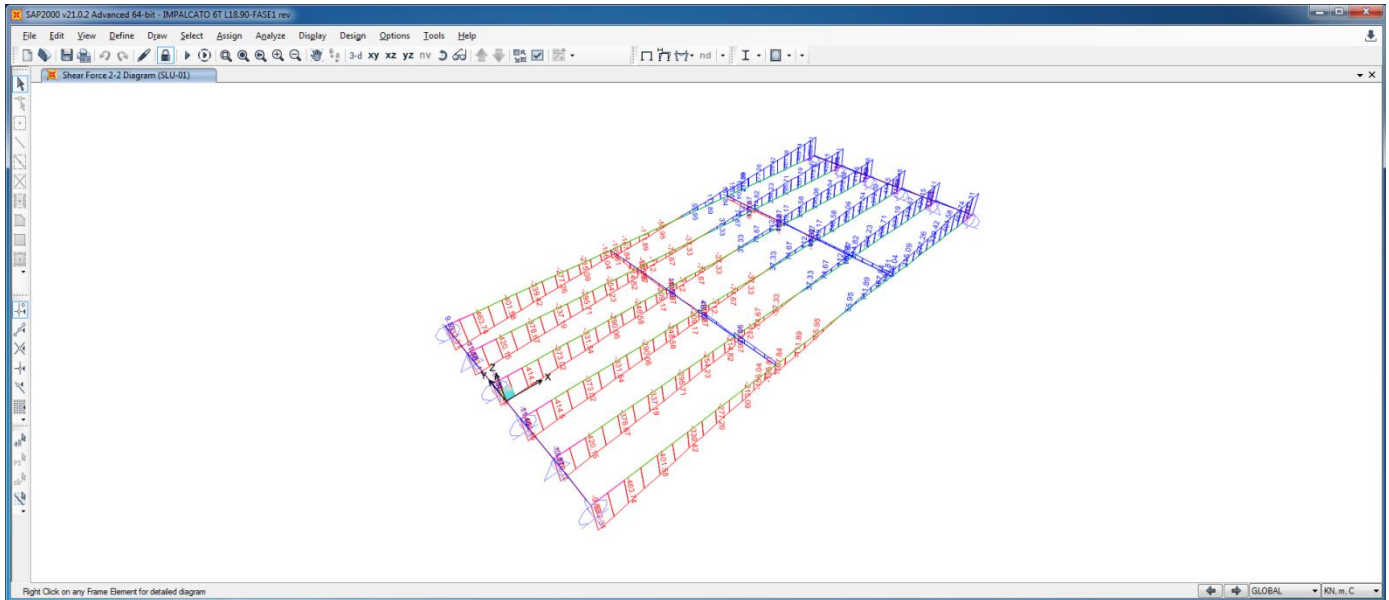


Figura 33: Teglio V22 Combo SLU- FASE 1

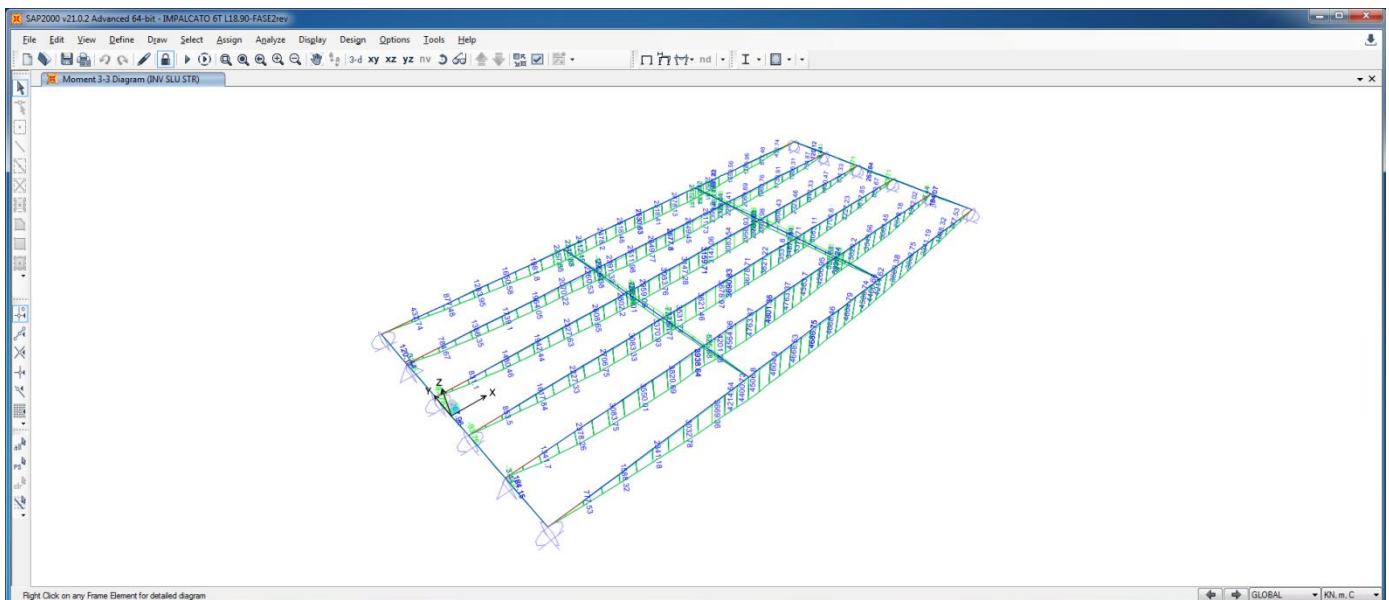


Figura 34: Momento flettente M33 Combo INVSLU STR- FASE 2

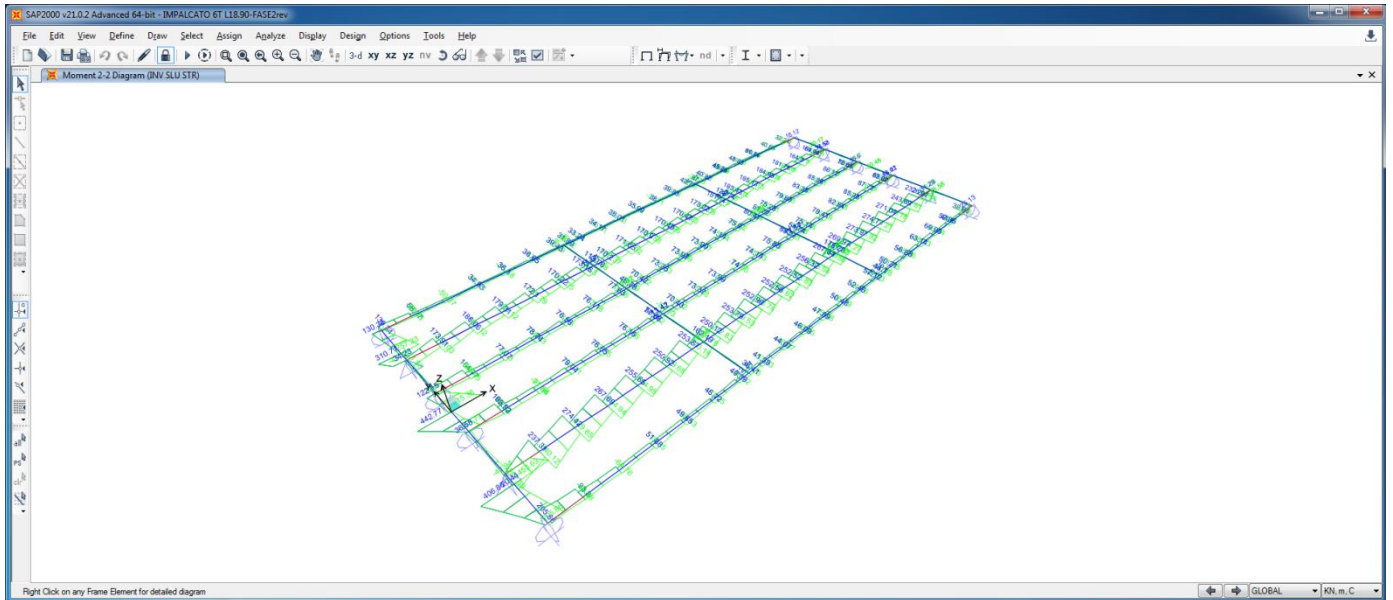


Figura 35: Momento flettente M22 Combo INVSLU STR- FASE 2

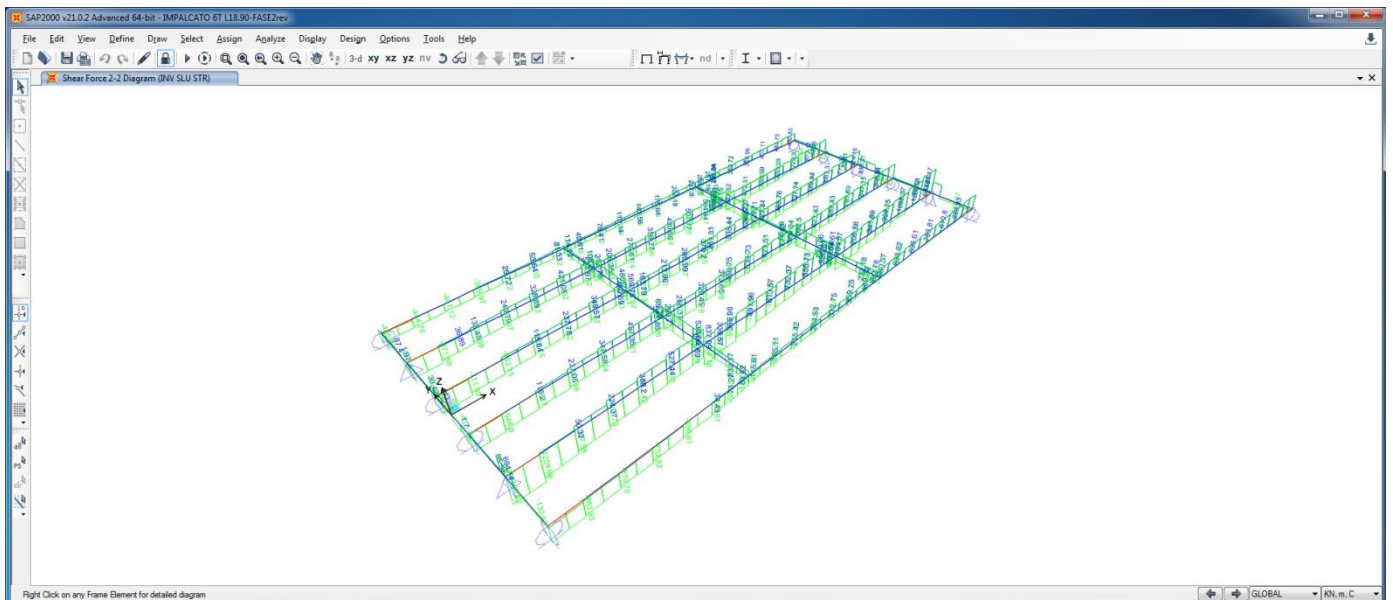


Figura 36: Taglio V22 Combo INVSLU STR- FASE 2

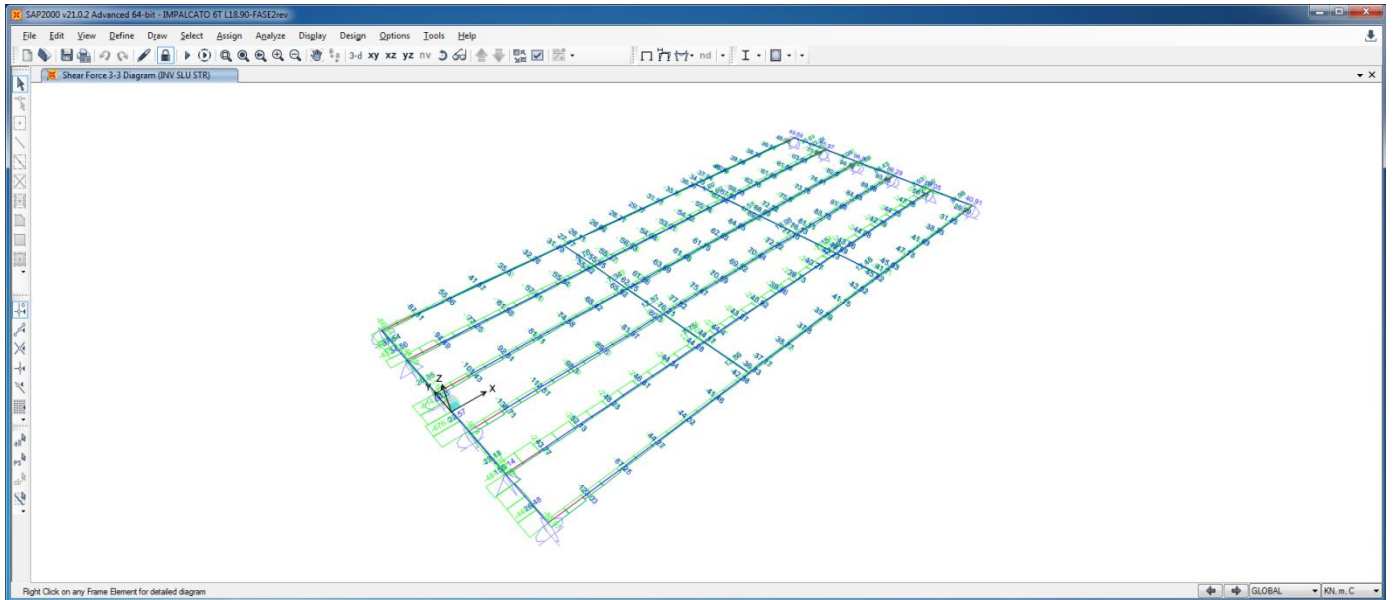


Figura 37: Taglio V33 Combo INVS LU STR- FASE 2

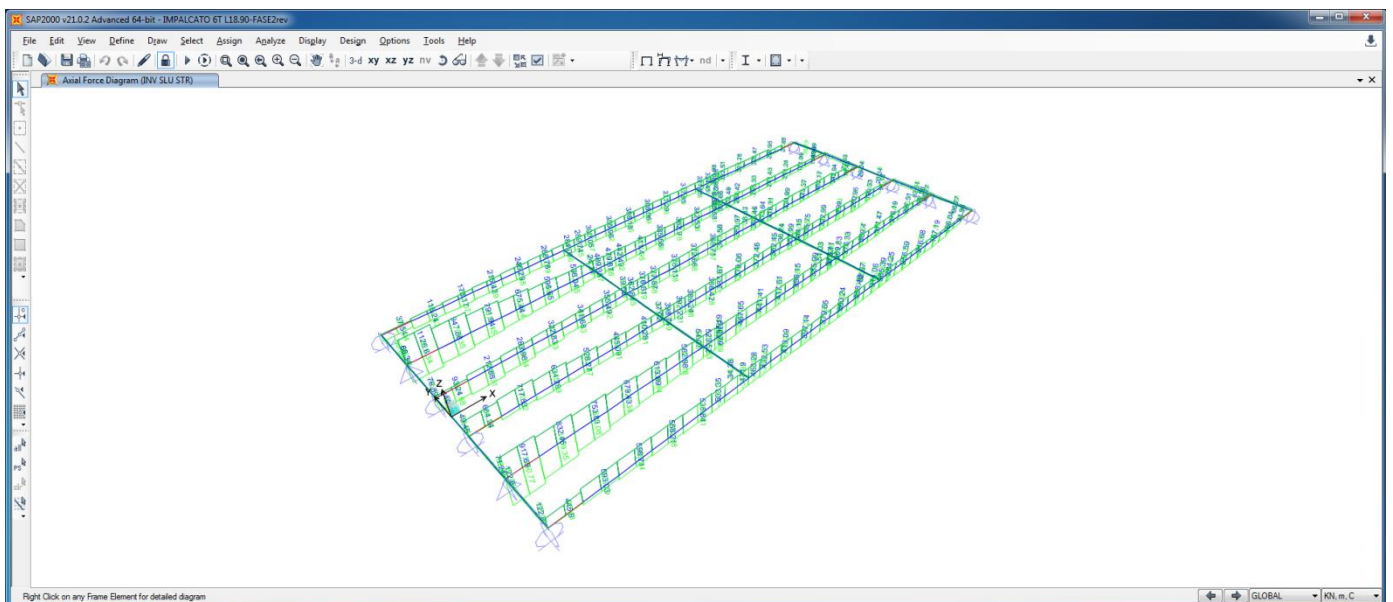


Figura 38: Sforzo assiale P Combo INVS LU STR- FASE 2

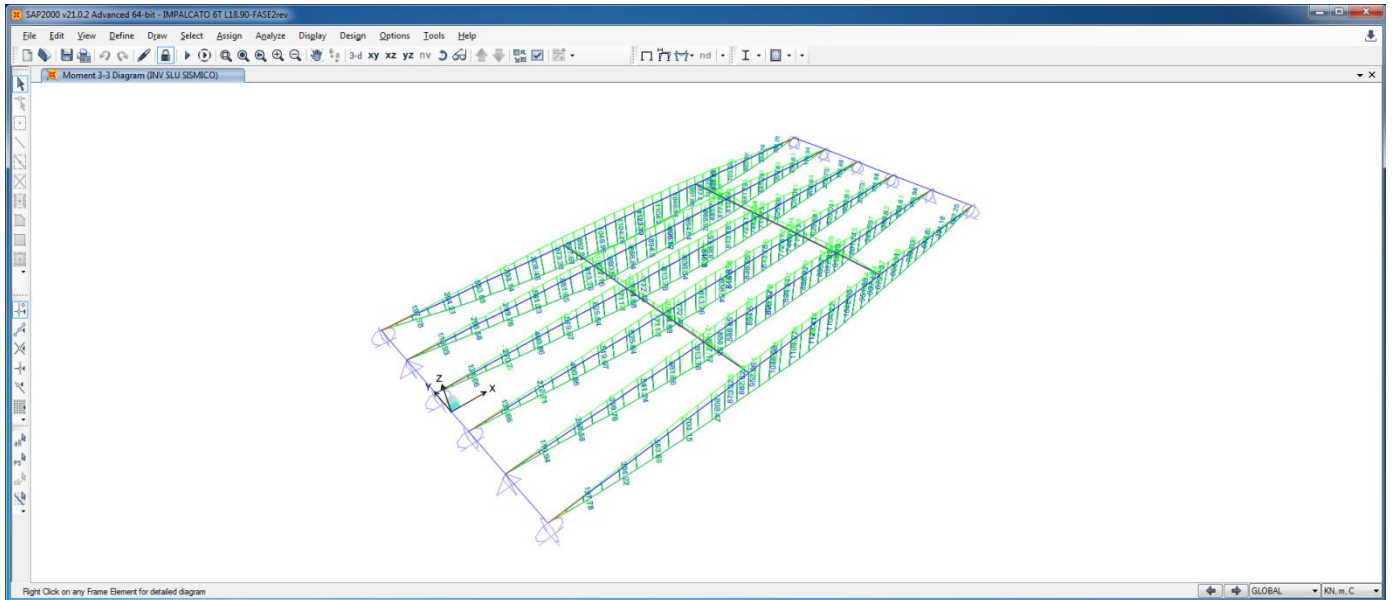


Figura 39: Momento flettente M33 Combo INVSLU SISMICO- FASE 2

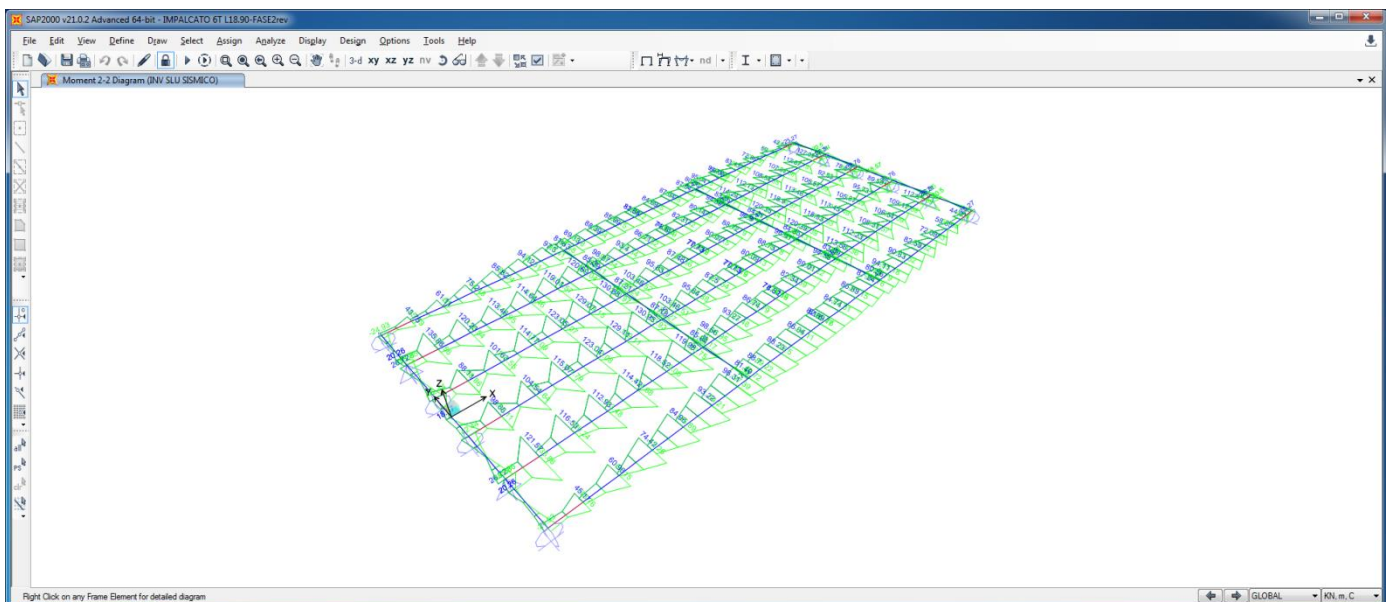


Figura 40: Momento flettente M22 Combo INVSLU SISMICO - FASE 2

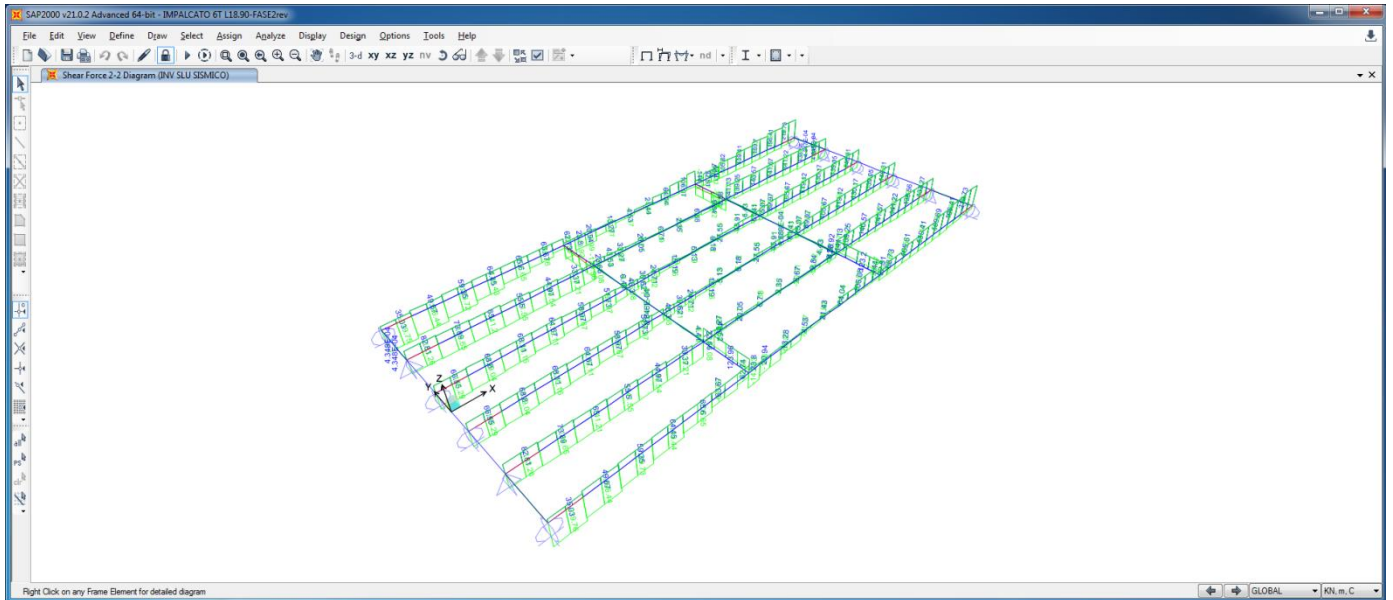


Figura 41: Taglio V22 Combo INVSLU SISMICO - FASE 2

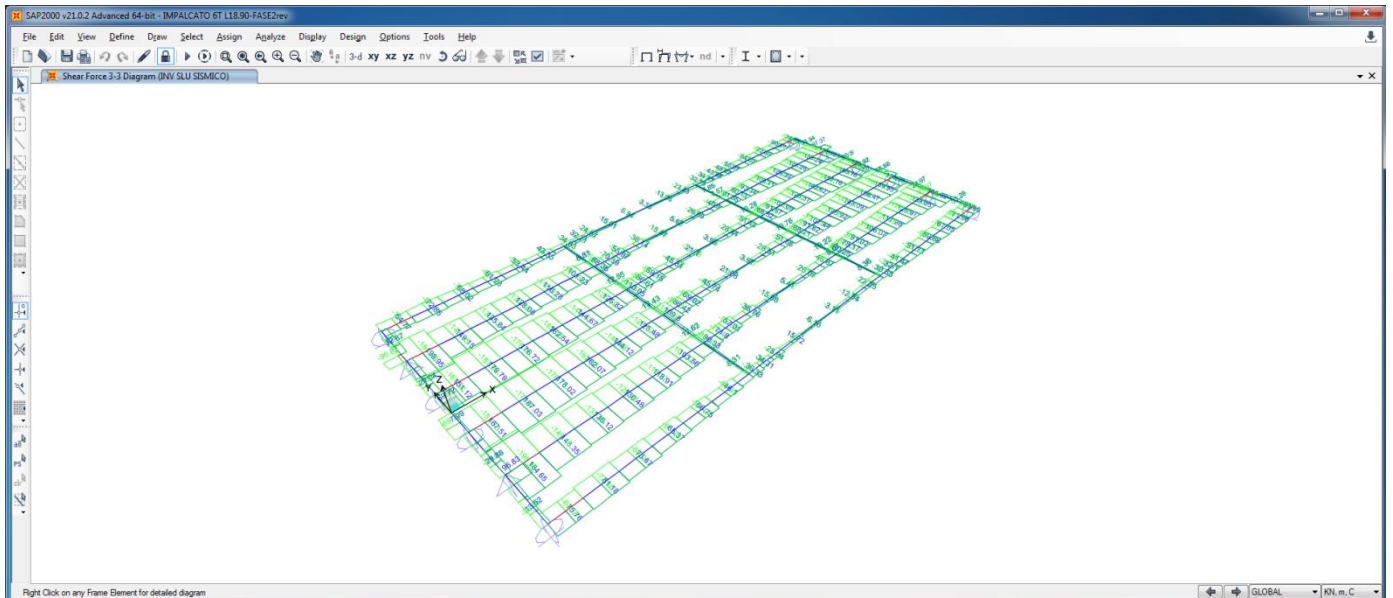


Figura 42: Taglio V33 Combo INVSLU SISMICO - FASE 2

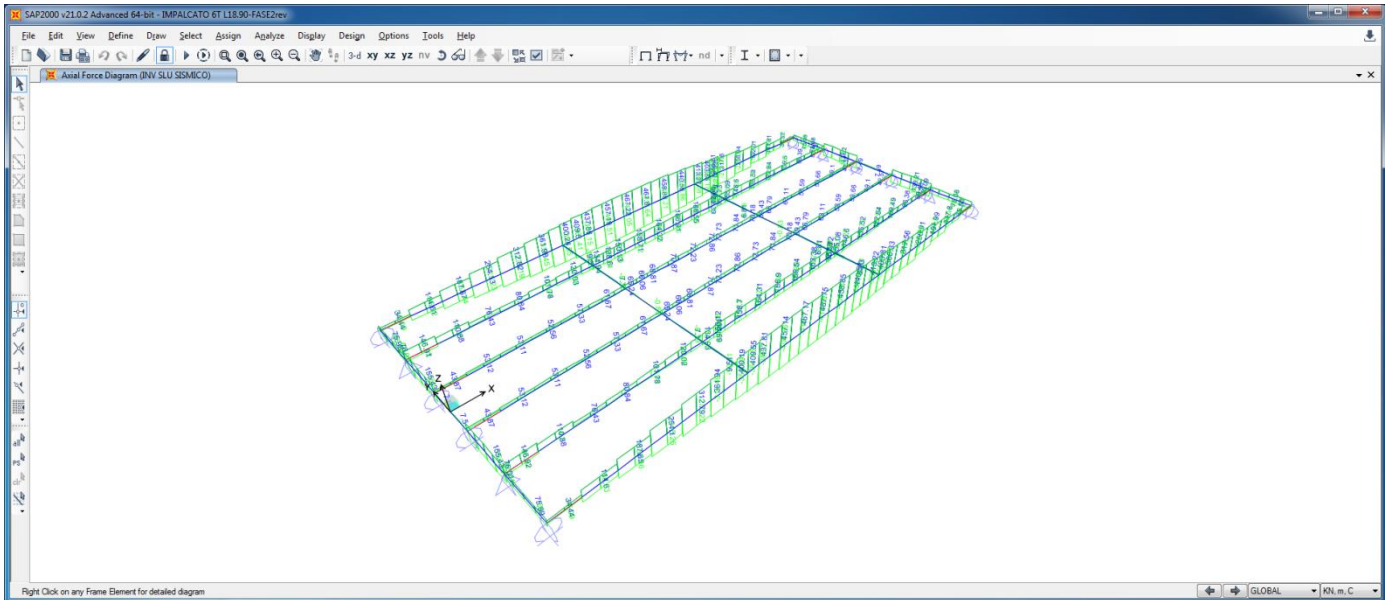


Figura 43: Sforzo assiale P Combo INVSLU SISMICO - FASE 2

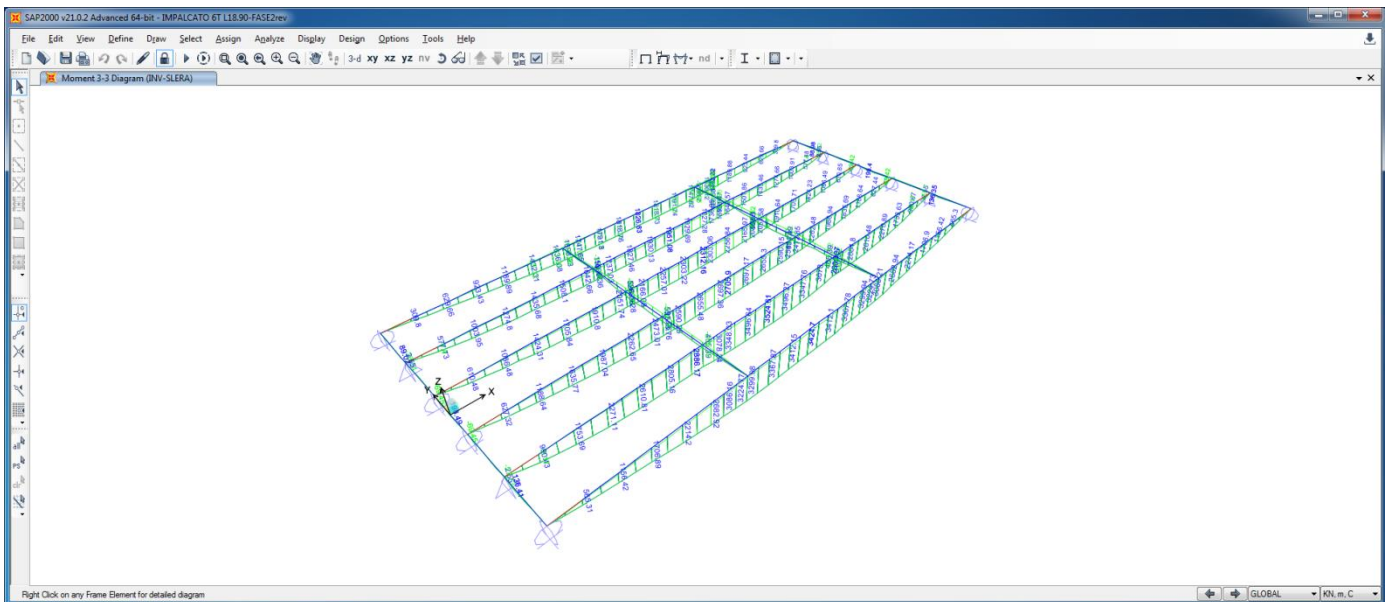


Figura 44: Momento flettente M33 Combo INVSLERA - FASE 2

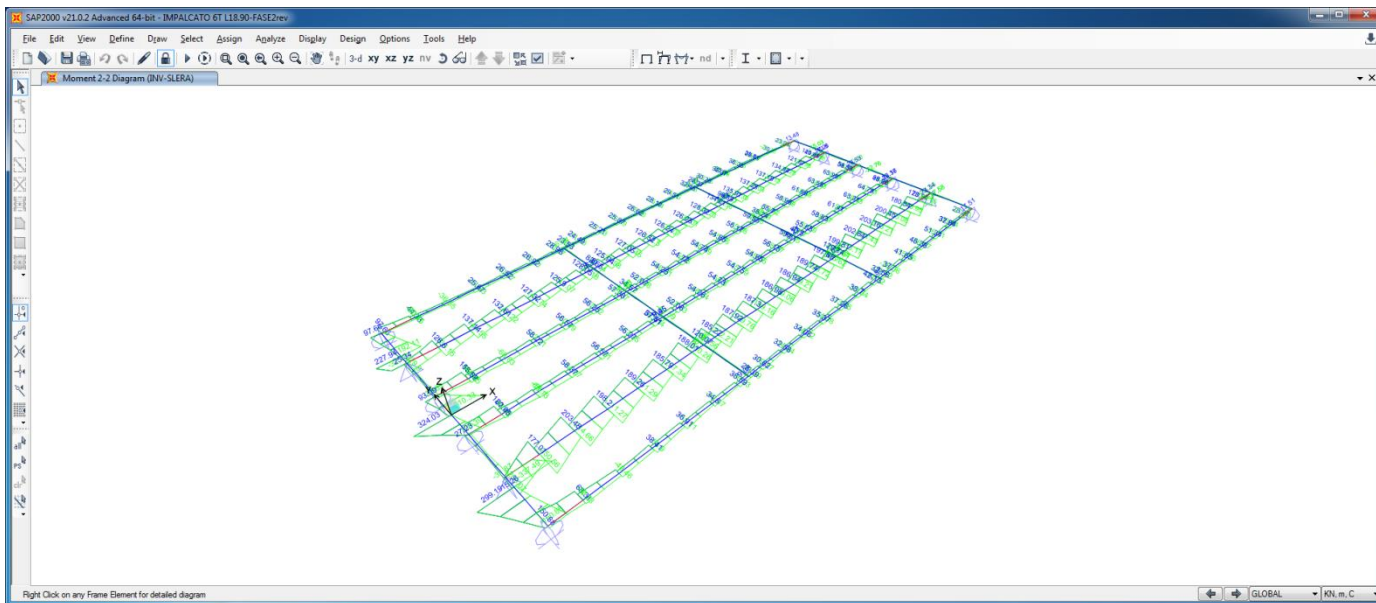


Figura 45: Momento flettente M22 Combo INVSLERA - FASE 2

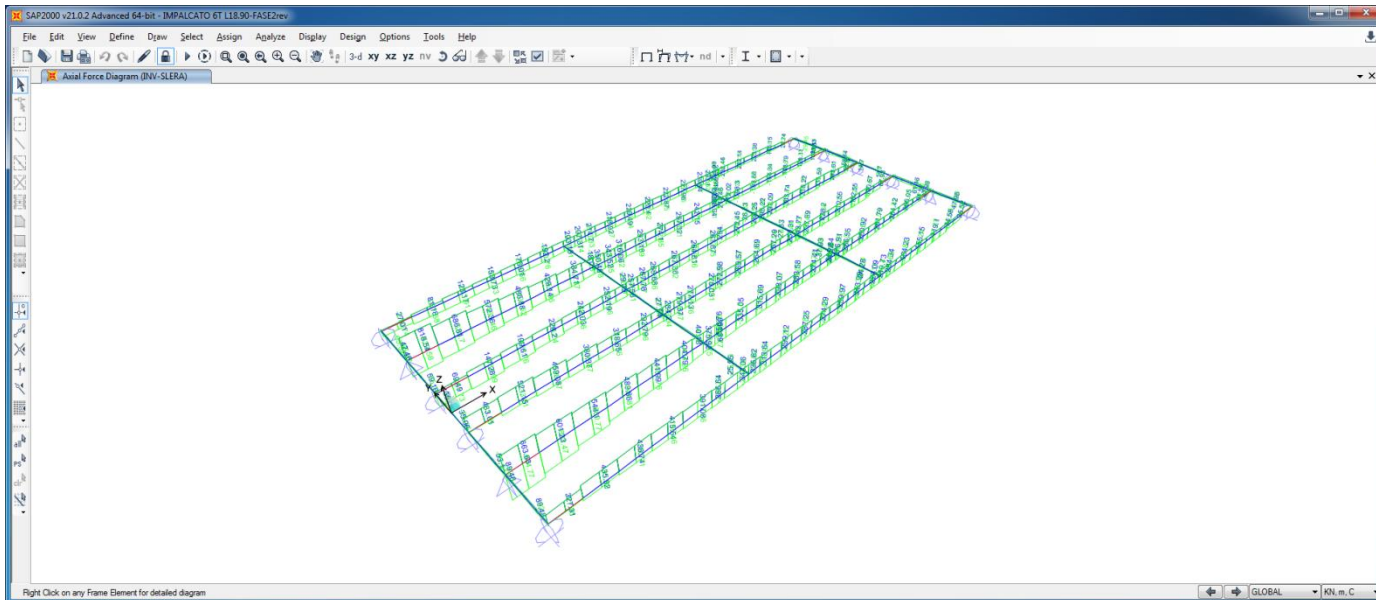


Figura 46: Sforzo assiale P Combo INVSLERA - FASE 2

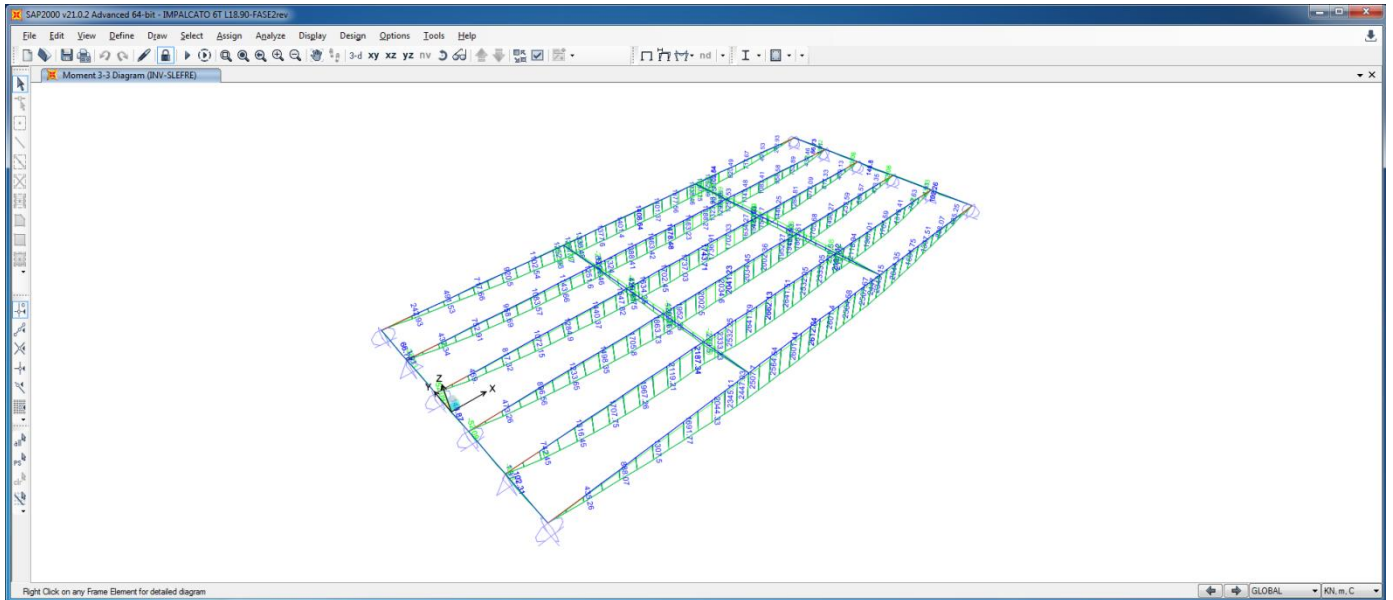


Figura 47: Momento flettente M33 Combo INVSLEFRE - FASE 2

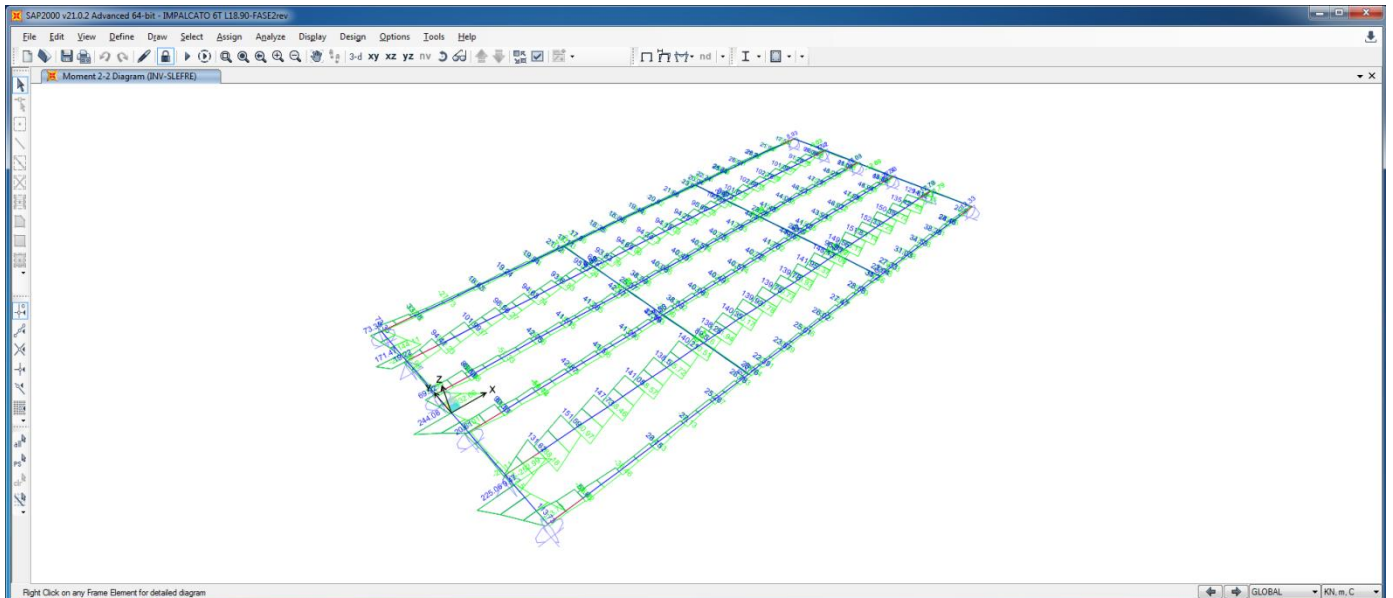


Figura 48: Momento flettente M22 Combo INVSLEFRE - FASE 2

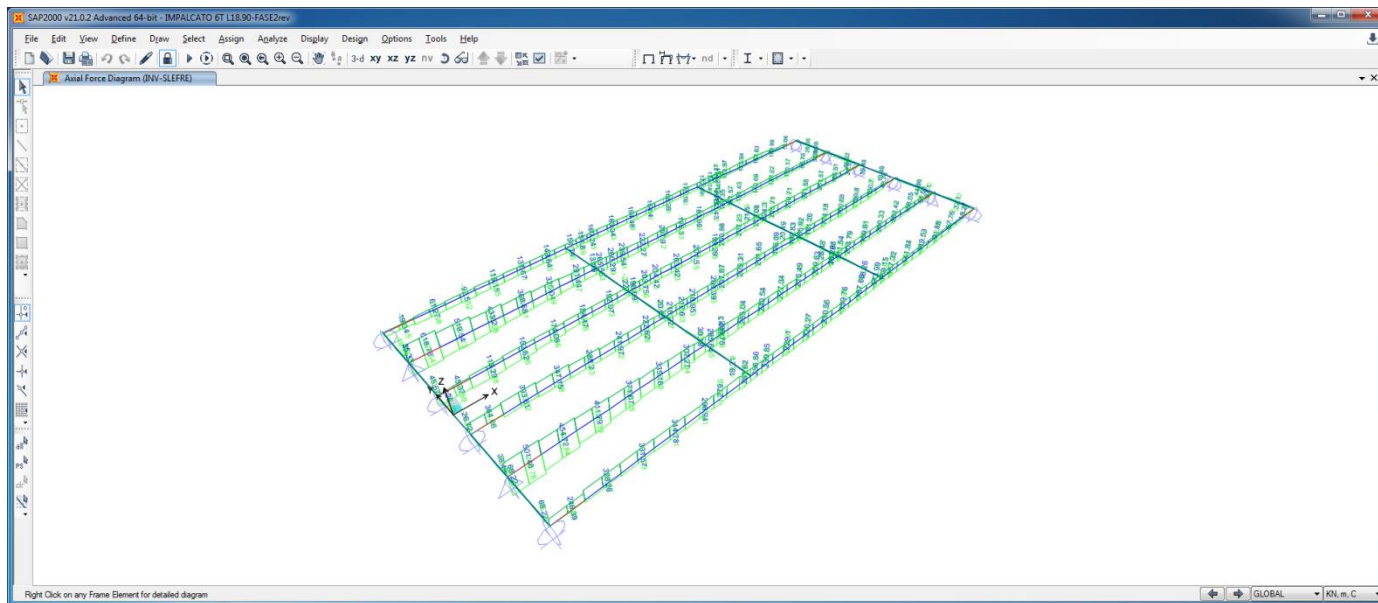


Figura 49: Sforzo assiale P Combo INV-SLEFRE - FASE 2

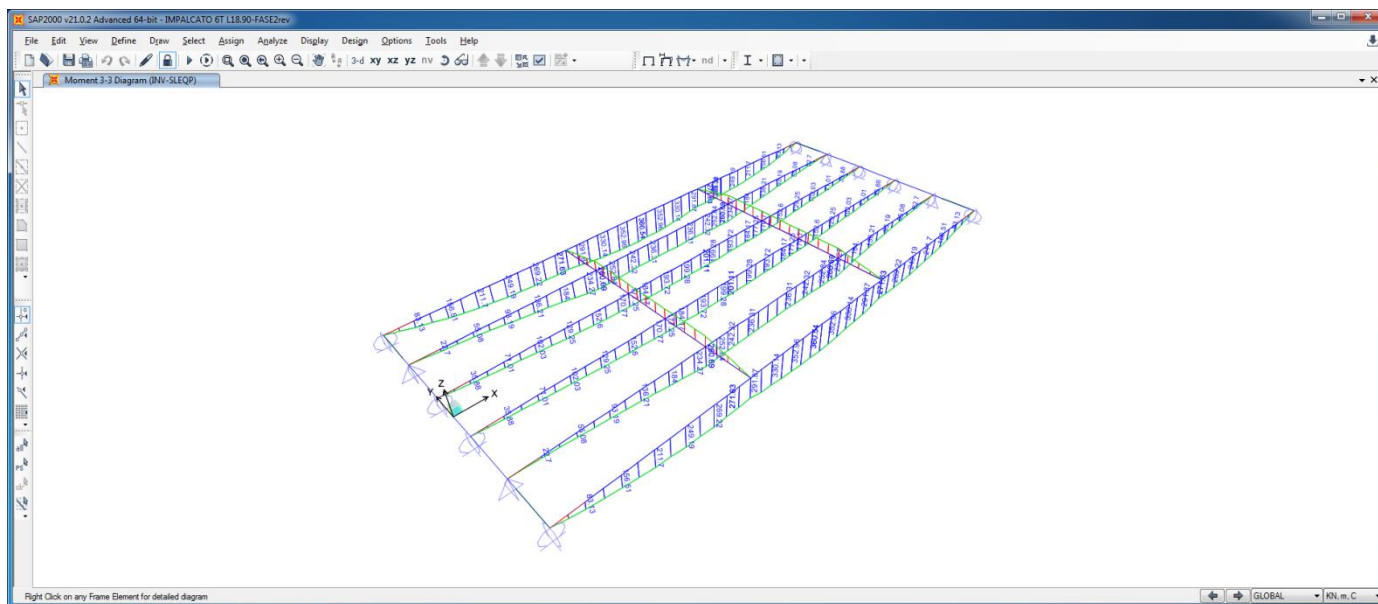


Figura 50: Momento flettente M33 Combo INV-SLEQP - FASE 2

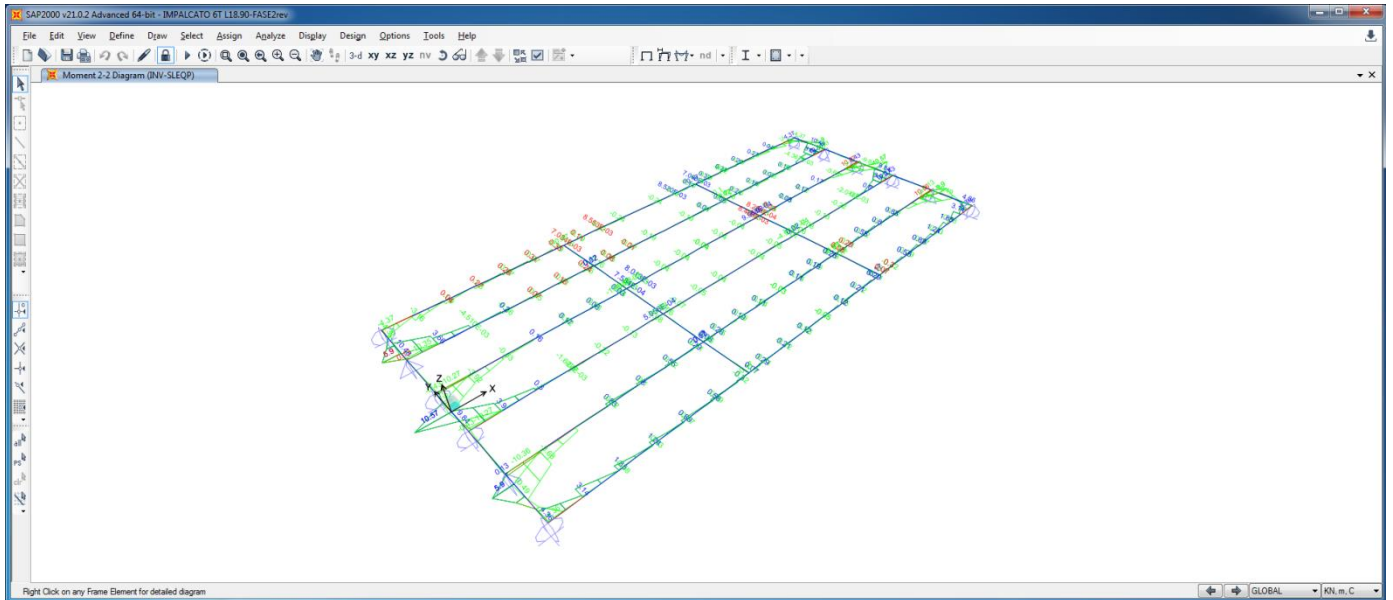


Figura 51: Momento flettente M22 Combo INVSLEQP - FASE 2

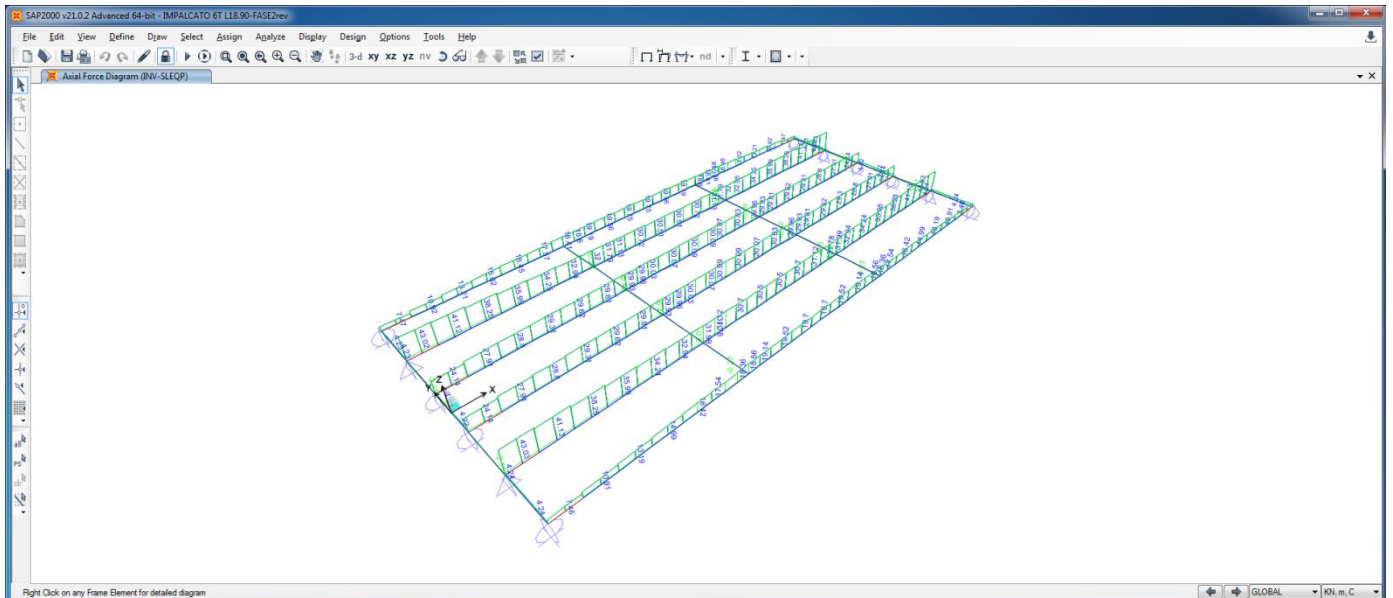
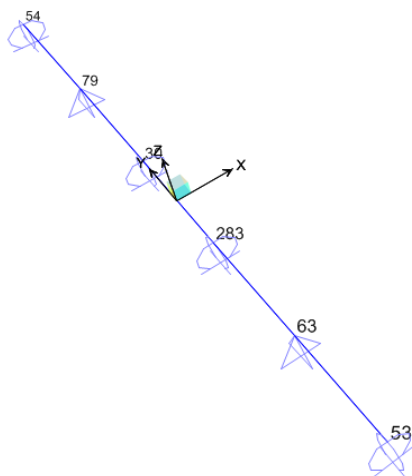


Figura 52: Sforzo assiale P Combo INVSLEQP - FASE 2

9.7 REAZIONI MASSIME AGLI APPOGGI

Con riferimento alla figura seguente si riportano gli scarichi massimi dell'impalcato agenti sulla spalla fissa:



FASE 1

TABLE: Joint Reactions SLU-01

Joint	OutputCase	CaseType	F1	F2	F3
Text	Text	Text	KN	KN	KN
30	SLU-01	Combination	0	0	487.425
53	SLU-01	Combination	0	0	541.841
54	SLU-01	Combination	0	0	541.841
63	SLU-01	Combination	0	0	495.212
79	SLU-01	Combination	0	0	495.212
283	SLU-01	Combination	0	0	487.425

TABLE: Joint Reactions SLE

Joint	OutputCase	CaseType	F1	F2	F3
Text	Text	Text	KN	KN	KN
30	SLE	Combination	0	0	342.02
53	SLE	Combination	0	0	377.184
54	SLE	Combination	0	0	377.184
63	SLE	Combination	0	0	347.327
79	SLE	Combination	0	0	347.327
283	SLE	Combination	0	0	342.02

Viadotto NW01
Relazione di calcolo impalcato

COMMESSA	LOTTO	CODIFICA	DOCUMENTO	REV.	FOGLIO
RS3H	02	D 78	CL NW0108 001	A	78 di 186

TABLE: Joint Reactions INV SLU STR

Joint	OutputCase	CaseType	StepType	F1	F2	F3
Text	Text	Text	Text	KN	KN	KN
30	INV SLU STR	Combination	Max	0	0	1038.024
30	INV SLU STR	Combination	Min	0	0	29.778
53	INV SLU STR	Combination	Max	0	0	866.561
53	INV SLU STR	Combination	Min	0	0	109.16
54	INV SLU STR	Combination	Max	0	0	481.566
54	INV SLU STR	Combination	Min	0	0	64.189
63	INV SLU STR	Combination	Max	975.02	80.177	1696.753
63	INV SLU STR	Combination	Min	-904.179	-267.122	-40.9
79	INV SLU STR	Combination	Max	904.179	117.511	1003.385
79	INV SLU STR	Combination	Min	-975.02	-199.346	-39.692
283	INV SLU STR	Combination	Max	0	0	1033.476
283	INV SLU STR	Combination	Min	0	0	18.96

FASE 1 + FASE 2

TABLE: Joint Reactions

Joint	OutputCase	F1	F2	F3
Text	Text	KN	KN	KN
30	G1+G2	0.0	0.0	-381.9
53	G1+G2	0.0	0.0	-469.5
54	G1+G2	0.0	0.0	-469.5
63	G1+G2	0.0	0.0	-372.6
79	G1+G2	0.0	0.0	-372.6
283	G1+G2	0.0	0.0	-381.9

SOMMA F3	PESO TOT	a_max	N° FISSI	F1 MAX	F2 MAX
2448.0	4896.0	0.3914	2	958.1	479.1

TABLE: Joint Reactions INV SLU SISMICO

Joint	OutputCase	CaseType	StepType	F1	F2	F3
Text	Text	Text	Text	KN	KN	KN
30	INV SLU SISMICO	Combination	Max	0	0	146.292
30	INV SLU SISMICO	Combination	Min	0	0	-66.548
53	INV SLU SISMICO	Combination	Max	0	0	219.756
53	INV SLU SISMICO	Combination	Min	0	0	-35.029
54	INV SLU SISMICO	Combination	Max	0	0	219.754
54	INV SLU SISMICO	Combination	Min	0	0	-35.026
63	INV SLU SISMICO	Combination	Max	958.143	479.071	133.261
63	INV SLU SISMICO	Combination	Min	-958.143	-479.071	-82.807
79	INV SLU SISMICO	Combination	Max	958.143	479.071	133.259
79	INV SLU SISMICO	Combination	Min	-958.143	-479.071	-82.806
283	INV SLU SISMICO	Combination	Max	0	0	146.293
283	INV SLU SISMICO	Combination	Min	0	0	-66.549

TABLE: Joint Reactions INV-SLERA

Joint	OutputCase	CaseType	StepType	F1	F2	F3
Text	Text	Text	Text	KN	KN	KN
30	INV-SLERA	Combination	Max	0	0	763.153
30	INV-SLERA	Combination	Min	0	0	21.443
53	INV-SLERA	Combination	Max	0	0	630.071
53	INV-SLERA	Combination	Min	0	0	106.44
54	INV-SLERA	Combination	Max	0	0	344.773
54	INV-SLERA	Combination	Min	0	0	35.605
63	INV-SLERA	Combination	Max	722.328	59.624	1253.052
63	INV-SLERA	Combination	Min	-669.671	-197.533	-34.098
79	INV-SLERA	Combination	Max	669.671	87.794	739.357
79	INV-SLERA	Combination	Min	-722.328	-146.814	-33.293
283	INV-SLERA	Combination	Max	0	0	760.121
283	INV-SLERA	Combination	Min	0	0	8.628

Viadotto NW01
Relazione di calcolo impalcato

COMMESSA	LOTTO	CODIFICA	DOCUMENTO	REV.	FOGLIO
RS3H	02	D 78	CL NW0108 001	A	79 di 186

TABLE: Joint Reactions INV-SLEFRE

Joint	OutputCase	CaseType	StepType	F1	F2	F3
Text	Text	Text	Text	KN	KN	KN
30	INV-SLEFRE	Combination	Max	0	0	573.4
30	INV-SLEFRE	Combination	Min	0	0	17.117
53	INV-SLEFRE	Combination	Max	0	0	485.087
53	INV-SLEFRE	Combination	Min	0	0	92.364
54	INV-SLEFRE	Combination	Max	0	0	270.332
54	INV-SLEFRE	Combination	Min	0	0	38.456
63	INV-SLEFRE	Combination	Max	542.354	48.457	939.353
63	INV-SLEFRE	Combination	Min	-501.646	-144.487	-26.01
79	INV-SLEFRE	Combination	Max	501.646	69.495	553.478
79	INV-SLEFRE	Combination	Min	-542.354	-106.537	-26.01
283	INV-SLEFRE	Combination	Max	0	0	573.4
283	INV-SLEFRE	Combination	Min	0	0	9.779

TABLE: Joint Reactions INV-SLEQP

Joint	OutputCase	CaseType	StepType	F1	F2	F3
Text	Text	Text	Text	KN	KN	KN
30	INV-SLEQP	Combination	Max	0	0	39.872
30	INV-SLEQP	Combination	Min	0	0	39.872
53	INV-SLEQP	Combination	Max	0	0	92.364
53	INV-SLEQP	Combination	Min	0	0	92.364
54	INV-SLEQP	Combination	Max	0	0	92.364
54	INV-SLEQP	Combination	Min	0	0	92.364
63	INV-SLEQP	Combination	Max	-0.00451	0.826	25.227
63	INV-SLEQP	Combination	Min	-0.00451	0.065	25.227
79	INV-SLEQP	Combination	Max	0.004509	-0.067	25.227
79	INV-SLEQP	Combination	Min	0.004509	-0.827	25.227
283	INV-SLEQP	Combination	Max	0	0	39.872
283	INV-SLEQP	Combination	Min	0	0	39.872

FASE 1 + FASE 2

TABLE: Joint Reactions

Joint	OutputCase	F1	F2	F3
Text	Text	KN	KN	KN
30	INV SLU STR	0.0	0.0	-1525.4
53	INV SLU STR	0.0	0.0	-1408.4
54	INV SLU STR	0.0	0.0	-1023.4
63	INV SLU STR	975.0	267.1	-2192.0
79	INV SLU STR	975.0	199.3	-1498.6
283	INV SLU STR	0.0	0.0	-1520.9

TABLE: Joint Reactions

Joint	OutputCase	F1	F2	F3
Text	Text	KN	KN	KN
30	INV SLU SISMICO	0.0	0.0	-488.3
53	INV SLU SISMICO	0.0	0.0	-596.9
54	INV SLU SISMICO	0.0	0.0	-596.9
63	INV SLU SISMICO	958.1	479.1	-480.6
79	INV SLU SISMICO	958.1	479.1	-480.6
283	INV SLU SISMICO	0.0	0.0	-488.3

Viadotto NW01
Relazione di calcolo impalcato

COMMESSA	LOTTO	CODIFICA	DOCUMENTO	REV.	FOGLIO
RS3H	02	D 78	CL NW0108 001	A	80 di 186

TABLE: Joint Reactions

Joint	OutputCase	F1	F2	F3
Text	Text	KN	KN	KN
30	INV-SLERA	0.0	0.0	-1105.2
53	INV-SLERA	0.0	0.0	-1007.3
54	INV-SLERA	0.0	0.0	-722.0
63	INV-SLERA	722.3	197.5	-1600.4
79	INV-SLERA	722.3	146.8	-1086.7
283	INV-SLERA	0.0	0.0	-1102.1

TABLE: Joint Reactions

Joint	OutputCase	F1	F2	F3
Text	Text	KN	KN	KN
30	INV-SLEFRE	0.0	0.0	-915.4
53	INV-SLEFRE	0.0	0.0	-862.3
54	INV-SLEFRE	0.0	0.0	-647.5
63	INV-SLEFRE	542.4	144.5	-1286.7
79	INV-SLEFRE	542.4	106.5	-900.8
283	INV-SLEFRE	0.0	0.0	-915.4

TABLE: Joint Reactions

Joint	OutputCase	F1	F2	F3
Text	Text	KN	KN	KN
30	INV-SLEQP	0.0	0.0	-381.9
53	INV-SLEQP	0.0	0.0	-469.5
54	INV-SLEQP	0.0	0.0	-469.5
63	INV-SLEQP	0.0	0.8	-372.6
79	INV-SLEQP	0.0	0.8	-372.6
283	INV-SLEQP	0.0	0.0	-381.9

9.8 VERIFICA DEFORMABILITÀ IMPALCATO

La deformazione è verificata secondo i criteri contenuti nel paragrafo 2.6.2.2.3 delle norme RFI DTC SI PS MA IFS 001 C. La verifica è soddisfatta se sotto l'azione dei carichi accidentali (valori caratteristici) la freccia in mezzzeria è inferiore a $L/700$.

Si riporta la deformata dovuta ai carichi accidentali.

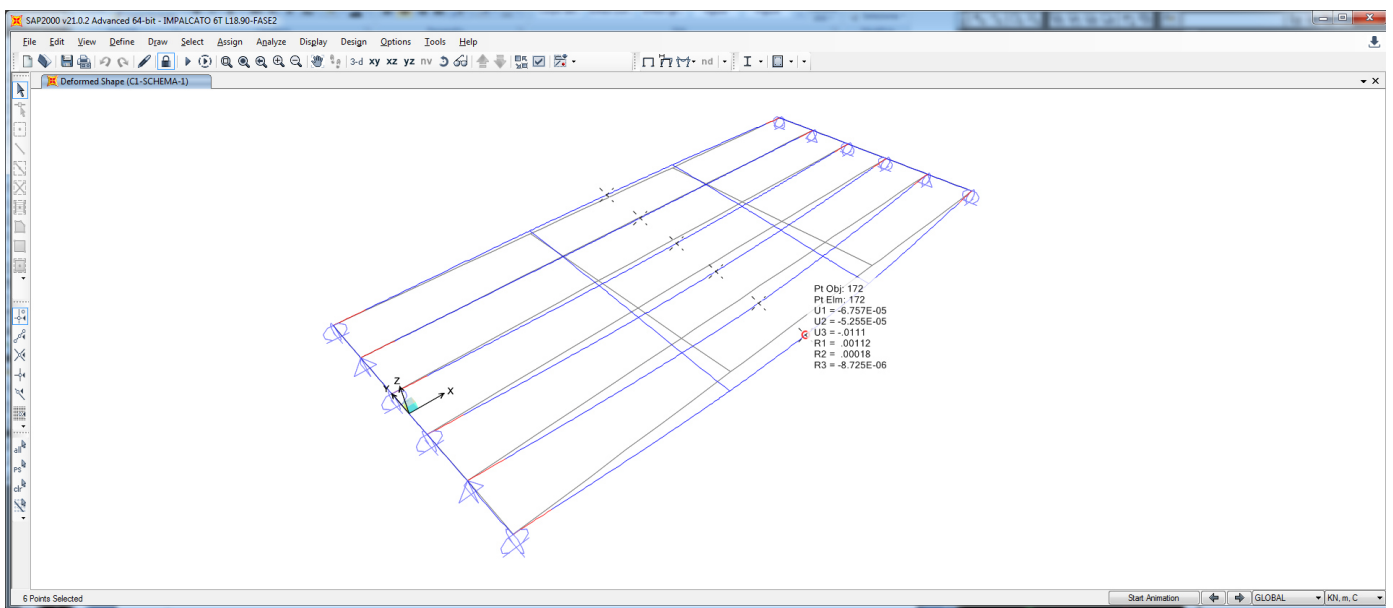
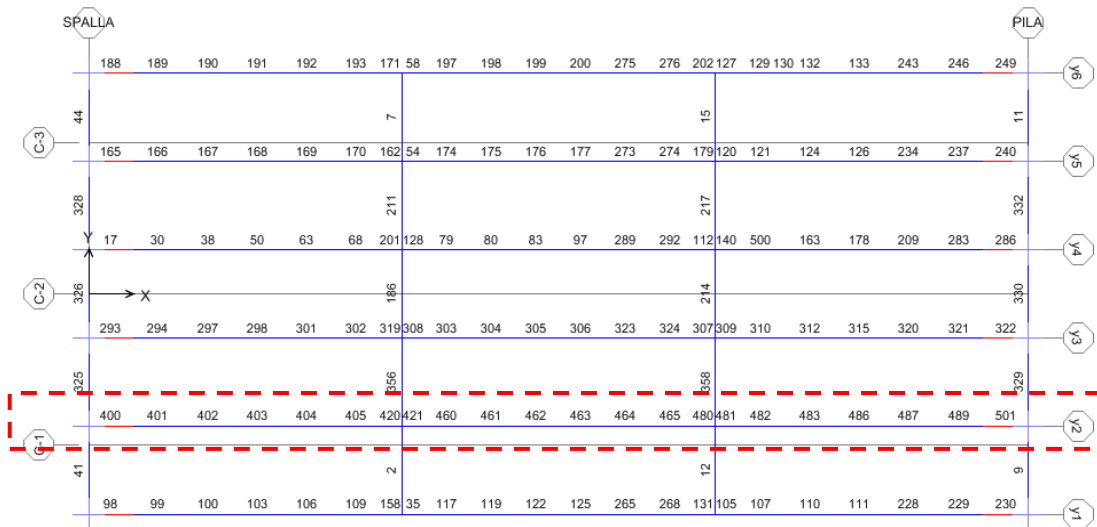


Figura 53 – Deformata per carichi accidentali

La freccia massima è pari a 11.1 mm, la freccia ammissibile è $18.90/700 \cdot 1000 = 27$ mm, la verifica è pertanto soddisfatta.

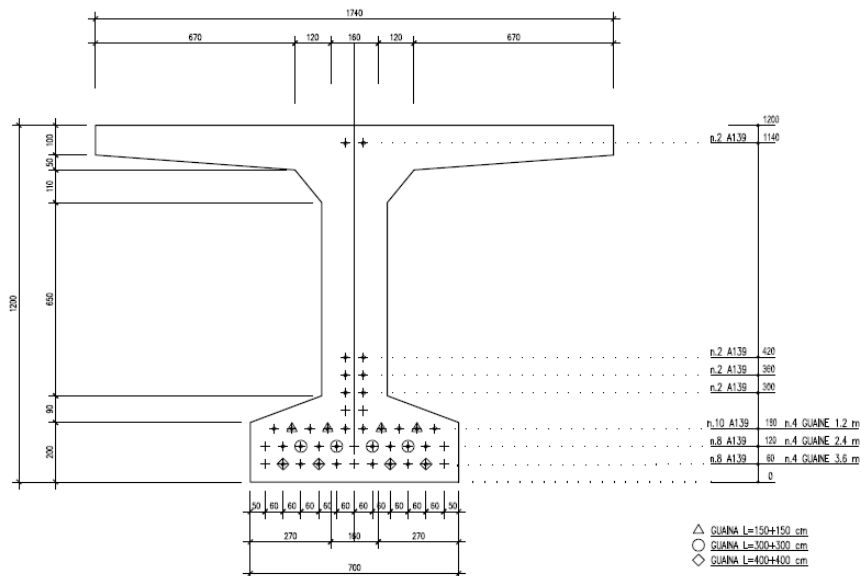
10 VERIFICA TRAVE IN C.A.P.

Di seguito si riporta la verifica della trave prefabbricata più sollecitata effettuata con il software di calcolo T-CAP.



TRAVE a T
 n° 34 TREFOLI DA 0.6" (SC 1:10)

DIMA POSIZIONAMENTO TREFOLI



ARMATURA LENTA

- 3 $\varnothing 24$ TUTTA LUNGH. A 6cm (CON SOVR.)
- 3 $\varnothing 20$ L=12m A CAVALLO DELLA MEZZ. A 12cm
- 4 $\varnothing 16$ TUTTA LUNGH. A 114cm (CON SOVR.)
- 10+10 $\varnothing 26$ L=4m AGLI APP. A 9cm
- ST. $\varnothing 14/12$ 4br. PER 3m ALLE ESTR. - $\varnothing 14/10$ 2br. PER 5m - $\varnothing 14/15$ 2br. CENTRALI

Si riporta il report di calcolo ottenuto dal software T-CAP.

10.1 REPORT DI CALCOLO TRAVE 2

10.2 Premessa

La presente relazione espone la verifica di una struttura lineare continua soggetta a forze esterne contenute nel piano verticale longitudinale alla struttura stessa e vincolata nel medesimo piano.

La struttura è in calcestruzzo armato precompresso, realizzata per fasi utilizzando travi prefabbricate in c.a.p. e getto successivo eseguito in opera per realizzare traversi di collegamento e soletta collaborante.

10.3 Normative, convenzioni ed ipotesi di base

Sistema di riferimento

Il sistema di riferimento delle grandezze geometriche e delle forze è una terna sinistrogira con l'asse X parallelo all'asse longitudinale della struttura, l'asse Z contenuto nel piano verticale e l'asse Y ortogonale a tale piano e orientato verso l'osservatore che veda le X positive a destra e le Z positive in alto.

I carichi agenti sulla struttura e le reazioni dei vincoli sono positivi se sono diretti verso l'alto e verso destra. I momenti flettenti sulla trave sono positivi quando tendono la fibra inferiore della sezione.

Tensioni e deformazioni sono positive se di trazione, sia per il calcestruzzo che per l'acciaio.

Normativa

Sono rispettate le seguenti normative:

- Legge 05/11/1971 n. 1086: *Norme per la disciplina delle opere di conglomerato cementizio armato, normale e precompresso ed a struttura metallica.*

- D.M. 17/01/2018: *Norme tecniche per le costruzioni - NTC 2018*

Unità di misura

Ove non sia diversamente specificato, le grandezze contenute nella presente relazione sono espresse nelle seguenti unità di misura:

--	--

lunghezza	[m]
forza	[KN]
angolo	[rad]

I diametri delle barre di armatura lenta sono sempre espressi in [mm], i diametri dei trefoli di precompressione sono invece espressi in [inch] (= 25.4 [mm]).

Modello di calcolo

Il codice di calcolo TCAP riceve le combinazioni di carico della struttura dal programma di calcolo delle sollecitazioni ed esegue le verifiche nelle situazioni agli Stati Limite Ultimi e agli Stati Limite di Esercizio inserendo nelle combinazioni l'effetto della precompressione.

Per valutare l'effetto della precompressione nelle varie sezioni viene assunto un modello di calcolo appropriato che riproduce le condizioni iperstatiche della struttura reale.

La struttura è considerata lineare e rettilinea, soggetta a deformazione longitudinale assiale generata dalla precompressione e deformazione trasversale per inflessione nel piano verticale. Essa viene schematizzata come una struttura a telaio piano che discretizza i tratti a sezione (e quindi baricentro) costante con aste orizzontali e i tratti a geometria variabile con aste inclinate.

Le forze di precompressione sono rappresentate da forze longitudinali e da coppie di trasporto delle forze stesse alla quota del baricentro locale.

Per il calcolo dei momenti flettenti resistenti a rottura viene utilizzata la procedura FindLim ed. TCAP/1.0 05/10 - SIGMAcSOFT che tiene conto, oltre al contributo del calcestruzzo, del contributo delle armature lente (stesso stato deformativo del calcestruzzo) e del contributo delle armature di precompressione nello stato deformativo effettivo (pretensione).

Codice di calcolo

La verifica è stata condotta con il codice di calcolo automatico TCAP ed. 9.4 - 02/2019 sviluppato da SIGMAcSOFT - Padova.

Procedura di calcolo tensionale per flessione: PREFLErett vers. TCAP/3.0 09/11 - SIGMAcSOFT

Procedura di calcolo a rottura per flessione: FindLim ed. TCAP/1.0 05/10 - SIGMAcSOFT

Procedura di calcolo a rottura per taglio: VrdCalc ed. TCAP/1.0 06/10 - SIGMAcSOFT

Modello iperstatico: TRSP ed. TCAP/1.0 04/10 - SIGMAcSOFT

10.4 Dati di calcolo

Dati geometrici

10.4.1.1 Schemi statici

L'impalcato viene realizzato con travi prefabbricate in c.a.p. e getto eseguito in opera di traversi e soletta collaborante. Si distinguono due fasi successive di lavoro:

PRIMA FASE: Le travi semplicemente appoggiate agli estremi resistono al peso proprio ed a quello del getto eseguito in opera.

SECONDA FASE: Il sistema misto, travi prefabbricate e soletta gettata in opera, divenuto solidale dopo la maturazione del calcestruzzo, resiste al peso delle sovrastrutture e dei carichi accidentali.

10.4.1.1.1 Prima fase

Nella prima fase i prefabbricati sono soggetti alle seguenti condizioni di vincolo:

In opera al momento del getto di 2a fase:

Sbalzo sinistro = 0,75

Sbalzo destro = 0,75

In fase di sollevamento:

Sbalzo sinistro = 1,00

Sbalzo destro = 1,00

10.4.1.1.2 Seconda fase

In seconda fase la struttura è vincolata sugli appoggi definitivi:

appoggio	descrizione	X	luce campata
1	asse 1	0,75	
2	asse 2	19,65	18,90

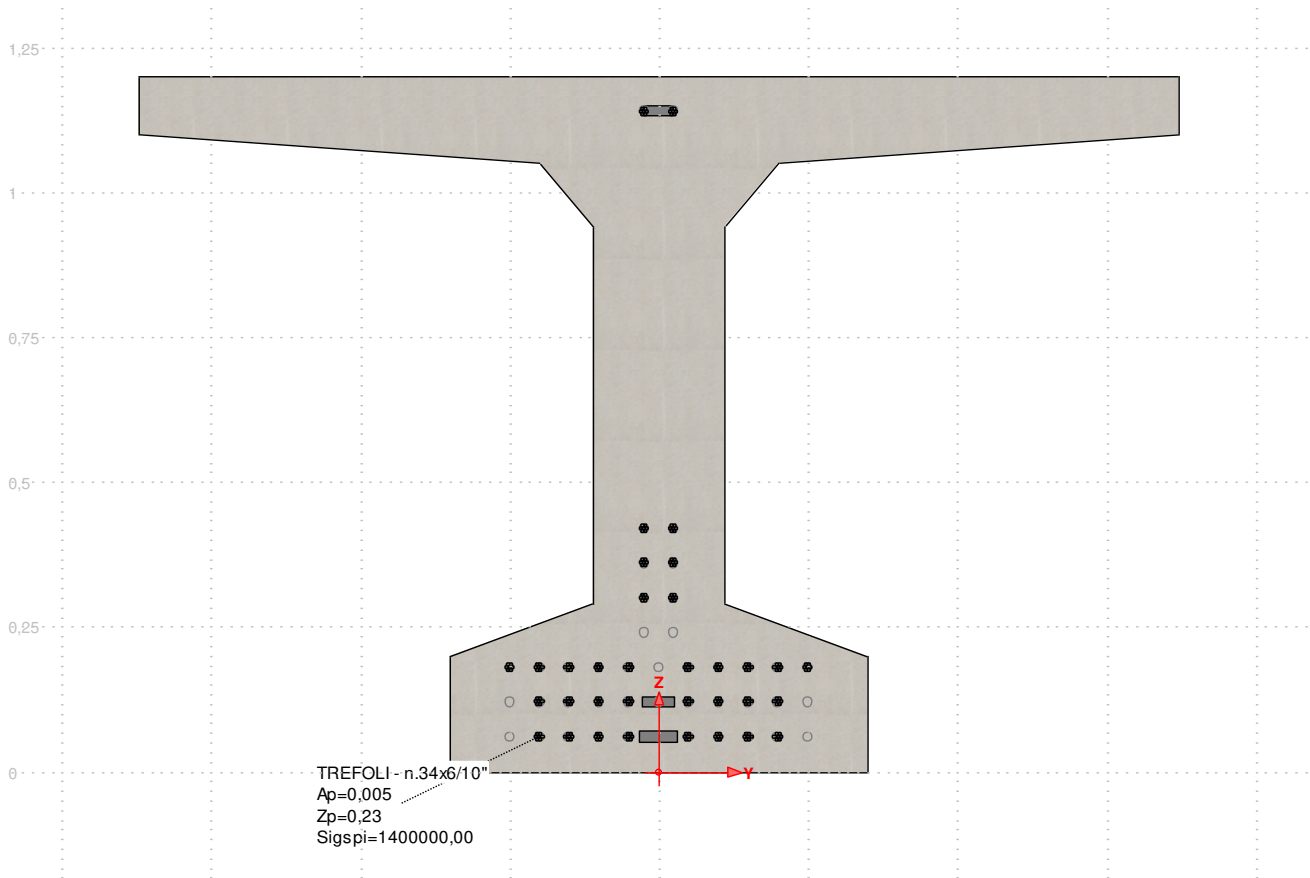
Armature trave prefabbricata

10.4.1.2 Armature di precompressione pretesate

TREFOLI

trefoli :	6/10"	
area trefolo =	139,000	[mm ²]
acciaio :	prec.fpk=1860	
tensione di tesatura =	1400000,00	[KN/m ²]
area totale A _p =	0,005	[m ²]
precompressione totale N _p =	6616,40	[KN]
quota baricentro Z _{g,p} =	0,23	[m]

quota Z	n. trefoli	n. guaine	L guaine
1,14	2		
0,42	2		
0,36	2		
0,30	2		
0,24			
0,18	10	4	1,50
0,12	8	4	3,00
0,06	8	4	4,00
N. trefoli=	34	L tot guaine=	34,00



10.4.1.3 Armatura lenta

Armatura longitudinale :

pos.	armatura	y	z	x iniziale	x finale
P1-L1	3Ø24	0,00	0,06	1,01	19,39
P1-L2	3Ø20	0,00	0,12	5,00	15,40
P1-L3	4Ø16	0,00	1,14	0,69	19,71

Armatura trasversale :

pos.	armatura	x iniziale	x finale	
P1-S1	4Ø14/0,10	0,00	3,00	trave+colleg. con soletta

pos.		armatura	x iniziale	x finale	
P1-S1	(simmetrica)		17,40	20,40	
P1-S2		2Ø14/0,10	3,00	8,00	trave+colleg. con soletta
P1-S2	(simmetrica)		12,40	17,40	
P1-S3		2Ø14/0,15	8,00	12,40	trave+colleg. con soletta

armatura longit. appoggio :

n. barre	Ø	lunghezza	quota z
10	26	2,90	0,09

Armature getto in opera

10.4.1.4 Armatura lenta

Armatura longitudinale :

pos.		armatura	Y	Z	X iniziale	X finale
S-L1		8Ø20	0,00	1,45	0,85	19,55
S-L2		8Ø20	0,00	1,25	0,85	19,55

Materiali - resistenze di calcolo

In questo paragrafo non valgono le convezioni di segno precedentemente riportate: per il calcestruzzo tutte le grandezze sono indicate con segno positivo e contestualmente viene specificato se si tratta di valori di compressione o di trazione.

10.4.1.5 Calcestruzzo delle travi prefabbricate

Ai fini del calcolo le caratteristiche rilevanti del calcestruzzo sono date dalla resistenza a rottura, dal modulo elastico e dall'entità dei fenomeni differiti nel tempo.

Le travi prefabbricate in c.a.p. sono precomprese a trefoli aderenti e devono perciò rispettare delle limitazioni tensionali già in fase iniziale, al rilascio dei trefoli.

Data l'entità delle sollecitazioni iniziali si raccomanda di eseguire il trasferimento della precompressione con opportuna gradualità. Nel seguito della relazione si indicherà sinteticamente tale operazione come "taglio dei trefoli".

Calcestruzzo	C45/55
resistenza caratteristica $R_{ck28,cub}$	55000,00
resistenza al taglio dei trefoli $R_{ckj,cub}$	38500,00
coefficiente sicurezza verifiche a rottura	1,500
modulo elastico	36416000,00
peso specifico	25,0000
ritiro totale	-0,00050
% ritiro prima del taglio trefoli	25,5%
% ritiro taglio trefoli-getto soletta	25,5%
% ritiro da getto soletta a t=inf.	49%
coeff. di viscosità	2,300
% viscosità taglio trefoli-getto soletta	33%
% viscosità da getto soletta a t=inf.	67%

Resistenza caratteristica cilindrica a compressione :

a tempo infinito	f_{ck}	$= 0.83 \cdot R_{ck}$	$= 0.83 \cdot 55000,00 = 45650,00$	KN/m ²
al taglio dei trefoli	f_{ckj}	$= 0.83 \cdot R_{ckj}$	$= 0.83 \cdot 38500,00 = 31955,00$	KN/m ²

Resistenza di calcolo a compressione :

a tempo infinito	f_{cd}	$= a_{cc} \cdot f_{ck} / g_c$	$= 0.85 \cdot 45650,00 / 1,5 = 25868,33$	KN/m ²
al taglio dei trefoli	f_{cdj}	$= a_{cc} \cdot f_{ckj} / g_c$	$= 0.85 \cdot 31955,00 / 1,5 = 18107,83$	KN/m ²

Nel calcolo a rottura delle sezioni si utilizza il diagramma parabola-rettangolo con tensione massima a tempo infinito pari a :

$$f_{cd} = 25868,33 \text{ KN/m}^2$$

Resistenza di calcolo a trazione per flessione (formazione delle fessure) :

a tempo infinito	f_{ct}	$= f_{ctm}/1.2$	$= 3831,91/1.2 = 3193,26$
al taglio dei trefoli	f_{ctj}	$= f_{ctmj}/1.2$	$= 3020,98/1.2 = 2517,48$

Nelle condizioni di esercizio la massima tensione di compressione nel calcestruzzo deve rispettare le seguenti limitazioni:

al taglio dei trefoli :

s_{cj}	$< 0.70 \cdot f_{ckj}$	$= 22368,50$	KN/m^2
----------	------------------------	--------------	-----------------

a cadute avvenute :

s_c	$< 0.6 \cdot f_{ck}$	$= 27390,00$	KN/m^2	(per comb. caratteristica rara)
s_c	$< 0.45 \cdot f_{ck}$	$= 20542,50$	KN/m^2	(per comb. quasi permanente)

10.4.1.6 Calcestruzzo gettato in opera

Calcestruzzo	C32/40
resistenza caratteristica $R_{ck,cub}$	40000,00
coefficiente sicurezza del materiale	1,5
modulo elastico	33643000,00
peso specifico	25,0000
coeff. di omogeneizzazione con cls travi	0,924

Resistenza caratteristica cilindrica a compressione :

a tempo infinito	f_{ck}	$= 0.83 \cdot R_{ck}$	$= 0.83 \cdot 40000,00 = 33200,00$	KN/m^2
------------------	----------	-----------------------	------------------------------------	-----------------

Resistenza di calcolo a compressione :

a tempo infinito	f_{cd}	$= a_{cc} \cdot f_{ck} / \gamma_c$	$= 0.85 \cdot 33200,00 / 1,5 = 18813,33$	KN/m ²
------------------	----------	------------------------------------	--	-------------------

Nel diagramma parabola-rettangolo la tensione massima è pari a :

$$f_{cd} = 18813,33$$

Resistenza di calcolo a trazione per flessione (formazione delle fessure) :

a tempo infinito	f_{ct}	$= f_{ctm} / 1.2$	$= 3098,94 / 1.2 = 2582,45$
------------------	----------	-------------------	-----------------------------

Nelle condizioni di esercizio la massima tensione di compressione del calcestruzzo deve rispettare le seguenti limitazioni:

s_c	$< 0.6 \cdot f_{ck}$	$= 19920,00$	KN/m ²	(per comb. caratteristica rara)
s_c	$< 0.45 \cdot f_{ck}$	$= 14940,00$	KN/m ²	(per comb. quasi permanente)

10.4.1.7 Acciaio per c.a.p.

Acciaio prec.fpk=1860 :

tensione all'1% deform. residua $f_{p(1)k}$	1670000,00
Modulo elastico	195000000,00
coeff. di omogeneizzazione a cls travi	-6
coefficiente di sicurezza	1,15
% rilassam. prima del taglio trefoli	41,4%
% rilassam. taglio trefoli-getto soletta	25,9%
% rilassam. da getto soletta a t=inf.	32,7%

In base al punto 4.1.8.1.5 del D.M. 14/01/2008 le tensioni iniziali all'atto della tesatura dei cavi pre-tesi deve rispettare la più restrittiva delle seguenti limitazioni:

S_{spi}	$\leq 0.80 \cdot f_{ptk}$	$= 0.80 \cdot 1837000,00 = 1469600,00$	KN/m ²
S_{spi}	$\leq 0.90 \cdot f_{p(1)k}$	$= 0.90 \cdot 1670000,00 = 1503000,00$	KN/m ²

E' ammessa una sovratensione iniziale pari a $0.05 f_{p(1)k}$.

La tensione massima in esercizio nella combinazione caratteristica (rara) deve rispettare la seguente limitazione (4.1.8.1.2 e 4.1.2.2.5.2 D.M.14/01/2008):

S_{sp}	$\leq 0.80 \cdot f_{p(1)k}$	1336000,00	KN/m ²
----------	-----------------------------	------------	-------------------

Nel calcolo a rottura si utilizza il diagramma triangolo-rettangolo con tensione massima pari a:

f_{ptd}	$= f_{p(1)k} / g_s$	$= \frac{1670000,00}{1,15} = 1452173,91$	KN/m ²
-----------	---------------------	--	-------------------

10.4.1.8 Acciaio per armatura lenta

Questo tipo di acciaio costituisce l'armatura destinata ad assorbire gli sforzi di taglio (staffe) ed altri sforzi locali di trazione nel calcestruzzo.

tipo acciaio	B450C
tensione di snervamento f_{yk}	450000,00
coefficiente sicurezza verifiche a rottura	1,15
modulo elastico	210000000,00
coeff. di omogeneizzazione a cls travi	-6

La tensione massima consentita (4.1.2.2.5.2 DM 17/01/2018) nella combinazione rara deve rispettare la seguente limitazione:

S_s	$\leq 0.80 \cdot f_{yk}$	$= 0.80 \cdot 450000,00 = 360000,00$	KN/m ²
-------	--------------------------	--------------------------------------	-------------------

Nel calcolo a rottura si utilizza il diagramma triangolo-rettangolo con tensione massima pari a:

f_{yd}	= f_{yk}/g_s	= $450000,00/1,15 = 391304,35$	KN/m ²
----------	----------------	--------------------------------	-------------------

Cadute di tensione

10.4.1.9 Rilassamento dell'acciaio da precompressione

La valutazione del rilassamento dell'acciaio da precompressione avviene con la formulazione indicata dalla normativa e con i dati forniti dal produttore.

Ad una temperatura costante di 20 [°C] la caduta di tensione $D_{s_{pr}}$ per rilassamento al tempo t è:

classe	tipo	caduta
2	trecce e trefoli stabilizzati	$D_{s_{pr}} = s_{pi} \cdot [0,66 \cdot r_{1000} \cdot e^{9,1m} \cdot (t/1000)^{0,75(1-m)} \cdot 10^{-5}]$

dove:

- s_{pi} è la tensione iniziale nel cavo;

- r_{1000} è la perdita per rilassamento (in percentuale) a 1000 ore dopo la messa in tensione, a 20 [°C] e a partire da una tensione iniziale pari a 0.7 della resistenza f_p del campione provato:

Acciaio	classe	r_{1000}
1	2	2.5

- $m = s_{pi}/f_{pk}$;

- f_{pk} è la resistenza caratteristica a trazione dell'acciaio;

- t è il tempo misurato in ore dalla messa in tensione.

La caduta finale per rilassamento può essere valutata con le formule sopra scritte ed inserendo un tempo di 500000 ore. Si ottiene così:

Armatura	classe	m	$D_{s_{pr}}/s_{pi}$	
Trave 1 - gruppo 1	2	0,762	0,051	5,14%

10.4.1.10 Ritiro del calcestruzzo

L'accorciamento dovuto al ritiro viene assunto pari a :

prefabbricati $e_{cs1} = -0,00050$

getto in opera $e_{cs2} = -0,00035$

e la conseguente caduta di tensione nell'acciaio da precompressione viene calcolata in base al modulo elastico dell'acciaio stesso:

Armatura	$D_{s_{ps}}$		
Trave 1 - gruppo 1	$-0,00050 \cdot 195000000,00 =$	- 97500,0 0	6,96%

10.4.1.11 Viscosità del calcestruzzo

Il valore della deformazione lenta del calcestruzzo (viscosità) si assume, ai fini del calcolo delle cadute di tensione nell'acciaio, secondo quanto indicato dalle norme (11.2.10.7 D.M.14/01/2008), pari a :

$j_{inf,1} = 2,3$ (cavi pretesi nei prefabbricati)

10.4.1.12 Sviluppo nel tempo delle cadute di tensione

Per i cavi pretesi, che agiscono sugli elementi prefabbricati, i valori totali dei fenomeni differiti esposti ai paragrafi precedenti vengono ripartiti nelle diverse fasi tenendo conto delle diverse condizioni ambientali e tensionali.

	% rilassamento	% ritiro	% viscosità
dalla posa in tensione al taglio trefoli	41,40	25,50	0,00
dal taglio trefoli al getto in opera	25,90	25,50	33,00
dal getto in opera a tempo infinito	32,70	49,00	67,00

Sollecitazioni esterne

n.	carico distribuito	intensità [KN/m]	x iniziale	x finale	inserimento
1	sbalzi	-5,40	0,00	20,40	getto soletta
n.	carico concentrato	intensità [KN]	x	inserimento	
1	traverso	-9,70	7,05	getto soletta	
2	traverso	-9,70	13,35	getto soletta	

10.5 Stati limite di esercizio

Stato Limite delle tensioni in esercizio - procedimento di calcolo

Per valutare lo stato tensionale nelle sezioni di verifica distingueremo le seguenti fasi :

PRIMA FASE

- a) al manifestarsi della precompressione
- b) prima del getto in opera
- c) subito dopo il getto in opera

SECONDA FASE

- d) impalcato scarico
- e) impalcato carico

In tutte le fasi la determinazione dello stato tensionale degli elementi da verificare avviene in base alla combinazione caratteristica (rara) :

$$S = G_1 + G_2 + P + Q$$

dove:

G_1 = permanenti strutturali

G_2 = permanenti non strutturali

P = precompressione

Q = azioni variabili

Stato limite di fessurazione travi prefabbricate

Per garantire la durabilità della struttura il calcolo di verifica tensionale agli Stati Limite di esercizio viene condotto con opportune limitazioni che preservano le travi principali da una eccessiva fessurazione.

A questo scopo, facendo riferimento alla normativa (tab. 4.1.IV) ed adottando le limitazioni relative alle armature *sensibili* nel caso di ambiente molto aggressivo, andrebbero verificate le seguenti condizioni:

classi di esposizione	comb. rare	comb. frequenti	comb. quasi perm.
XD2, XD3, XS2, XS3, XA3, XF 4	<nessuna verifica>	formazione fessure	decompressione

Per una maggiore tutela della durabilità dell'opera vengono invece rispettate nelle verifiche le seguenti limitazioni:

classi di esposizione	comb. rare	comb. frequenti	comb. quasi perm.
XD2, XD3, XS2, XS3, XA3, XF 4	formazione fessure	decompressione	<nessuna verifica>
	$\sigma_{traz.} \leq f_{ctm}/1.2$		

10.6 Stati limite ultimi

Stato Limite Ultimo per sollecitazioni flettenti

Il calcolo dei momenti ultimi delle sezioni viene eseguito tenendo conto del diagramma s-e parabola-rettangolo per il calcestruzzo, con deformazione limite pari a -0.0035 in compressione, e deformazione indefinita a trazione con tensione nulla (sezione fessurata).

Per gli acciai si utilizza un diagramma tensioni-deformazioni linearmente elastico fino alla tensione di rottura e lineare orizzontale fino alla deformazione 0.01, sia in trazione che in compressione.

Si rimanda al capitolo dei materiali per i valori dei moduli elastici e delle tensioni di calcolo.

Nel calcolo del momento ultimo si tiene conto del delta di deformazione e_{sp} dell'acciaio da precompressione rispetto agli altri materiali.

Stato Limite Ultimo per sollecitazioni taglianti e torcenti

Per valutare i tagli e momenti torcenti resistenti viene utilizzata la formulazione indicata dalle norme:

$$V_{Rd} = [0.18/g_c \cdot k \cdot (100 \cdot r_1 \cdot f_{ck})^{1/3} + 0.15 \cdot s_{cp}] \cdot b_w \cdot d \quad (\text{taglio ultimo in assenza di armatura trasversale})$$

$$V_{Rcd} = 0.9 \cdot d \cdot b_w \cdot a_c \cdot 0.5 \cdot f_{cd} \cdot (\cot \alpha + \cot \alpha_q) / (1 + \cot^2 \alpha_q) \quad (\text{taglio ultimo per rottura delle bielle compresse})$$

$$V_{Rsd} = 0.9 \cdot d \cdot (A_{sw}/s) \cdot f_{yd} \cdot (\cot \alpha + \cot \alpha_q) \cdot \sin \alpha \quad (\text{taglio ultimo per rottura delle staffe})$$

$$T_{Rcd} = 2 \cdot A_k \cdot 0.5 \cdot f_{cd} \cdot \cot \alpha_q / (1 + \cot^2 \alpha_q) \quad (\text{momento torcente ultimo per rottura delle bielle compresse})$$

$$T_{Rsd} = 2 \cdot A_k \cdot (A_{sw,parete}/s) \cdot f_{yd} \cdot \cot \alpha_q \quad (\text{momento torcente ultimo per rottura delle staffe})$$

Dove:

d: altezza utile della sezione

b_w: larghezza minima della sezione

A_{sw}: area armatura trasversale nella sezione

A_{sw,parete}: area armatura trasversale minima nelle pareti

s: passo staffe

α: inclinazione risp. all'orizzontale delle armature trasversali (90 [deg])

α_q: inclinazione bielle compresse in cls

a_c: coeff. maggiorativo dovuto alla presenza dello sforzo assiale

A_{sl}: area acciaio in zona tesa

$$k = 1 + (200/d)^{1/2}$$

$$s_{cp} = N_{Ed}/A_{cls}$$

$$r_1 = A_{sl}/(b_w \cdot d)$$

A_k: area racchiusa dalla fibra media del profilo periferico della sezione

Nel modello a traliccio a rottura si considerano inclinate a 45 [deg] le bielle compresse di calcestruzzo in sezioni non precomprese, mentre si tiene conto dell'effetto benefico della precompressione valutando una minore inclinazione delle bielle in base alla tensione principale di trazione presente nella sezione a quota baricentrica.

L'inclinazione così determinata viene comunque limitata come indicato nelle norme citate.

Stato Limite Ultimo per scorrimento tra i getti

Viene calcolato lo sforzo di scorrimento di progetto S_{Edi} tra il calcestruzzo delle travi prefabbricate e quello gettato in opera, e viene confrontato con quello ultimo di interfaccia S_{Rdi} , utilizzando le indicazioni della normativa EN1991-1-1-6.2.5

$$S_{Edi} = b \cdot V_{Ed} / z$$

in cui:

- b è il rapporto tra la forza longitudinale nell'ultimo getto di calcestruzzo e la forza longitudinale totale in zona compressa o tesa, entrambe calcolate nella sezione considerata, assunto = 1.0
- V_{Ed} è la forza di taglio trasversale di 2^a fase
- z è il braccio della coppia interna della sezione composta

$$S_{Rdi} = b_i \cdot (c \cdot f_{ctd} + m \cdot S_n) + A_{sw} / s \cdot f_{yd} \cdot m \quad \square \quad 0.5 \cdot b_i \cdot \square \cdot f_{cd}$$

in cui:

Fattore di coesione tra le superfici	c	0,350	[-]
Resistenza a trazione di progetto	f_{ctd}	1446,17	[KN/m ²]
Coefficiente di attrito tra le superfici	\square	0,600	[-]
Compressione normale alle superfici di contatto	\square_n	0,00	[KN/m ²]
Area complessiva staffa di collegamento	A_{sw}	<variabile>	[m ²]
Passo staffe di collegamento	s	<variabile>	[m]
Resistenza calcestruzzo più debole	f_{cd}	18813,33	[KN/m ²]

10.7 Verifica delle sezioni

Verifica sezione X=1,00 - Appoggio

10.7.1.1 Prima fase: sola trave

Sezione di calcestruzzo :

n.	Y	Z	
1	-0,35	0,00	prefabb.:
2	-0,35	0,20	reag.trazione
3	-0,25	0,24	
4	-0,25	0,94	
5	-0,25	1,05	
6	-0,87	1,10	
7	-0,87	1,20	
8	0,87	1,20	
9	0,87	1,10	
10	0,25	1,05	
11	0,25	0,94	
12	0,25	0,24	
13	0,35	0,20	
14	0,35	0,00	fine prefabb.

A	J _r	Z _g
0,796	0,1224	0,68

Armature di precompressione :

n.	Z	area
----	---	------

Viadotto NW01
Relazione di calcolo impalcato

COMMESSA	LOTTO	CODIFICA	DOCUMENTO	REV.	FOGLIO
RS3H	02	D 78	CL NW0108 001	A	100 di 186

n.	Z	area
1	1,14	0,000
2	0,42	0,000
3	0,36	0,000
4	0,30	0,000
5	0,18	0,001
6	0,12	0,001
7	0,06	0,001

Z _{g,p}	A _p
0,28	0,003

Armature lente longitudinali :

n.	Z	area	
1	1,14	0,001	4Ø16
2	0,09	0,005	armatura longit. appoggio 10Ø26

Sezione ideale (n=5,355)	A _{id}	J _{f,id}	Z _{g,id}
	0,845	0,1365	0,65

Cadute di tensione prima del taglio trefoli :

	%	D _{Ssp}	D _{Ssp} /S _{spi}
ritiro cls	25,5%	24862,50	1,8%

	%	$D_{S_{sp}}$	$D_{S_{sp}}/S_{spi}$
rilassamento acciaio	41,4%	29790,61	2,1%

Sollecitazioni	$M_{esterno}$	$N_{precomp.}$	$M_{precomp.}$
t=0 dopo taglio trefoli	154,83	-4114,07	-1614,60
prima del getto in opera	0,00	-3875,90	-1521,13
dopo getto 2a fase	194,85	-3874,74	-1520,67

10.7.1.1.1 Tensioni nei materiali in prima fase

Tensioni sul calcestruzzo	$S_{e,max}$	$S_{i,max}$
t=0 dopo taglio trefoli	566,19	-11253,69
prima del getto in opera	0,00	0,00
dopo getto 2a fase	337,09	-10370,28

Tensioni sugli acciai	S_{sp}	$S_{long,max}$	pos.	$S_{long,min}$	pos.
t=0 dopo taglio trefoli	1300045,9 1	2,31		-143,05	
prima del getto in opera	0,00	0,00		0,00	
dopo getto 2a fase	1225485,2 5	2,75		-1143,41	

Cadute di tensione dal taglio trefoli al getto soletta :

	%	$D_{S_{sp}}$	$D_{S_{sp}}/S_{spi}$
ritiro cls	25,5%	24862,50	1,8%

	%	$D_{S_{sp}}$	$D_{S_{sp}}/S_{spi}$
rilassamento acciaio	25,9%	18637,12	1,3%
viscosità cls	26,8%	34383,44	2,5%

Cadute di tensione durante maturazione soletta :

	%	$D_{S_{sp}}$	$D_{S_{sp}}/S_{spi}$
ritiro cls	0,1%	134,33	0,0%
rilassamento acciaio	0,1%	66,16	0,0%
viscosità cls	0,1%	181,89	0,0%

10.7.1.1.2 Verifica a rottura per flessione dopo getto 2a fase

Presollecitazione armature pretese : $e_{sp,z=0,28}=0,00650$

fless.	Z asse neutro	M_r	e_{sup}	$Z_{e_{sup}}$	e_{inf}	$Z_{e_{inf}}$
(+)	0,97	5909,37	-0,00258	1,20	0,01000	0,06
(-)	0,21	-1201,74	0,01000	1,14	-0,00229	0,00

$$M_{d,max} = 263,05 < 5909,37 \quad K_r=22,465$$

10.7.1.1.3 Verifica a rottura per taglio dopo getto 2a fase

Calcestruzzo:	q [rad]	bw	Staffe:	A_{sw}
	0,381	0,50		0,00616

d	K	A_{sl}	r_1	S_{cp}	a_c

d	K	A_{sl}	r_l	S_{cp}	a_c
1,14	1,419	0,003	0,0048	-4867,88	1,188

V_{Rd}	V_{Rsd}	V_{Red}
688,25	6180,27	2718,57

$$V_{Ed,max} = 439,32 < 2718,57$$

10.7.1.2 Seconda fase: trave + getto in opera

10.7.1.2.1 dopo cambio vincoli

- scassero / cambio vincoli

Sezione di calcestruzzo :

n.	Y	Z	
1	-0,35	0,00	prefabb.:
2	-0,35	0,20	reag.trazione
3	-0,25	0,24	
4	-0,25	0,94	
5	-0,25	1,05	
6	-0,87	1,10	
7	-0,87	1,20	
8	0,87	1,20	
9	0,87	1,10	
10	0,25	1,05	
11	0,25	0,94	
12	0,25	0,24	

Viadotto NW01
Relazione di calcolo impalcato

COMMESSA	LOTTO	CODIFICA	DOCUMENTO	REV.	FOGLIO
RS3H	02	D 78	CL NW0108 001	A	104 di 186

n.	Y	Z	
13	0,35	0,20	
14	0,35	0,00	fine prefabb.
15	-0,35	0,00	
16	-0,88	1,20	getto in opera
17	-0,88	1,50	(m=0,924)
18	0,88	1,50	non reag.trazione
19	0,88	1,20	
20	-0,88	1,20	

A	J _f	Z _g
1,281	0,2629	0,93

Armature di precompressione :

n.	Z	area
1	1,14	0,000
2	0,42	0,000
3	0,36	0,000
4	0,30	0,000
5	0,18	0,001
6	0,12	0,001
7	0,06	0,001

Viadotto NW01
 Relazione di calcolo impalcato

COMMESSA	LOTTO	CODIFICA	DOCUMENTO	REV.	FOGLIO
RS3H	02	D 78	CL NW0108 001	A	105 di 186

$Z_{g,p}$	A_p
0,28	0,003

Armature lente longitudinali :

n.	Z	area	
1	1,14	0,001	4Ø16
2	1,45	0,003	8Ø20
3	1,25	0,003	8Ø20
4	0,09	0,005	armatura longit. appoggio 10Ø26

Sezione ideale (n=5,355)	A_{id}	$J_{f,id}$	$Z_{g,id}$
	1,357	0,2961	0,91

Sollecitazioni e frecce :

	N	M	V	frecce
cambio vincoli	0,00	0,00	0,00	0,0000

Tensioni sul calcestruzzo dopo 28gg dal getto + scassero/cambio vincoli :

	$S_{e,max}$	$S_{i,max}$	
trave prefabbricata	336,75	-10366,87	
getto in opera	0,00	0,00	

Cadute di tensione da maturazione soletta a $t=inf.$:

	%	$D_{S_{sp}}$	$D_{S_{sp}}/S_{spi}$
ritiro cls	48,9%	47640,67	3,4%
rilassamento acciaio	32,6%	23464,10	1,7%
viscosità cls	73,0%	93628,38	6,7%

10.7.1.2.2 Verifiche in esercizio

10.7.1.2.2.1 Verifica tensionale

Sezione di calcestruzzo :

n.	Y	Z	
1	-0,35	0,00	prefabb.:
2	-0,35	0,20	reag.trazione
3	-0,25	0,24	
4	-0,25	0,94	
5	-0,25	1,05	
6	-0,87	1,10	
7	-0,87	1,20	
8	0,87	1,20	
9	0,87	1,10	
10	0,25	1,05	
11	0,25	0,94	
12	0,25	0,24	
13	0,35	0,20	
14	0,35	0,00	fine prefabb.

Viadotto NW01
Relazione di calcolo impalcato

COMMESSA	LOTTO	CODIFICA	DOCUMENTO	REV.	FOGLIO
RS3H	02	D 78	CL NW0108 001	A	107 di 186

n.	Y	Z	
15	-0,35	0,00	
16	-0,88	1,20	getto in opera
17	-0,88	1,50	(m=0,924)
18	0,88	1,50	non reag.trazione
19	0,88	1,20	
20	-0,88	1,20	

A	J _r	Z _g
1,281	0,2629	0,93

Armature di precompressione :

n.	Z	area
1	1,14	0,000
2	0,42	0,000
3	0,36	0,000
4	0,30	0,000
5	0,18	0,001
6	0,12	0,001
7	0,06	0,001

Z _{g,p}	A _p
0,28	0,003

Armature lente longitudinali :

n.	Z	area	
1	1,14	0,001	4Ø16
2	1,45	0,003	8Ø20
3	1,25	0,003	8Ø20
4	0,09	0,005	armatura longit. appoggio 10Ø26

Sezione ideale (n=5,355)	A _{id}	J _{f, id}	Z _{g, id}
	1,357	0,2961	0,91

Tensioni sul cls - TRAVE PREF. TSh120 :

	S _{e, max}	S _{e, min}	S _{i, max}	S _{i, min}
dopo maturazione getto in opera	336,75	336,75	-10366,87	-10366,87
t=inf.-senza carichi	412,77	412,77	-9043,34	-9043,34
t=inf.-SLE Rare	714,12	-313,12	-7771,49	-9649,97
t=inf.-SLE Quasi Permanenti	434,47	* 412,77	-8972,08	-9043,34

Tensioni sul cls - getto in opera :

	S _{e, max}	S _{e, min}	S _{i, max}	S _{i, min}
dopo maturazione getto in opera	0,00	0,00	0,00	0,00
t=inf.-senza carichi	-217,91	-217,91	0,00	0,00
t=inf.-SLE Rare	-179,60	-916,06	0,00	-600,38
t=inf.-SLE Quasi Permanenti	-209,30	-217,91	0,00	0,00

Tensioni sugli acciai	S _{sp}	S _{sl,max}	pos.	S _{sl,min}	pos.
dopo maturazione getto in opera	1225116,3 7	0,00		-55153,24	
t=inf.-senza carichi	1044504,3 7	138,60		-48060,39	
t=inf.-SLE Rare	1013629,7 3	1671,41		-51610,23	
t=inf.-SLE Quasi Permanenti	0,00	251,83		-48060,39	

10.7.1.2.2.2 Verifica a rottura per flessione t=inf.

presollecitazione nelle armature di precompressione :

	Z cavo risult.	De _{sp}
TREFOLI	0,28	0,00554

fless.	Z asse neutro	Mr	e _{sup}	Z _{e^{sup}}	e _{inf}	Z _{e^{inf}}
(+)	1,27	7412,33	-0,00193	1,50	0,01000	0,06
(-)	0,25	-2799,16	0,01000	1,45	-0,00208	0,00

$$M_{d,max} = 648,05 < 7412,33 \quad K_r = 11,438$$

10.7.1.2.2.3 Verifica rottura per taglio t=inf.

Calcestruzzo:	q [rad]	b _w	Staffe:	A _{sw}
	0,667	0,50		0,00616

d	K	A _{sl}	r _l	S _{ep}	a _c

d	K	A _{sl}	r _l	S _{cp}	a _c
1,45	1,371	0,007	0,0096	-1914,53	1,074

V _{Rd}	V _{Rsd}	V _{Red}
628,51	3989,36	4406,66

$$V_{Ed,max} = 1979,32 < 3989,36$$

10.7.1.2.2.4 Forze di scorrimento tra i getti

Con riferimento ad una area di interfaccia tra i getti di 1,740 [m²] (lunghezza unitaria), gli sforzi di scorrimento tra i getti alla sezione X=1,00 risultano:

max valore di progetto scorrimento interfaccia	1180,08	[KN/m]
min valore di progetto scorrimento interfaccia	-75,86	[KN/m]
scorrimento ultimo per coesione ed attrito	±880,72	[KN/m]
staffe di collegamento	0,0062	[m ² /m]
scorrimento ultimo per coesione, attrito, staffe	±2326,39	[KN/m]

Verifica sezione X=3,05 - Fine ringrosso

10.7.1.3 Prima fase: sola trave

Sezione di calcestruzzo :

n.	Y	Z	
1	-0,35	0,00	prefabb.:
2	-0,35	0,20	reag.trazione

Viadotto NW01
Relazione di calcolo impalcato

COMMESSA	LOTTO	CODIFICA	DOCUMENTO	REV.	FOGLIO
RS3H	02	D 78	CL NW0108 001	A	111 di 186

n.	Y	Z	
3	-0,11	0,29	
4	-0,11	0,94	
5	-0,20	1,05	
6	-0,87	1,10	
7	-0,87	1,20	
8	0,87	1,20	
9	0,87	1,10	
10	0,20	1,05	
11	0,11	0,94	
12	0,11	0,29	
13	0,35	0,20	
14	0,35	0,00	fine prefabb.

A	J _r	Z _g
0,586	0,1120	0,69

Armature di precompressione :

n.	Z	area
1	1,14	0,000
2	0,42	0,000
3	0,36	0,000
4	0,30	0,000
5	0,18	0,001

Viadotto NW01
Relazione di calcolo impalcato

COMMESSA	LOTTO	CODIFICA	DOCUMENTO	REV.	FOGLIO
RS3H	02	D 78	CL NW0108 001	A	112 di 186

n.	Z	area
6	0,12	0,001
7	0,06	0,001

Z _{g,p}	A _p
0,27	0,004

Armature lente longitudinali :

n.	Z	area	
1	0,06	0,001	3Ø24
2	1,14	0,001	4Ø16

Sezione ideale (n=5,355)	A _{id}	J _{f,id}	Z _{g,id}
	0,617	0,1204	0,67

Cadute di tensione prima del taglio trefoli :

	%	D _{Ssp}	D _{Ssp} /S _{spi}
ritiro cls	25,5%	24862,50	1,8%
rilassamento acciaio	41,4%	29790,61	2,1%

Sollecitazioni	M _{esterno}	N _{precomp.}	M _{precomp.}
t=0 dopo taglio trefoli	411,19	-4862,08	-2048,54
prima del getto in opera	0,00	-4513,12	-1901,51

Sollecitazioni	$M_{esterno}$	$N_{precomp.}$	$M_{precomp.}$
dopo getto 2a fase	781,84	-4511,49	-1900,82

10.7.1.3.1 Tensioni nei materiali in prima fase

Tensioni sul calcestruzzo	$S_{e,max}$	$S_{i,max}$
t=0 dopo taglio trefoli	-1075,82	-16494,50
prima del getto in opera	0,00	0,00
dopo getto 2a fase	-2751,55	-13085,34

Tensioni sugli acciai	S_{sp}	$S_{long,max}$	pos.	$S_{long,min}$	pos.
t=0 dopo taglio trefoli	1275440,4 1	-10649,66		-90673,01	
prima del getto in opera	0,00	0,00		0,00	
dopo getto 2a fase	1191063,0 2	-18846,96		-72479,59	

Cadute di tensione dal taglio trefoli al getto soletta :

	%	DS_{sp}	DS_{sp}/S_{spi}
ritiro cls	25,5%	24862,50	1,8%
rilassamento acciaio	25,9%	18637,12	1,3%
viscosità cls	36,1%	53059,02	3,8%

Cadute di tensione durante maturazione soletta :

	%	DS_{sp}	DS_{sp}/S_{spi}
--	---	-----------	-------------------

	%	$D_{S_{sp}}$	$D_{S_{sp}}/S_{spi}$
ritiro cls	0,1%	134,33	0,0%
rilassamento acciaio	0,1%	66,16	0,0%
viscosità cls	0,2%	250,12	0,0%

10.7.1.3.2 Verifica a rottura per flessione dopo getto 2a fase

Presollecitazione armature pretese : $e_{sp,z=0,27}=0,00640$

fless.	Z asse neutro	Mr	e_{sup}	Z_{esup}	e_{inf}	Z_{einf}
(+)	0,99	5128,39	-0,00221	1,20	0,01000	0,06
(-)	0,28	-1148,78	0,01000	1,14	-0,00329	0,00

$$M_{d,max} = 1055,48 < 5128,39 \quad K_r=4,859$$

10.7.1.3.3 Verifica a rottura per taglio dopo getto 2a fase

Calcestruzzo:	q [rad]	bw	Staffe:	A_{sw}
	0,381	0,22		0,00308

d	K	A_{sl}	r_l	S_{cp}	a_c
1,14	1,419	0,003	0,0132	-7701,57	1,250

V_{Rd}	V_{Rsd}	V_{Red}
457,07	3090,13	1258,41

$$V_{Ed,max} = 333,32 < 1258,41$$

10.7.1.4 Seconda fase: trave + getto in opera

10.7.1.4.1 dopo cambio vincoli

- scassero / cambio vincoli

Sezione di calcestruzzo :

n.	Y	Z	
1	-0,35	0,00	prefabb.:
2	-0,35	0,20	reag.trazione
3	-0,11	0,29	
4	-0,11	0,94	
5	-0,20	1,05	
6	-0,87	1,10	
7	-0,87	1,20	
8	0,87	1,20	
9	0,87	1,10	
10	0,20	1,05	
11	0,11	0,94	
12	0,11	0,29	
13	0,35	0,20	
14	0,35	0,00	fine prefabb.
15	-0,35	0,00	
16	-0,88	1,20	getto in opera
17	-0,88	1,50	(m=0,924)
18	0,88	1,50	non reag.trazione

Viadotto NW01
Relazione di calcolo impalcato

COMMESSA	LOTTO	CODIFICA	DOCUMENTO	REV.	FOGLIO
RS3H	02	D 78	CL NW0108 001	A	116 di 186

n.	Y	Z	
19	0,88	1,20	
20	-0,88	1,20	

A	J _f	Z _g
1,071	0,2316	0,99

Armature di precompressione :

n.	Z	area
1	1,14	0,000
2	0,42	0,000
3	0,36	0,000
4	0,30	0,000
5	0,18	0,001
6	0,12	0,001
7	0,06	0,001

Z _{g,p}	A _p
0,27	0,004

Armature lente longitudinali :

n.	Z	area	
1	0,06	0,001	3Ø24

Viadotto NW01
 Relazione di calcolo impalcato

COMMESSA	LOTTO	CODIFICA	DOCUMENTO	REV.	FOGLIO
RS3H	02	D 78	CL NW0108 001	A	117 di 186

n.	Z	area	
2	1,14	0,001	4Ø16
3	1,45	0,003	8Ø20
4	1,25	0,003	8Ø20

Sezione ideale (n=5,355)	A _{id}	J _{f, id}	Z _{g, id}
	1,129	0,2531	0,98

Sollecitazioni e frecce :

	N	M	V	freccia
cambio vincoli	0,00	0,00	0,00	0,0000

Tensioni sul calcestruzzo dopo 28gg dal getto + scassero/cambio vincoli :

	S _{e, max}	S _{i, max}	
trave prefabbricata	-2751,80	-13079,05	
getto in opera	0,00	0,00	

Cadute di tensione da maturazione soletta a t=inf. :

	%	D _{Ssp}	D _{Ssp} /S _{spi}
ritiro cls	48,9%	47640,67	3,4%
rilassamento acciaio	32,6%	23464,10	1,7%
viscosità cls	63,7%	93628,38	6,7%

10.7.1.4.2 Verifiche in esercizio

10.7.1.4.2.1 Verifica tensionale

Sezione di calcestruzzo :

n.	Y	Z	
1	-0,35	0,00	prefabb.:
2	-0,35	0,20	reag.trazione
3	-0,11	0,29	
4	-0,11	0,94	
5	-0,20	1,05	
6	-0,87	1,10	
7	-0,87	1,20	
8	0,87	1,20	
9	0,87	1,10	
10	0,20	1,05	
11	0,11	0,94	
12	0,11	0,29	
13	0,35	0,20	
14	0,35	0,00	fine prefabb.
15	-0,35	0,00	
16	-0,88	1,20	getto in opera
17	-0,88	1,50	(m=0,924)
18	0,88	1,50	non reag.trazione
19	0,88	1,20	
20	-0,88	1,20	

Viadotto NW01
Relazione di calcolo impalcato

COMMESSA	LOTTO	CODIFICA	DOCUMENTO	REV.	FOGLIO
RS3H	02	D 78	CL NW0108 001	A	119 di 186

A	J _f	Z _g
1,071	0,2316	0,99

Armature di precompressione :

n.	Z	area
1	1,14	0,000
2	0,42	0,000
3	0,36	0,000
4	0,30	0,000
5	0,18	0,001
6	0,12	0,001
7	0,06	0,001

Z _{g,p}	A _p
0,27	0,004

Armature lente longitudinali :

n.	Z	area	
1	0,06	0,001	3Ø24
2	1,14	0,001	4Ø16
3	1,45	0,003	8Ø20
4	1,25	0,003	8Ø20

Sezione ideale (n=5,355)	A_{id}	$J_{f,id}$	$Z_{g,id}$
	1,129	0,2531	0,98

Tensioni sul cls - TRAVE PREF. TSh120 :

	$S_{e,max}$	$S_{e,min}$	$S_{i,max}$	$S_{i,min}$
dopo maturazione getto in opera	-2751,80	-2751,80	-13079,05	-13079,05
t=inf.-senza carichi	-2568,56	-2568,56	-10949,98	-10949,98
t=inf.-SLE Rare	-3185,20	-3859,65	-2686,37	-11476,18
t=inf.-SLE Quasi Permanenti	-2568,56	-2670,47	-10386,03	-10949,98

Tensioni sul cls - getto in opera :

	$S_{e,max}$	$S_{e,min}$	$S_{i,max}$	$S_{i,min}$
dopo maturazione getto in opera	0,00	0,00	0,00	0,00
t=inf.-senza carichi	-280,13	-280,13	0,00	0,00
t=inf.-SLE Rare	-870,70	-3679,70	-400,40	-1023,50
t=inf.-SLE Quasi Permanenti	-280,13	-528,07	0,00	0,00

Tensioni sugli acciai	S_{sp}	$S_{sl,max}$	pos.	$S_{sl,min}$	pos.
dopo maturazione getto in opera	1190638,28	0,00		-72445,20	
t=inf.-senza carichi	1001917,03	589,12		-60728,54	
t=inf.-SLE Rare	986130,57	-2988,57		-63789,06	
t=inf.-SLE Quasi Permanenti	0,00	589,12		-60728,54	

10.7.1.4.2.2 Verifica a rottura per flessione $t=inf$.

presollecitazione nelle armature di precompressione :

	Z cavo risult.	De _{sp}
TREFOLI	0,27	0,00539

fless.	Z asse neutro	Mr	e _{sup}	Z _{e^{sup}}	e _{inf}	Z _{e^{inf}}
(+)	1,28	6533,33	-0,00180	1,50	0,01000	0,06
(-)	0,32	-2796,07	0,01000	1,45	-0,00287	0,00

$$M_{d,max} = 3817,28 < 6533,33 \quad K_r=1,712$$

10.7.1.4.2.3 Verifica rottura per taglio $t=inf$.

Calcestruzzo:	q [rad]	b _w	Staffe:	A _{sw}
	0,676	0,22		0,00308

d	K	A _{sl}	r ₁	s _{ep}	a _c
1,45	1,371	0,008	0,0200	-2952,46	1,114

V _{Rd}	V _{Rsd}	V _{Rcd}
377,66	1959,19	2019,51

$$V_{Ed,max} = 1468,32 < 1959,19$$

10.7.1.4.2.4 Forze di scorrimento tra i getti

Con riferimento ad una area di interfaccia tra i getti di 0,766 [m²] (lunghezza unitaria), gli sforzi di scorrimento tra i getti alla sezione X=3,05 risultano:

max valore di progetto scorrimento interfaccia	869,73	[KN/m]
min valore di progetto scorrimento interfaccia	-144,06	[KN/m]
scorrimento ultimo per coesione ed attrito	±880,72	[KN/m]
staffe di collegamento	0,0031	[m ² /m]
scorrimento ultimo per coesione, attrito, staffe	±1603,56	[KN/m]

Verifica sezione X=8,05 - Fine staffe passo 10cm

10.7.1.5 Prima fase: sola trave

Sezione di calcestruzzo :

n.	Y	Z	
1	-0,35	0,00	prefabb.:
2	-0,35	0,20	reag.trazione
3	-0,11	0,29	
4	-0,11	0,94	
5	-0,20	1,05	
6	-0,87	1,10	
7	-0,87	1,20	
8	0,87	1,20	
9	0,87	1,10	
10	0,20	1,05	

Viadotto NW01
Relazione di calcolo impalcato

COMMESSA	LOTTO	CODIFICA	DOCUMENTO	REV.	FOGLIO
RS3H	02	D 78	CL NW0108 001	A	123 di 186

n.	Y	Z	
11	0,11	0,94	
12	0,11	0,29	
13	0,35	0,20	
14	0,35	0,00	fine prefabb.

A	J _f	Z _g
0,586	0,1120	0,69

Armature di precompressione :

n.	Z	area
1	1,14	0,000
2	0,42	0,000
3	0,36	0,000
4	0,30	0,000
5	0,18	0,001
6	0,12	0,001
7	0,06	0,001

Z _{g,p}	A _p
0,23	0,005

Armature lente longitudinali :

Viadotto NW01
Relazione di calcolo impalcato

COMMESSA	LOTTO	CODIFICA	DOCUMENTO	REV.	FOGLIO
RS3H	02	D 78	CL NW0108 001	A	124 di 186

n.	Z	area	
1	0,06	0,001	3Ø24
2	0,12	0,001	3Ø20
3	1,14	0,001	4Ø16

Sezione ideale (n=5,355)	A _{id}	J _{f, id}	Z _{g, id}
	0,628	0,1239	0,66

Cadute di tensione prima del taglio trefoli :

	%	D _{S_{sp}}	D _{S_{sp}} /S _{spi}
ritiro cls	25,5%	24862,50	1,8%
rilassamento acciaio	41,4%	29790,61	2,1%

Sollecitazioni	M _{esterno}	N _{precomp.}	M _{precomp.}
t=0 dopo taglio trefoli	751,64	-6358,11	-2944,69
prima del getto in opera	0,00	-5822,98	-2696,85
dopo getto 2a fase	1591,59	-5820,66	-2695,77

10.7.1.5.1 Tensioni nei materiali in prima fase

Tensioni sul calcestruzzo	S _{e, max}	S _{i, max}	
t=0 dopo taglio trefoli	-1368,46	-20818,20	
prima del getto in opera	0,00	0,00	
dopo getto 2a fase	-5169,84	-14263,33	

Tensioni sugli acciai	S _{sp}	S _{long,max}	pos.	S _{long,min}	pos.
t=0 dopo taglio trefoli	1253474,38	-13499,52		-114444,19	
prima del getto in opera	0,00	0,00		0,00	
dopo getto 2a fase	1164904,78	-32434,85		-79630,32	

Cadute di tensione dal taglio trefoli al getto soletta :

	%	D _{S_{sp}}	D _{S_{sp}/S_{spi}}
ritiro cls	25,5%	24862,50	1,8%
rilassamento acciaio	25,9%	18637,12	1,3%
viscosità cls	42,6%	69731,23	5,0%

Cadute di tensione durante maturazione soletta :

	%	D _{S_{sp}}	D _{S_{sp}/S_{spi}}
ritiro cls	0,1%	134,33	0,0%
rilassamento acciaio	0,1%	66,16	0,0%
viscosità cls	0,2%	291,23	0,0%

10.7.1.5.2 Verifica a rottura per flessione dopo getto 2a fase

Presollecitazione armature pretese : $e_{sp,z=0,23}=0,00632$

fless.	Z asse neutro	Mr	e _{sup}	Z _{esup}	e _{inf}	Z _{einf}
(+)	0,77	6934,05	-0,00350	1,20	0,00583	0,06
(-)	0,32	-1069,75	0,00895	1,14	-0,00350	0,00

$$M_{d,max} = 2148,64 < 6934,05 \quad K_r=3,227$$

10.7.1.5.3 Verifica a rottura per taglio dopo getto 2a fase

Calcestruzzo:	q [rad]	b _w	Staffe:	A _{sw}
	0,381	0,22		0,00205

d	K	A _{sl}	r _l	S _{ep}	a _c
1,14	1,419	0,003	0,0132	-9936,83	1,250

V _{Rd}	V _{Rsd}	V _{Rcd}
541,16	2060,09	1258,41

$$V_{Ed,max} = 96,29 < 1258,41$$

10.7.1.6 Seconda fase: trave + getto in opera

10.7.1.6.1 dopo cambio vincoli

- scassero / cambio vincoli

Sezione di calcestruzzo :

n.	Y	Z	
1	-0,35	0,00	prefabb.:
2	-0,35	0,20	reag.trazione
3	-0,11	0,29	
4	-0,11	0,94	

Viadotto NW01
Relazione di calcolo impalcato

COMMESSA	LOTTO	CODIFICA	DOCUMENTO	REV.	FOGLIO
RS3H	02	D 78	CL NW0108 001	A	127 di 186

n.	Y	Z	
5	-0,20	1,05	
6	-0,87	1,10	
7	-0,87	1,20	
8	0,87	1,20	
9	0,87	1,10	
10	0,20	1,05	
11	0,11	0,94	
12	0,11	0,29	
13	0,35	0,20	
14	0,35	0,00	fine prefabb.
15	-0,35	0,00	
16	-0,88	1,20	getto in opera
17	-0,88	1,50	(m=0,924)
18	0,88	1,50	non reag.trazione
19	0,88	1,20	
20	-0,88	1,20	

A	J _f	Z _g
1,071	0,2316	0,99

Armature di precompressione :

n.	Z	area
1	1,14	0,000

Viadotto NW01
Relazione di calcolo impalcato

COMMESSA	LOTTO	CODIFICA	DOCUMENTO	REV.	FOGLIO
RS3H	02	D 78	CL NW0108 001	A	128 di 186

n.	Z	area
2	0,42	0,000
3	0,36	0,000
4	0,30	0,000
5	0,18	0,001
6	0,12	0,001
7	0,06	0,001

Z _{g,p}	A _p
0,23	0,005

Armature lente longitudinali :

n.	Z	area	
1	0,06	0,001	3Ø24
2	0,12	0,001	3Ø20
3	1,14	0,001	4Ø16
4	1,45	0,003	8Ø20
5	1,25	0,003	8Ø20

Sezione ideale (n=5,355)	A _{id}	J _{f,id}	Z _{g,id}
	1,140	0,2615	0,97

Viadotto NW01
Relazione di calcolo impalcato

COMMESSA	LOTTO	CODIFICA	DOCUMENTO	REV.	FOGLIO
RS3H	02	D 78	CL NW0108 001	A	129 di 186

Sollecitazioni e frecce :

	N	M	V	freccia
cambio vincoli	0,00	0,00	0,00	0,0000

Tensioni sul calcestruzzo dopo 28gg dal getto + scassero/cambio vincoli :

	$S_{e,max}$	$S_{i,max}$	
trave prefabbricata	-5168,77	-14256,37	
getto in opera	0,00	0,00	

Cadute di tensione da maturazione soletta a t=inf. :

	%	$D_{S_{sp}}$	$D_{S_{sp}}/S_{spi}$
ritiro cls	48,9%	47640,67	3,4%
rilassamento acciaio	32,6%	23464,10	1,7%
viscosità cls	57,2%	93628,38	6,7%

10.7.1.6.2 Verifiche in esercizio

10.7.1.6.2.1 Verifica tensionale

Sezione di calcestruzzo :

n.	Y	Z	
1	-0,35	0,00	prefabb.:
2	-0,35	0,20	reag.trazione
3	-0,11	0,29	
4	-0,11	0,94	
5	-0,20	1,05	
6	-0,87	1,10	

n.	Y	Z	
7	-0,87	1,20	
8	0,87	1,20	
9	0,87	1,10	
10	0,20	1,05	
11	0,11	0,94	
12	0,11	0,29	
13	0,35	0,20	
14	0,35	0,00	fine prefabb.
15	-0,35	0,00	
16	-0,88	1,20	getto in opera
17	-0,88	1,50	(m=0,924)
18	0,88	1,50	non reag.trazione
19	0,88	1,20	
20	-0,88	1,20	

A	J _r	Z _g
1,071	0,2316	0,99

Armature di precompressione :

n.	Z	area
1	1,14	0,000
2	0,42	0,000
3	0,36	0,000

Viadotto NW01
Relazione di calcolo impalcato

COMMESSA	LOTTO	CODIFICA	DOCUMENTO	REV.	FOGLIO
RS3H	02	D 78	CL NW0108 001	A	131 di 186

n.	Z	area
4	0,30	0,000
5	0,18	0,001
6	0,12	0,001
7	0,06	0,001

Z _{g,p}	A _p
0,23	0,005

Armature lente longitudinali :

n.	Z	area	
1	0,06	0,001	3Ø24
2	0,12	0,001	3Ø20
3	1,14	0,001	4Ø16
4	1,45	0,003	8Ø20
5	1,25	0,003	8Ø20

Sezione ideale (n=5,355)	A _{id}	J _{f,id}	Z _{g,id}
	1,140	0,2615	0,97

Tensioni sul cls - TRAVE PREF. TSh120 :

	S _{e,max}	S _{e,min}	S _{i,max}	S _{i,min}
dopo maturazione getto in opera	-5168,77	-5168,77	-14256,37	-14256,37

	$S_{e,max}$	$S_{e,min}$	$S_{i,max}$	$S_{i,min}$
t=inf.-senza carichi	-4968,72	-4968,72	-11469,82	-11469,82
t=inf.-SLE Rare	-5307,53	-7624,54	1338,03	-11739,53
t=inf.-SLE Quasi Permanenti	-4968,72	-5301,61	-9992,44	-11469,82

Tensioni sul cls - getto in opera :

	$S_{e,max}$	$S_{e,min}$	$S_{i,max}$	$S_{i,min}$
dopo maturazione getto in opera	0,00	0,00	0,00	0,00
t=inf.-senza carichi	-412,57	-412,57	0,00	0,00
t=inf.-SLE Rare	-741,54	-6437,69	-128,19	-2268,77
t=inf.-SLE Quasi Permanenti	-412,57	-1138,22	0,00	-122,73

Tensioni sugli acciai	S_{sp}	$S_{sl,max}$	pos.	$S_{sl,min}$	pos.
dopo maturazione getto in opera	1164441,80	0,00		-79591,89	
t=inf.-senza carichi	972560,36	532,16		-64268,46	
t=inf.-SLE Rare	970691,33	5131,81		-65843,75	
t=inf.-SLE Quasi Permanenti	0,00	532,16		-64268,46	

10.7.1.6.2.2 Verifica a rottura per flessione t=inf.

presollecitazione nelle armature di precompressione :

	Z cavo risult.	$D_{e,sp}$
TREFOLI	0,23	0,00527

fless.	Z asse neutro	Mr	e _{sup}	Z _{esup}	e _{inf}	Z _{einf}
(+)	1,23	9076,07	-0,00229	1,50	0,01000	0,06
(-)	0,35	-2956,61	0,01000	1,45	-0,00316	0,00

$$M_{d,max} = 6791,42 < 9076,07 \quad K_r=1,336$$

10.7.1.6.2.3 Verifica rottura per taglio $t=inf$.

Calcestruzzo:	q [rad]	b _w	Staffe:	A _{sw}
	0,581	0,22		0,00205

d	K	A _{sl}	r ₁	s _{cp}	a _c
1,45	1,371	0,010	0,0200	-4243,72	1,164

V _{Rd}	V _{Rsd}	V _{Rcd}
439,45	1596,07	1983,31

$$V_{Ed,max} = 1108,07 < 1596,07$$

10.7.1.6.2.4 Forze di scorrimento tra i getti

Con riferimento ad una area di interfaccia tra i getti di 0,766 [m²] (lunghezza unitaria), gli sforzi di scorrimento tra i getti alla sezione X=8,05 risultano:

max valore di progetto scorrimento interfaccia	775,31	[KN/m]
min valore di progetto scorrimento interfaccia	-285,06	[KN/m]
scorrimento ultimo per coesione ed attrito	±880,72	[KN/m]

staffe di collegamento	0,0021	[m ² /m]
scorrimento ultimo per coesione, attrito, staffe	±1362,62	[KN/m]

Verifica sezione X=10,20 - Mezzeria

10.7.1.7 Prima fase: sola trave

Sezione di calcestruzzo :

n.	Y	Z	
1	-0,35	0,00	prefabb.:
2	-0,35	0,20	reag.trazione
3	-0,11	0,29	
4	-0,11	0,94	
5	-0,20	1,05	
6	-0,87	1,10	
7	-0,87	1,20	
8	0,87	1,20	
9	0,87	1,10	
10	0,20	1,05	
11	0,11	0,94	
12	0,11	0,29	
13	0,35	0,20	
14	0,35	0,00	fine prefabb.

Viadotto NW01
Relazione di calcolo impalcato

COMMESSA	LOTTO	CODIFICA	DOCUMENTO	REV.	FOGLIO
RS3H	02	D 78	CL NW0108 001	A	135 di 186

A	J _f	Z _g
0,586	0,1120	0,69

Armature di precompressione :

n.	Z	area
1	1,14	0,000
2	0,42	0,000
3	0,36	0,000
4	0,30	0,000
5	0,18	0,001
6	0,12	0,001
7	0,06	0,001

Z _{g,p}	A _p
0,23	0,005

Armature lente longitudinali :

n.	Z	area	
1	0,06	0,001	3Ø24
2	0,12	0,001	3Ø20
3	1,14	0,001	4Ø16

Sezione ideale (n=5,355)	A_{id}	$J_{f,id}$	$Z_{g,id}$
	0,628	0,1239	0,66

Cadute di tensione prima del taglio trefoli :

	%	$D_{S_{sp}}$	$D_{S_{sp}}/S_{spi}$
ritiro cls	25,5%	24862,50	1,8%
rilassamento acciaio	41,4%	29790,61	2,1%

Sollecitazioni	$M_{esterno}$	$N_{precomp.}$	$M_{precomp.}$
t=0 dopo taglio trefoli	785,74	-6358,11	-2944,69
prima del getto in opera	0,00	-5825,27	-2697,91
dopo getto 2a fase	1668,81	-5822,98	-2696,85

10.7.1.7.1 Tensioni nei materiali in prima fase

Tensioni sul calcestruzzo	$S_{e,max}$	$S_{i,max}$
t=0 dopo taglio trefoli	-1516,32	-20636,88
prima del getto in opera	0,00	0,00
dopo getto 2a fase	-5504,00	-13861,67

Tensioni sugli acciai	S_{sp}	$S_{long,max}$	pos.	$S_{long,min}$	pos.
t=0 dopo taglio trefoli	1254113,5 2	-14257,31		- 113493,48	
prima del getto in opera	0,00	0,00		0,00	
dopo getto 2a fase	1166799,0	-34149,71		-77526,24	

Tensioni sugli acciai	S _{sp}	S _{long,max}	pos.	S _{long,min}	pos.
	1				

Cadute di tensione dal taglio trefoli al getto soletta :

	%	D _{S_{sp}}	D _{S_{sp}} /S _{spi}
ritiro cls	25,5%	24862,50	1,8%
rilassamento acciaio	25,9%	18637,12	1,3%
viscosità cls	42,4%	69246,13	4,9%

Cadute di tensione durante maturazione soletta :

	%	D _{S_{sp}}	D _{S_{sp}} /S _{spi}
ritiro cls	0,1%	134,33	0,0%
rilassamento acciaio	0,1%	66,16	0,0%
viscosità cls	0,2%	285,12	0,0%

10.7.1.7.2 Verifica a rottura per flessione dopo getto 2a fase

Presollecitazione armature pretese : $e_{sp,z=0,23}=0,00632$

fless.	Z asse neutro	Mr	e _{sup}	Z _{e_{sup}}	e _{inf}	Z _{e_{inf}}
(+)	0,77	6934,05	-0,00350	1,20	0,00583	0,06
(-)	0,32	-1069,75	0,00895	1,14	-0,00350	0,00

$$M_{d,max} = 2252,89 < 6934,05 \quad K_r=3,078$$

10.7.1.7.3 Verifica a rottura per taglio dopo getto 2a fase

Calcestruzzo:	q [rad]	b _w	Staffe:	A _{sw}
	0,381	0,22		0,00205

d	K	A _{sl}	r ₁	S _{cp}	a _c
1,14	1,419	0,003	0,0132	-9940,74	1,250

V _{Rd}	V _{Rsd}	V _{Rcd}
541,31	2060,09	1258,41

$$V_{Ed,max} = 0,00 < 1258,41$$

10.7.1.8 Seconda fase: trave + getto in opera

10.7.1.8.1 dopo cambio vincoli

- scassero / cambio vincoli

Sezione di calcestruzzo :

n.	Y	Z	
1	-0,35	0,00	prefabb.:
2	-0,35	0,20	reag.trazione
3	-0,11	0,29	
4	-0,11	0,94	
5	-0,20	1,05	
6	-0,87	1,10	
7	-0,87	1,20	

Viadotto NW01
Relazione di calcolo impalcato

COMMESSA	LOTTO	CODIFICA	DOCUMENTO	REV.	FOGLIO
RS3H	02	D 78	CL NW0108 001	A	139 di 186

n.	Y	Z	
8	0,87	1,20	
9	0,87	1,10	
10	0,20	1,05	
11	0,11	0,94	
12	0,11	0,29	
13	0,35	0,20	
14	0,35	0,00	fine prefabb.
15	-0,35	0,00	
16	-0,88	1,20	getto in opera
17	-0,88	1,50	(m=0,924)
18	0,88	1,50	non reag.trazione
19	0,88	1,20	
20	-0,88	1,20	

A	J _f	Z _g
1,071	0,2316	0,99

Armature di precompressione :

n.	Z	area
1	1,14	0,000
2	0,42	0,000
3	0,36	0,000
4	0,30	0,000

Viadotto NW01
Relazione di calcolo impalcato

COMMESSA	LOTTO	CODIFICA	DOCUMENTO	REV.	FOGLIO
RS3H	02	D 78	CL NW0108 001	A	140 di 186

n.	Z	area
5	0,18	0,001
6	0,12	0,001
7	0,06	0,001

Z _{g,p}	A _p
0,23	0,005

Armature lente longitudinali :

n.	Z	area	
1	0,06	0,001	3Ø24
2	0,12	0,001	3Ø20
3	1,14	0,001	4Ø16
4	1,45	0,003	8Ø20
5	1,25	0,003	8Ø20

Sezione ideale (n=5,355)	A _{id}	J _{f,id}	Z _{g,id}
	1,140	0,2615	0,97

Sollecitazioni e frecce :

	N	M	V	frecce
cambio vincoli	0,00	0,00	0,00	0,0000

Viadotto NW01
Relazione di calcolo impalcato

COMMESSA	LOTTO	CODIFICA	DOCUMENTO	REV.	FOGLIO
RS3H	02	D 78	CL NW0108 001	A	141 di 186

Tensioni sul calcestruzzo dopo 28gg dal getto + scassero/cambio vincoli :

	$S_{e,max}$	$S_{i,max}$	
trave prefabbricata	-5504,68	-13852,71	
getto in opera	0,00	0,00	

Cadute di tensione da maturazione soletta a $t=inf.$:

	%	$D_{S_{sp}}$	$D_{S_{sp}}/S_{spi}$
ritiro cls	48,9%	47640,67	3,4%
rilassamento acciaio	32,6%	23464,10	1,7%
viscosità cls	57,4%	93628,38	6,7%

10.7.1.8.2 Verifiche in esercizio

10.7.1.8.2.1 Verifica tensionale

Sezione di calcestruzzo :

n.	Y	Z	
1	-0,35	0,00	prefabb.:
2	-0,35	0,20	reag.trazione
3	-0,11	0,29	
4	-0,11	0,94	
5	-0,20	1,05	
6	-0,87	1,10	
7	-0,87	1,20	
8	0,87	1,20	
9	0,87	1,10	
10	0,20	1,05	

Viadotto NW01
Relazione di calcolo impalcato

COMMESSA	LOTTO	CODIFICA	DOCUMENTO	REV.	FOGLIO
RS3H	02	D 78	CL NW0108 001	A	142 di 186

n.	Y	Z	
11	0,11	0,94	
12	0,11	0,29	
13	0,35	0,20	
14	0,35	0,00	fine prefabb.
15	-0,35	0,00	
16	-0,88	1,20	getto in opera
17	-0,88	1,50	(m=0,924)
18	0,88	1,50	non reag.trazione
19	0,88	1,20	
20	-0,88	1,20	

A	J _r	Z _g
1,071	0,2316	0,99

Armature di precompressione :

n.	Z	area
1	1,14	0,000
2	0,42	0,000
3	0,36	0,000
4	0,30	0,000
5	0,18	0,001
6	0,12	0,001
7	0,06	0,001

Viadotto NW01
Relazione di calcolo impalcato

COMMESSA	LOTTO	CODIFICA	DOCUMENTO	REV.	FOGLIO
RS3H	02	D 78	CL NW0108 001	A	143 di 186

$Z_{g,p}$	A_p
0,23	0,005

Armature lente longitudinali :

n.	Z	area	
1	0,06	0,001	3Ø24
2	0,12	0,001	3Ø20
3	1,14	0,001	4Ø16
4	1,45	0,003	8Ø20
5	1,25	0,003	8Ø20

Sezione ideale (n=5,355)	A_{id}	$J_{f,id}$	$Z_{g,id}$
	1,140	0,2615	0,97

Tensioni sul cls - TRAVE PREF. TSh120 :

	$S_{e,max}$	$S_{e,min}$	$S_{i,max}$	$S_{i,min}$
dopo maturazione getto in opera	-5504,68	-5504,68	-13852,71	-13852,71
t=inf.-senza carichi	-5304,63	-5304,63	-11066,16	-11066,16
t=inf.-SLE Rare	-5606,49	-8252,46	2790,58	-11304,65
t=inf.-SLE Quasi Permanenti	-5304,63	-5637,75	-9592,42	-11066,16

Tensioni sul cls - getto in opera :

	$S_{e,max}$	$S_{e,min}$	$S_{i,max}$	$S_{i,min}$

	$S_{e,max}$	$S_{e,min}$	$S_{i,max}$	$S_{i,min}$
dopo maturazione getto in opera	0,00	0,00	0,00	0,00
t=inf.-senza carichi	-412,57	-412,57	0,00	0,00
t=inf.-SLE Rare	-706,07	-7017,16	-94,05	-2538,54
t=inf.-SLE Quasi Permanenti	-412,57	-1137,63	0,00	-122,93

Tensioni sugli acciai	S_{sp}	$S_{sl,max}$	pos.	$S_{sl,min}$	pos.
dopo maturazione getto in opera	1166351,6 4	0,00		-77477,37	
t=inf.-senza carichi	975661,52	532,16		-62153,93	
t=inf.-SLE Rare	979473,56	12908,35		-63547,50	
t=inf.-SLE Quasi Permanenti	0,00	532,16		-62153,93	

10.7.1.8.2.2 Verifica a rottura per flessione t=inf.

presollecitazione nelle armature di precompressione :

	Z cavo risult.	$D_{e,sp}$
TREFOLI	0,23	0,00528

fless.	Z asse neutro	Mr	e_{sup}	$Z_{e,sup}$	e_{inf}	$Z_{e,inf}$
(+)	1,23	9092,46	-0,00230	1,50	0,01000	0,06
(-)	0,35	-3000,96	0,01000	1,45	-0,00320	0,00

$$M_{d,max} = 7289,89 < 9092,46 \quad K_r=1,247$$

10.7.1.8.2.3 Verifica rottura per taglio $t=inf$.

Calcestruzzo:	q [rad]	bw	Staffe:	Asw
	0,493	0,22		0,00205

d	K	A _{sl}	r ₁	S _{cp}	a _c
1,45	1,371	0,010	0,0200	-4298,18	1,166

V _{Rd}	V _{Rsd}	V _{Rcd}
442,05	1949,55	1806,09

$$V_{Ed,max} = 735,00 < 1806,09$$

10.7.1.8.2.4 Forze di scorrimento tra i getti

Con riferimento ad una area di interfaccia tra i getti di 0,766 [m²] (lunghezza unitaria), gli sforzi di scorrimento tra i getti alla sezione X=10,20 risultano:

max valore di progetto scorrimento interfaccia	563,22	[KN/m]
min valore di progetto scorrimento interfaccia	-468,20	[KN/m]
scorrimento ultimo per coesione ed attrito	±880,72	[KN/m]
staffe di collegamento	0,0021	[m ² /m]
scorrimento ultimo per coesione, attrito, staffe	±1362,62	[KN/m]

11 VERIFICA DEL TRAVERSO DI CAMPATA

Le sollecitazioni agenti sono ottenute dal modello di calcolo:

SLU

Mx fase 1	Mx fase 2	Mx finale	Vy fase 1	Vy fase 2	Vy finale
daNm	daNm	daNm	daN	daN	daN
0.00	784.00	784.00	90.80	530.70	621.50
-203.11	-644.86	-847.97			

SLE – Rare

Mx fase 1	Mx fase 2	Mx finale
daNm	daNm	daNm
0.00	596.10	596.10
-134.12	-462.32	-597.05

SLE – Frequenti

Mx fase 1	Mx fase 2	Mx finale
daNm	daNm	daNm
0.00	420.93	420.93
-134.12	-372.90	-507.02

SLE – Quasi permanenti

Mx fase 1	Mx fase 2	Mx finale
daNm	daNm	daNm
0.00	0.00	0.00
-134.12	-131.52	-265.64

Si verifica la sezione composta a T trasverso+soletta collaborante.

La parte di soletta collaborante è pari a $b = b_0 + b_1 + b_2$, $b_1 = b_2 = (0.25 (L_1 + L_2)) / 8 = 35 \text{ cm} \Rightarrow b = 30 + 2 * 35 = 100 \text{ cm}$

Si dispongono 6 Ø 26 per asola mentre in soletta sono presenti 1+1 Ø 20/20.

DATI GENERALI SEZIONE GENERICA NON DISSIPATIVA IN C.A.

NOME SEZIONE: TRAVERSO

Descrizione Sezione:	
Metodo di calcolo resistenza:	Resistenze in campo sostanzialmente elastico
Tipologia sezione:	Sezione generica di Trave
Normativa di riferimento:	N.T.C.
Percorso sollecitazione:	A Sforzo Norm. costante
Condizioni Ambientali:	Moderat. aggressive
Riferimento Sforzi assegnati:	Assi x,y principali d'inerzia
Riferimento alla sismicità:	Zona non sismica

CARATTERISTICHE DI RESISTENZA DEI MATERIALI IMPIEGATI

CALCESTRUZZO - Classe:

C45/55

Resis. compr. di progetto fcd:	30.000	MPa
Resis. compr. ridotta fcd':	15.000	MPa
Def.unit. max resistenza ec2:	0.0020	
Def.unit. ultima ecu:	0.0035	
Diagramma tensione-deformaz.:	Parabola-Rettangolo	
Modulo Elastico Normale Ec:	36238.0	MPa
Resis. media a trazione fctm:	3.800	MPa
Coeff. Omogen. S.L.E.:	15.00	
Coeff. Omogen. S.L.E.:	15.00	
Sc limite S.L.E. comb. Frequenti:	270.00	daN/cm ²
Ap.Fessure limite S.L.E. comb. Frequenti:	0.300	mm
Sc limite S.L.E. comb. Q.Permanenti:	0.00	Mpa
Ap.Fess.limite S.L.E. comb. Q.Perm.:	0.200	mm

ACCIAIO -

Tipo:	B450C	
Resist. caratt. snervam. fyk:	450.00	MPa
Resist. caratt. rottura ftk:	450.00	MPa
Resist. snerv. di progetto fyd:	391.30	MPa
Resist. ultima di progetto ftd:	391.30	MPa
Deform. ultima di progetto Epu:	0.068	
Modulo Elastico Ef	2000000	daN/cm ²
Diagramma tensione-deformaz.:	Bilineare finito	
Coeff. Aderenza istantaneo $\beta_1 \cdot \beta_2$:	1.00	
Coeff. Aderenza differito $\beta_1 \cdot \beta_2$:	0.50	
Sf limite S.L.E. Comb. Rare:	360.00	MPa

CARATTERISTICHE DOMINIO CONGLOMERATO

Forma del Dominio: Poligonale
Classe Conglomerato: C45/55

N°vertice:	X [cm]	Y [cm]
1	-15.0	0.0
2	-15.0	100.0
3	-50.0	100.0
4	-50.0	130.0
5	50.0	130.0
6	50.0	100.0
7	15.0	100.0
8	15.0	0.0

DATI BARRE ISOLATE

N°Barra	X [cm]	Y [cm]	DiamØ[mm]
1	-3.5	12.0	26
2	-3.5	17.2	26
3	-44.0	106.0	20
4	-44.0	124.0	20
5	44.0	124.0	20
6	44.0	106.0	20
7	3.5	17.2	26
8	3.5	12.0	26
9	0.0	17.2	26
10	0.0	12.0	26

DATI GENERAZIONI LINEARI DI BARRE

N°Gen.	Numero assegnato alla singola generazione lineare di barre
N°Barra Ini.	Numero della barra iniziale cui si riferisce la generazione
N°Barra Fin.	Numero della barra finale cui si riferisce la generazione
N°Barre	Numero di barre generate equidistanti cui si riferisce la generazione
Ø	Diametro in mm delle barre della generazione

N°Gen.	N°Barra Ini.	N°Barra Fin.	N°Barre	Ø
1	5	4	3	20
2	3	6	3	20

ARMATURE A TAGLIO

Diametro staffe:	14 mm
Passo staffe:	15.0 cm
Staffe:	Una sola staffa chiusa perimetrale

CALCOLO DI RESISTENZA - SFORZI PER OGNI COMBINAZIONE ASSEGNATA

N	Sforzo normale [kN] applicato nel Baric. (+ se di compressione)
Mx	Momento flettente [kNm] intorno all'asse x princ. d'inerzia con verso positivo se tale da comprimere il lembo sup. della sez.
My	Momento flettente [kNm] intorno all'asse y princ. d'inerzia con verso positivo se tale da comprimere il lembo destro della sez.
Vy	Componente del Taglio [kN] parallela all'asse princ.d'inerzia y
Vx	Componente del Taglio [kN] parallela all'asse princ.d'inerzia x

N°Comb.	N	Mx	My	Vy	Vx
1	0.00	784.00	0.00	0.00	0.00
2	0.00	-847.97	0.00	0.00	0.00
3	0.00	0.10	0.00	621.50	0.00

COMB. RARE (S.L.E.) - SFORZI PER OGNI COMBINAZIONE ASSEGNATA

N	Sforzo normale [kN] applicato nel Baricentro (+ se di compressione)
Mx	Momento flettente [kNm] intorno all'asse x princ. d'inerzia (tra parentesi Mom.Fessurazione) con verso positivo se tale da comprimere il lembo superiore della sezione
My	Momento flettente [kNm] intorno all'asse y princ. d'inerzia (tra parentesi Mom.Fessurazione) con verso positivo se tale da comprimere il lembo destro della sezione

N°Comb.	N	Mx	My
1	0.00	596.10	0.00
2	0.00	-597.05	0.00

COMB. FREQUENTI (S.L.E.) - SFORZI PER OGNI COMBINAZIONE ASSEGNATA

N	Sforzo normale [kN] applicato nel Baricentro (+ se di compressione)
Mx	Momento flettente [kNm] intorno all'asse x princ. d'inerzia (tra parentesi Mom.Fessurazione) con verso positivo se tale da comprimere il lembo superiore della sezione
My	Momento flettente [kNm] intorno all'asse y princ. d'inerzia (tra parentesi Mom.Fessurazione) con verso positivo se tale da comprimere il lembo destro della sezione

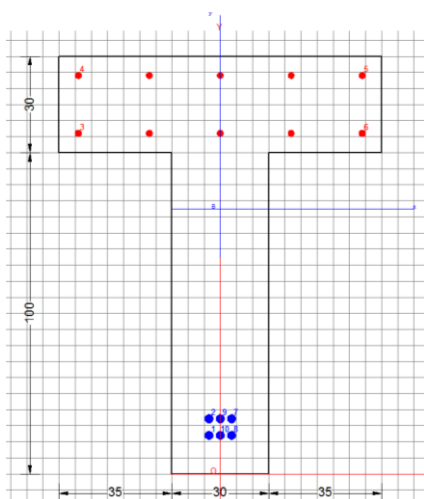
N°Comb.	N	Mx	My
1	0.00	420.93 (558.47)	0.00 (0.00)

2	0.00	-507.02 (-894.57)	0.00 (0.00)
---	------	-------------------	-------------

COMB. QUASI PERMANENTI (S.L.E.) - SFORZI PER OGNI COMBINAZIONE ASSEGNATA

N Sforzo normale [kN] applicato nel Baricentro (+ se di compressione)
 Mx Momento flettente [kNm] intorno all'asse x princ. d'inerzia (tra parentesi Mom.Fessurazione)
 con verso positivo se tale da comprimere il lembo superiore della sezione
 My Momento flettente [kNm] intorno all'asse y princ. d'inerzia (tra parentesi Mom.Fessurazione)
 con verso positivo se tale da comprimere il lembo destro della sezione

N°Comb.	N	Mx	My
1	0.00	-265.64 (-894.57)	0.00 (0.00)


RISULTATI DEL CALCOLO
Sezione verificata

Copriferro netto minimo barre longitudinali:	5.0 cm
Copriferro netto minimo staffe:	3.6 cm

VERIFICHE DI RESISTENZA IN PRESSO-TENSO FLESSIONE ALLO STATO LIMITE SOSTANZIALMENTE ELASTICO

Ver S = combinazione verificata / N = combin. non verificata
 N Sforzo normale assegnato [kN] nel baricentro B sezione cls.(positivo se di compressione)
 Mx Componente del momento assegnato [kNm] riferito all'asse x princ. d'inerzia
 My Componente del momento assegnato [kNm] riferito all'asse y princ. d'inerzia
 N Res Sforzo normale resistente [kN] nel baricentro B sezione cls.(positivo se di compress.)
 Mx Res Momento flettente resistente [kNm] riferito all'asse x princ. d'inerzia
 My Res Momento flettente resistente [kNm] riferito all'asse y princ. d'inerzia
 Mis.Sic. Misura sicurezza = rapporto vettoriale tra (N r,Mx Res,My Res) e (N,Mx,My)
 Verifica positiva se tale rapporto risulta >=1.000
 As Tesa Area armature trave [cm²] in zona tesa. [Tra parentesi l'area minima ex (4.1.15)NTC]

N°Comb	Ver	N	Mx	My	N Res	Mx Res	My Res	Mis.Sic.	As Tesa
1	S	0.00	784.00	0.00	0.00	1322.54	0.00	1.69	31.9(9.9)
2	S	0.00	-847.97	0.00	0.00	-1156.31	0.00	1.36	31.4(14.0)

METODO AGLI STATI LIMITE IN CAMPO SOSTANZIALMENTE ELASTICO - DEFORMAZIONI UNITARIE ALLO STATO LIMITE

ec max	Deform. unit. massima del conglomerato a compressione
x/d	Rapporto di duttilità [§ 4.1.2.1.2.1 NTC] deve essere < 0.45
Xc max	Ascissa in cm della fibra corrisp. a ec max (sistema rif. X,Y,O sez.)
Yc max	Ordinata in cm della fibra corrisp. a ec max (sistema rif. X,Y,O sez.)
es min	Deform. unit. minima nell'acciaio (negativa se di trazione)
Xs min	Ascissa in cm della barra corrisp. a es min (sistema rif. X,Y,O sez.)
Ys min	Ordinata in cm della barra corrisp. a es min (sistema rif. X,Y,O sez.)
es max	Deform. unit. massima nell'acciaio (positiva se di compress.)
Xs max	Ascissa in cm della barra corrisp. a es max (sistema rif. X,Y,O sez.)
Ys max	Ordinata in cm della barra corrisp. a es max (sistema rif. X,Y,O sez.)

N°Comb	ec max	x/d	Xc max	Yc max	es min	Xs min	Ys min	es max	Xs max	Ys max
1	0.00041	0.172	-50.0	130.0	0.00029	-44.0	124.0	-0.00196	-3.5	12.0
2	0.00068	0.259	-15.0	0.0	0.00043	-3.5	12.0	-0.00196	-44.0	124.0
3	0.00041	0.172	-50.0	130.0	0.00029	-44.0	124.0	-0.00196	-3.5	12.0

POSIZIONE ASSE NEUTRO PER OGNI COMB. DI RESISTENZA

a, b, c	Coeff. a, b, c nell'eq. dell'asse neutro $aX+bY+c=0$ nel rif. X,Y,O gen.
x/d	Rapp. di duttilità (travi e solette)[§ 4.1.2.1.2.1 NTC]: deve essere < 0.45
C.Rid.	Coeff. di riduz. momenti per sola flessione in travi continue

N°Comb	a	b	c	x/d	C.Rid.
1	0.000000000	0.000020015	-0.002196676	0.172	0.700
2	0.000000000	-0.000021280	0.000682213	0.259	0.763
3	0.000000000	0.000020015	-0.002196676	0.172	0.700

VERIFICHE A TAGLIO

Diam. Staffe:	14 mm
Passo staffe:	15.0 cm [Passo massimo di normativa = 33.0 cm]

Ver	S = comb. verificata a taglio / N = comb. non verificata
Ved	Taglio di progetto [kN] = proiezz. di V_x e V_y sulla normale all'asse neutro
Vcd	Taglio compressione resistente [kN] lato conglomerato [formula (4.1.28)NTC]
Vwd	Taglio resistente [kN] assorbito dalle staffe [(4.1.18) NTC]
Dmed	Altezza utile media pesata [cm] valutata lungo strisce ortog. all'asse neutro. Vengono prese nella media le strisce con almeno un estremo compresso. I pesi della media sono costituiti dalle stesse lunghezze delle strisce.
bw	Larghezza media resistente a taglio [cm] misurate parallel. all'asse neutro E' data dal rapporto tra l'area delle sopradette strisce resistenti e Dmed.
Ctg	Cotangente dell'angolo di inclinazione dei puntoni di conglomerato
Acw	Coefficiente maggiorativo della resistenza a taglio per compressione
Ast	Area staffe+legature strettam. necessarie a taglio per metro di pil.[cm ² /m]
A.Eff	Area staffe+legature efficaci nella direzione del taglio di combinaz.[cm ² /m] Tra parentesi è indicata la quota dell'area relativa alle sole legature. L'area della legatura è ridotta col fattore L/d_{max} con L =lungh.legat.proietta- ta sulla direz. del taglio e d_{max} = massima altezza utile nella direz.del taglio.

N°Comb	Ver	Ved	Vcd	Vwd	Dmed	bw	Ctg	Acw	Ast	A.Eff
1	S	0.00	3794.21	643.32	89.0	63.2	1.000	1.000	0.0	20.5(0.0)
2	S	0.00	2511.00	896.31	124.0	30.0	1.000	1.000	0.0	20.5(0.0)
3	S	621.50	3794.21	643.32	89.0	63.2	1.000	1.000	19.8	20.5(0.0)

COMBINAZIONI RARE IN ESERCIZIO - MASSIME TENSIONI NORMALI ED APERTURA FESSURE (NTC/EC2)

Ver	S = comb. verificata/ N = comb. non verificata
Sc max	Massima tensione (positiva se di compressione) nel conglomerato [Mpa]
Xc max, Yc max	Ascissa, Ordinata [cm] del punto corrisp. a Sc max (sistema rif. X,Y,O)
Sf min	Minima tensione (negativa se di trazione) nell'acciaio [Mpa]
Xs min, Ys min	Ascissa, Ordinata [cm] della barra corrisp. a Sf min (sistema rif. X,Y,O)
Ac eff.	Area di calcestruzzo [cm ²] in zona tesa considerata aderente alle barre
As eff.	Area barre [cm ²] in zona tesa considerate efficaci per l'apertura delle fessure

N°Comb	Ver	Sc max	Xc max	Yc max	Sf min	Xs min	Ys min	Ac eff.	As eff.
1	S	3.58	-50.0	130.0	-180.8	0.0	12.0	1019	31.9
2	S	6.50	-15.0	0.0	-207.6	-22.0	124.0	3000	31.4

COMBINAZIONI FREQUENTI IN ESERCIZIO - MASSIME TENSIONI NORMALI ED APERTURA FESSURE (NTC/EC2)

N°Comb	Ver	Sc max	Xc max	Yc max	Sf min	Xs min	Ys min	Ac eff.	As eff.
1	S	2.53	-50.0	130.0	-127.6	0.0	12.0	1019	31.9
2	S	5.52	-15.0	0.0	-176.3	-22.0	124.0	3000	31.4

COMBINAZIONI FREQUENTI IN ESERCIZIO - APERTURA FESSURE [§ 7.3.4 EC2]

Ver.	La sezione viene assunta sempre fessurata anche nel caso in cui la trazione minima del calcestruzzo sia inferiore a f_{ctm} Esito della verifica
e1	Massima deformazione unitaria di trazione nel calcestruzzo (trazione -) valutata in sezione fessurata
e2	Minima deformazione unitaria di trazione nel calcestruzzo (trazione -) valutata in sezione fessurata
k1	= 0.8 per barre ad aderenza migliorata [eq.(7.11)EC2]
kt	= 0.4 per comb. quasi permanenti / = 0.6 per comb.frequenti [cfr. eq.(7.9)EC2]
k2	= 0.5 per flessione; $=(e1 + e2)/(2*e1)$ per trazione eccentrica [eq.(7.13)EC2]
k3	= 3.400 Coeff. in eq.(7.11) come da annessi nazionali
k4	= 0.425 Coeff. in eq.(7.11) come da annessi nazionali
Ø	Diametro [mm] equivalente delle barre tese comprese nell'area efficace Ac eff [eq.(7.11)EC2]
Cf	Copriferro [mm] netto calcolato con riferimento alla barra più tesa
e sm - e cm	Differenza tra le deformazioni medie di acciaio e calcestruzzo [(7.8)EC2 e (C4.1.7)NTC] Tra parentesi: valore minimo = $0.6 S_{max} / E_s$ [(7.9)EC2 e (C4.1.8)NTC]
sr max	Massima distanza tra le fessure [mm]
wk	Apertura fessure in mm calcolata = $sr_{max} * (e_{sm} - e_{cm})$ [(7.8)EC2 e (C4.1.7)NTC]. Valore limite tra parentesi
Mx fess.	Componente momento di prima fessurazione intorno all'asse X [kNm]
My fess.	Componente momento di prima fessurazione intorno all'asse Y [kNm]

Comb.	Ver	e1	e2	k2	Ø	Cf	e sm - e cm	sr max	wk	Mx fess	My fess
1	S	-0.00072	0	0.500	26.0	107	0.00038 (0.00038)	505	0.193 (0.30)	558.47	0.00
2	S	-0.00094	0	0.500	20.0	50	0.00053 (0.00053)	495	0.262 (0.30)	-894.57	0.00

COMBINAZIONI QUASI PERMANENTI IN ESERCIZIO - MASSIME TENSIONI NORMALI ED APERTURA FESSURE (NTC/EC2)

N°Comb	Ver	Sc max	Xc max	Yc max	Sf min	Xs min	Ys min	Ac eff.	As eff.
1	S	2.89	-15.0	0.0	-92.4	-22.0	124.0	3000	31.4

COMBINAZIONI QUASI PERMANENTI IN ESERCIZIO - APERTURA FESSURE [§ 7.3.4 EC2]

Comb.	Ver	e1	e2	k2	Ø	Cf	e sm - e cm	sr max	wk	Mx fess	My fess
1	S	-0.00049	0	0.500	20.0	50	0.00028 (0.00028)	495	0.137 (0.20)	-894.57	0.00

12 VERIFICA DEL TRAVERSO DI TESTATA

Il trasverso di testata è dimensionato per il sollevamento dell'impalcato.

L'ipotesi è di utilizzare n 5 martinetti nella posizione indicata.

Le azioni agenti sono desunte dalle reazioni dell'impalcato ottenute considerando il peso proprio amplificato con il coefficiente 1.35 ed i soli carichi permanenti amplificati con il coefficiente 1.5.

Per la valutazione delle sollecitazioni in tale fase si è realizzato un modello di calcolo monodimensionale in cui il trasverso risulta appoggiato in corrispondenza dei martinetti e sollecitato da azioni concentrate rappresentanti i carichi trasmessi dalle travi.

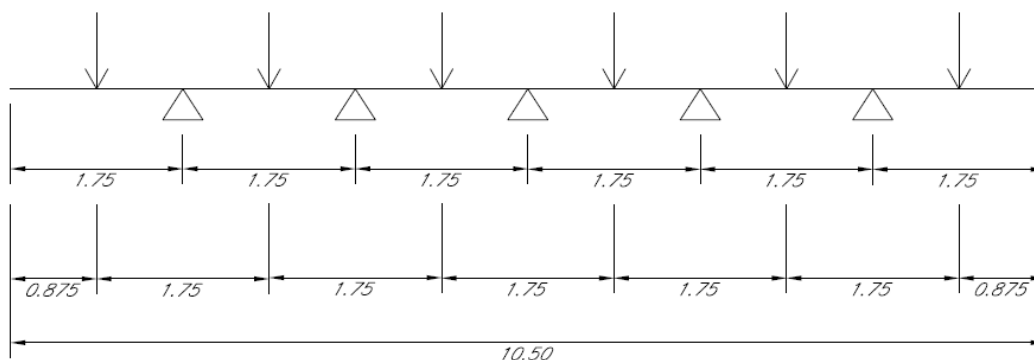


Figura 54 - Schema per il sollevamento

Dai modelli di calcolo analizzati si ottengono i valori degli scarichi delle singole travi:

FASE 1

TABLE: Joint Reactions SLU-01

Joint	OutputCase	CaseType	F1	F2	F3
Text	Text	Text	KN	KN	KN
30	G1+G2 sollev	Combination	0	0	487.425
53	G1+G2 sollev	Combination	0	0	541.841
54	G1+G2 sollev	Combination	0	0	541.841
63	G1+G2 sollev	Combination	0	0	495.212
79	G1+G2 sollev	Combination	0	0	495.212
283	G1+G2 sollev	Combination	0	0	487.425

FASE 2

TABLE: Joint Reactions INV SLU STR

Joint	OutputCase	CaseType	F1	F2	F3
Text	Text	Text	KN	KN	KN
30	G1+G2 sollev	Combination	0	0	59.808
53	G1+G2 sollev	Combination	0	0	138.546
54	G1+G2 sollev	Combination	0	0	138.546
63	G1+G2 sollev	Combination	0	0	37.84
79	G1+G2 sollev	Combination	0	0	37.84
283	G1+G2 sollev	Combination	0	0	59.808

FASE 1 + FASE 2

TABLE: Joint Reactions

Joint	OutputCase	F1	F2	F3
Text	Text	KN	KN	KN
30	G1+G2 sollev	0.0	0.0	-547.2
53	G1+G2 sollev	0.0	0.0	-680.4
54	G1+G2 sollev	0.0	0.0	-680.4
63	G1+G2 sollev	0.0	0.0	-533.1
79	G1+G2 sollev	0.0	0.0	-533.1
283	G1+G2 sollev	0.0	0.0	-547.2

Viadotto NW01
 Relazione di calcolo impalcato

COMMESSA	LOTTO	CODIFICA	DOCUMENTO	REV.	FOGLIO
RS3H	02	D 78	CL NW0108 001	A	153 di 186

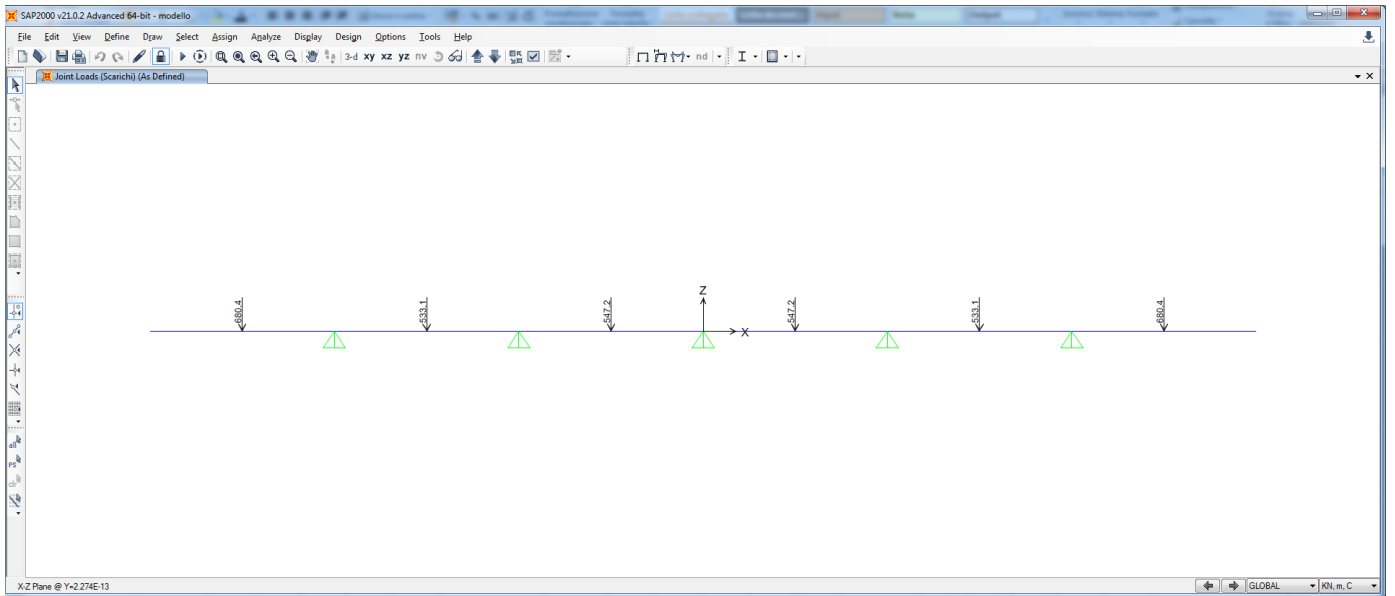
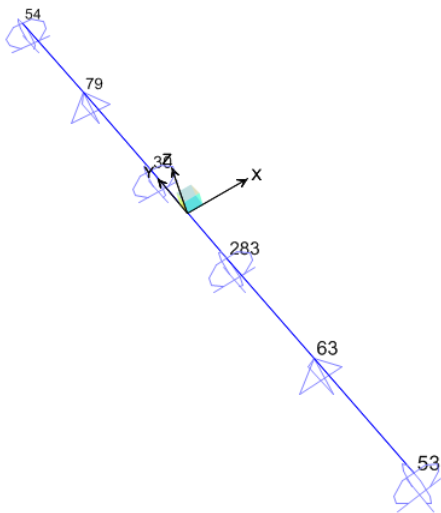


Figura 55 - Modello di calcolo

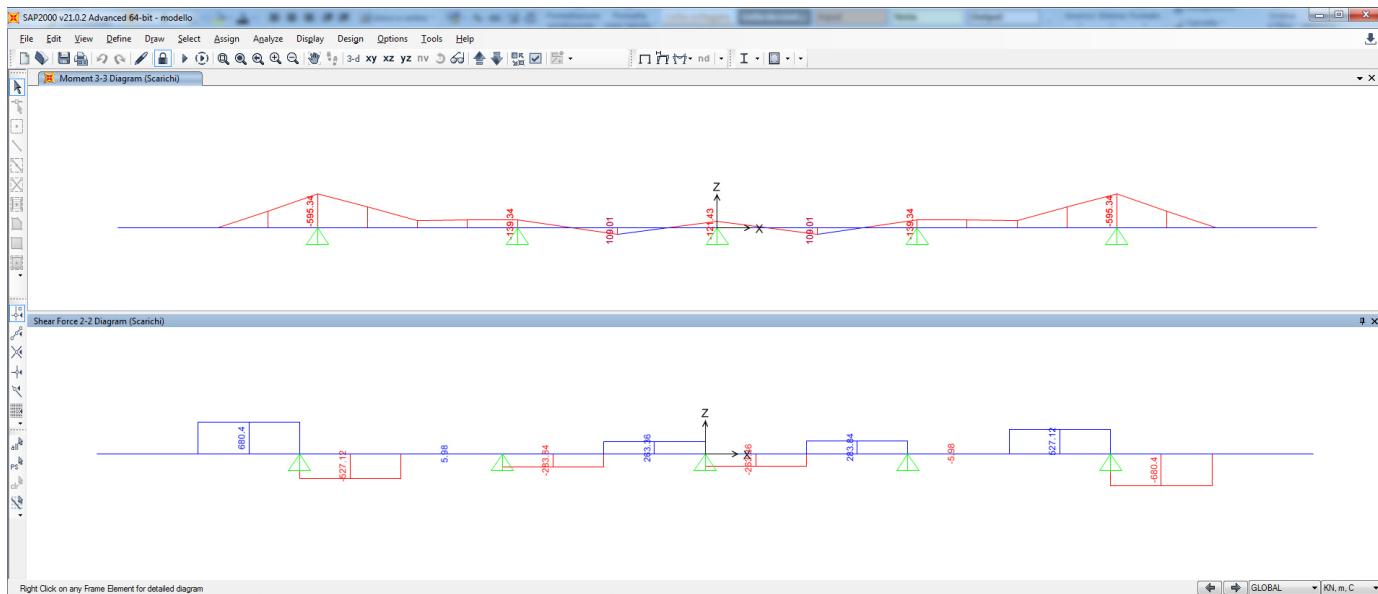


Figura 56 - Diagramma Momento flettente e Taglio

SLU

$$M_{max} = - 595.34 \text{ KNm}$$

$$M_{min} = 109.01 \text{ KNm}$$

$$T_{max} = 680.4 \text{ KN}$$

Si verifica la sezione composta a T trasverso+soletta collaborante. La parte di soletta collaborante è pari a $b = b_0 + b_1 + b_2$, $b_1 = b_2 = (0.8 * L_1) / 8 = 60 \text{ cm} \Rightarrow b = 30 + 2 * 60 = 150 \text{ cm}$.

Si dispongono 4 Ø 26 per asola mentre in soletta sono presenti 1+1 Ø 20/20

DATI GENERALI SEZIONE GENERICA NON DISSIPATIVA IN C.A.

NOME SEZIONE: TRAVERSO - testata

Descrizione Sezione:

Metodo di calcolo resistenza: Resistenze in campo sostanzialmente elastico

Tipologia sezione: Sezione generica di Trave

Normativa di riferimento: N.T.C.

Percorso sollecitazione: A Sforzo Norm. costante

Riferimento Sforzi assegnati: Assi x,y principali d'inerzia

Riferimento alla sismicità: Zona non sismica

CARATTERISTICHE DI RESISTENZA DEI MATERIALI IMPIEGATI

CALCESTRUZZO -	Classe:	C45/55
	Resis. compr. di progetto fcd:	30.000 MPa
	Resis. compr. ridotta fcd':	15.000 MPa
	Def.unit. max resistenza ec2:	0.0020
	Def.unit. ultima ecu:	0.0035

	Diagramma tensione-deformaz.:	Parabola-Rettangolo
	Modulo Elastico Normale Ec:	36238.0 MPa
	Resis. media a trazione fctm:	3.800 MPa
ACCIAIO -	Tipo:	B450C
	Resist. caratt. snervam. fyk:	450.00 MPa
	Resist. caratt. rottura ftk:	450.00 MPa
	Resist. snerv. di progetto fyd:	391.30 MPa
	Resist. ultima di progetto ftd:	391.30 MPa
	Deform. ultima di progetto Epu:	0.068
	Modulo Elastico Ef	2000000 daN/cm ²
	Diagramma tensione-deformaz.:	Bilineare finito

CARATTERISTICHE DOMINIO CONGLOMERATO

Forma del Dominio:	Poligonale
Classe Conglomerato:	C45/55

N°vertice:	X [cm]	Y [cm]
1	-15.0	0.0
2	-15.0	100.0
3	-75.0	100.0
4	-75.0	130.0
5	75.0	130.0
6	75.0	100.0
7	15.0	100.0
8	15.0	0.0

DATI BARRE ISOLATE

N°Barra	X [cm]	Y [cm]	DiamØ[mm]
1	-2.0	15.0	26
2	-2.0	20.2	26
3	-69.0	106.0	20
4	-69.0	124.0	20
5	69.0	124.0	20
6	69.0	106.0	20
7	2.0	20.2	26
8	2.0	15.0	26

DATI GENERAZIONI LINEARI DI BARRE

N°Gen.	Numero assegnato alla singola generazione lineare di barre			
N°Barra Ini.	Numero della barra iniziale cui si riferisce la generazione			
N°Barra Fin.	Numero della barra finale cui si riferisce la generazione			
N°Barre	Numero di barre generate equidistanti cui si riferisce la generazione			
Ø	Diametro in mm delle barre della generazione			

N°Gen.	N°Barra Ini.	N°Barra Fin.	N°Barre	Ø
1	4	5	6	20
2	3	6	6	20

ARMATURE A TAGLIO

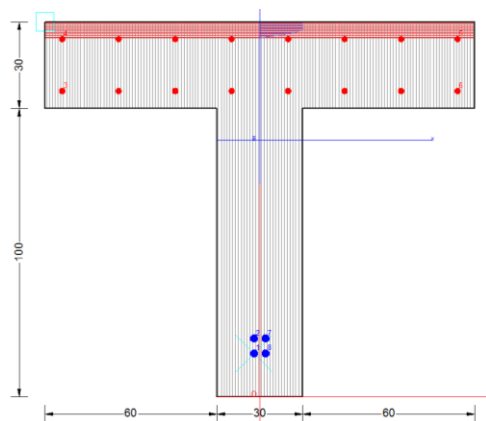
Diametro staffe:	14 mm
------------------	-------

Passo staffe: 10.0 cm
Staffe: Una sola staffa chiusa perimetrale

CALCOLO DI RESISTENZA - SFORZI PER OGNI COMBINAZIONE ASSEGNATA

N Sforzo normale [kN] applicato nel Baric. (+ se di compressione)
Mx Momento flettente [kNm] intorno all'asse x princ. d'inerzia
con verso positivo se tale da comprimere il lembo sup. della sez.
My Momento flettente [kNm] intorno all'asse y princ. d'inerzia
con verso positivo se tale da comprimere il lembo destro della sez.
Vy Componente del Taglio [kN] parallela all'asse princ.d'inerzia y
Vx Componente del Taglio [kN] parallela all'asse princ.d'inerzia x

N°Comb.	N	Mx	My	Vy	Vx
1	0.00	109.01	0.00	0.00	0.00
2	0.00	-595.34	0.00	0.00	0.00
3	0.00	0.10	0.00	680.40	0.00



RISULTATI DEL CALCOLO

Sezione verificata

Copriferro netto minimo barre longitudinali: 5.0 cm
Copriferro netto minimo staffe: 3.6 cm

VERIFICHE DI RESISTENZA IN PRESSO-TENSO FLESSIONE ALLO STATO LIMITE SOSTANZIALMENTE ELASTICO

Ver S = combinazione verificata / N = combin. non verificata
N Sforzo normale assegnato [kN] nel baricentro B sezione cls.(positivo se di compressione)
Mx Componente del momento assegnato [kNm] riferito all'asse x princ. d'inerzia
My Componente del momento assegnato [kNm] riferito all'asse y princ. d'inerzia
N Res Sforzo normale resistente [kN] nel baricentro B sezione cls.(positivo se di compress.)
Mx Res Momento flettente resistente [kNm] riferito all'asse x princ. d'inerzia
My Res Momento flettente resistente [kNm] riferito all'asse y princ. d'inerzia
Mis.Sic. Misura sicurezza = rapporto vettoriale tra (N r,Mx Res,My Res) e (N,Mx,My)
Verifica positiva se tale rapporto risulta >=1.000
As Tesa Area armature trave [cm²] in zona tesa. [Tra parentesi l'area minima ex (4.1.15)NTC]

N°Comb	Ver	N	Mx	My	N Res	Mx Res	My Res	Mis.Sic.	As Tesa
1	S	0.00	109.01	0.00	0.00	889.54	0.00	8.16	21.2(12.7)
2	S	0.00	-595.34	0.00	0.00	-1775.72	0.00	2.98	50.3(19.2)

Viadotto NW01
 Relazione di calcolo impalcato

COMMESSA	LOTTO	CODIFICA	DOCUMENTO	REV.	FOGLIO
RS3H	02	D 78	CL NW0108 001	A	157 di 186

3	S	0.00	0.10	0.00	0.00	889.54	0.00	999.00	21.2(12.7)
---	---	------	------	------	------	--------	------	--------	------------

METODO AGLI STATI LIMITE IN CAMPO SOSTANZIALMENTE ELASTICO - DEFORMAZIONI UNITARIE ALLO STATO LIMITE

ec max	Deform. unit. massima del conglomerato a compressione
x/d	Rapporto di duttilità [§ 4.1.2.1.2.1 NTC] deve essere < 0.45
Xc max	Ascissa in cm della fibra corrisp. a ec max (sistema rif. X,Y,O sez.)
Yc max	Ordinata in cm della fibra corrisp. a ec max (sistema rif. X,Y,O sez.)
es min	Deform. unit. minima nell'acciaio (negativa se di trazione)
Xs min	Ascissa in cm della barra corrisp. a es min (sistema rif. X,Y,O sez.)
Ys min	Ordinata in cm della barra corrisp. a es min (sistema rif. X,Y,O sez.)
es max	Deform. unit. massima nell'acciaio (positiva se di compress.)
Xs max	Ascissa in cm della barra corrisp. a es max (sistema rif. X,Y,O sez.)
Ys max	Ordinata in cm della barra corrisp. a es max (sistema rif. X,Y,O sez.)

N°Comb	ec max	x/d	Xc max	Yc max	es min	Xs min	Ys min	es max	Xs max	Ys max
1	0.00027	0.123	-75.0	130.0	0.00016	-69.0	124.0	-0.00196	-2.0	15.0
2	0.00098	0.333	-15.0	0.0	0.00062	-2.0	15.0	-0.00196	69.0	124.0
3	0.00027	0.123	-75.0	130.0	0.00016	-69.0	124.0	-0.00196	-2.0	15.0

POSIZIONE ASSE NEUTRO PER OGNI COMB. DI RESISTENZA

a, b, c	Coeff. a, b, c nell'eq. dell'asse neutro $aX+bY+c=0$ nel rif. X,Y,O gen.
x/d	Rapp. di duttilità (travi e solette)[§ 4.1.2.1.2.1 NTC]: deve essere < 0.45
C.Rid.	Coeff. di riduz. momenti per sola flessione in travi continue

N°Comb	a	b	c	x/d	C.Rid.
1	0.000000000	0.000019389	-0.002247338	0.123	0.700
2	0.000000000	-0.000023642	0.000975135	0.333	0.856
3	0.000000000	0.000019389	-0.002247338	0.123	0.700

VERIFICHE A TAGLIO

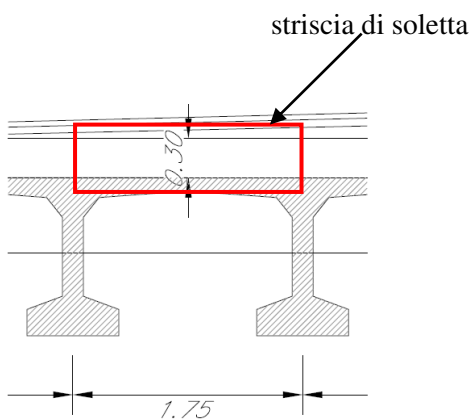
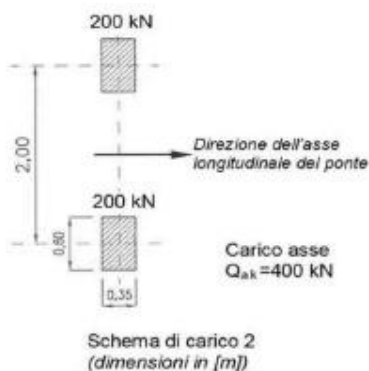
Diam. Staffe:	14 mm
Passo staffe:	10.0 cm [Passo massimo di normativa = 33.0 cm]

Ver	S = comb. verificata a taglio / N = comb. non verificata
Ved	Taglio di progetto [kN] = proiezz. di V_x e V_y sulla normale all'asse neutro
Vcd	Taglio compressione resistente [kN] lato conglomerato [formula (4.1.28)NTC]
Vwd	Taglio resistente [kN] assorbito dalle staffe [(4.1.18) NTC]
Dmed	Altezza utile media pesata [cm] valutata lungo strisce ortog. all'asse neutro. Vengono prese nella media le strisce con almeno un estremo compresso. I pesi della media sono costituiti dalle stesse lunghezze delle strisce.
bw	Larghezza media resistente a taglio [cm] misurate parallel. all'asse neutro E' data dal rapporto tra l'area delle sopradette strisce resistenti e Dmed.
Ctg	Cotangente dell'angolo di inclinazione dei puntoni di conglomerato
Acw	Coefficiente maggiorativo della resistenza a taglio per compressione
Ast	Area staffe+legature strettam. necessarie a taglio per metro di pil.[cm ² /m]
A.Eff	Area staffe+legature efficaci nella direzione del taglio di combinaz.[cm ² /m] Tra parentesi è indicata la quota dell'area relativa alle sole legature. L'area della legatura è ridotta col fattore L/d_{max} con L =lungh.legat.proietta- ta sulla direz. del taglio e d_{max} = massima altezza utile nella direz.del taglio.

N°Comb	Ver	Ved	Vcd	Vwd	Dmed	bw	Ctg	Acw	Ast	A.Eff
1	S	0.00	4692.07	824.03	76.0	91.5	1.000	1.000	0.0	30.8(0.0)
2	S	0.00	2511.00	1344.47	124.0	30.0	1.000	1.000	0.0	30.8(0.0)
3	S	680.40	4692.07	824.03	76.0	91.5	1.000	1.000	25.4	30.8(0.0)

13 VERIFICHE SOLETTA

Si considera una striscia di soletta a piastra incastrata al contorno in corrispondenza dell'interasse delle travi a T caricata con lo schema di carico 2 (singola ruota da 200 kN con impronta 60x35). Tale striscia viene modellata con elementi bidimensionali tipo shell.



13.1 Carichi

- Considerando la singola ruota da 200 kN con impronta 60x35 e ripartendo a 45° attraverso la pavimentazione $p=0.10$ m e la soletta $s=0.30$ m si ha:
 $Q=200/((0.6+2p+s)*(0.35+2p+s))=214$ KN/mq
- Peso soletta $G1=0.30*25=7.50$ KN/mq
- Peso pavimentazione $G2=0.10*20=2.0$ KN/mq

13.2 Combinazioni

$$SLU = 1.35 G1 + 1.5 G2 + 1.35 Q$$

$$SLERAR = 1.0 G1 + 1.0 G2 + 1.0 Q$$

$$SLEFRE = 1.0 G1 + 1.0 G2 + 0.75 Q$$

$$SLEQP = 1.0 G1 + 1.0 G2$$

13.3 Modello

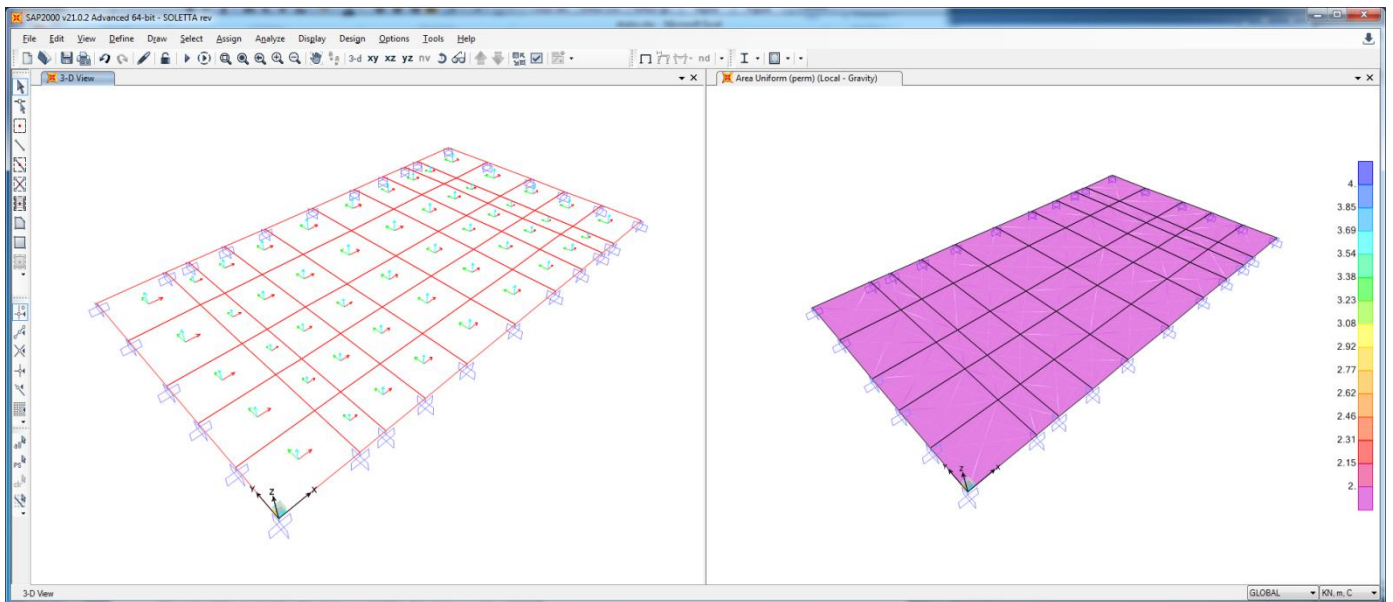


Figura 57: Modello e carico permanente

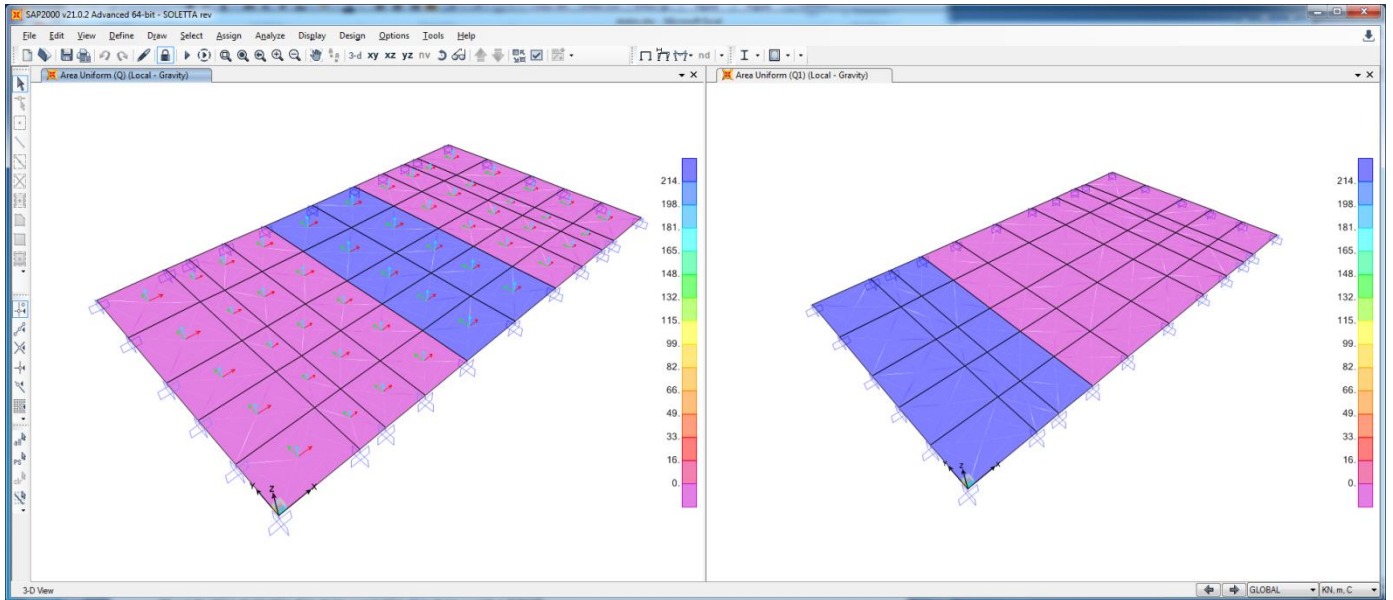


Figura 58: Carico accidentale Q e Q1 nelle due posizioni di carico

13.4 Sollecitazioni

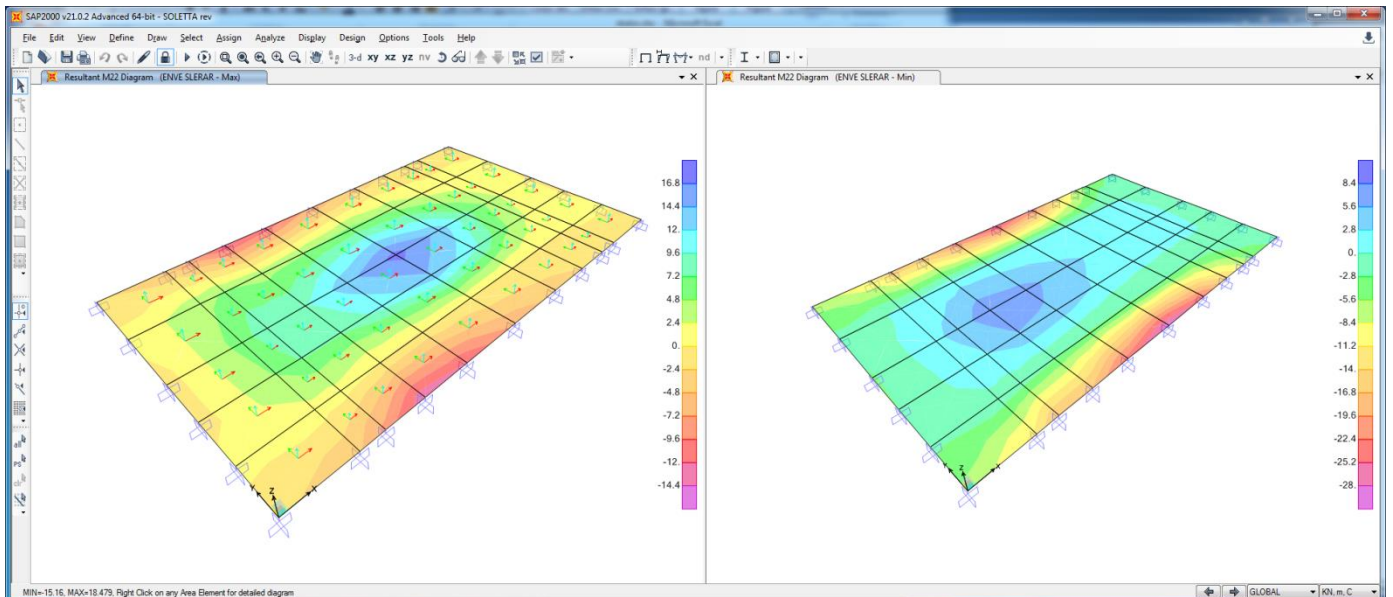


Figura 59: Momento Flettente M22 - Inviluppo SLERAR

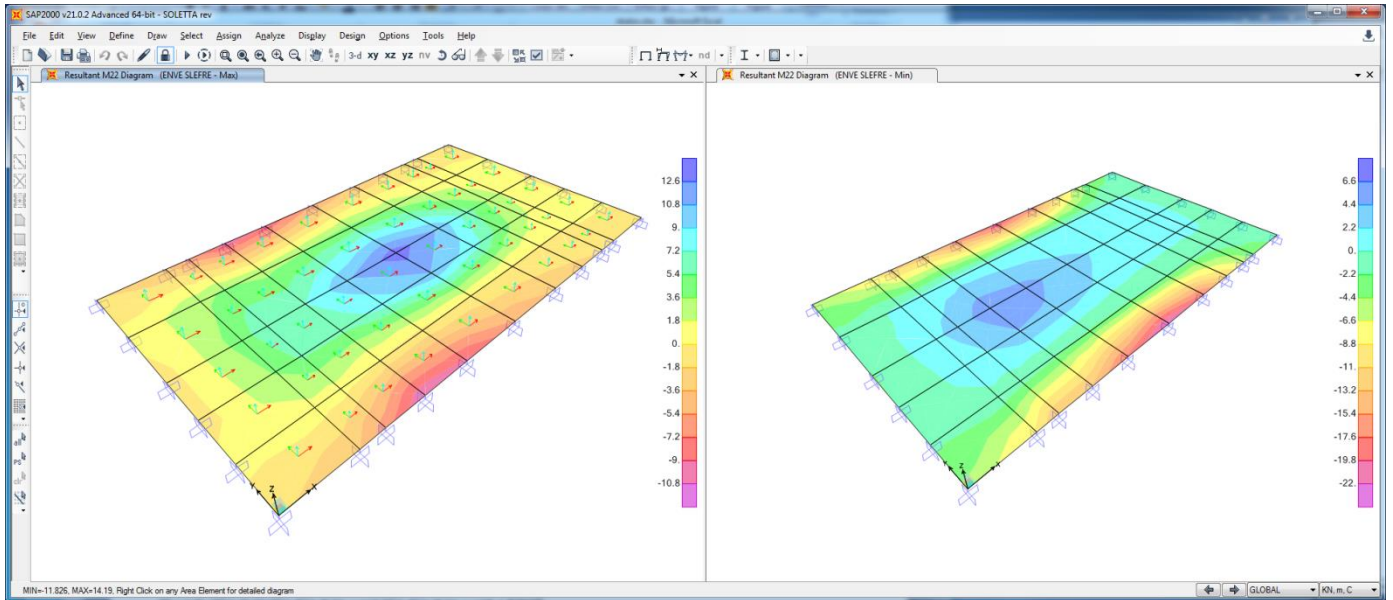


Figura 60: Momento Flettente M22 - Involuppo SLEFRE

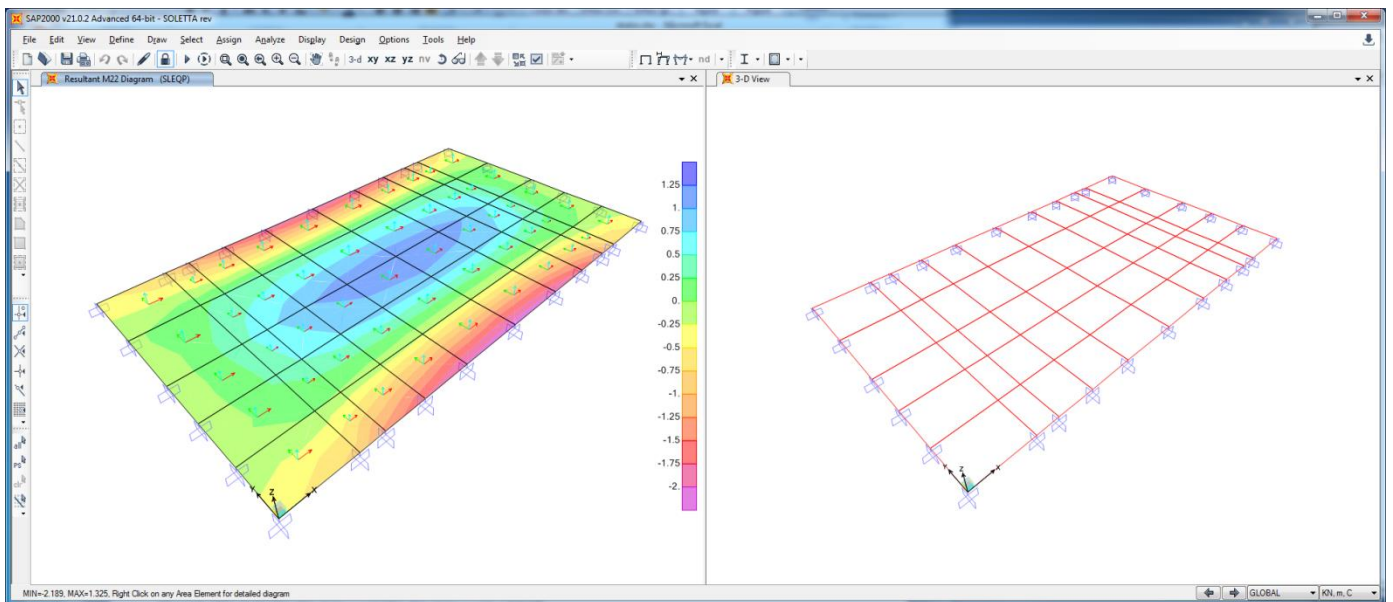


Figura 61: Momento Flettente M22 - Involuppo SLEQP

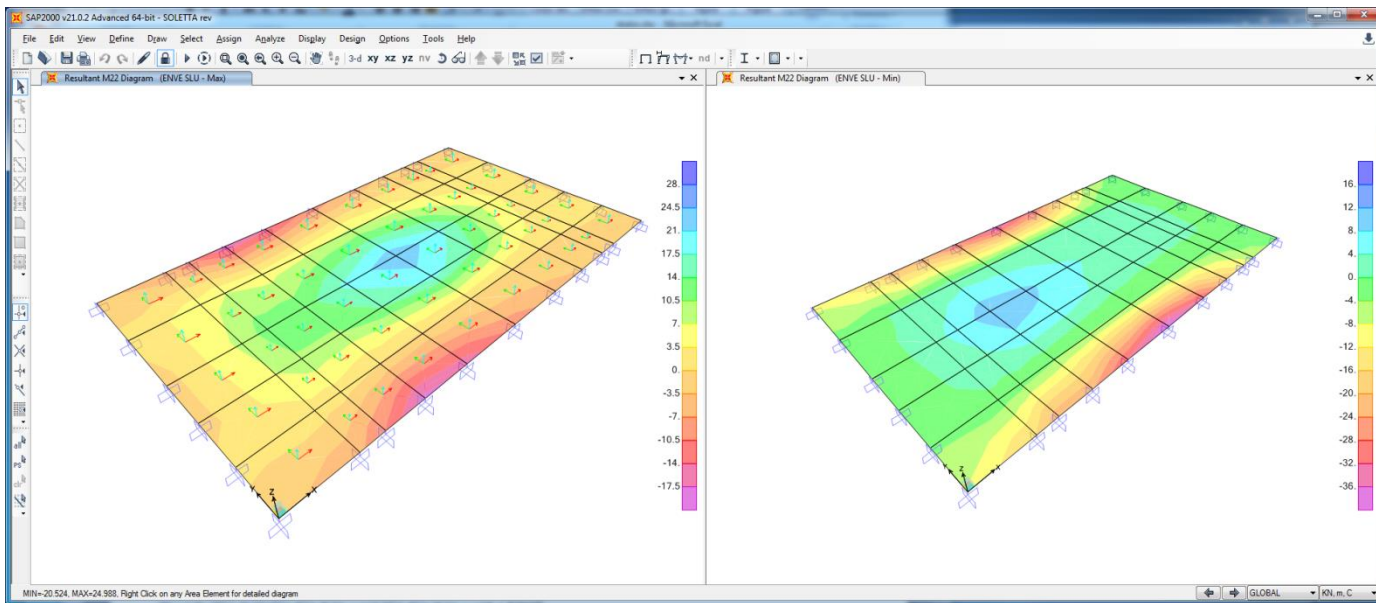


Figura 62: Momento Flettente M22 - Involuppo SLU

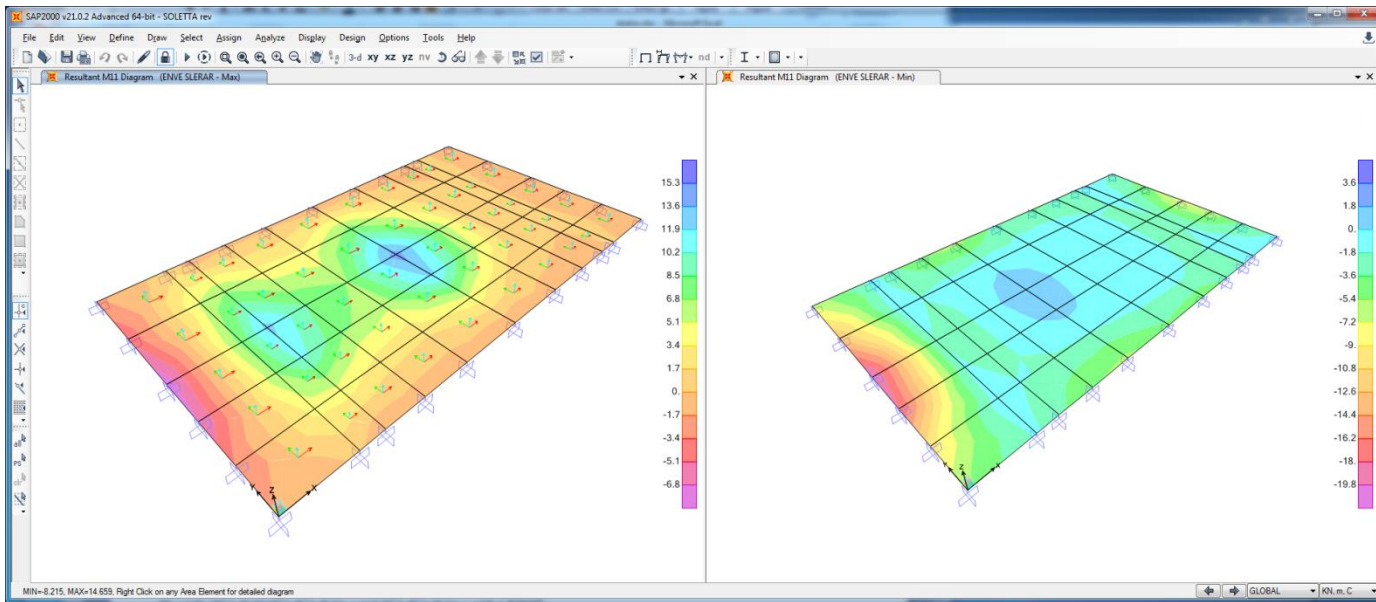


Figura 63: Momento Flettente M11 - Involuppo SLERAR

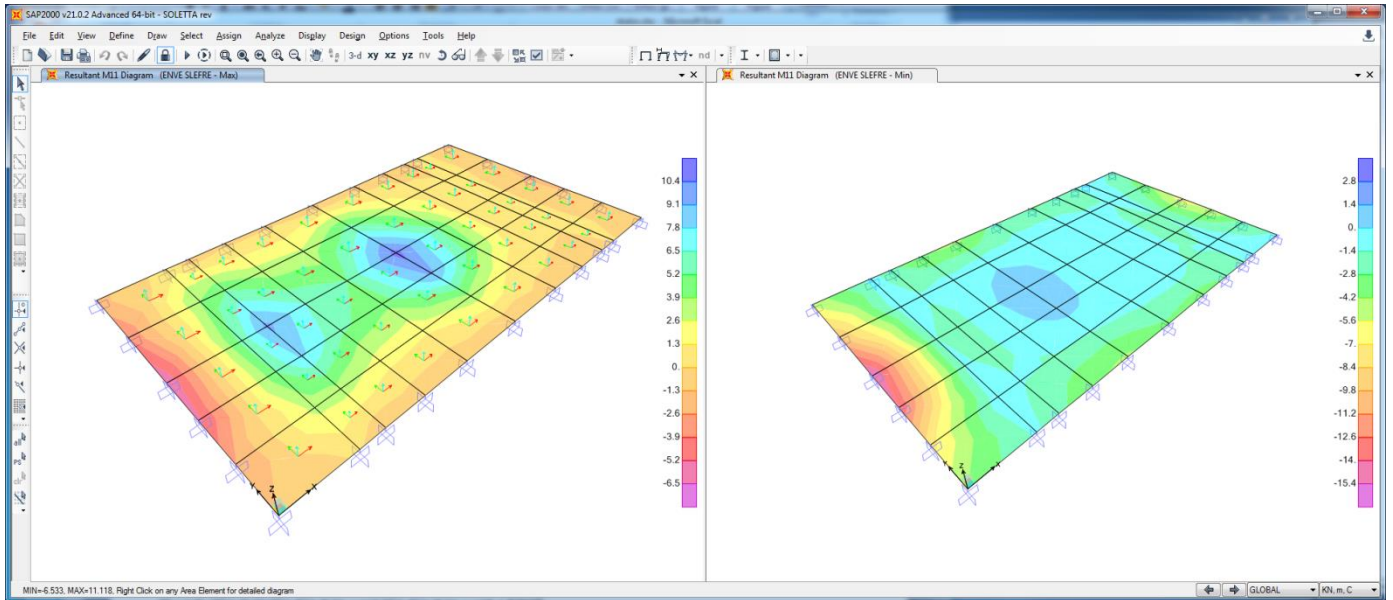


Figura 64: Momento Flettente M11 - Involuppo SLEFRE

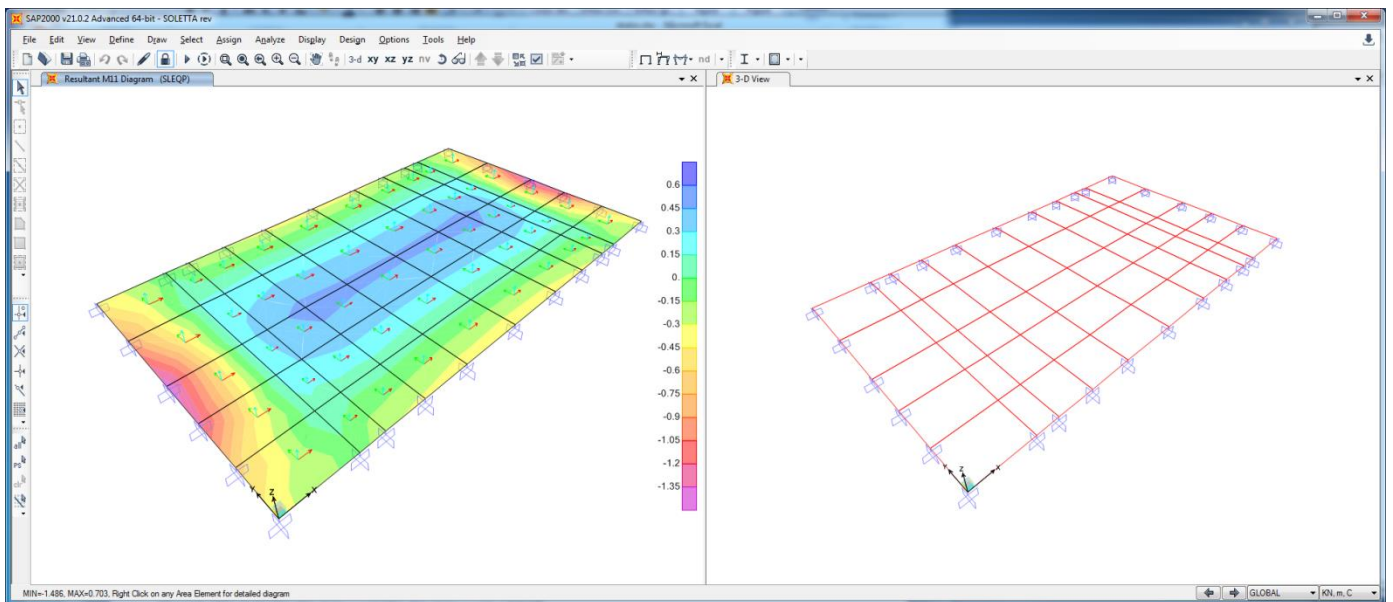


Figura 65: Momento Flettente M11 - Involuppo SLEQP

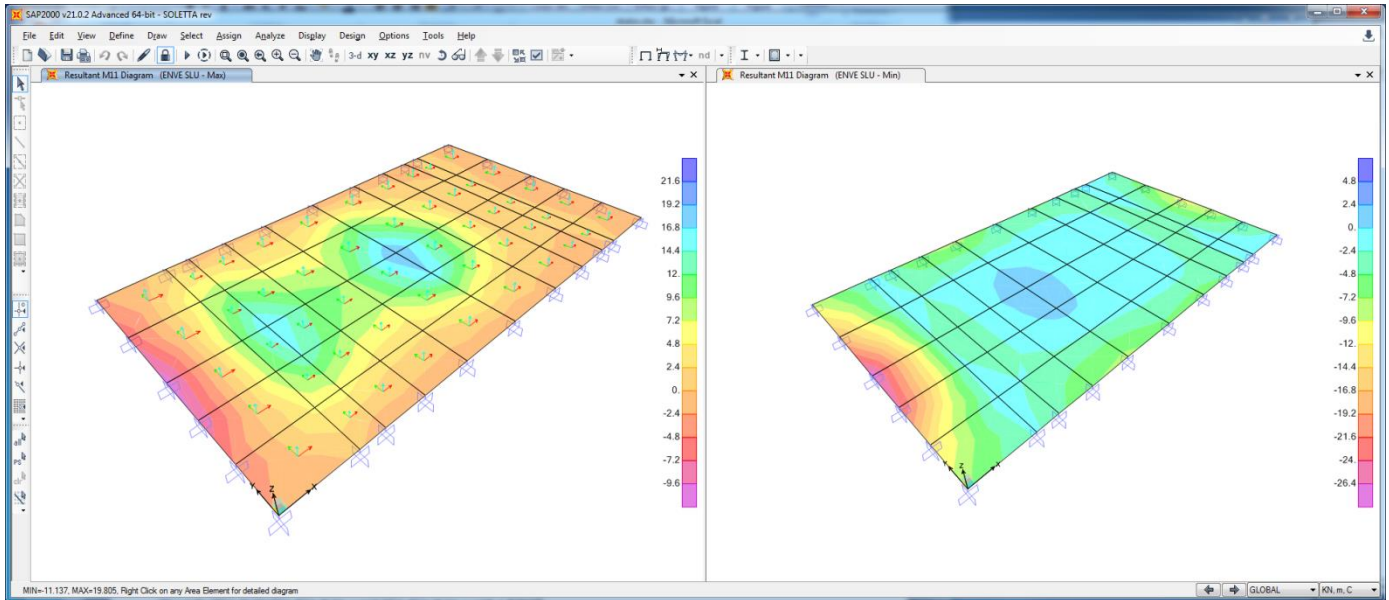


Figura 66: Momento Flettente M11 - Involuppo SLU

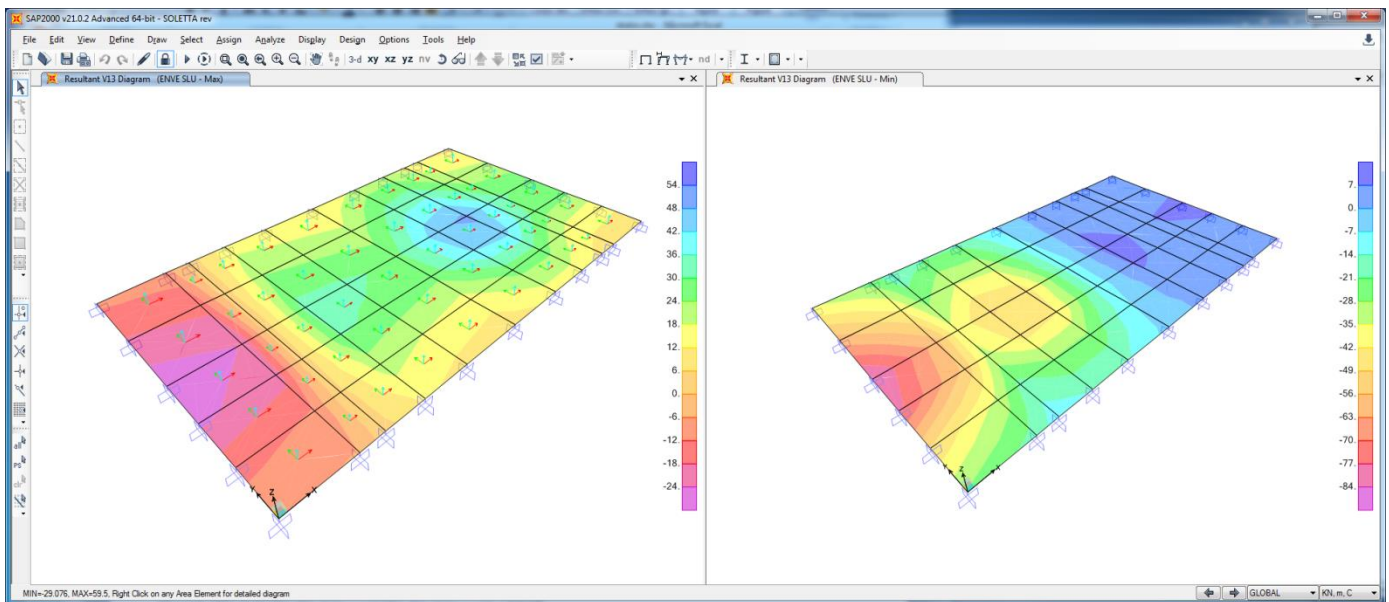


Figura 67: Sollecitazioni Taglianti V13 - Involuppo SLU

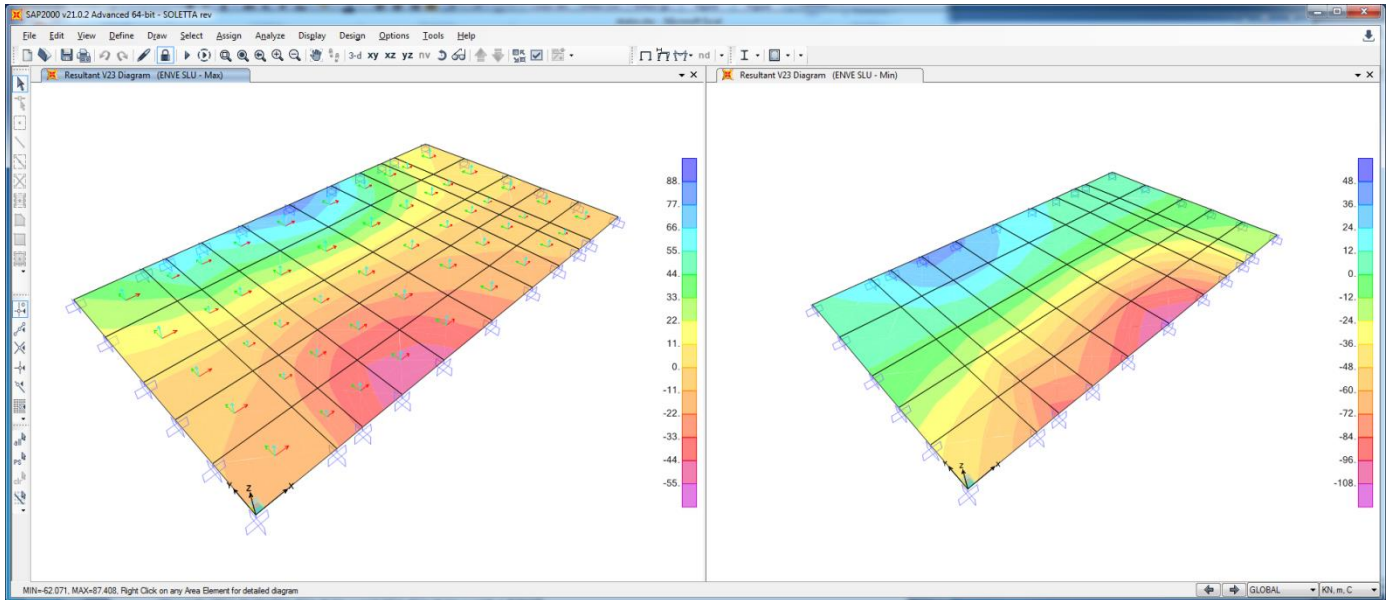


Figura 68: Sollecitazioni Taglianti V23 - Involuppo SLU

13.5 Verifica di resistenza

Le verifiche strutturali allo stato limite ultimo e allo stato limite di esercizio sono state svolte, seguendo i criteri esposti in precedenza, con il codice di calcolo RC-SEC, per le condizioni di carico più gravose.

Sollecitazioni di verifica:

Combinaz. di carico	M11 (kN·m)	M22 (kN·m)	V23 (kN·)	V13 (kN)
ENVE-SLU	26.40	35.00	108.00	84.00
ENVE-SLER	19.80	28.00		
ENVE-SLEF	15.40	22.00		
ENVE-SLEQP	1.35	2.00		

Si riassume di seguito l'armatura orizzontale adottata in entrambe le direzione.

$$A_s = 1\Phi 20/20$$

$$A_{s'} = 1\Phi 20/20$$

La sezione risulta verificata con l'armatura prevista.

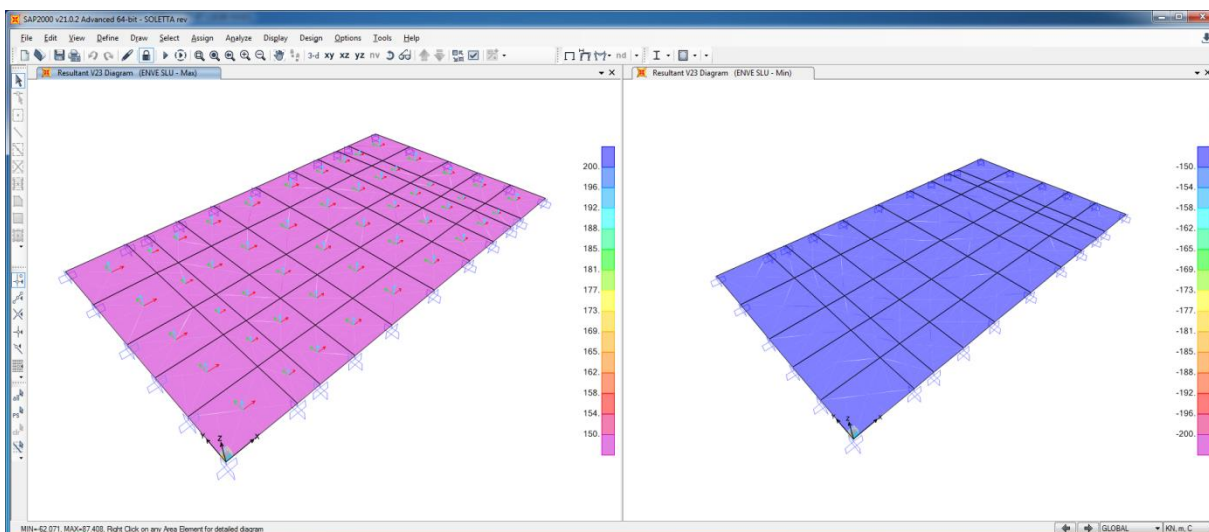
13.5.1.1 Verifica a taglio V23

Ver

È necessario impiegarle per le travi e per i pilastri, per le armature trasversali resistenti a taglio. La resistenza a taglio V_{Rd} di tali elementi deve essere valutata, utilizzando formule di comprovata affidabilità, sulla base della resistenza a trazione del cls.

Sollecitazioni Agenti:	V_{Ed}	108 kN	
	N_{Ed}	0 kN	
Calcestruzzo	C32/40	R_{ck}	40 N/mm ²
		f_{ck}	33.2 N/mm ²
Resistenza di calcolo a compressione del calcestruzzo		f_{cd}	18.81 N/mm ²
Coefficiente parziale di sicurezza relativo al calcestruzzo	γ_c	1.5	
Altezza sezione	h	300 mm	
Copriferro	c	70 mm	
Larghezza minima della sezione (in mm)	b_w	1000 mm	
Altezza utile della sezione (in mm)	d	230 mm	
Area Calcestruzzo	A_c	300000 mm ²	
Armatura longitudinale tesa	n	5	
	\emptyset	20 mm	
	A_{sl}	1570 mm ²	
Rapporto geometrico di armatura longitudinale	ρ_1	0.0068 \leq 0.02	ok
Tensione media di compressione nella sezione	σ_{cp}	0.0000 \leq 0.2 f_{cd}	ok
$k = 1 + (200/d)^{1/2} \leq 2$	k	1.93 \leq 2	ok
	V_{min}	0.31	
	V_{Rd}	150.94 kN	
Verifica:	$V_{Rd} > V_{Ed}$	VERIFICATA	

Di seguito si riporta il relativo diagramma di ricoprimento del taglio V23



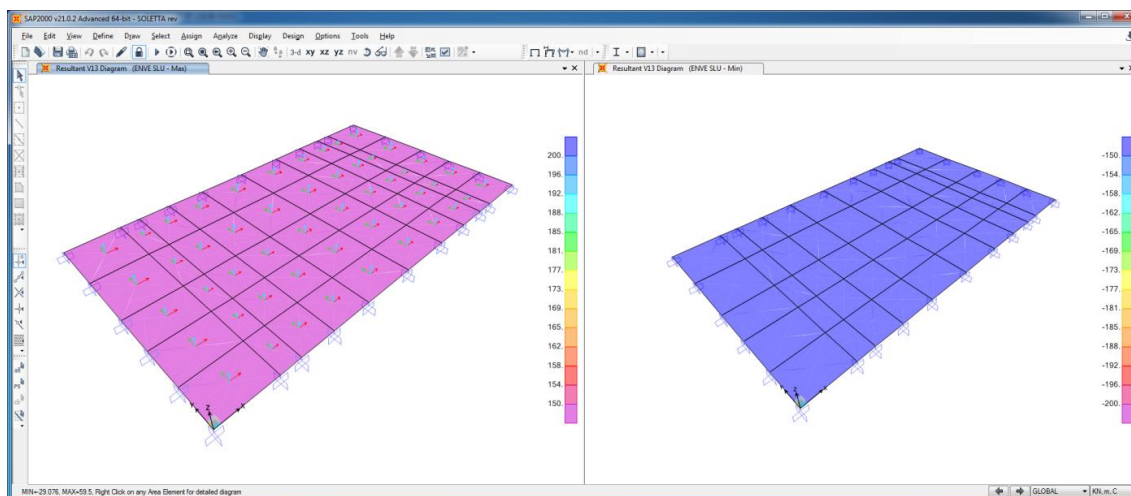
13.5.1.2 Verifica a taglio V13

Ver

È necessario impiegarvi, presso le sezioni di massima sollecitazione, armature trasversali resistenti a taglio. La resistenza a taglio V_{Rd} di tali elementi deve essere valutata, utilizzando formule di comprovata affidabilità, sulla base della resistenza a trazione del cls.

Sollecitazioni Agenti:	V_{Ed}	84 kN	
	N_{Ed}	0 kN	
Calcestruzzo	C32/40	R_{ck}	40 N/mm ²
		f_{ck}	33.2 N/mm ²
Resistenza di calcolo a compressione del calcestruzzo	f_{cd}	18.81 N/mm ²	
Coefficiente parziale di sicurezza relativo al calcestruzzo	γ_c	1.5	
Altezza sezione	h	300 mm	
Copriferro	c	70 mm	
Larghezza minima della sezione (in mm)	b_w	1000 mm	
Altezza utile della sezione (in mm)	d	230 mm	
Area Calcestruzzo	A_c	300000 mm ²	
Armatura longitudinale tesa	n	5	
	\emptyset	20 mm	
	A_{st}	1570 mm ²	
Rapporto geometrico di armatura longitudinale	ρ_1	0.0068 \leq 0.02	ok
Tensione media di compressione nella sezione	σ_{cp}	0.0000 \leq 0.2 f_{cd}	ok
$k = 1 + (200/d)^{1/2} \leq 2$	k	1.93 \leq 2	ok
	v_{min}	0.31	
	V_{Rd}	150.94 kN	
Verifica:	$V_{Rd} > V_{Ed}$	VERIFICATA	

Di seguito si riporta il relativo diagramma di ricoprimento del taglio V13



Come si può vedere dai diagrammi sopra riportati il valore del taglio limite non viene mai superato.

13.5.1.3 Verifica a flessione - M22

DATI GENERALI SEZIONE RETTANGOLARE DI PILASTRO IN C.A.

NOME SEZIONE: soletta 30 M22

Descrizione Sezione:	
Metodo di calcolo resistenza:	Stati Limite Ultimi
Normativa di riferimento:	N.T.C.
Tipologia sezione:	Sezione predefinita di trave (solette, nervature solai) senza staffe
Forma della sezione:	Rettangolare
Percorso sollecitazione:	A Sforzo Norm. costante
Condizioni Ambientali:	Moderat. aggressive
Riferimento Sforzi assegnati:	Assi x,y principali d'inerzia
Riferimento alla sismicità:	Zona non sismica

CARATTERISTICHE DI RESISTENZA DEI MATERIALI IMPIEGATI

CALCESTRUZZO -	Classe:	C32/40	
	Resistenza compress. di progetto fcd:	181.30	daN/cm ²
	Deform. unitaria max resistenza ec2:	0.0020	
	Deformazione unitaria ultima ecu:	0.0035	
	Diagramma tensioni-deformaz.:	Parabola-Rettangolo	
	Modulo Elastico Normale Ec:	333458	daN/cm ²
	Resis. media a trazione fctm:	30.23	daN/cm ²
	Coeff.Omogen. S.L.E.:	15.00	
	Sc limite S.L.E. comb. Rare:	176.00	daN/cm ²
	Sc limite S.L.E. comb. Frequenti:	192.00	daN/cm ²
	Ap.Fessure limite S.L.E. comb. Frequenti:	0.300	mm
	Sc limite S.L.E. comb. Q.Permanenti:	128.00	daN/cm ²
	Ap.Fess.limite S.L.E. comb. Q.Perm.:	0.200	mm
ACCIAIO -	Tipo:	B450C	
	Resist. caratt. a snervamento fyk:	4500.0	daN/cm ²
	Resist. caratt. a rottura ftk:	4500.0	daN/cm ²
	Resist. a snerv. di progetto fyd:	3913.0	daN/cm ²
	Resist. ultima di progetto ftd:	3913.0	daN/cm ²
	Deform. ultima di progetto Epu:	0.068	
	Modulo Elastico Ef:	2000000	daN/cm ²
	Diagramma tensioni-deformaz.:	Bilineare finito	
	Coeff. Aderenza istant. $\beta_1 \cdot \beta_2$:	1.00	
	Coeff. Aderenza differito $\beta_1 \cdot \beta_2$:	0.50	
Comb.Rare - Sf Limite:	3375.0	daN/cm ²	

CARATTERISTICHE GEOMETRICHE ED ARMATURE SEZIONE

Base:	100.0	cm
Altezza:	30.0	cm
Barre inferiori:	5Ø20	(15.7 cm ²)
Barre superiori:	5Ø20	(15.7 cm ²)
Coprif.Inf.(dal baric. barre):	7.0	cm
Coprif.Sup.(dal baric. barre):	7.0	cm
Coprif.Lat. (dal baric.barre):	5.0	cm

CALCOLO DI RESISTENZA - SFORZI PER OGNI COMBINAZIONE ASSEGNATA

N	Sforzo normale [daN] applicato nel baricentro (posit. se di compress.)
Mx	Momento flettente [daNm] intorno all'asse x baric. della sezione con verso positivo se tale da comprimere il lembo sup. della sezione
Vy	Taglio [daN] in direzione parallela all'asse y baric. della sezione

MT	Momento torcente [daN m]			
N°Comb.	N	Mx	Vy	MT
1	0	3500	0	0

COMB. RARE (S.L.E.) - SFORZI PER OGNI COMBINAZIONE ASSEGNATA

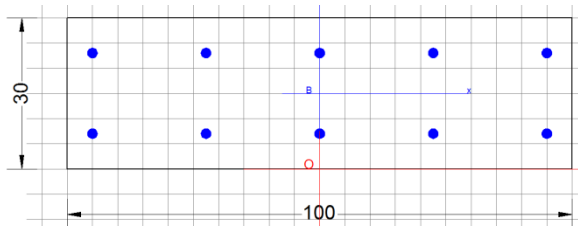
N	Sforzo normale [daN] applicato nel baricentro (positivo se di compress.)		
Mx	Coppia [daNm] applicata all'asse x baricentrico (tra parentesi il Momento di fessurazione) con verso positivo se tale da comprimere il lembo superiore della sezione		
N°Comb.	N	Mx	
1	0	2800	

COMB. FREQUENTI (S.L.E.) - SFORZI PER OGNI COMBINAZIONE ASSEGNATA

N	Sforzo normale [daN] applicato nel baricentro (positivo se di compress.)		
Mx	Coppia [daNm] applicata all'asse x baricentrico (tra parentesi il Momento di fessurazione) con verso positivo se tale da comprimere il lembo superiore della sezione		
N°Comb.	N	Mx	
1	0	2200 (5142)	

COMB. QUASI PERMANENTI (S.L.E.) - SFORZI PER OGNI COMBINAZIONE ASSEGNATA

N	Sforzo normale [daN] applicato nel baricentro (positivo se di compress.)		
Mx	Coppia [daNm] applicata all'asse x baricentrico (tra parentesi il Momento di fessurazione) con verso positivo se tale da comprimere il lembo superiore della sezione		
N°Comb.	N	Mx	
1	0	200 (5142)	



RISULTATI DEL CALCOLO

Sezione verificata

Copriferro netto minimo barre longitudinali: 4.0 cm
 Interferro netto minimo barre longitudinali: 14.0 cm

VERIFICHE DI RESISTENZA IN PRESSO-TENSO FLESSIONE ALLO STATO LIMITE ULTIMO

Ver S = combinazione verificata / N = combin. non verificata
 N Sforzo normale [daN] applicato nel Baricentro (positivo se di compressione)
 Mx Momento flettente assegnato [daNm] riferito all'asse x baricentrico
 N Ult Sforzo normale ultimo [daN] nella sezione (positivo se di compress.)
 Mx rd Momento flettente ultimo [daNm] riferito all'asse x baricentrico
 Mis.Sic. Misura sicurezza = rapporto vettoriale tra (N rd, Mx rd) e (N, Mx)

Viadotto NW01
 Relazione di calcolo impalcato

COMMESSA	LOTTO	CODIFICA	DOCUMENTO	REV.	FOGLIO
RS3H	02	D 78	CL NW0108 001	A	171 di 186

Yn Verifica positiva se tale rapporto risulta ≥ 1.000
 Ordinata [cm] dell'asse neutro alla massima resistenza nel sistema di rif. X,Y,O sez.
 x/d Rapp. di duttilità (travi e solette)[§ 4.1.2.1.2.1 NTC]: deve essere < 0.45
 C.Rid. Coeff. di riduz. momenti in travi continue [formula (4.1.1)NTC]
 As Tesa Area armature long. trave [cm²] in zona tesa. (tra parentesi l'area minima di normativa)

N°Comb	Ver	N	Mx	N rd	Mx rd	Mis.Sic.	Yn	x/d	C.Rid.	As Tesa
1	S	0	3500	-22	13727	3.922	24.2	0.25	0.75	31.4 (4.0)

DEFORMAZIONI UNITARIE ALLO STATO LIMITE ULTIMO

ec max Deform. unit. massima del conglomerato a compressione
 Yc max Ordinata in cm della fibra corrisp. a ec max (sistema rif. X,Y,O sez.)
 es min Deform. unit. minima nell'acciaio (negativa se di trazione)
 Ys min Ordinata in cm della barra corrisp. a es min (sistema rif. X,Y,O sez.)
 es max Deform. unit. massima nell'acciaio (positiva se di compressione)
 Ys max Ordinata in cm della barra corrisp. a es max (sistema rif. X,Y,O sez.)

N°Comb	ec max	Yc max	es min	Ys min	es max	Ys max
1	0.00350	30.0	-0.00074	23.0	-0.01043	7.0

COMBINAZIONI RARE IN ESERCIZIO - VERIFICA MASSIME TENSIONI NORMALI

Ver S = combinazione verificata / N = combin. non verificata
 Sc max Massima tensione di compress.(+) nel conglom. in fase fessurata [(daN/cm²)
 Ordinata in cm della fibra corrisp. a Sc max (sistema rif. X,Y,O)
 Yc max Ordinata in cm della fibra corrisp. a Sc max (sistema rif. X,Y,O)
 Sc min Minima tensione di compress.(+) nel conglom. in fase fessurata [(daN/cm²)
 Ordinata in cm della fibra corrisp. a Sc min (sistema rif. X,Y,O)
 Yc min Ordinata in cm della fibra corrisp. a Sc min (sistema rif. X,Y,O)
 Sf min Minima tensione di trazione (-) nell'acciaio [daN/cm²)
 Ys min Ordinata in cm della barra corrisp. a Sf min (sistema rif. X,Y,O)
 Dw Eff. Spessore di conglomerato [cm] in zona tesa considerata aderente alle barre
 Ac eff. Area di congl. [cm²] in zona tesa aderente alle barre (verifica fess.)
 As eff. Area Barre tese di acciaio [cm²] ricadente nell'area efficace(verifica fess.)
 D barre Distanza in cm tra le barre tese efficaci.
 (D barre = 0 indica spaziatura superiore a $5(c+\varnothing/2)$ e nel calcolo di fess. si usa la (C4.1.11)NTC/(7.14)EC2)

N°Comb	Ver	Sc max	Yc max	Sc min	Yc min	Sf min	Ys min	Dw Eff.	Ac Eff.	As Eff.	D barre
1	S	32.2	30.0	0.0	21.9	-891	23.0	7.3	731	15.7	21.5

COMBINAZIONI RARE IN ESERCIZIO - VERIFICA APERTURA FESSURE (NTC/EC2)

Ver Esito verifica
 e1 Minima deformazione unitaria (trazione: segno -) nel calcestruzzo in sez. fessurata
 e2 Massima deformazione unitaria (compress.: segno +) nel calcestruzzo in sez. fessurata
 K2 = 0.5 per flessione; $=(e1 + e2)/(2*e2)$ in trazione eccentrica per la (7.13)EC2 e la (C4.1.11)NTC
 Kt fattore di durata del carico di cui alla (7.9) dell'EC2
 e sm Deformazione media acciaio tra le fessure al netto di quella del cls. Tra parentesi il valore minimo = 0.6 Ss/Es
 srm Distanza massima in mm tra le fessure
 wk Apertura delle fessure in mm fornito dalla (7.8)EC2 e dalla (C4.1.7)NTC. Tra parentesi è indicato il valore limite.
 M fess. Momento di prima fessurazione [daNm]

N°Comb	Ver	e1	e2	K2	Kt	e sm	srm	wk	M Fess.
1	S	-0.00065	0.00024	0.50	0.60	0.000267 (0.000267)	362	0.097 (0.20)	5142

COMBINAZIONI FREQUENTI IN ESERCIZIO - VERIFICA MASSIME TENSIONI NORMALI

N°Comb	Ver	Sc max	Yc max	Sc min	Yc min	Sf min	Ys min	Dw Eff.	Ac Eff.	As Eff.	D barre
1	S	25.3	30.0	0.0	21.9	-700	23.0	7.3	731	15.7	21.5

COMBINAZIONI FREQUENTI IN ESERCIZIO - VERIFICA APERTURA FESSURE (NTC/EC2)

N°Comb	Ver	e1	e2	K2	Kt	e sm	srm	wk	M Fess.
1	S	-0.00051	0.00019	0.50	0.60	0.000210 (0.000210)	362	0.076 (0.30)	5142

COMBINAZIONI QUASI PERMANENTI IN ESERCIZIO - VERIFICA MASSIME TENSIONI NORMALI

N°Comb	Ver	Sc max	Yc max	Sc min	Yc min	Sf min	Ys min	Dw Eff.	Ac Eff.	As Eff.	D barre
1	S	2.3	30.0	0.0	21.9	-64	23.0	7.3	731	15.7	21.5

COMBINAZIONI QUASI PERMANENTI IN ESERCIZIO - VERIFICA APERTURA FESSURE (NTC/EC2)

N°Comb	Ver	e1	e2	K2	Kt	e sm	srm	wk	M Fess.
1	S	-0.00005	0.00002	0.50	0.40	0.000019 (0.000019)	362	0.007 (0.20)	5142

13.5.1.4 Verifica a flessione - M11
DATI GENERALI SEZIONE RETTANGOLARE DI PILASTRO IN C.A.
NOME SEZIONE: soletta 30 M11

Descrizione Sezione:	Stati Limite Ultimi
Metodo di calcolo resistenza:	N.T.C.
Normativa di riferimento:	Sezione predefinita di trave (solette, nervature solai) senza staffe
Tipologia sezione:	Rettangolare
Forma della sezione:	A Sforzo Norm. costante
Percorso sollecitazione:	Poco aggressive
Condizioni Ambientali:	Assi x,y principali d'inerzia
Riferimento Sforzi assegnati:	Zona non sismica
Riferimento alla sismicità:	

CARATTERISTICHE DI RESISTENZA DEI MATERIALI IMPIEGATI

CALCESTRUZZO -	Classe:	C32/40
	Resistenza compress. di progetto fcd:	181.30 daN/cm ²
	Deform. unitaria max resistenza ec2:	0.0020
	Deformazione unitaria ultima ecu:	0.0035
	Diagramma tensioni-deformaz.:	Parabola-Rettangolo
	Modulo Elastico Normale Ec:	333458 daN/cm ²
	Resis. media a trazione fctm:	30.23 daN/cm ²
	Coeff.Omogen. S.L.E.:	15.00
	Sc limite S.L.E. comb. Rare:	176.00 daN/cm ²
	Sc limite S.L.E. comb. Frequenti:	192.00 daN/cm ²
	Ap.Fessure limite S.L.E. comb. Frequenti:	0.400 mm
	Sc limite S.L.E. comb. Q.Permanenti:	128.00 daN/cm ²
	Ap.Fess.limite S.L.E. comb. Q.Perm.:	0.300 mm
ACCIAIO -	Tipo:	B450C

Resist. caratt. a snervamento fyk:	4500.0	daN/cm ²
Resist. caratt. a rottura ftk:	4500.0	daN/cm ²
Resist. a snerv. di progetto fyd:	3913.0	daN/cm ²
Resist. ultima di progetto ftd:	3913.0	daN/cm ²
Deform. ultima di progetto Epu:	0.068	
Modulo Elastico Ef:	2000000	daN/cm ²
Diagramma tensioni-deformaz.:	Bilineare finito	
Coeff. Aderenza istant. $\beta_1 \cdot \beta_2$:	1.00	
Coeff. Aderenza differito $\beta_1 \cdot \beta_2$:	0.50	
Comb.Rare - Sf Limite:	3375.0	daN/cm ²

CARATTERISTICHE GEOMETRICHE ED ARMATURE SEZIONE

Base:	100.0	cm
Altezza:	30.0	cm
Barre inferiori:	5Ø20	(15.7 cm ²)
Barre superiori:	5Ø20	(15.7 cm ²)
Coprif.Inf.(dal baric. barre):	7.0	cm
Coprif.Sup.(dal baric. barre):	7.0	cm
Coprif.Lat. (dal baric.barre):	5.0	cm

CALCOLO DI RESISTENZA - SFORZI PER OGNI COMBINAZIONE ASSEGNATA

N	Sforzo normale [daN] applicato nel baricentro (posit. se di compress.)
Mx	Momento flettente [daNm] intorno all'asse x baric. della sezione con verso positivo se tale da comprimere il lembo sup. della sezione
Vy	Taglio [daN] in direzione parallela all'asse y baric. della sezione
MT	Momento torcente [daN m]

N°Comb.	N	Mx	Vy	MT
1	0	2640	0	0

COMB. RARE (S.L.E.) - SFORZI PER OGNI COMBINAZIONE ASSEGNATA

N	Sforzo normale [daN] applicato nel baricentro (positivo se di compress.)
Mx	Coppia [daNm] applicata all'asse x baricentrico (tra parentesi il Momento di fessurazione) con verso positivo se tale da comprimere il lembo superiore della sezione

N°Comb.	N	Mx
1	0	1980

COMB. FREQUENTI (S.L.E.) - SFORZI PER OGNI COMBINAZIONE ASSEGNATA

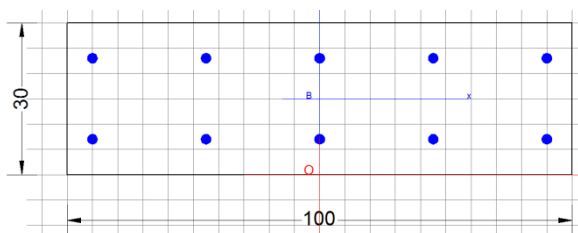
N	Sforzo normale [daN] applicato nel baricentro (positivo se di compress.)
Mx	Coppia [daNm] applicata all'asse x baricentrico (tra parentesi il Momento di fessurazione) con verso positivo se tale da comprimere il lembo superiore della sezione

N°Comb.	N	Mx
1	0	1540 (5142)

COMB. QUASI PERMANENTI (S.L.E.) - SFORZI PER OGNI COMBINAZIONE ASSEGNATA

N	Sforzo normale [daN] applicato nel baricentro (positivo se di compress.)
Mx	Coppia [daNm] applicata all'asse x baricentrico (tra parentesi il Momento di fessurazione) con verso positivo se tale da comprimere il lembo superiore della sezione

N°Comb.	N	Mx
1	0	135 (5142)



RISULTATI DEL CALCOLO

Sezione verificata

Copriferro netto minimo barre longitudinali:	4.0	cm
Interferro netto minimo barre longitudinali:	14.0	cm

VERIFICHE DI RESISTENZA IN PRESSO-TENSO FLESSIONE ALLO STATO LIMITE ULTIMO

Ver	S = combinazione verificata / N = combin. non verificata
N	Sforzo normale [daN] applicato nel Baricentro (positivo se di compressione)
Mx	Momento flettente assegnato [daNm] riferito all'asse x baricentrico
N Ult	Sforzo normale ultimo [daN] nella sezione (positivo se di compress.)
Mx rd	Momento flettente ultimo [daNm] riferito all'asse x baricentrico
Mis.Sic.	Misura sicurezza = rapporto vettoriale tra (N rd, Mx rd) e (N, Mx) Verifica positiva se tale rapporto risulta ≥ 1.000
Yn	Ordinata [cm] dell'asse neutro alla massima resistenza nel sistema di rif. X,Y,O sez.
x/d	Rapp. di duttilità (travi e solette) [§ 4.1.2.1.2.1 NTC]: deve essere < 0.45
C.Rid.	Coeff. di riduz. momenti in travi continue [formula (4.1.1) NTC]
As Tesa	Area armature long. trave [cm ²] in zona tesa. (tra parentesi l'area minima di normativa)

N°Comb	Ver	N	Mx	N rd	Mx rd	Mis.Sic.	Yn	x/d	C.Rid.	As Tesa
1	S	0	2640	-22	13727	5.200	24.2	0.25	0.75	31.4 (4.0)

DEFORMAZIONI UNITARIE ALLO STATO LIMITE ULTIMO

ec max	Deform. unit. massima del conglomerato a compressione
Yc max	Ordinata in cm della fibra corrisp. a ec max (sistema rif. X,Y,O sez.)
es min	Deform. unit. minima nell'acciaio (negativa se di trazione)
Ys min	Ordinata in cm della barra corrisp. a es min (sistema rif. X,Y,O sez.)
es max	Deform. unit. massima nell'acciaio (positiva se di compressione)
Ys max	Ordinata in cm della barra corrisp. a es max (sistema rif. X,Y,O sez.)

N°Comb	ec max	Yc max	es min	Ys min	es max	Ys max
1	0.00350	30.0	-0.00074	23.0	-0.01043	7.0

COMBINAZIONI RARE IN ESERCIZIO - VERIFICA MASSIME TENSIONI NORMALI

Ver	S = combinazione verificata / N = combin. non verificata
Sc max	Massima tensione di compress. (+) nel conglom. in fase fessurata [(daN/cm ²)]
Yc max	Ordinata in cm della fibra corrisp. a Sc max (sistema rif. X,Y,O)

Viadotto NW01
 Relazione di calcolo impalcato

COMMESSA	LOTTO	CODIFICA	DOCUMENTO	REV.	FOGLIO
RS3H	02	D 78	CL NW0108 001	A	175 di 186

Sc min Minima tensione di compress.(+) nel conglom. in fase fessurata [(daN/cm²)
 Yc min Ordinata in cm della fibra corrisp. a Sc min (sistema rif. X,Y,O)
 Sf min Minima tensione di trazione (-) nell'acciaio [daN/cm²)
 Ys min Ordinata in cm della barra corrisp. a Sf min (sistema rif. X,Y,O)
 Dw Eff. Spessore di conglomerato [cm] in zona tesa considerata aderente alle barre
 Ac eff. Area di congl. [cm²] in zona tesa aderente alle barre (verifica fess.)
 As eff. Area Barre tese di acciaio [cm²] ricadente nell'area efficace(verifica fess.)
 D barre Distanza in cm tra le barre tese efficaci.
 (D barre = 0 indica spaziatura superiore a 5(c+Ø/2) e nel calcolo di fess. si usa la (C4.1.11)NTC/(7.14)EC2)

N°Comb	Ver	Sc max	Yc max	Sc min	Yc min	Sf min	Ys min	Dw Eff.	Ac Eff.	As Eff.	D barre
1	S	22.7	30.0	0.0	21.9	-630	23.0	7.3	731	15.7	21.5

COMBINAZIONI RARE IN ESERCIZIO - VERIFICA APERTURA FESSURE (NTC/EC2)

Ver Esito verifica
 e1 Minima deformazione unitaria (trazione: segno -) nel calcestruzzo in sez. fessurata
 e2 Massima deformazione unitaria (compress.: segno +) nel calcestruzzo in sez. fessurata
 K2 = 0.5 per flessione; =(e1 + e2)/(2*e2)in trazione eccentrica per la (7.13)EC2 e la (C4.1.11)NTC
 Kt fattore di durata del carico di cui alla (7.9) dell'EC2
 e sm Deformazione media acciaio tra le fessure al netto di quella del cls. Tra parentesi il valore minimo = 0.6 Ss/Es
 srm Distanza massima in mm tra le fessure
 wk Apertura delle fessure in mm fornito dalla (7.8)EC2 e dalla (C4.1.7)NTC. Tra parentesi è indicato il valore limite.
 M fess. Momento di prima fessurazione [daNm]

N°Comb	Ver	e1	e2	K2	Kt	e sm	srm	wk	M Fess.
1	S	-0.00046	0.00017	0.50	0.60	0.000189 (0.000189)	362	0.068 (0.20)	5142

COMBINAZIONI FREQUENTI IN ESERCIZIO - VERIFICA MASSIME TENSIONI NORMALI

N°Comb	Ver	Sc max	Yc max	Sc min	Yc min	Sf min	Ys min	Dw Eff.	Ac Eff.	As Eff.	D barre
1	S	17.7	30.0	0.0	21.9	-490	23.0	7.3	731	15.7	21.5

COMBINAZIONI FREQUENTI IN ESERCIZIO - VERIFICA APERTURA FESSURE (NTC/EC2)

N°Comb	Ver	e1	e2	K2	Kt	e sm	srm	wk	M Fess.
1	S	-0.00036	0.00013	0.50	0.60	0.000147 (0.000147)	362	0.053 (0.40)	5142

COMBINAZIONI QUASI PERMANENTI IN ESERCIZIO - VERIFICA MASSIME TENSIONI NORMALI

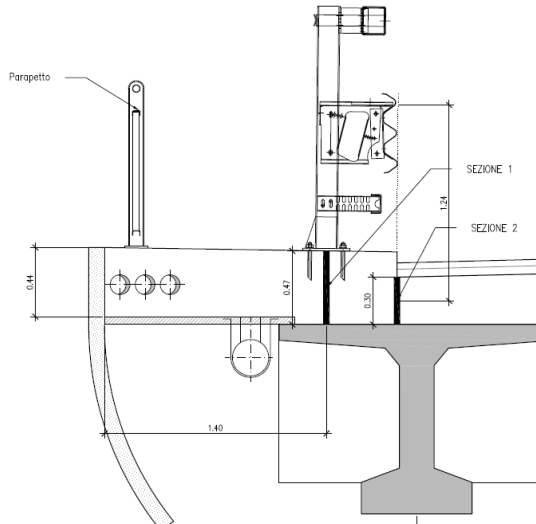
N°Comb	Ver	Sc max	Yc max	Sc min	Yc min	Sf min	Ys min	Dw Eff.	Ac Eff.	As Eff.	D barre
1	S	1.6	30.0	0.0	21.9	-43	23.0	7.3	731	15.7	21.5

COMBINAZIONI QUASI PERMANENTI IN ESERCIZIO - VERIFICA APERTURA FESSURE (NTC/EC2)

N°Comb	Ver	e1	e2	K2	Kt	e sm	srm	wk	M Fess.
1	S	-0.00003	0.00001	0.50	0.40	0.000013 (0.000013)	362	0.005 (0.30)	5142

13.6 Verifica Sbalzo

Per la verifica sullo sbalzo laterale si considerano due sezioni SEZIONE 1 e SEZIONE 2



SEZIONE 1 : si considera lo schema di trave incastrata in corrispondenza dell'asse della barriera di sicurezza.

Luce $L=1,40$ m

Permanenti:

-	Peso proprio	$25 \times 0.44 \times 1.0 = 11.0$ KN/m
- -	Barriera	2.0 kN/m
- -	Veletta	$25 \times 0.1864 = 4.7$ kN/m
- -	Parapetto	1.0 kN/m
- -	Impianti	1.0 kN/m

Accidentali

-	Folla	$5.0 \times 1.0 = 5.0$ KN/m
---	-------	-----------------------------

In ragione della geometria dell'impalcato si può assumere che l'urto del veicolo in svio non interessi lo sbalzo laterale.

I carichi puntuali della veletta e del parapetto si considerano applicati all'estremità dello sbalzo mentre la barriera e gli impianti si considerano applicati in mezzzeria dello sbalzo.

Peso proprio =	11	KN/m	γ_{pp} =	1.35
Barriera=	2	KN/m	γ_{perm} =	1.5
Veletta =	4.7	KN/m	γ_{acc} =	1.5
Parapetto =	1	KN/m	L=	1.98 m
Impianti =	1	KN/m		
Folla =	5	KN/m		
SLU				
M=	-65.19	KNm/m		
T=	40.38	KN/m		
SLE				
M=	-45.62	KNm/m		

Si dispone armatura trasversale costituita da $\varnothing 20/20$ in zona tesa ed in zona compressa.

Verifica a flessione

DATI GENERALI SEZIONE RETTANGOLARE DI PILASTRO IN C.A.

NOME SEZIONE: soletta sbalzo

Descrizione Sezione:

Metodo di calcolo resistenza:

Normativa di riferimento:

Tipologia sezione:

Forma della sezione:

Percorso sollecitazione:

Condizioni Ambientali:

Riferimento Sforzi assegnati:

Riferimento alla sismicit :

Stati Limite Ultimi

N.T.C.

Sezione predefinita di trave (solette, nervature solai) senza staffe

Rettangolare

A Sforzo Norm. costante

Moderat. aggressive

Assi x,y principali d'inerzia

Zona non sismica

CARATTERISTICHE DI RESISTENZA DEI MATERIALI IMPIEGATI

CALCESTRUZZO -	Classe:	C32/40	
	Resistenza compress. di progetto fcd:	181.30	daN/cm ²
	Deform. unitaria max resistenza ec2:	0.0020	
	Deformazione unitaria ultima ecu:	0.0035	
	Diagramma tensioni-deformaz.:	Parabola-Rettangolo	
	Modulo Elastico Normale Ec:	333458	daN/cm ²
	Resis. media a trazione fctm:	30.23	daN/cm ²
	Coeff.Omogen. S.L.E.:	15.00	
	Sc limite S.L.E. comb. Rare:	176.00	daN/cm ²
	Sc limite S.L.E. comb. Frequenti:	192.00	daN/cm ²
	Ap.Fessure limite S.L.E. comb. Frequenti:	0.300	mm
	Sc limite S.L.E. comb. Q.Permanenti:	128.00	daN/cm ²
	Ap.Fess.limite S.L.E. comb. Q.Perm.:	0.200	mm
ACCIAIO -	Tipo:	B450C	
	Resist. caratt. a snervamento fyk:	4500.0	daN/cm ²
	Resist. caratt. a rottura ftk:	4500.0	daN/cm ²
	Resist. a snerv. di progetto fyd:	3913.0	daN/cm ²
	Resist. ultima di progetto ftd:	3913.0	daN/cm ²
	Deform. ultima di progetto Epu:	0.068	
	Modulo Elastico Ef:	2000000	daN/cm ²
	Diagramma tensioni-deformaz.:	Bilineare finito	
	Coeff. Aderenza istant. $\beta_1 \beta_2$:	1.00	

Coeff. Aderenza differito $\beta_1 \cdot \beta_2$: 0.50
Comb.Rare - Sf Limite: 3375.0 daN/cm²

CARATTERISTICHE GEOMETRICHE ED ARMATURE SEZIONE

Base:	100.0	cm
Altezza:	30.0	cm
Barre inferiori:	5Ø20	(15.7 cm ²)
Barre superiori:	5Ø20	(15.7 cm ²)
Coprif.Inf.(dal baric. barre):	7.0	cm
Coprif.Sup.(dal baric. barre):	7.0	cm
Coprif.Lat. (dal baric.barre):	5.0	cm

CALCOLO DI RESISTENZA - SFORZI PER OGNI COMBINAZIONE ASSEGNATA

N	Sforzo normale [daN] applicato nel baricentro (posit. se di compress.)
Mx	Momento flettente [daNm] intorno all'asse x baric. della sezione con verso positivo se tale da comprimere il lembo sup. della sezione
Vy	Taglio [daN] in direzione parallela all'asse y baric. della sezione
MT	Momento torcente [daN m]

N°Comb.	N	Mx	Vy	MT
1	0	-6519	0	0

COMB. RARE (S.L.E.) - SFORZI PER OGNI COMBINAZIONE ASSEGNATA

N	Sforzo normale [daN] applicato nel baricentro (positivo se di compress.)
Mx	Coppia [daNm] applicata all'asse x baricentrico (tra parentesi il Momento di fessurazione) con verso positivo se tale da comprimere il lembo superiore della sezione

N°Comb.	N	Mx
1	0	-4562

COMB. FREQUENTI (S.L.E.) - SFORZI PER OGNI COMBINAZIONE ASSEGNATA

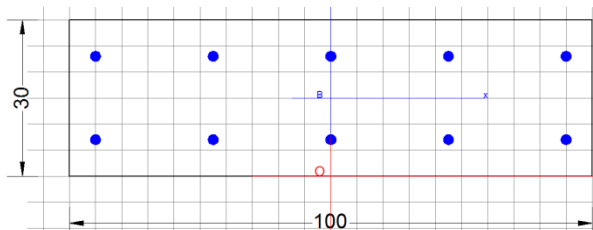
N	Sforzo normale [daN] applicato nel baricentro (positivo se di compress.)
Mx	Coppia [daNm] applicata all'asse x baricentrico (tra parentesi il Momento di fessurazione) con verso positivo se tale da comprimere il lembo superiore della sezione

N°Comb.	N	Mx
1	0	-4562 (-5142)

COMB. QUASI PERMANENTI (S.L.E.) - SFORZI PER OGNI COMBINAZIONE ASSEGNATA

N	Sforzo normale [daN] applicato nel baricentro (positivo se di compress.)
Mx	Coppia [daNm] applicata all'asse x baricentrico (tra parentesi il Momento di fessurazione) con verso positivo se tale da comprimere il lembo superiore della sezione

N°Comb.	N	Mx
1	0	-4562 (-5142)



RISULTATI DEL CALCOLO

Sezione verificata

Copriferro netto minimo barre longitudinali: 4.0 cm
Interferro netto minimo barre longitudinali: 14.0 cm

VERIFICHE DI RESISTENZA IN PRESSO-TENSO FLESSIONE ALLO STATO LIMITE ULTIMO

Ver S = combinazione verificata / N = combin. non verificata
N Sforzo normale [daN] applicato nel Baricentro (positivo se di compressione)
Mx Momento flettente assegnato [daNm] riferito all'asse x baricentrico
N Ult Sforzo normale ultimo [daN] nella sezione (positivo se di compress.)
Mx rd Momento flettente ultimo [daNm] riferito all'asse x baricentrico
Mis.Sic. Misura sicurezza = rapporto vettoriale tra (N rd, Mx rd) e (N, Mx)
Verifica positiva se tale rapporto risulta ≥ 1.000
Yn Ordinata [cm] dell'asse neutro alla massima resistenza nel sistema di rif. X, Y, O sez.
x/d Rapp. di duttilità (travi e solette) [§ 4.1.2.1.2.1 NTC]: deve essere < 0.45
C.Rid. Coeff. di riduz. momenti in travi continue [formula (4.1.1) NTC]
As Tesa Area armature long. trave [cm²] in zona tesa. (tra parentesi l'area minima di normativa)

N°Comb	Ver	N	Mx	N rd	Mx rd	Mis.Sic.	Yn	x/d	C.Rid.	As Tesa
1	S	0	-6519	-22	-13727	2.106	5.8	0.25	0.75	31.4 (4.0)

DEFORMAZIONI UNITARIE ALLO STATO LIMITE ULTIMO

ec max Deform. unit. massima del conglomerato a compressione
Yc max Ordinata in cm della fibra corrisp. a ec max (sistema rif. X, Y, O sez.)
es min Deform. unit. minima nell'acciaio (negativa se di trazione)
Ys min Ordinata in cm della barra corrisp. a es min (sistema rif. X, Y, O sez.)
es max Deform. unit. massima nell'acciaio (positiva se di compressione)
Ys max Ordinata in cm della barra corrisp. a es max (sistema rif. X, Y, O sez.)

N°Comb	ec max	Yc max	es min	Ys min	es max	Ys max
1	0.00350	0.0	-0.00074	7.0	-0.01043	23.0

COMBINAZIONI RARE IN ESERCIZIO - VERIFICA MASSIME TENSIONI NORMALI

Ver S = combinazione verificata / N = combin. non verificata
Sc max Massima tensione di compress.(+) nel conglom. in fase fessurata [(daN/cm²)
Yc max Ordinata in cm della fibra corrisp. a Sc max (sistema rif. X, Y, O)
Sc min Minima tensione di compress.(+) nel conglom. in fase fessurata [(daN/cm²)
Yc min Ordinata in cm della fibra corrisp. a Sc min (sistema rif. X, Y, O)
Sf min Minima tensione di trazione (-) nell'acciaio [daN/cm²)
Ys min Ordinata in cm della barra corrisp. a Sf min (sistema rif. X, Y, O)
Dw Eff. Spessore di conglomerato [cm] in zona tesa considerata aderente alle barre
Ac eff. Area di congl. [cm²] in zona tesa aderente alle barre (verifica fess.)
As eff. Area Barre tese di acciaio [cm²] ricadente nell'area efficace (verifica fess.)
D barre Distanza in cm tra le barre tese efficaci.
(D barre = 0 indica spaziatura superiore a $5(c+\emptyset/2)$ e nel calcolo di fess. si usa la (C4.1.11)NTC/(7.14)EC2)

Viadotto NW01
 Relazione di calcolo impalcato

COMMESSA	LOTTO	CODIFICA	DOCUMENTO	REV.	FOGLIO
RS3H	02	D 78	CL NW0108 001	A	180 di 186

N°Comb	Ver	Sc max	Yc max	Sc min	Yc min	Sf min	Ys min	Dw Eff.	Ac Eff.	As Eff.	D barre
1	S	52.4	0.0	0.0	8.1	-1452	7.0	7.3	731	15.7	21.5

COMBINAZIONI RARE IN ESERCIZIO - VERIFICA APERTURA FESSURE (NTC/EC2)

Ver	Esito verifica
e1	Minima deformazione unitaria (trazione: segno -) nel calcestruzzo in sez. fessurata
e2	Massima deformazione unitaria (compress.: segno +) nel calcestruzzo in sez. fessurata
K2	= 0.5 per flessione; $=(e1 + e2)/(2 \cdot e2)$ in trazione eccentrica per la (7.13)EC2 e la (C4.1.11)NTC
Kt	fattore di durata del carico di cui alla (7.9) dell'EC2
e sm	Deformazione media acciaio tra le fessure al netto di quella del cls. Tra parentesi il valore minimo = 0.6 Ss/Es
srm	Distanza massima in mm tra le fessure
wk	Apertura delle fessure in mm fornito dalla (7.8)EC2 e dalla (C4.1.7)NTC. Tra parentesi è indicato il valore limite.
M fess.	Momento di prima fessurazione [daNm]

N°Comb	Ver	e1	e2	K2	Kt	e sm	srm	wk	M Fess.
1	S	-0.00107	0.00039	0.50	0.60	0.000436 (0.000436)	362	0.158 (0.20)	-5142

COMBINAZIONI FREQUENTI IN ESERCIZIO - VERIFICA MASSIME TENSIONI NORMALI

N°Comb	Ver	Sc max	Yc max	Sc min	Yc min	Sf min	Ys min	Dw Eff.	Ac Eff.	As Eff.	D barre
1	S	52.4	0.0	0.0	8.1	-1452	7.0	7.3	731	15.7	21.5

COMBINAZIONI FREQUENTI IN ESERCIZIO - VERIFICA APERTURA FESSURE (NTC/EC2)

N°Comb	Ver	e1	e2	K2	Kt	e sm	srm	wk	M Fess.
1	S	-0.00107	0.00039	0.50	0.60	0.000436 (0.000436)	362	0.158 (0.30)	-5142

COMBINAZIONI QUASI PERMANENTI IN ESERCIZIO - VERIFICA MASSIME TENSIONI NORMALI

N°Comb	Ver	Sc max	Yc max	Sc min	Yc min	Sf min	Ys min	Dw Eff.	Ac Eff.	As Eff.	D barre
1	S	52.4	0.0	0.0	8.1	-1452	7.0	7.3	731	15.7	21.5

COMBINAZIONI QUASI PERMANENTI IN ESERCIZIO - VERIFICA APERTURA FESSURE (NTC/EC2)

N°Comb	Ver	e1	e2	K2	Kt	e sm	srm	wk	M Fess.
1	S	-0.00107	0.00039	0.50	0.40	0.000436 (0.000436)	362	0.158 (0.20)	-5142

Verifica a taglio

Ver

È consentito impiegare arredi, piastre e membrature a comportamento anelastico, e provviste di armature trasversali resistenti a taglio. La resistenza a taglio V_{Rd} di tali elementi deve essere valutata, utilizzando formule di comprovata affidabilità, sulla base della resistenza a trazione del cls.

Sollecitazioni Agenti:	V_{Ed}	40.38 kN	
	N_{Ed}	0 kN	
Calcestruzzo	R_{ck}	40 N/mm ²	
	f_{ck}	33.2 N/mm ²	
Resistenza di calcolo a compressione del calcestruzzo	f_{cd}	18.81 N/mm ²	
Coefficiente parziale di sicurezza relativo al calcestruzzo	γ_c	1.5	
Altezza sezione	h	300 mm	
Copriferro	c	70 mm	
Larghezza minima della sezione (in mm)	b_w	1000 mm	
Altezza utile della sezione (in mm)	d	230 mm	
Area Calcestruzzo	A_c	300000 mm ²	
Armatura longitudinale tesa	n	5	
	\emptyset	20 mm	
	A_{sl}	1570 mm ²	
Rapporto geometrico di armatura longitudinale	ρ_1	0.0068 ≤ 0.02	ok
Tensione media di compressione nella sezione	σ_{cp}	0.0000 ≤ 0.2 f_{cd}	ok
$k = 1 + (200/d)^{1/2} \leq 2$	k	1.93 ≤ 2	ok
	v_{min}	0.31	
	V_{Rd}	150.94 kN	
Verifica:	$V_{Rd} > V_{Ed}$	VERIFICATA	

SEZIONE 2 : si considera lo schema di trave incastrata con agente il momento flettente derivante dall'utro sulla barriera di sicurezza.

$$M = -F \cdot b/L = -100 \cdot 1.24/20.40 = -6.08 \text{ KNm/m}$$

DATI GENERALI SEZIONE RETTANGOLARE DI PILASTRO IN C.A.

NOME SEZIONE: soletta sbalzo - sez 2

Descrizione Sezione:	
Metodo di calcolo resistenza:	Stati Limite Ultimi
Normativa di riferimento:	N.T.C.
Tipologia sezione:	Sezione predefinita di trave (solette, nervature solai) senza staffe
Forma della sezione:	Rettangolare
Percorso sollecitazione:	A Sforzo Norm. costante
Condizioni Ambientali:	Moderat. aggressive
Riferimento Sforzi assegnati:	Assi x,y principali d'inerzia
Riferimento alla sismicità:	Zona non sismica

CARATTERISTICHE DI RESISTENZA DEI MATERIALI IMPIEGATI

CALCESTRUZZO -	Classe:	C32/40	
	Resistenza compress. di progetto fcd:	181.30	daN/cm ²
	Deform. unitaria max resistenza ec2:	0.0020	
	Deformazione unitaria ultima ecu:	0.0035	
	Diagramma tensioni-deformaz.:	Parabola-Rettangolo	
	Modulo Elastico Normale Ec:	333458	daN/cm ²
	Resis. media a trazione fctm:	30.23	daN/cm ²
	Coeff.Omogen. S.L.E.:	15.00	
	Sc limite S.L.E. comb. Rare:	176.00	daN/cm ²
	Sc limite S.L.E. comb. Frequenti:	192.00	daN/cm ²
	Ap.Fessure limite S.L.E. comb. Frequenti:	0.300	mm
	Sc limite S.L.E. comb. Q.Permanenti:	128.00	daN/cm ²
Ap.Fess.limite S.L.E. comb. Q.Perm.:	0.200	mm	
ACCIAIO -	Tipo:	B450C	
	Resist. caratt. a snervamento fyk:	4500.0	daN/cm ²
	Resist. caratt. a rottura ftk:	4500.0	daN/cm ²
	Resist. a snerv. di progetto fyd:	3913.0	daN/cm ²
	Resist. ultima di progetto ftd:	3913.0	daN/cm ²
	Deform. ultima di progetto Epu:	0.068	
	Modulo Elastico Ef:	2000000	daN/cm ²
	Diagramma tensioni-deformaz.:	Bilineare finito	
	Coeff. Aderenza istant. β1*β2:	1.00	
	Coeff. Aderenza differito β1*β2:	0.50	
Comb.Rare - Sf Limite:	3375.0	daN/cm ²	

CARATTERISTICHE GEOMETRICHE ED ARMATURE SEZIONE

Base:	100.0	cm
Altezza:	30.0	cm
Barre inferiori:	5Ø20	(15.7 cm ²)
Barre superiori:	5Ø20	(15.7 cm ²)
Coprif.Inf.(dal baric. barre):	7.0	cm
Coprif.Sup.(dal baric. barre):	7.0	cm
Coprif.Lat. (dal baric.barre):	5.0	cm

CALCOLO DI RESISTENZA - SFORZI PER OGNI COMBINAZIONE ASSEGNATA

N Sforzo normale [daN] applicato nel baricentro (posit. se di compress.)
Mx Momento flettente [daNm] intorno all'asse x baric. della sezione
con verso positivo se tale da comprimere il lembo sup. della sezione
Vy Taglio [daN] in direzione parallela all'asse y baric. della sezione
MT Momento torcente [daN m]

N°Comb.	N	Mx	Vy	MT
1	0	-608	0	0

COMB. RARE (S.L.E.) - SFORZI PER OGNI COMBINAZIONE ASSEGNATA

N Sforzo normale [daN] applicato nel baricentro (positivo se di compress.)
Mx Coppia [daNm] applicata all'asse x baricentrico (tra parentesi il Momento di fessurazione)
con verso positivo se tale da comprimere il lembo superiore della sezione

N°Comb.	N	Mx
1	0	-608

COMB. FREQUENTI (S.L.E.) - SFORZI PER OGNI COMBINAZIONE ASSEGNATA

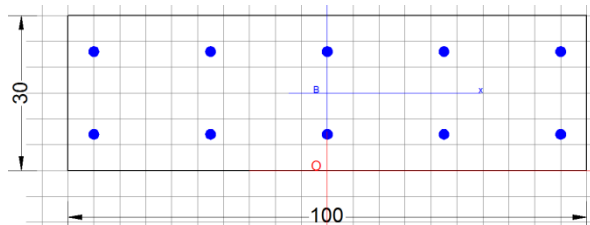
N Sforzo normale [daN] applicato nel baricentro (positivo se di compress.)
Mx Coppia [daNm] applicata all'asse x baricentrico (tra parentesi il Momento di fessurazione)
con verso positivo se tale da comprimere il lembo superiore della sezione

N°Comb.	N	Mx
1	0	-608 (-5142)

COMB. QUASI PERMANENTI (S.L.E.) - SFORZI PER OGNI COMBINAZIONE ASSEGNATA

N Sforzo normale [daN] applicato nel baricentro (positivo se di compress.)
Mx Coppia [daNm] applicata all'asse x baricentrico (tra parentesi il Momento di fessurazione)
con verso positivo se tale da comprimere il lembo superiore della sezione

N°Comb.	N	Mx
1	0	-608 (-5142)



RISULTATI DEL CALCOLO

Sezione verificata

Copriferro netto minimo barre longitudinali: 4.0 cm
Interferro netto minimo barre longitudinali: 14.0 cm

VERIFICHE DI RESISTENZA IN PRESSO-TENSO FLESSIONE ALLO STATO LIMITE ULTIMO

Ver	S = combinazione verificata / N = combin. non verificata
N	Sforzo normale [daN] applicato nel Baricentro (positivo se di compressione)
Mx	Momento flettente assegnato [daNm] riferito all'asse x baricentrico
N Ult	Sforzo normale ultimo [daN] nella sezione (positivo se di compress.)
Mx rd	Momento flettente ultimo [daNm] riferito all'asse x baricentrico
Mis.Sic.	Misura sicurezza = rapporto vettoriale tra (N rd, Mx rd) e (N, Mx) Verifica positiva se tale rapporto risulta ≥ 1.000
Yn	Ordinata [cm] dell'asse neutro alla massima resistenza nel sistema di rif. X,Y,O sez.
x/d	Rapp. di duttilità (travi e solette) [§ 4.1.1.1 NTC]: deve essere < 0.45
C.Rid.	Coeff. di riduz. momenti in travi continue [formula (4.1.1)NTC]
As Tesa	Area armature long. trave [cm ²] in zona tesa. (tra parentesi l'area minima di normativa)

N°Comb	Ver	N	Mx	N rd	Mx rd	Mis.Sic.	Yn	x/d	C.Rid.	As Tesa
1	S	0	-608	-22	-13727	22.578	5.8	0.25	0.75	31.4 (4.0)

DEFORMAZIONI UNITARIE ALLO STATO LIMITE ULTIMO

ec max	Deform. unit. massima del conglomerato a compressione
Yc max	Ordinata in cm della fibra corrisp. a ec max (sistema rif. X,Y,O sez.)
es min	Deform. unit. minima nell'acciaio (negativa se di trazione)
Ys min	Ordinata in cm della barra corrisp. a es min (sistema rif. X,Y,O sez.)
es max	Deform. unit. massima nell'acciaio (positiva se di compressione)
Ys max	Ordinata in cm della barra corrisp. a es max (sistema rif. X,Y,O sez.)

N°Comb	ec max	Yc max	es min	Ys min	es max	Ys max
1	0.00350	0.0	-0.00074	7.0	-0.01043	23.0

COMBINAZIONI RARE IN ESERCIZIO - VERIFICA MASSIME TENSIONI NORMALI

Ver	S = combinazione verificata / N = combin. non verificata
Sc max	Massima tensione di compress.(+) nel conglom. in fase fessurata [(daN/cm ²)]
Yc max	Ordinata in cm della fibra corrisp. a Sc max (sistema rif. X,Y,O)
Sc min	Minima tensione di compress.(+) nel conglom. in fase fessurata [(daN/cm ²)]
Yc min	Ordinata in cm della fibra corrisp. a Sc min (sistema rif. X,Y,O)
Sf min	Minima tensione di trazione (-) nell'acciaio [daN/cm ²]
Ys min	Ordinata in cm della barra corrisp. a Sf min (sistema rif. X,Y,O)
Dw Eff.	Spessore di conglomerato [cm] in zona tesa considerata aderente alle barre
Ac eff.	Area di congl. [cm ²] in zona tesa aderente alle barre (verifica fess.)
As eff.	Area Barre tese di acciaio [cm ²] ricadente nell'area efficace(verifica fess.)
D barre	Distanza in cm tra le barre tese efficaci. (D barre = 0 indica spaziatura superiore a $5(c+\emptyset/2)$ e nel calcolo di fess. si usa la (C4.1.11)NTC/(7.14)EC2)

N°Comb	Ver	Sc max	Yc max	Sc min	Yc min	Sf min	Ys min	Dw Eff.	Ac Eff.	As Eff.	D barre
1	S	7.0	0.0	0.0	8.1	-194	7.0	7.3	731	15.7	21.5

COMBINAZIONI RARE IN ESERCIZIO - VERIFICA APERTURA FESSURE (NTC/EC2)

Ver	Esito verifica
e1	Minima deformazione unitaria (trazione: segno -) nel calcestruzzo in sez. fessurata
e2	Massima deformazione unitaria (compress.: segno +) nel calcestruzzo in sez. fessurata
K2	= 0.5 per flessione; $=(e1 + e2)/(2 \cdot e2)$ in trazione eccentrica per la (7.13)EC2 e la (C4.1.11)NTC
Kt	fattore di durata del carico di cui alla (7.9) dell'EC2
e sm	Deformazione media acciaio tra le fessure al netto di quella del cls. Tra parentesi il valore minimo = $0.6 Ss/Es$
srm	Distanza massima in mm tra le fessure
wk	Apertura delle fessure in mm fornito dalla (7.8)EC2 e dalla (C4.1.7)NTC. Tra parentesi è indicato il valore limite.
M fess.	Momento di prima fessurazione [daNm]

Viadotto NW01
Relazione di calcolo impalcato

COMMESSA	LOTTO	CODIFICA	DOCUMENTO	REV.	FOGLIO
RS3H	02	D 78	CL NW0108 001	A	185 di 186

N°Comb	Ver	e1	e2	K2	Kt	e sm	srm	wk	M Fess.
1	S	-0.00014	0.00005	0.50	0.60	0.000058 (0.000058)	362	0.021 (0.20)	-5142

COMBINAZIONI FREQUENTI IN ESERCIZIO - VERIFICA MASSIME TENSIONI NORMALI

N°Comb	Ver	Sc max	Yc max	Sc min	Yc min	Sf min	Ys min	Dw Eff.	Ac Eff.	As Eff.	D barre
1	S	7.0	0.0	0.0	8.1	-194	7.0	7.3	731	15.7	21.5

COMBINAZIONI FREQUENTI IN ESERCIZIO - VERIFICA APERTURA FESSURE (NTC/EC2)

N°Comb	Ver	e1	e2	K2	Kt	e sm	srm	wk	M Fess.
1	S	-0.00014	0.00005	0.50	0.60	0.000058 (0.000058)	362	0.021 (0.30)	-5142

COMBINAZIONI QUASI PERMANENTI IN ESERCIZIO - VERIFICA MASSIME TENSIONI NORMALI

N°Comb	Ver	Sc max	Yc max	Sc min	Yc min	Sf min	Ys min	Dw Eff.	Ac Eff.	As Eff.	D barre
1	S	7.0	0.0	0.0	8.1	-194	7.0	7.3	731	15.7	21.5

COMBINAZIONI QUASI PERMANENTI IN ESERCIZIO - VERIFICA APERTURA FESSURE (NTC/EC2)

N°Comb	Ver	e1	e2	K2	Kt	e sm	srm	wk	M Fess.
1	S	-0.00014	0.00005	0.50	0.40	0.000058 (0.000058)	362	0.021 (0.20)	-5142

14 VALUTAZIONE ESCURSIONE DEL GIUNTO

Gli spostamenti in corrispondenza dei giunti sono valutati secondo quanto previsto nel punto 2.5.2.1.5.1 delle norme RFI DTC SI PS MA IFS 001 C. Si riporta di seguito il dettaglio del calcolo.

L	=	20400	[mm]	Lunghezza impalcato
α	=	0.00001	[1/°C]	Coefficiente espansione termica
ΔT	=	22.5	[°C]	Variazione termica uniforme
D_t	=	4.59	[mm]	Spostamento dovuto alla variazione termica uniforme
$E_1=2D_t$	=	9.18	[mm]	Spostamento dovuto alla variazione termica uniforme
T_C	=	0.8205	[s]	Periodo corrispondente all'inizio del tratto a velocità costante dello spettro
T_D	=	2.6824	[s]	Periodo corrispondente all'inizio del tratto a spostamento costante dello spettro
S	=	1.45	[-]	Fattore amplificazione stratigrafica suolo (suolo B)
a_g	=	0.27	[g]	Accelerazione sismica di sito
T_1	=	0.04	[s]	Periodo proprio della spalla
q	=	1	[-]	Fattore di struttura per il calcolo delle spalle
μ_d	=	1.000	[-]	Fattore amplificazione spostamento dovuto al sisma
d_{Ee}	=	22	[mm]	Spostamento dovuto al sisma di progetto sulla pila più flessibile (da modello per SLV)
$d_{E\pm}=\pm\mu_d d_{Ee}$	=	22.0	[mm]	Spostamento elastico dovuto al sisma sulla pila più flessibile
$d_{Ed}=d_E$	=	22.0	[mm]	Spostamento relativo elastico dovuto al sisma sulla pila più flessibile
$d_{gi}=0.025x a_g x S x T_C x T_D$	=	211.3	[mm]	Spostamento massimo assoluto del suolo nel punto i
$d_{gj}=0.025x a_g x S x T_C x T_D$	=	211.3	[mm]	Spostamento massimo assoluto del suolo nel punto j
$d_{ij,max}=1.25x(d_{gi}^2+d_{gj}^2)^{0.5}$	=	373.6	[mm]	Spostamento relativo massimo tra i punti i e j
$d_{ij0}=1.25x d_{gi}-d_{gj} $	=	0	[mm]	Spostamento relativo di punti a piccola distanza
v_s	=	156	[m/s]	Velocità onde di taglio
x	=	25	[m]	Distanza tra due pile consecutive
$d_{ij}(x)=d_{ij0}+(d_{ij,max}-d_{ij0})x(1-\exp(-1.25(x/v_s)^{0.7}))$	=	109.5	[mm]	Spostamento relativo tra due pile consecutive
$d_{Eg}=d_{ij}(x)$	=	109.5	[mm]	Spostamento relativo tra due pile consecutive
k_1	=	0.45	[-]	Coefficiente che tiene conto della non contemporaneità dei valori massimi per singolo evento
k_2	=	0.55	[-]	Coefficiente che tiene conto della probabilità di moto in controfase delle pile adiacenti
$E_2=4d_{Ed} k_2$	=	48.4	[mm]	Spostamento dovuto alla risposta della struttura all'azione sismica
$E_3=2 d_{Eg}$	=	219.0	[mm]	Spostamento dovuto all'azione sismica tra le fondazioni di strutture non collegate
$E_1=k_1(E_1+E_2+E_3)$	=	124.5	[mm]	Escursione giunto
E_0	=	9.18	[mm]	Escursione termica
$E_L=\max(E_0;E_1;E_2;E_3)$	=	219.0	[mm]	Escursione giunto
$E_{L,min}=2.3 L/1000+0.073$	=	119.92	[mm]	RFI DTC SI PS MA IFS 001 C (2.5.2.1.5.1)
$E_{Ld}=\max(E_L;E_{L,min})$	=	219.0	[mm]	
$\pm(E_L/2+10 \text{ mm})$	=	120	[mm]	Escursione giunto
$\max(\pm(E_L/2+15 \text{ mm}),\pm(E_L/2+E_L/8))$	=	137	[mm]	Corsa apparecchi di appoggio mobili
CON INCREM DEL 10%		130	[mm]	Escursione giunto
CON INCREM DEL 10%		150	[mm]	Corsa apparecchi di appoggio mobili